

Vol. 62

Hors série 2

ISSN 0003-3928

ELSEVIER MASSON

Annales de cardiologie et d'angéiologie

33^{es} Journées de l'Hypertension Artérielle 7th International Meeting of the French Society of Hypertension

19-20 décembre 2013 – Palais des Congrès de Paris Livre des résumés

Leproduction interdiff

Certaines données publiées dans cette édition spéciale peuvent ne pas avoir été validées par les autorités de santé françaises.

La Publication de ce contenu est effectuée sous la seule responsabilité de l'Editeur et du Comité.



DIRECTEUR DE LA RÉDACTION

N. Danchin (Paris)

COMITÉ DE RÉDACTION RESTREINT

D. Agostini (Caen), C. Barnay (Aix-en-Provence), F. Becker (Chamonix), A. Berrebi (Paris), D. Blanchard (Tours), J.P. Cambou (Toulouse), Y. Cottin (Dijon), L. Fauchier (Tours), J.L. Georges (Versailles), J.Y. Le Heuzey (Paris), R. Isnard (Paris), Y. Juilliere (Nancy), F. Philippe (Paris), P. Poncelet (Hénin Beaumont)

COMITÉ DE RÉDACTION ÉLARGI

E. Abergel (Paris), V. Aboyans (Limoges), H. Benamer (Paris), B. Beyssen (Paris), M.G. Bourassa (Montréal, Canada), P. Giral (Paris), G. Habib (Marseille), D. Lacroix (Lille), T. Lecompte (Nancy), P.Y. Marie (Nancy), M. Ov ze (Lyon), L. Pierard (Liège, Belgique), L. Rochette (Dijon), D. Sidi (Paris), J.C. Tardif (Montréal, Canada)

Annales de cardiologie et d'angeiologie (ISSN 0003-3928) 2013 (volume 62) Un an ; 6 numéros. France (TTC) : 402 euros. Voir tarifs complets sur www.elsevier-masson.fr/revu /ZDI

Adresser commande et paicment a Elsevier Masson SAS, Service Abonnements, 62, rue Camille-Desmoulins, 92442 Issy-les-Moulineaux cedex : paiement par chèque, carte de crédit (CB, MasterCard, EuroCard ou Visa : indiquer le n° , la date d'expiration de la carte, le cryptogramme et signer) ou par virement : « La Banque Postale », Centre de Paris, n° RIB : $20041\ 00001\ 1904540H020\ 95$.

Les abonnements sont mis en service dans un délai de 4 semaines après réception du paiement. Ils partent du premier numéro de l'année. Les numéros de l'année et les volumes antérieurs doivent être commandés à l'éditeur. Les réclamations pour les numéros non reçus doivent parvenir dans un délai maximal de 6 mois après la parution. Expédition par voie aérienne incluse.

Responsable production éditoriale - Karine Cuny. Tél.: (33) 01 71 16 54 35. Fax: (33) 01 71 16 51 67. E-mail: ann-cardiol@elsevier.com Directeur des ventes et responsable de marché - Frédérique Baudouin. Tél.: (33) 01 71 16 51 03. Fax: (33) 01 71 16 51 51.

E-mail: f.baudouin@elsevier.com - Site web: www.em-communication-sante.com

Abonnements - Tél.: (33) 01 71 16 55 99. Fax: (33) 01 71 16 55 77. E-mail: infos@elsevier-masson.fr

Editeur - Perle Bodossian

Directeur de la publication - Daniel Rodriguez

Les modalités d'abonnement, les recommandations aux auteurs, les sommaires de chaque numéro ainsi que les résumés des articles publiés dans cette revue sont disponibles sur le site internet d'Elsevier Masson SAS : http://www.em-consulte.com

Imprimé en France par Jouve, Mayenne Dépôt légal à parution ISSN: 0003-3928

© 2013 Elsevier Masson SAS. Tous droits réservés.

Édité par Elsevier Masson SAS, Société par actions simplifiée au capital social de 22 675 380 euros

Siège social: 62, rue Camille-Desmoulins, 92130 ISSY-LES-MOULINEAUX

RCS Nanterre 542 037 031

Actionnaire: Elsevier Holding France

Cette publication et son contenu sont protégés par le copyright de Elsevier Masson SAS, et les dispositions suivantes s'appliquent à leur utilisation :

Photocopies

Les simples photocopies d'articles isolés sont autorisées pour un usage privé, dans la mesure où les lois nationales relatives au copyright le permettent. L'autorisation de l'éditeur et le paiement de redevances sont obligatoires pour toutes les autres photocopies, y compris les copies multiples ou systématiques, les copies effectuées à des fins promotionnelles ou de publicité, la revente ou toute autre forme de distribution de documents. Des tarifs spéciaux sont disponibles pour les institutions d'enseignement qui souhaitent faire des photocopies à des fins non commerciales d'enseignement. Les personnes peuvent obtenir les autorisations nécessaires et payer les redevances correspondantes auprès du Centre français d'exploitation du droit de la copie (20, rue des Grands-Augustins, 75006 Paris, France).

Supports dérivés

Les abonnés sont autorisés à effectuer des copies des tables des matières, ou à établir des listes d'arricles comprenant des extraits pour un usage interne à l'intérieur de leurs institutions. L'autorisation de l'éditeur est requise pour tous revente ou divulgation en dehors de l'institution. L'autorisation de l'éditeur est requise pour tous autres travaux dérivés, y compris les compilations et les traductions.

Saisie électronique

L'autorisation de l'éditeur est requise pour saisir de façon électronique tout élément contenu dans la présente publication, y compris tout ou partie d'un article. Prière de prendre contact avec l'éditeur. À l'exception de ce qui est indiqué ci-dessus, aucune partie de cette publication ne peut être reproduite, saisie dans un système de sauvegarde, ou transmise sous quelque forme que ce soit, électronique, mécanique, par photocopie, enregistrement ou autre, sans l'autorisation préalable de l'éditeur.

La responsabilité de l'éditeur ne saurait en aucune façon être engagé pour tout préjudice et/ou dommage aux personnes et aux biens, que cela résulte de la responsabilité du fait des produits, d'une régligence ou autre, ou de l'utilisation de tous produits, méthodes, instructions ou idées contenus dans la présente publication. En raison de l'évolution rapide des sciences médicales, l'éditeur recommande qu'une vérification extérieure intervie ne pour les diagnostics et la posologie.

Bien que toutes les publicités insérées dans cette revue soient supposées être en conformité avec les standards éthiques et médicaux, l'insertion de publicités dans ce journal ne constitue aucune garantie ou reconnaissance de qualité ou de la valeur d'un produit ou des déclarations faites par le producteur de celui-ci à propos de ce produit.

	Les compléments électroniques disponibles pour votre revue (http://www.em-consulte.com/revue/ancaan) sont identifiés par les pictogrammes ci-dessous							
	Podcast	88	Informations au patient					
	Vidéo/Animation	ΔΔ	Documents légaux					
?	Autoévaluation interactive	(R)	Cas clinique					
	Arbre décisionnel interactif		Iconographie supplémentaire					
	Informations supplémentaires	?	Autoévaluation					

Les instructions aux auteurs sont disponibles sur le site http://www.em-consulte.com/produit/ANCAAN

Disponible en ligne sur www.sciencedirect.com

SciVerse ScienceDirect

Communications orales

Vol. 62, Hors série 2, Décembre 2013

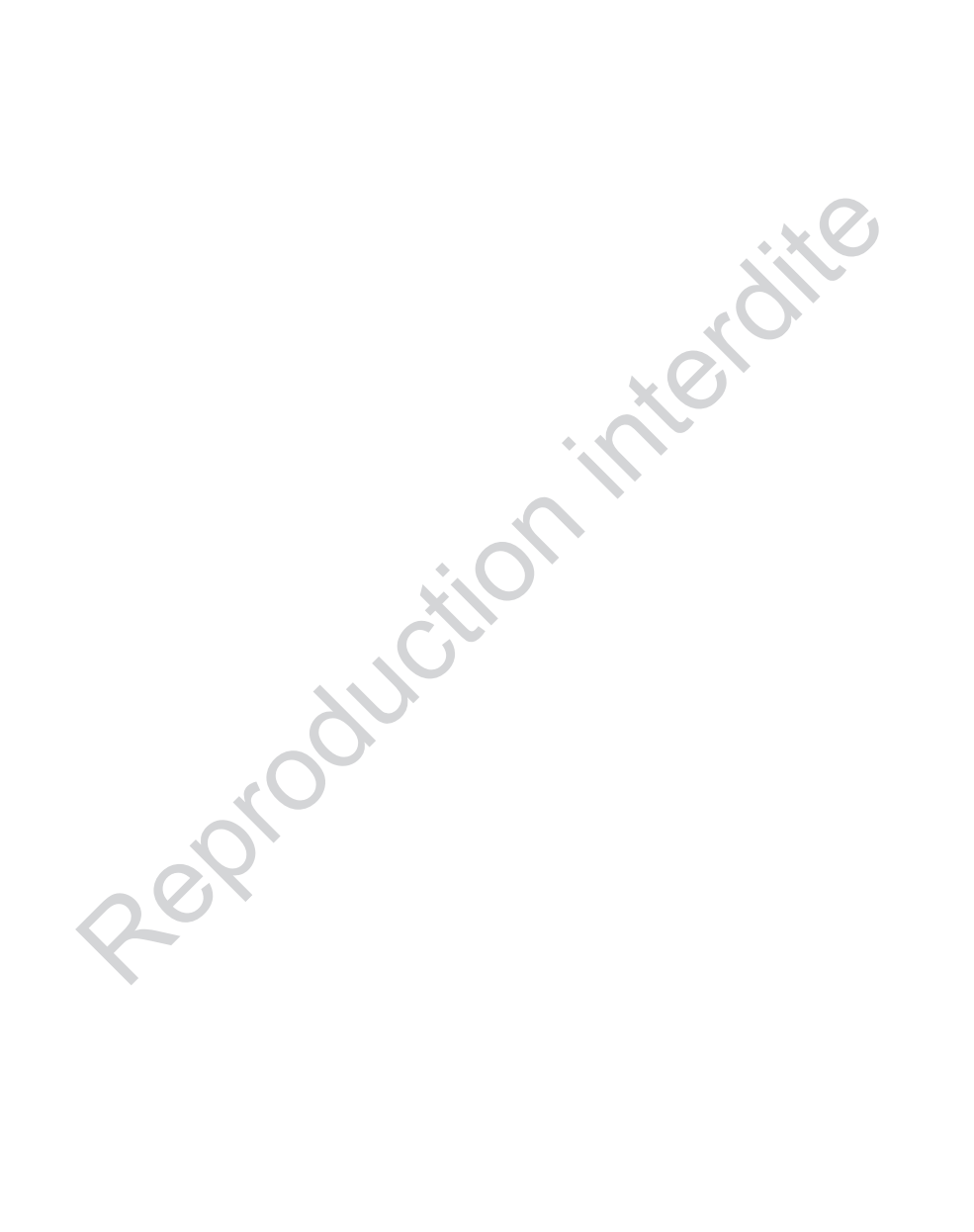
Annales de cardiologie et d'angéiologie

SOMMAIRE

33^{es} Journées de l'Hypertension Artérielle 7th International Meeting of the French Society of Hypertension

Épidémiologie		
CO-01 à CO-07		
Hot Topics <i>CO-08 à CO-15</i>	.XO	
Cœur et vaisseaux 1 CO-16 à CO-20		
Génétique/fondamentale CO-21 à CO-25		
Clinique CO-26 à CO-30	20	10
Cœur et vaisseaux 2 CO-31 à CO-35		12
Hormones et système nerveux CO-36 à CO-40		14
HTA expérimentale CO-41 à CO-45	<u>, (0)</u>	10
Rein CO-46 à CO-50		
Posters commentés		
Session meilleurs Posters 1 P01-01 à P01-09	<i>y</i>	2
Session meilleurs Posters 2 P02-10 à P02-18		2
Session meilleurs Posters 3 P03-19 à P03-27		26
Session meilleurs Posters 4 P04-28 à P04-36		29
Posters affichés Clinique PO-37 à PO-54		40
Cœur et vaisseaux PO-55 à PO-80		39
Épidémiologie PO-81 à PO-93		40
HTA secondaire PO-94 à PO-112		49
Pharmacologie <i>PO-113 à PO-115</i>		55
Rein <i>PO-116 à PO-124</i>		56
Système nerveux et HTA expérimentale		59

Thérapeutique	
PO-132 à PO-147	61
Programme Infirmières CO-Inf 01 à CO-Inf 05	66
Index des auteurs	V



Certaines données publiées dans cette édition spéciale peuvent ne pas avoir été validées par les autorités de santé françaises.

La Publication de ce contenu est effectuée sous la seule responsabilité de l'éditeur et du comité.



Elsevier Masson France /Ilconsulte www.em-consulte.com

Annales de cardiologie et d'angéiologie

http://france.elsevier.com/direct/ANCAAN

Annales de cardiologie et d'Angéiologie 62 (2013) 1-20

33^{es} Journées de l'Hypertension Artérielle 7th International Meeting of the French Society of Hypertension

Communications orales

Jeudi 19 décembre 2013 de 14h00 à 16h00

Épidémiologie

CO-01

Relationship between nutrition and blood pressure. a cross-sectional analysis from the nutrinet-santé study, a French web-based cohort study Relation entre nutrition et pression artérielle. Données de l'étude NutriNet-Santé

H. LELONG (1), P. GALAN (2), E. KESSE-GUYOT (2), L. FEZEU (2),

- S. HERCBERG (2,3), J. BLACHER (1,2)
- (1) Université Paris-Descartes, Centre De Diagnostic, Hotel-Dieu, Paris, France,
- (2) Unité De Recherche En Épidémiologie Nutritionnelle,
- inserm Umr U557, Bobigny, France,
 (3) Département De Santé Publique, Hôpital Avicennes, Bobigny

Background: Hypertension is the most prevalent chronic disease worldwide. Lifestyle behaviors to prevent and control it are widely recommended by guidelines. Nevertheless, their combined relationship with blood pressure (BP) level particularly in general population still remains poorly investigated. The aim of the present study was to evaluate and quantify the relative impact of lifestyle factors including nutritional factors on BP level.

Methods and results: Cross-sectional analyses were performed from the data of 8670 volunteers of the NutriNet-Santé Study, an ongoing French web-based cohort. Dietary intake were assessed using three 24 h reco ds. L festyle factors were collected by specific questionnaires and BP with 3 measurements using a standardized protocol. Age-adjusted correlations between systolic blood pressure (SBP) and lifestyle behaviors and BP modelisation with multi-linear model were performed. Relationship between Body Mass Index (BMI) and SBP was strong in both sexes showing a SBP increase around 1 mm1 g for 1 kg/m2. Salt intake was positively associated with SBP in men but not in women. The negative relationship between fruits and vegetables consumption was significant in both sexes. Alcohol intakes were positively associated with SBP in both sexes physical activity level was not associated with SEP. The five parameters representing the well-accepted lifestyle recommendations in hypertension with age and education level, accounted for 19.7% of the SBP variance in women and 12.8% in men. Age and BMI were the strongest associated parameters with SBP. Salt intake was not associated with SBP in both sexes after multi-adjustments.

Conclusion: BMI was the main contributory modifiable factor on BP level after multi-adjustments.

Keywords: Blood pressure - dietary survey - body mass index - nutritional factors

CO-02

Orthostatic hypotension in elderly autonomous diabetic patients is associated with a more severe degree of hypertension: about the French gerodiab study at inclusion

La présence d'une hypotension orthostatique chez des patients diabétiques âgés et autonomes est associée à une HTA plus sévère : données de l'étude française Gerodiab à l'inclusion

S. MELIANI (1), J. LE FLOCH (2), J. DOUCET (3), B. BAUDUCEAU (4), C. VERNY (5), C. HILBERT (6), A. OURLIAC (6), B. CHAMONTIN (1),

- B. BOUHANICK (1), FOR GERODIAB STUDY GR
- (1) Service De Médecine Interne Et HTA CHU Rangueil, Toulouse, France,
- (2) Service De Diabétologie Clinique, Villecresnes, France,

- (3) Service De Médecine Interne Gériatrie Thérapeu'i que CHU, Rouen, France, (4) Service d'Endocrinologie Hôpital Begin, St Man 5, Fran 9,
- (5) Service De Gérontologie CHU Bicêtre, Le Mamlin Bicêtre, France,
- (6) Umanis Sa, Levallois-Perret, France

Introduction: Orthostatic hypotension (OH) has deleterious effects on cardiovascular prognosis of patien's. The elderly diabetic patient adds two factors in favour of OH. The aim is to describe this population regarding to the degree of hypertension, the occurrence of complications, medications and the cognitive

Methods: In the CERO D'AB study (a 5-year French multicentre, prospective, observational study), a total of 987 type 2 diabetic autonomous patients, aged 77±5 years, were recruited between June 2009 and July 2010. Clinical BP measurements were performed after 10-min rest and repeated at 1, 3 and 5 min after standing position. O'H was defined by a SBP decrease of at least 20 mmHg and/or a DBP decrease of at least 10 mmHg at the first and/or the third and/or the 5th minute of standing up.

Results: At inclusion 301 (30.5%) patients had OH; SBP/DBP at rest were higher in patients with OH than in those without: $146\pm21/78\pm11$ mmHg vs $138\pm17/72\pm10$ m nHg (p<0.001). Individuals with OH exhibited higher PP and heart rate than inc viduals without (68±18 vs 65±15 mmHg and 78±11 vs 72±10 min-1; p<0.027 and p<0.001). A significant increase in waist-to-hip ratio was recorded in those with OH than in patients without (p<0.007). Despite a more severe degree of hypertension (SBP>160 mmHg at inclusion) (p< 0.003), no significant difference was recorded in the mean number of antihypertensive drugs (1.7±1.1), the class of antihypertensive drugs including beta-blockers (p=0.19), diuretics (p=0.84). Patients with OH were more likely to have a history of peripheral arterial disease and amputations (31% vs 24%, p=0.046; 3.3% vs 1.5%, p=0.056). There was no significant association between OH and history of peripheral neuropathy (p=0.37), stroke, heart failure or ischemic heart disease. No difference for age, sex ratio, duration of diabetes (18±11years), IADL and MMSE was reported between patients with OH and in those without. In multivariate analysis, OH remained associated with severe hypertension (p=0.02), increased waist-to-hip ratio (p=0.01) and amputations (p=0.04).

Conclusion: About a third of old autonomous diabetic patients had OH. They had a more severe hypertension with SBP, DBP and pulse pressure higher at rest. However, the number of anti-hypertensive drugs did not differ compared to patients without OH. It could reflect the fear of medical team to intensify

Supported by research grants Novo-Nordisk and Merck Serono, SFD and French PHRC; by APNET

CO-03

Perceived stress, gender and occupational status interact to increase the risk of future high blood pressure: evidence from the IPC cohort study Stress perçu, sexe et statut socio professionnel interagissent pour augmenter la pression artérielle : données de la cohorte IPC

- C. LEMOGNE (1), E. WIERNIK (3), H. NABI (5), S. CZERNICHOW (4),
- O. HANON (2), T. SIMON (7), J. SIMON (2), F. THOMAS (6),
- C. DUCOLOMBIER (6), N. DANCHIN (1), F. LIMOSIN (1), S. CONSOLI (1),
- B. PANNIER (6)
- (1) Université Paris Descartes, Paris, France
- (2) AP-HP, Paris, France, (3) Inserm U894, Paris, France,
- (4) Inserm U1018, Villejuif, France,
- (5) Université Versailles Saint-Quentin, Versailles, France,
- (6) Centre Ipc, Paris, France,
- (7) Université Pierre et Marie Curie, Paris, France

Contrary to lay beliefs, current perceived stress is not consistently associated with the incidence of high blood pressure (BP) in prospective studies, possibly because of moderating factors. The present prospective study examined this association and explored potential moderating effects of gender or occupational status. The 4-item perceived stress scale was filled at baseline by 19,276 adults (13,259 men, mean age±standard deviation: 46.8±9.3 years), without history of cardiovascular and renal disease and not on either psychotropic or antihypertensive drugs. After a mean follow-up of 5.8±2.1 years, 3,705 participants (19.2%) had high BP, defined as having a systolic BP of 140 mmHg or above or a diastolic BP of 90 mmHg or above or using antihypertensive drugs. There was a significant interaction between baseline perceived stress and gender (p=0.02) in relation to high BP at follow-up. After adjustment for potential confounders, baseline perceived stress was associated with high BP at follow-up in women (OR [IC]: 1.20 [1.03-1.38]; p=0.016). In addition, the interaction between perceived stress and occupational status was significant among women (p=0.02). Baseline perceived stress was positively associated with high BP at follow-up among women of medium or low occupational status, with OR suggesting a linear increase of the risk (p=0.004). Perceived stress may be considered as a risk factor for hypertension in women of lower occupational status. Further studies are warranted to elucidate the mechanisms of this association, as such knowledge may eventually inform prevention strategies. Research addressing the relationships between stress and high BP should systematically look for possible interactions with gender and occupational status.

CO-04

Association entre troubles du sommeil et sévérité de l'hypertension artérielle chez les patients hypertendus non contrôlés Association between sleep disorders and severity of hypertension in patients with uncontrolled hypertension

J.-P. BAGUET (1), F. ALLAERT (2), J.-J. MOURAD (3)

- (1) CHU Grenoble, Grenoble, France,
- (2) Cenbiotech, Dijon, France,
- (3) CHU Avicenne, Bobigny, France

Objectif: Les conséquences sur la pression artérielle (PA) des troubles du sommeil tels que syndrome d'apnées obstructives du sommeil (SAOS), insomnie ou hypersomnolence sont de mieux en mieux connues. Ces troubles semblent majorer le risque cardiovasculaire, des patients hypertendus. Notre étude a pour objectif de déterminer les relations entre troubles du sommeil et sévérité de l'HTA (définic par son grade selon la classification de l'ESH-ESC) dans une large cohorte de parien, hypertendus non contrôlés.

Méthodes et résultats : Étude épidémiologique cross-sectionnelle réalisée en France chez des patients consultant leur cardiologue. Chaque médec n devait inclure leur 4 premiers patients porteurs d'une HTA non contrôlée (PA clinique > 140/90 mmHg) quel que soit leur traitement antihypertenseur. Les symptômes en faveur d'un SAOS étaient notés et les patients de vient remplir les autoquestionnaires sur la somnolence (Epworth Sleepiness Scale, ESS) et l'insomnie (Athens Insomnia Scale, AIS). Un total de 1447 patients (âge moyen 65 ans, 62,8 % d'hommes, 39,1 % d'obèses) ont é e inclus par 352 cardiologues. 34,5 % avaient une HTA grade 1, 53,1 % une HTA grade 2 et 12,4 % une HTA grade 3. Le nombre moyen de traitement antih, percenseur par patient était de 1,9 ± 1,0 (1 à 6). Le score moyen de l'ESS était de 7,8 ± 5,2 (41,2 % de patients somnolents) et celui de l'AIS de 7,7 ± 4,5 (55,5 % d'insomniaques). La prévalence de la somnolence était de 37,0 % dans l'HTA grade 1, 43,4 % dans l'HTA grade 2 et 43,8 % dans l'HTA grade 3 (p = 0,15); le score d'ESS était plus élevé dans les grades 2 et 3 que dans le grade 1 (0,017). La prévalence de l'insomnie était respectivement de 52,6 %, 55,5 % et 63,4 % (p = 0,05) selon les grades d'HTA ; le score d'AIS était plus élevé dans le grade 3 que dans les grades 1 et 2 (0,002). L'analyse en régression logistique ajustée (sur ancienneté de l'HTA, facteurs de risque cardiovasculaires, antécédents cardiovasculaires, traitement antihypertenseur) montrait qu'un score ESS > 8 augmentait d'un tiers le risque d'HTA grade 2 (OR = 1,33, p = 0,02) ou 3 (OR = 1,37, p = 0,09) et qu'un score AIS > 6 augmentait de 52 % le risque d'HTA grade 3 (OR = 1,52, p = 0,05).

Conclusions: Les résultats issus de cette cohorte de patients hypertendus non contrôlés démontrent le lien étroit entre troubles du sommeil et sévérité de l'HTA. Ceci doit encourager les médecins à inclure systématiquement la détection des troubles du sommeil chez les hypertendus, en particulier si l'HTA n'est pas contrôlée.

CO-05

Awareness, treatment and control of hypertension among the elderly living in their home in Tunisia Perception, traitement et contrôle de l'hypertension artérielle chez des patients âgés vivant à domicile

A. FRIH (1), S. HAMMAMI (2-3), S. MEHRI (2), S. HAJEM (4), N. KOUBAA (2), S. KAMMOUN (5), M. HAMMAMI (2), F. BETBOUT (6) (1) Nephrology Department, University Hospital F Bourguiba, Monastir, Tunisia,

(2) Laboratory Of Nutrition And Vascular Health Faculty Of Medicine University

Of Monastir, Monastir, Tunisia.

(3) Internal Medicine Department University Hospital F Bourguiba Monastir, Monastir, Tunisia,

(4) National Institute Of Public Health Tunis Monastir, Tunis, Tunisia,

(5) Pneumology Department Geriatric Unit University Hospital H Chaker Sfax, Sfax, Tunisia,

(6) Cardiology Department, University Hospital F Bourguiba Monastir Tunisia., Monastir, Tunisia

Background: Hypertension is a cardiovascular disorder rapidly emerging as a major public health problem in developing countries. However, the acknowledgement of the prevalence and the significant impact of hypertension in elderly are very important for health policy. The objective of the present investigation was to evaluate the prevalence, awareness and treatment of hypertension among the elderly living in their home in Tunisia at Monastir City. We also examined the impact of socio demographic characteristics and known risk factors for high blood pressure.

Methods: A community based sample of 598 non-institutionalized elderly (age supérieur ou égal à 65 years), was selected using probabilistic multistage cluster sampling.

Results: There was a predominance of female (66%) and mean age was 72.3±7.4 years. The prevalence of hypertension was 52% (n= 11), awareness (81%, n=252), treatment (78.4%, n=244) and only 30.7% (n= 5) re correctly treated. The prevalence of hypertension was higher for the include population (55.5%) when compared to males (45%). No unantrual differences were observed and no difference was observed by educational level. Multiple logistic regression analyses identified a higher body mass index, diatotes mellitus and disability as important correlates of the prevalence of typer ansi in.

Conclusion: These findings provide important information on the prevalence, awareness and control of hypercusion in Monastir City and confirm their association with other callionary cular risk factors. Effective public health measures and strategies are needed to improve prevention, diagnosis and access to treatment of this elderly population.

Keywords: Hypertension, Elderly, Prevalence, Awareness, Tunisia, Home living

CO-06

Hypertension and pregnancy in Lomé (Togo, Sub-Saharian Africa): epidemiology, diagnosis and risk factors Hypertension artérielle et grossesse à Lomé (Togo, Afrique sub-saharienne): Épidémiologie, diagnostic et facteurs de risque

S. BARAGOU (1), M. PIO (2), E. GOEH-AKUE (2), Y. AFASSINOU (2), B. KOUKOUMA (1), S. AGBEKPONOU (1), F. DAMOROU (1), A. BALOGOU (1)

(1) CHU Campus, Lomé, Togo,

(2) CHU Sylvanus Olympio, Lomé, Togo

Introduction: According to the World Health Organization (WHO), hypertension (HTN) during pregnancy is a public health problem because of its prevalence (10 – 15%) and its maternal and fetal complications. The aim of this study was to assess its prevalence and describe the diagnostic aspects of HTN during pregnancy in Lomé.

Patients and methods

We conducted a 12-months prospective descriptive study, from October 1, 2011, to September 31, 2012, based on 1,620 pregnant women in the department of obstetrics of the Tokoin University Hospital in Lomé. HTN diagnosis was determined according to the standards set by the WHO (BP superior or equal to 140/90 mmHg at two consecutive visits). Blood pressure was measured in pregnant women in the left lateral decubitus by a mercury sphygmomanometer, according to the WHO recommendations. Electrocardiography and echocardiography was performed. The data were analyzed using the software Epi info version 3.3. Significance level was set at a value of p inferior to 0.05.

Results: The prevalence of HTN among these pregnant women was 12.3% (n: 200). The mean age was 30±7 years with extremes at 15 and 44 years of age. HTN was most often found during the third trimester (85%). According to the classification of the 6th Joint National Committee, 43.6% of parturients belonged to stage 1, and 56.4% of parturients belonged to stage 2 with a BP superior or equal to $180/110\ mmHg$ in 48.2% of cases. Preeclampsia was the most frequent condition (44%), followed by gestational HTN (28%), superimposed preeclampsia (13%) and chronic HTN (10%). The risk factors were mainly oldier primipara, family history of HTN, stress, obesity, low socioeconomic status and living with a mate (non married). Maternal complications were dominated by eclampsia (24%) and retroplacental hematoma (6.6%). The frequency of fetal complications was 58%, mainly intrauterine fetal death (30.7%), abortion (21.4%), premature birth (18%) and fetal distress (17.8%). Electrocardiographic abnormalities were dominated by epicardial ischemia (13.4%) and ventricular extrasystoles (8.8 %). According to echocardiography, left ventricle hypertrophy was detected in 12% of cases, dilated left heart chambers in 27%, a decrease of the left ventricular systolic function in 16 %, and diastolic dysfunction of the left ventricle in 34.8%.

Conclusion: Hypertension during pregnancy is common in Lomé. Regular pre- and post-natal monitoring is mandatory because of the possible serious complications and because some of these hypertensive pregnant women will later develop chronic HTN.

CO-07

Morbi-mortalité cardiovasculaires en 6 ans des hypertendus noirs du sud algérien Cardiovascular morbimortality after a follow-up of six years in black hypertensive in South Algeria

A. BACHIR CHERIF (1), M. TEMMAR (2), C. LABAT (6), L. ATIF (7), A. CHIBANE (3), S. BENKHEDDA (4), N. BENFENATKI (5),

A. BENETOS (6), M. BOUAFIA (1)

(1) Service De Cardiologie. CHU Blida, Blida, ALGERIA, (2) Centre De Cardioilogie, Ghardaia, ALGERIA,

(3) Service De Medecine Interne CHU Ain Taya, Ain Taya, ALGERIA,
(4) Service De Cardiologie CHU Mustapha, Alger, ALGERIA,
(5) Service De Medecine Interne CHU Rouiba, Rouiba, ALGERIA,

(6) Service De Geriatrie CHU Nancy, Nancy, ALGERIA

(7) Service Épidémiologie CHU Blida, Blida, ALGERIA

Introduction : La population noire algérienne représente près de la moitié de la population des oasis du Sahara algérien, l'hypertension artérielle (HTA) est y très prévalente et très sévère. L'étude du volet cardiovasculaire de cette population, centrée sur les conséquences à long terme de l'HTA, peut apporter des éléments de réponses afin d'adapter la prise en charge de ces patients aux particularités de cette région, et de diminuer les conséquences en terme de morbi-mortalité.

Objectifs : Analyse du devenir à long terme des sujets algériens noirs hypertendus des oasis du sud algérien en terme de morbi-mortalité cardiovasculaire, la hiérarchisation des facteurs de risque cardio-vasculaires selon leur nocivité dans la population noire.

Matériels et méthodes: 811 sujets noirs, des deux sexes, âgés de 40 ans et plus, habitant le Sahara algérien ont été revu après 6 ans de recul. Le contrôle a consisté à remplir un questionnaire orienté sur l'état civil, l'atteinte des organes cibles, le nombre d'hospitalisation et la mortalité, complété par un examen clinique incluant la morphométrie, la mesure de la PA avec appareil électronique validé (OMRON 705CP). Une analyse univariée puis multivariée a été réalisée. Les tests statistiques utilisés sont Khi2, t-student, courbes de Kaplan-Meier avec test significatif Logrank pour la mortalité. Tous les calculs et analyses statistiques sont traités par le logiciel SPSS 17.0 et Epi Info6.

Résultats: La moyenne d'âge pour la population noire est de 60,3 ± 11,1 ans. Une prédominance féminine nette avec un sexe ratio de 0,89. La prévalence de l'HTA chez les noirs devient 75 % (+25 % par rapport au premier contrôle). L'incidence de l'HTA est 50 % chez les noirs. L'incidence des complications cardiovasculaires dans la population noire est de 8.1 %. Les principales complications constatées sont : l'accident vasculaire cérébral dans 3,8 %, l'insuffisance cardiaque dans 3,1 %, l'infarctus du myocarde dans 1.7 %, Les hospitalisations liées aux complications cardiovasculaires de la population noire sont de 4,4 %. L'obésité et le diabète sont les facteurs de risque les plus fréquemment retrouvés dans notre population apr ès l'H l'A. L'incidence de la mortalité chez la population noire est de 11,6 %, elle est plus importante chez les hypertendus noirs : 14,6 % contre 7,4 % chez les normotendus noirs, p < 0,001. La présence du syndrome mé abol que et une PA non contrôlée influencent la durée de survie de notre population Seulement 25 % des patients hypertendus noirs étaient au-dessous de 140/90 mmhg. Plus de la moitié de la population était sous monothérapie (54,8 %), suivie de 39,3 % sous bithérapie. La trithérapie n'est utilisée que chez 5,9 %.

Conclusions: Ces résultats soulignent l'importance des complications de l'HTA dans la population noire quel que soit le sexe et doivent inciter les pouvoirs publics à prendre les dispositions nécessaires et adéquates, à titre préventif et curatif. Des études complémentaires physiopathologiques, clinques et thérapeutiques sont nécessaire à la recherche des facteurs favorisants ce fléau de santé publique et la médication la plus efficace.

Jeudi 19 décembre 2013 de 14h00 à 16h00

Hot Topics

CO-08

Proportion of patients eligible for renal denervation and reasons of non-eligibility: a European perspective

Proportion de patients éligibles pour la dénervation rénale et causes de non-éligibilité : une perspective européenne

A. PERSU (1), Y. JIN (2), M. BAELEN (1), B. SCHMIDT (3), A. PECHERE-BERTSCHI (4), F. SEVERINO (1), A. TAYLOR (5), G. WUERZNER (6),

J. ROSA (7), F. FADL-ELMULA (8), F. JOKHAJI (9), T. KAHAN (9),

J. RENKIN (1), M. BURNIER (6), P. MARK (5), J. MENNE (3),

S. KJELDSEN (8), J. STAESSEN (2)

(1) Department Of Cardiology, Cliniques Universitai es Saint Luc,

Université Catholique De Louvain, Brussels, Belgium

(2) Division Of Hypertension And Cardiovascular Pehalimation, University Of Leuven, Leuven, Belgium,

(3) Division Of Nephrology And Hyperter Medical School Hannover, Hannover, GERMANY.

(4) Hypertension Unit, Geneva University Hospital, Lausanne, Switzerland,

(5) Bhf Glasgow Cardiovascular Research Centre,

University Of Glasgow, Glasgow, United Kingdom, (6) Service Of Nephrology and Hyperconsion,

Centre Hospitalier Universitatio Validois, Lausanne, Switzerland, (7) Third Department Of Internal Medicine, General Faculty Hospital,

Prague, CZECH PEPUBLIC,

(8) Department Of Cardiology, Oslo University Hospital, Ullevål, Oslo, NORWAY,

(9) Karolinska Institutet, Department Of Clinical Sciences,

Danderyd Hospitai, Stockholm, Sweden,
(10) On Behalf of The European Network Coordinating Research On Renal Denervation

Objectives: Renal Denervation (RDN) has been proposed as a novel treatment of resistant hypertension (rHT). However, the proportions of patients eligible for RDN and the main reason of non-eligibility in real life are still elusive.

Aim of the study: To look for the proportion of patients eligible for RDN and the reasons of non-eligibility in 7 centers involved in the European Network Coordinating research of REnal denervation in treatment-resistant hypertension

Methods: The medical files of patients reffered for RDN in the different centers in 2012 were reviewed according to a standardized questionnaire focused on demographic characteristics, proportion of patients eligible for RDN and reasons of non-eligibility. In each case, several reasons of non-eligibility could be provided. Results: Files from 308 patients reffered for RDN in 7 European Centers (Brussels, $Glasgow, Hannover, Lausanne, Oslo, Prague and Stockholm) were reviewed. \ Mean$ age (58±13 years), female ratio (43%), mean office blood pressure (174±27 mmHg) and N° of antihypertensive drug classes (5±1) were similar to those observed in the Symplicity studies. Seventy-six % of patients were reffered by specialists vs. 24% by general practitioners. The proportion of patients eligible for RDN according to the Symplicity HTN-2 criteria (E1) and the centre's criteria (E2) were 39% and 33%, respectively. The main reasons of non-eligibility were normalization of blood pressure after treatment adaptation (48%) including (24%) or not (24%) low-dose spirinolactone; anatomical reasons (16%); altered renal function (11%); wiht coat (8%) or secondary hypertension (8%) and older age/ frailty (8%).

Conclusion: Even in highly selected patients with hyper-refractory hypertension, only 1/3 is eligible for RDN. In half of patients, blood pressure target can be achieved by skilfull treatment adjustment. In the absence of more and better evidence derived from randomized controlled trials, RDN should be restricted to patients in whom withe-coat and secondary hypertension have been excluded and all efforts to control blood pressure by drugs have been attempted in experts centre.

CO-09

Blood pressure changes after renal denervation at 10 European expert centers Évolution de la pression artérielle après dénervation rénale dans 10 centres experts européens

A. PERSU (1), Y. JIN (2), M. AZIZI (3), M. BAELEN (1), F. SEVERINO (1), J. ROSA (4), F. FADL ELMULA (5), A. TAYLOR (6), A. PECHERE-BERTSCHI (7), G. WUERZNER (8), F. JOKHAJI (9), T. KAHAN (9), J. RENKIN (1), M. MONGE (3), L. JACOBS (2), M. BURNIER (8), P. MARK (6), S. KJELDSEN (5), M. SAPOVAL (3), J. STAESSEN (2)

(1) Department Of Cardiology, Cliniques Universitaires Saint-Luc,

Université Catholique De Louvain, Brussels, Belgium,

(2) Division Of Hypertension And Cardiovascular Rehabilitation, University Of Leuven, Leuven, Belgium,

(3) Assistance Publique Des Hôpitaux De Paris, Hôpital Européen Georges-Pompidou, Paris, France.

- (4) Third Department Of Internal Medicine, General Faculty Hospital, Prague, CZECH
- (5) Department Of Cardiology, Oslo University Hospital, Ullevål, Oslo, NORWAY,(6) Bhf Glasgow Cardiovascular Research Centre, University Of Glasgow, Glasgow, United Kingdom,
- (7) Hypertension Unit, Hôpital Universitaire De Genève, Genève, Switzerland,
- (8) Service Of Nephrology And Hypertension, Centre Hospitalier Universitaire Vaudois, Lausanne, Switzerland,
- (9) Karolinska Institutet, Department Of Clinical Sciences,

Danderyd Hospital, Stockholm, Sweden

(10) On Behalf Of The European Network Coordinating Research On Renal Denervation

Background: Renal Denervation (RDN) is being applied as a novel treatment of resistant hypertension (rHT), based on the results of the SYMPLICITY-HTN studies and CE certification. However, the currently available evidence is fragmented and remains a matter of concern.

Objectives: To document the blood pressure (BP) lowering effects, using conventional and ambulatory BP measurement in 10 centres from the European Network Coordinating Research on renal Denervation in rHT (ENCOReD).

Methods: From the medical files of 109 rHT patients, we extracted main characteristics, office and ambulatory BP and number of antihypertensive drug classes before and 6 months after RDN. We used SAS 9.3 for statistical analysis.

Results: At baseline, mean values were 58 years for age, 175/98 mmHg and 157/92 mmHg for conventional and 24-h ambulatory BP, respectively, and 4.7 for number of antihypertensive drug classes. Six months after RDN, office and 24-h ambulatory BP had decreased by 17.6/7.1 mmHg (p<0.001) and 5.9/3.5 mmHg (p<0.001), respectively. The range of responses was wide with increases and decreases of BP (figure). The number of drugs required to be taken declined slightly (4.7 to 4.4). The proportion of responders (systolic BP decrease > 10 mmHg) was 60% according to office and 31% according to ambulatory BP. Office and ambulatory BP were normalised (systolic BP <140 mmHg and <130 mmHg, respectively) in only 23 and 15% of patients. Higher baseline BP predicted greater BP fall at follow-up; higher baseline serum creatinine was associated with lower probability of improvement of 24 h BP (odds ratio for 20 µmol/L increase, 0.60; P=0.05) and higher probability of experiencing no BP decrease (OR, 1.66; P=0.01).

Conclusion: The decreases in office and ambulatory BP 6 months after RDN are of the same order of magnitude than those observed in the placebo group of the Syst-Eur trial (conventional systolic/24 h ambulatory BP at entry, 174 and 151 mmHg; changes on placebo, 13.0 and 2.4 mmHg [Lancet 1997;350:757-64 and J Hypertens 1994;12:1035-39]). The BP response to RDN might at least partially be explained by placebo or Hawthorne effects or regression to the mean. A pan-European project (ENCOReD) including an independent registry and a meta-analysis of ongoing observational and randomised controlled trials will provide an investigatorinitiated assessment of the efficacy and safety of RDN.

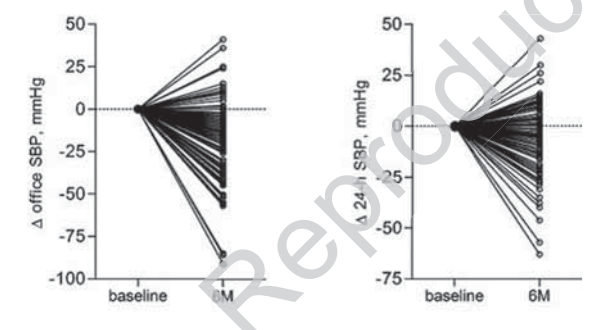


Figure change of BP 6 month after RDN

Figure 1

CO-10 Inherited hyperkalemic acidosis caused by missense mutations at a conserved acidic motif of the WNK1 gene

> Des mutations faux-sens du domaine acide de WNK1 sont responsables de cas d'acidose hyperkaliémique familiale

H. LOUIS DIT PICARD (1), N. THURAIRAJASINGAM (2), C. CHEVALIER (1), S. LATRECHE (1), S. DECRAMER (3), B. FIQUET (4), X. GIRERD (5), M. GLOVER (6), P. MULATERO (7), G. ROUSSEY KESLER (8), I. TACK (3), R. UNWIN (1) (0), E. CLAUSER (1), R. VARGAS POUSSOU (2), X. JEUNEMAITRE (1,2)

- (1) Inserm U970 Centre De Recherche Cardiovasculaire Parc, Paris, France, (2) Service De Génétique Moléculaire AP-HP HEGP, Paris, France,
- (3) Hôpital Des Enfants CHU Toulouse, Toulouse, France,

- (4) Service D Hypertension Et Médecine Vasculaire AP-HP HEGP, Paris, France,
- (5) Pôle Cœur Métabolisme Unité De Prévention Cardio Vasculaire Hôpital De La Pitié Salpetrière, Paris, France,
- (6) Division Of Therapeutics And Molecular Medicine University Of Nottingham. Nottingham, United Kingdom,
- (7) University Of Torino Dept Of Medical Sciences, Torino, Italy,
- (8) Néphrologie Pédiatrique Clinique Médicale Pédiatrique Hôpital Mère Enfant,
- (9) Centre For Nephrology, University College London Medical School Royal Free Campus And Hospital, London, United Kingdom

Pseudohypoaldosteronism type 2 is a rare form of hypertension, caused by mutations in at least 4 genes. The WNK1 and WNK4 genes were first identified and shown to regulate several renal ion transporters and channels. In 2012, two other genes, KLHL3 and CUL3, were identified in a larger proportion of cases. However, some PHA2 cases were still unexplained.

The objective of the study was to identify a new gene or a new type of mutations responsible for the disease. We used several genetic strategies in one multigenerational family and 25 additional cases or families previously tested negative for these 4 genes.

We identified a new type of mutation at the WNK1 gene, an heterozygous missense mutation at the exon 7 that co-segregated perfectly with the disease in our 4-generation family. This residue is located in the short acidic motif, between residues 628 and 638, which has been shown to interact with KLHL3. Surprisingly, all affected members of this family displayed typical biological features of PHA2 (average K+ = 5.7 ± 0.3 mmol/L; Cl- = 111 ± 1 mmol/L, CO2t = 17.6 ± 1.1 mmol/L) but normal blood pressure (SBP= 8±8 DEP=64±12 mmHg). By screening 25 additional PHA2 cases, we eventually identified nine families bearing six different charge-changing substitutions in this motif. Analysis of affected cases showed an early diagnosis of the pathology (26±14 years) and a marked biological phenotype $(K + = 5.6 \pm 0.5 \text{ mmol/L}, Cl = 1.8 \pm 3 \text{ mmol/L}, CO2t = 19.8 \pm 1.9 \text{ mmol/L})$. Patients had also surprisingly normal average BP values (SBP=124±18; DBP=81±20 mmHg). Cellular expression of these mutants is currently performed to test whether they modify the activity of several ion transporters and to test their consequences on the interaction between the WNK1 gene and the KLHL3 and CUL3 proteins. We identified for the first time a new form of autosomal dominant form of hyperkalemic tubular acidosis with normal blood pressure caused by specific mi sens. mutations at the WNK1 gene. These mutations are clustered in a unique acidic mouf that is essential for their interaction with KLHL3 and consequently

the Cullin3-based ubiquitin-ligase complex. They likely result in a dysregulation of enal ion transport that should be, in part, different from that caused by similar autations at the WNK4 gene leading to the same biological features associated with hypertension.

CO-11

Utilisation de l'immunomarquage dans le diagnostic des adénomes de CONN et la détermination du statut mutationnel KCNJ5 Immunohistochemical diagnosis of aldosterone producing adenomas and KCNJ5 mutation status

L. AMAR (1,2,3), F. FERNANDES-ROSA (1,2,3), B. SAMSON-COUTERIE (1,2), F. TISSIER (4,5,6,7), J. BERTHERAT (4,5,6),

- T. MEATCHI (1,2,3), S. BOULKROUN (1,2,3), M. ZENNARO (1,2,3)
- (1) Inserm, Umrs_970, Paris Cardiovascular Research Center, Paris, France, (2) Université Paris Descartes, Sorbonne Paris Cité, Paris, France,
- (3) Assistance Publique-Hôpitaux De Paris, Hôpital Européen Georges Pompidou, Paris, France,
- (4) Institut Cochin, Université Paris Descartes, Cnrs
- (UMR 8104), Paris, France, (5) Inserm, U1016, Paris, France,
- (6) Assistance Publique Hôpitaux De Paris, Hôpital Cochin, Paris, France,
- (7) Université Pierre Et Marie Curie, Paris, France

L'hyperaldostéronisme primaire (HAP) est la forme la plus fréquente d'hypertension artérielle. Récemment, des mutations somatiques du gène KCNJ5, codant pour le canal GIRK4, ont été impliquées dans la formation d'environ 40 % des adénomes produisant de l'aldostérone (APA). Nous avons également montré que dans le cas d'APA porteurs de mutations KCNJ5, l'expression de GIRK4 est plus faible dans la tumeur que dans le cortex surrénalien adjacent.

Le diagnostic anatomopathologique de l'APA est basé sur la description d'au moins un nodule, associé ou non à une hyperplasie du cortex surrénalien et la normalisation des taux d'aldostérone après surrénalectomie. Cependant, il n'existe pas de marqueur permettant de poser sans équivoque le diagnostic d'APA. Récemment, l'utilisation d'anticorps spécifiques dirigés contre l'aldostérone synthase (AS) et la 11β-hydroxylase a été rapportée. Néanmoins, il a été montré que tous les APA n'expriment pas des niveaux élevés d'AS. De plus, la mise en place d'un diagnostic de routine nécessite l'utilisation d'anticorps commerciaux. L'objectif de ce travail a été d'étudier la possibilité d'utiliser différentes combinaisons d'anticorps afin de : i) détecter les sites de production d'aldostérone

dans les surrénales de patients avec APA ; ii) différencier les APA des adénomes non sécrétant (ANS) et des adénomes produisant du cortisol (APC) ; iii) identifier les APA porteurs de mutations KCNJ5.

Nous avons inclus 18 surrénales avec APA, 18 avec ans et 13 avec APC et utilisé, sur des coupes sériées d'APA et de tissu surrénalien adjacent, des anticorps commerciaux dirigés contre Disabled-2 (Dab2, un marqueur des cellules de la zone glomérulée) et GIRK4. Le caractère fonctionnel du nodule a été confirmé par hybridation in situ CYP11B1 et CYP11B2, codant pour la 11β-hydroxylase et l'AS.

Parmi les 18 APA, 12 présentent une expression membranaire de Dab2 versus deux ans et deux APC (p = 0,0005). Tous les APA présentent un marquage membranaire de GIRK4, mais seulement cinq ans et quatre APC (p < 0,0001). La sensibilité et la spécificité du marquage Dab2 pour le diagnostic d'APA sont de 66,6 % de 87 % ; celles du marquage membranaire GIRK4 sont respectivement de 100 % et 66,6 %. Si l'on considère le double marquage membranaire Dab2/GIRK4, 12 APA, un NPA et un CPA sont positifs. De façon remarquable, l'expression de GIRK4 est significativement plus faible dans les APA porteurs de mutations KCNJ5 comparé aux APA non porteurs de ces mutations (p = 0,0377), permettant ainsi de discriminer les APA porteurs de mutations KCNJ5 avec une sensibilité de 76,9 % et une spécificité de 72,7 %.

CO-12 Bayesian network predicts better primary aldosteronism than logistic regression Les réseaux bayesiens permettent une meilleure prédiction d'un hyperaldostéronisme que la régression logistique

J. FAUVEL (1), C. MOUNIER-VÉHIER (2), P. LANTELME (3),

B. VAISSE (4), J.-P. BAGUET (5), M. DUCHER (6)

- (1) Hospices Civils De Lyon, Lyon, France, (2) Vascular Medicine And Hypertension Department, Cardiology Hospital, CHRU Lille, France, Lille, France,
- (3) Hospices Civils De Lyon, Lyon, France, (4) Hôpital La Timone, Hp Hm, Marseille, France,
- (5) Inserm U1039, Grenoble, France,
- (6) Hospices Civils De Lyon, Lyon, France

Identifying patients at risk of primary aldosteronism (PA) is difficult because it must take account of numerous variables with complex interactions.

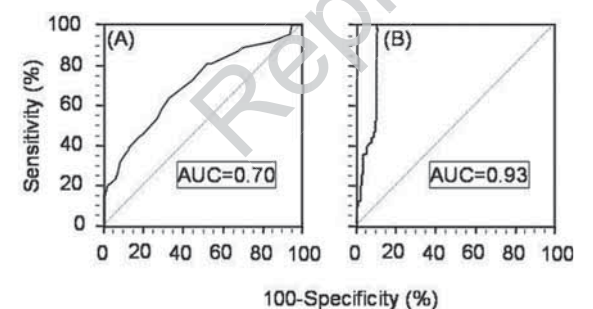
Objective. To improve the selection of subjects who would benefit from PA

Design. Simple clinical and biological data from institutional registers, were collected retrospectively from consecutive patients referred between June 1, 2008 and May 30, 2009.

Setting: Five European society of hypertension excellence centers

Participants. Patients were included if they met at least one of the following criteria: onset of hypertension before 40 years (55%), resistant hypertension (44%). history of hypokaliemia (38%), efficient treatment by spironolactone (15%), and potassium supplementation (11%).

Main outcome. The diagnosis of biological PA was based on an aldosterone-torenin ratio > 32 (ng/l)/(ng/l) and aldosterone > 160 ng/l in patier to not treated with agents altering the renin-angiotensin system. Bayesian network and stepwise logistic regression were used to predict PA. Areas under the receiveroperating-characteristic curves were compared to assess the best prediction model.



Receiver-operating-characteristic curve for PA probability using logistic regression (A) or a Bayesian network (B)

Figure 2

Results. 334 case reports were registered for the study. Among them, 89 were excluded: 31 for incomplete data, 32 for taking treatment with agents altering the renin-angiotensin system and 26 for other secondary causes of resistant hypertension. Among the 245 case reports analyzed, 110 had biological PA, and 135 were considered as having essential hypertension. Sensitivity reached (100% vs 63.3%) and specificity reached (89.6% vs 67.2%) using the Bayesian network and the logistic regression respectively. The area under the ROC curve obtained

with the Bayesian network was significantly higher than that obtained by stepwise regression (p<0.001).

Conclusion. We focused on developing a prediction model for PA diagnosis using a series of simple clinical and biological parameters easily determined in routine clinical practice. In a population of patients referred to tertiary hypertension centers, a Bayesian network performed better than logistic regression to forecast PA. Its reliability appears sufficient to be used in clinical practice after external validation.

CO-13

Les antécédents parentaux de diabète de type 2 et les altérations de l'insulino-sécrétion sont associés au risque d'hypertension artérielle : incidence dans la population générale non-diabétique Parental history of type 2 diabetes and lower insulin secretion are associated with incident hypertension. Data from the D.E.S.I.R. and risc cohorts

F. BONNET (1), R. ROUSSEL (2), A. NATALI (3), S. CAUCHI (4), J. PETRIE (5), M. LAVILLE (6), P. FROGUEL (4), M. MARRE (2),

- B. BALKAU (7), E. FERRANNINI (3)
- (1) CHU De Rennes, Université De Rennes 1, Rennes, France, (2) Université Paris Diderot; AP-HP, Hô, Ital E chat, Paris, France,
- (3) Department Of Internal Medicine, University Of Pisa, Pise, Italy,
- (4) Cnrs-Umr-8090, Institute Of Biology, Lille 2 University, Pasteur Institute, Lille, France,
- (5) Bhf Glasgow Cardiovascular Research Centre, University Of Glasgow, Glasgow,
- (6) Centre De Recherche En Nutrition Humaine, Crnh Rhône-Alpes, Inserm U 870-Inra 1235, Lvon, France,
- (7) Inserm U1018, Univ Paris-Sud, Villejuif, France

Objectifs : La relation entre l'hyperglycémie et le risque d'hypertension demeure complexe et le rôle des anomalies de l'insulino-sécrétion n'a jamais été évoqué à la différence de clui de l'insulino-résistance. Nous avons émis l'hypothèse que des antécédents paren aux de diabète de type 2 qui sont connus pour être associés à des altérations de l'insulino-sécrétion chez les enfants puissent représenter un facteur de risque pour le développement d'une HTA dans la cohorte D.E.S.I.R. Nous a ons testé ensuite la relation entre la présence d'une insulino-sécrétion diminuée et le risque d'hypertension incidente en utilisant une cohorte européenne de vo ontaires sains bien caractérisés pour l'insulino-résistance et l'insulino-sécrétion. Pe julation et méthodes : Nous avons étudié dans la cohorte française D.E.S.I.R 2 391 sujets normotendus à l'inclusion suivis prospectivement pendant 9 ans. Dans la cohorte européenne RISC, 1 047 sujets sains normotendus ont bénéficié d'un suivi prospectif de 3 ans avec à l'inclusion un clamp euglycémique et la détermination de l'insulino-sécrétion lors d'une hyperglycémie provoquée par voie orale. L'HTA était définie par un traitement antihypertenseur ou une PAS/PAD supérieure ou égale à 140/90 mmHg à chacune des visites.

Résultats : Dans la cohorte D.E.S.I.R, la présence d'antécédents parentaux de DT2 (chez au moins un des parents) était associée à un risque d'hypertension incidente plus élevé, indépendamment de l'âge, du tour de taille, de la pression artérielle moyenne initiale, de la glycémie à jeun, de l'insulinémie et de l'index HOMA d'insulino-résistance (p = 0,02). Nous avons également retrouvé une association significative entre la présence de l'allèle à risque de diabète de type 2 du gène TCF7L2 qui est connu pour être associé à des altérations de la fonction béta cellulaire et le risque d'hypertension incidente.

Dans la cohorte RISC, une réponse insulino-sécrétoire faible était associée à des valeurs de pression artérielle plus élevées à 3 ans et à un risque significatif d'hypertension artérielle incidente à 3 ans. Cette association inverse entre la réponse insulino-sécrétoire et le risque d'HTA persistait après ajustement pour les facteurs confondants et en particulier le degré d'insulino-résistance au clamp (p = 0,007).

Conclusion : Des antécédents parentaux de diabète de type 2 sont associés avec le risque d'HTA indépendamment des paramètres métaboliques et du niveau de pression artérielle initial. Au-delà de l'insulino-résistance, des altérations de la fonction béta-cellulaire pancréatique semblent moduler le développement de l'hypertension artérielle, ce qui contribuerait à expliquer l'association entre la prédisposition familiale au diabète et le risque d'HTA.

CO-14

Conséquence d'un hyperaldostéronisme sur la prorénine plasmatique : implication pour le diagnostic d'un adénome de Conn Consequence of primary aldosteronism on plasma prorenin: implications for the diagnosis of aldosterone producing adenoma

C. BERGE (1), P.-Y. COURAND (1), F. KHETTAB (1), G. BRICCA (3), J. FAUVEL (2), P. LANTELME (1)

- (1) Hospices Civils De Lyon, Hôpital De La Croix Rousse, Cardiologie, Lyon, France,
- (2) Hospices Civils De Lyon, Hôpital Edouard Herriot, Néphrologie, Lyon, France, (3) Ea4173: Génomique Fonctionnelle De L'HTA Hôpital Nord-Ouest, Villefranche
- Université Claude Bernard Lyon 1, Lyon, France

Contexte : La prorénine (Pr) est le précurseur inactif de la rénine, elle est essentiellement sécrétée par le rein. Un hyperaldostéronisme primaire pourrait exercer un rétrocontrôle négatif sur la sécrétion de prorénine différent suivant qu'il s'agisse d'une sécrétion tumorale ou hyperplasique. L'intérêt diagnostique de la Pr mériterait d'être évaluer dans l'hyperaldostéronisme primaire. L'objectif de ce travail était : 1) Évaluer le niveau de Pr dans 3 sous-groupes d'hypertendus : Hypertension artérielle (HTA) essentielle, hyperplasie surrénalienne (HPS), et adénome de Conn (AC) ; 2) Déterminer si le rapport aldostérone / Pr (RAPr) est plus discriminant que le rapport aldostérone / rénine (RAR) pour diagnostiquer un AC.

Patients et méthode : Une analyse rétrospective a été réalisée chez 746 patients hypertendus admis pour un bilan standardisé comprenant la Pr entre avril 1999 et décembre 2012. Les patients ayant eu leurs dosages hormonaux sans traitement neutre ont été exclus (n = 96). Les 3 groupes étaient les suivants : Groupe AC : 1) RAR > 46 pg/pg, ± aldostéronémie post test de charge sodée > 36 pg/l si disponible, et 2) latéralisation morphologiques au scanner ± prélèvements veineux séparés avec latéralisation (rapport > 4), si disponible et 3) adénome en

anatomo-pathologie, et 4) amélioration ou guérison de l'HTA en post opératoire. Groupe HPS : 1) RAR > 46 pg/pg, et aldostéronémie couchée > 150 pg/ml, et 2) surrénales au scanner normales ou hyperplasiques, et 3) absence de latéralisation si prélèvements séparés réalisés. Groupe HTA essentielle : absence d'argument pour une forme secondaire.

Résultats: 650 patients ont été inclus dans l'analyse. Les principaux résultats sont les suivants: médiane, [25° et 75° percentile]. 33 patients n'ont pas pu être classés selon ses critères et ont été exclus de l'analyse. Le RAPr est plus discriminant que le RAR pour identifier les AC par rapport aux HPS, (area under the receiver operating curve (AUC) à 0,75 et 0,64, respectivement, p = 0,04). Avec un seuil de 8 pg/pg, le RAPr a une sensibilité (Se) de 57 %, une spécificité (Sp) de 93,0 %, et classe correctement 79,3 % des patients. En réintégrant dans le groupe HPS, les 33 patients exclus, les AUC du RAPr et du RAR sont respectivement de 0,75 et 0,69 (p = 0,15), au même seuil, on a Se = 60 %, et Sp = 90 %.

Conclusion : Un hyperaldostéronisme chronique semble associé à un niveau plus bas de Pr, particulièrement dans sa forme caricaturale, l'AC. La Pr ou le RAP pourraient être utilisés dans le dépistage des AC.

Tableau 1

	Groupe AC N = 35, 5,3 %	Groupe HPS N = 57, 8,7 %	Groupe HTA essentielle P N = 488, 75,1 %	
Âge (ans	50,2 [40,8-60,5]	54,9 [47,2-59,9]	51,1 [39,5-60,1] 0,09	
Aldo (pg/ml)	321,3 [169,1-527,9]	184,9 [140,2-255,5]	68,5 [40.5-110.1] < 0,001	
Pr (pg/ml)	32,9 [23,2-52,7]	40,4 [32,3-56,0]	50,3 [33,6-76,9] < 0,001	
RAR (pg/pg)	177,7 [70,5-359,4]	100,0 [67,9-151,2]	(0,001 < 0,001	
RAPr (pg/pg)	8,6 [4,1-18,3]	4,3 [2,75-6,3]	1,4 [0,6-2,6] < 0,001	

CO-15 Physical fitness improvement after cardiac rehabilitation program depends on aortic stiffness L'amélioration de la performance physique ar rès ur

L'amélioration de la performance physique ar rès un programme de réadaptation cardiaque dépend de la rigidité aortique

- D. AGNOLETTI (1), S. MILLASSEAU (2), G. AMAH (3), C. QUIT (3), S. GAGEY (3), J. PEROZ (3), M. DUVAL (3), K. ABDEN VBI (3)
- (1) Paris Descartes University; AP-HP; Diagnosis And Therapeutic Center Hôtel-Dieu,
- (1) Paris Descartes University; AP-HP; Diagnosis And Therapouric Center, Hotel-Diet Paris, France,
- (2) Pulse Wave Consulting, Saint Leu La Foret, France, (3) Cardiac Rehabilitation, Bellan Hospital, Paris, France

Aortic pulse wave velocity (PWV) is a measure of versular organ damage. After a cardiac event, patients can be proposed to follow an educational and exercise program to prevent future events and improve their cardiovascular risk. We hypothesized that the improvement of a cobic performance will depend on their initial arterial health measure a with P $\vee V$.

126 patients (99men, 27 vomer) followed cardiac rehabilitation programs of Bellan Hospital in Paris. Programs duration lasted from 1 to 4 months.

Carotid femoral PWV, blood p. ssure (MAP) and heart rate (HR) were measured in a quiet room in the morning of their first and last day prior to any exercise. VO2max was also measured at entry and at the end of the rehabilitation program. PWV was correlated with age (R2=0.23), MAP (R2=0.10) and VO2max (R2=0.14) on the first day of the program. There was a small significant reduction in MAP (92±12 to 88±10 mmHg, p<0.001), in PWV (12.1±3.4 to 11.4±3.1 m/s, p=0.002), an increase in VO2max (19.7±5.5 to 21.8±6.5 ml/kg/mm, p<0.001) but no change in resting HR (70±13 to 67±11 bpm p=0.02). When the cohort was separated

into PWV tertiles at entry, patients with the lowest PWV exhibit the highest improvements in VO2max (see figure).

In our cohort, physical fitness improvement depends on entry arterial stiffness with highest results for patients with low PWV and poorest results for patients with high PWV.

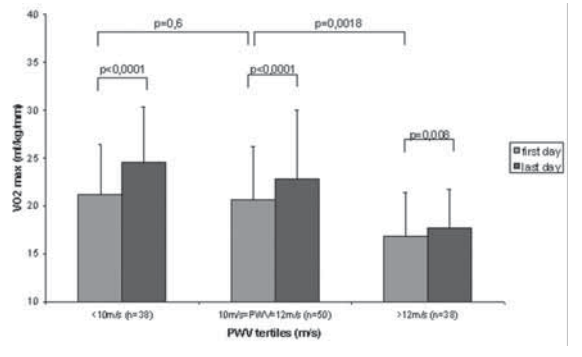


Figure 3

Jeudi 19 décembre 2013 de 16h30 à 18h00

Cœur et vaisseaux 1

CO-16

Acute exposure to diesel exhaust increases pulmonary arterial resistance but does not enhance pulmonary hypoxic vasoconstriction L'exposition aiguë aux émissions de diesel augmente les résistances vasculaires pulmonaires mais n'exacerbe pas la réponse vasoconstrictive pulmonaire hypoxique

A. WAUTERS (1), M. VINCENZI (1), B. DE BECKER (1), J. RIGA (1), F. ESMAEILZADEH (1), V. FAORO (2), R. NAEIJE (2), J. VACHIERY (1), P. VAN DE BORNE (1), J. ARGACHA (1)

(1) Département De Cardiologie, Université Libre De Bruxelles (ulb), Hôpital Erasme, Bruxelles, Belgium,

(2) Laboratoire De Physiologie Et Physiopathologie, Université Libre De Bruxelles (ulb), Bruxelles, Belgium

Objectives: The aim of the study was to investigate the effects of an acute exposure to diesel exhaust on pulmonary vascular resistance (PVR).

Background: Air pollution was recently identified as an important risk factor for congestive heart failure. Some data suggest that polluted air (PA) exposure could affect pulmonary hemodynamic. No previous study has prospectively addressed the acute effect of PA on PVR in both resting and cardiac stress condition.

Methods: 18 healthy male were exposed to ambient air (AA) and PA during 2 hours in a randomized, crossover study design. The effects on PVR, the coefficient of distensibilty of pulmonary vessels α , the right and left ventricle functions were evaluated during (1) resting condition, (2) dobutamine stress echocardiography (n=10), and (3) an exercise stress echocardiography performed in hypoxia (n=8).

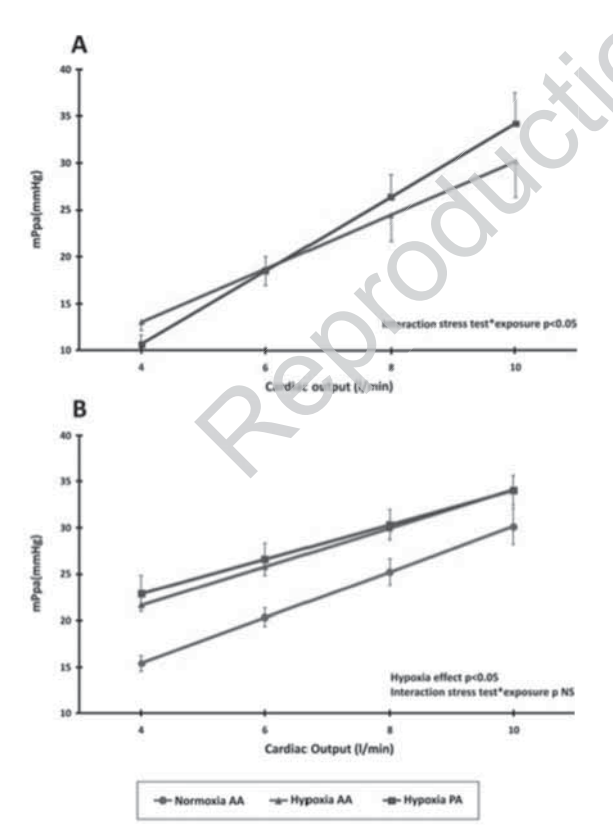


Figure 4

Results: At rest, PA did not affect PVR compared to AA. During dobutamine stress, PA increased PVR from 2.8±0.5 mmHg.min/l to 3.9±0.5 mmHg.min/l (Fig.A; p<0.05) and decreased coefficient α from 0.96±0.15 to 0.64±0.12 %/mmHg (p<0.05). Hypoxia increased PVR from 3.9±0.2 to 4.6±0.2 mmHg.min/l compared to normoxia (Fig.B; p<0.05). Compared to AA, PA was not able to enhance the hypoxic related increase in PVR (Fig.B). PA did not affect ventricles functions in any condition.

Conclusions: Acute exposure to diesel exhaust increases PVR throughout decreased vessel distensibility. This pulmonary hemodynamic reaction is masked by an external hypoxic vasoconstrive stimulus, which suggests similar pathway and vascular site of action of both diesel exhaust and hypoxia.

CO-17

Acute catecholamine cardiomyopathy in patients with phaeochromocytoma or functional paraganglioma

Cardiopathie catécholaminergique aiguë chez les patients ayant un phéochromocytome ou paragangliome (PPGL) sécrétant

A. GIAVARINI (1), A. CHEDID (2), G. BOBRIE (2) P. PLOUIN (2), A. HAGEGE (3), L. AMAR (2)

(1) Università Statale Di Milano, San Giuseppe Hospital, Department Of Internal Medicine, Milan, Italy,
(2) Université Paris-Descartes; AP-HF Hôpita Européen Georges Pompidou,

Hypertension Unit, Paris, France

(3) Université Paris-Descartes; AF-HP, Hôpital Européen Georges Pompidou, Department Of Cardiology, Paris, France

Background: Phecebromocyto has and paragangliomas (PPGL) can cause acute catecholamine cardio nyopathy (ACC). We assessed the prevalence of ACC and compared the presentation of cases with or without ACC in a large series of

Method and results: We analyzed the records of 140 consecutive patients with PPGL referred to a single centre from January 2003 to September 2012. Fifteen patients (11%) had suffered an ACC that occurred before the diagnosis of PPGI in 14 cases. Precipitating factors were identified in 1cases. Twelve patients presented as acute pulmonary oedema including 10 with cardiogenic shock, requiring life support in eight cases. Seven patients (five with pu monary oedema) presented with acute chest pain and cardiac dysfunction. Electrocardiographic anomalies were present in 14 cases: ST-segment elevations or pathological Q waves, ST-segment depression and/or diffuse Twave inversion. Six patients displayed classical (apical ballooning) or inverted (basal/mid-ventricular stunning) Takotsubo-like cardiomyopathy. Coronary arteries were always normal on angiography. In patients with ACC, median left ventricular ejection fraction (LVEF) rose from 30 [interquartile range 23-33] during ACC to 71% [50-72] before surgery (n=11, p=0.001). Median LVEF before PPGL surgery was 65% [51-72] in patients with and without a history of ACC, respectively (NS).

Conclusion: PPGL may present as ACC in 11% of cases, excluding patients dying from undiagnosed tumors. Left ventricular dysfunction is usually reversible before surgery. PPGL should be suspected in patients with acute heart failure without evidence of valvular or coronary artery disease.

CO-18

HTA rénovasculaire sur sténose athéromateuse : suivi des patients revascularisés et non revascularisés après décision en réunion de concertation pluridisciplinaire (RCP). Étude d'un registre depuis 2009 Atherosclerotic renovascular hypertension: revascularization versus optimal medical treatment based on a multidisciplinary approach

F. AH-KANG (1), T. LHERMUSIER (1), V. BONGARD (2), S. HUO YUNG KAI (2), H. ROUSSEAU (3), D. CHAUVEAU (4), P. BERNADET (5), A. HUART (4), A. BURA-RIVIERE (6), J. AMAR (1), B. CHAMONTIN (1), B. BOUHANICK (1)

- (1) Service De Médecine Internet Et HTA CHU De Rangueil, Toulouse, France,
- (2) Service D'épidémiologie CHU De Rangueil, Toulouse, France, (3) Service De Radiologie CHU De Rangueil, Toulouse, France,
- (4) Service De Néphrologie Et Immunologie Clinique CHU De Rangueil, Toulouse,
- (5) Service De Néphrologie CHU De Rangueil, Toulouse, France, (6) Service De Médecine Vasculaire - CHU De Rangueil, Toulouse, France

Introduction: Les différents essais cliniques comparatifs randomisés n'ont pas démontré de bénéfice significatif en faveur d'une revascularisation en cas de sténose artérielle rénale (SAR) athéromateuse. Objectif : Évaluer le devenir du contrôle tensionnel des patients présentant une HTA rénovasculaire athéromateuse après décision de revascularisation ou non au cours d'une Réunion de Concertation Pluridisciplinaire (RCP).

Méthodes : Étude de registre des patients revascularisés ou traités médicalement après discussion en RCP de janvier 2009 à juin 2012. Les patients hypertendus non contrôlés, présentant une SAR d'origine athéromateuse significative (> 60%) ont été inclus. Le contrôle tensionnel a été évalué sur les données d'une MAPA ou à défaut, sur des mesures casuelles. Le devenir de la fonction rénale (clairance selon la formule MDRD) et la survenue d'évènements cardio-vasculaires ont également

Résultats: 97 patients ont été inclus: 19 dans le groupe « Angioplastie (ATL) » et 68 dans le groupe « Traitement médical » (58,8 % d'hommes ; âge moyen : 68 ± 10 ans). La moyenne des pressions artérielles (PA) initiales est de 151/80mmHg avec une clairance moyenne de 63 ml/min/1,73 m². Le contrôle tensionnel a été évalué sur une MAPA pré- et post-décision en RCP chez 67 patients. Après revascularisation, le delta moyen de PAS/PAD des 24 h est de -17,7/-9,4mmHg chez les revascularisés (Groupe G1) et de -3,6/-2,6mmHg chez les non revascularisés (Groupe G2) (p = 0,005/p = 0,02), soit un delta de PAS/PAD diurne de -16,4/-8,4mmHg (G1) vs -4,0/-2,7mmHg (G2) (p = 0,02/p = 0,064) et un delta de PAS/PAD nocturne de -20,4/-10,0mmHg (G1) vs -4,4/-2,9mmHg (G2) (p = 0,003/p = 0,014), en faveur de la revascularisation, alors que le nombre d'antihypertenseurs diminue dans ce bras (avant ATL: 3,5 ± 1,4; après ATL: 3,2 ± 1), contrairement à ce qui est observé en cas de traitement médical (avant RCP : 3,2 ± 1,3 ; après RCP : 3,4 ± 1,1). Aucune différence significative entre les 2 groupes n'est observée sur la fonction rénale. Plus d'évènements cardiovasculaires ont été observés chez les revascularisés avant la procédure, comparativement aux non revascularisés. Au cours du suivi, nous avons observé 2 œdèmes aigus pulmonaires chez des patients appartenant au groupe « Traitement médical ».

Conclusion: Un patient sur 5 est revascularisé après discussion en RCP, avec un bénéfice net en termes de contrôle tensionnel autorisant une réduction du nombre d'antihypertenseurs, alors qu'un renforcement thérapeutique en cas de non revascularisation ne permet pas d'obtenir un contrôle tensionnel similaire.

CO-19

Le remodelage artériolaire rétinien en optique adaptative est associé au remodelage ventriculaire gauche dans l'hypertension artérielle Retinal arteriolar remodeling as assessed by adaptative optics correlates with ventricular remodeling in hypertension

D. ROSENBAUM (1), E. KOCH (2), A. REDHEUIL (3), N. KACHENOURA (3), E. BOLLACHE (3), F. VILLENEUVE (1), P. CLUZEL (4), M. PAQUES (2), X. GIRERD (1)

- (1) Unité De Prévention Des Maladies Cardiovasculaires, Hôpital Pitié-Salpêtrière, AP-HF Paris, France.
- (2) Institut De La Vision, Cic Des 15/20, Hôpital Des 15/20, AP-HP, Paris, France,
- (3) Laboratoire D'imagerie Fonctionnelle, Inserm U678, upmc, Paris, Fance (4) Département D'imagerie Cardiovasculaire, Hôpital Pitié-Salpêtriere, AP-HF, Paris,

Objectifs: L'hypertension s'accompagne d'un remodel ge an ériel et ventriculaire. Il s'agit d'une augmentation de l'épaisseur de la paroi des vaisse aux et du myocarde et d'une diminution relative de la lumière. Le but de cette étude était de montrer les liens entre ces 2 territoires en utilisant l'image de rétinienne par optique adaptative et l'IRM cardiaque.

Méthodes : Le niveau de pression artérielle a été évalué par automesure et les autres facteurs de risque recueillis lo s d'in bila en hôpital de jour. Par ailleurs la pression centrale a été mesurce par Sphygmocor® juste avant l'IRM. Le rapport masse/volume ventriculaire gauche (M/V) a été calculé en utilisant la masse et le volume télédiastoliques obtenus de manière semi-automatique avec le logiciel QMASS® sur des séquences cine acquises en petit axe avec une IRM 1,5 Tesla (Siemens®). La mesure du rapport paroi/lumière des artérioles rétiniennes (WLR) a été obtenue par optique adaptative, une imagerie non-invasive qui permet une résolution de l'ordre du micron

Résultats : Vingt-trois patients hypertendus traités stables et non contrôlés en prévention primaire ont été recrutés, ainsi que 8 témoins non hypertendus appariés pour le sexe, l'âge, la taille, le statut tabagique et l'HBA1c. Les pressions artérielles centrale et ambulatoire étaient significativement différentes entre les 2 groupes : 137/92 vs. 113/77 mmHg (p < 0,001) et 145/90 vs. 126/76 mmHg (p < 0,001), respectivement. Il existait un remodelage à la fois rétinien et ventriculaire chez les hypertendus comme le reflète l'augmentation significative du WLR (0,23 vs 0,3, p < 0,001) et du M/V myocardique (0,55 vs. 0,72, p < 0,01). En analyse univariée, l'âge, le BMI et le niveau tensionnel étaient des facteurs associés à M/V alors que seules les pressions déterminaient le WLR rétinien. Par ailleurs, aucun facteur de risque cardiovasculaire (HBA1c, LDL-C, HDL-C, Tabagisme, créatinine) n'était lié au remodelage d'aucun des territoires. Enfin, il existait une corrélation forte entre les 2 marqueurs de remodelage (r = 0,51, p = 0,01), qui disparaissait après ajustement sur la pression artérielle centrale.

Conclusion : Les remodelages artériolaires et ventriculaires sont liés au niveau tensionnel. L'imagerie du remodelage rétinien permet d'approcher de façon rapide et non invasive le remodelage myocardique.

CO-20

Hypertension and arterial mechanical properties after antiangiogenic drugs: association with cancer progression and mortality Hypertension et propriétés mécaniques des

artères après traitement par anti-angiogéniques : association avec la progression et la mortalité tumorale

M. ALIVON (1), J. GIROUX (2), M. BRIET (1,3), F. GOLDWASSER (2), S. LAURENT (1), P. BOUTOUYRIE (1)

- (1) Inserm U970 Parc HEGP, Paris, France,
- (2) Ceria Service D'oncologie Cochin, Paris, France,
- (3) Cic Hegp, Paris, France

Objective: Arterial hypertension is the most common side effect of antiangiogenic drugs (AAD) targeting VEGF pathway, which are used in an increasing number of cancers. Targeting VEGF pathway may also affect large and small artery mechanical properties, along with or independently of BP changes. We hypothesized that, changes in large and small artery properties (i.e. stiffness and remodeling) in response to AAD reflect their effect on the microcirculation at the site of the tumor, and thus are related with can er progression and mortality.

Design and method: From October 2010 to March 2013, 60 patients [age 58 (15) years, mean SBP 127(21) mmHg] with various metastatic solid tumors (mostly kidney, but also thyroid, liver cancers and sarcomas) with an indication to treat with AAD (sorafenib, sunitinib or bevacizumab) were included. Noninvasive arterial investigation was performed before the introduction of AAD (V0), 7-10 days later (V1, i.e. before administration of antihypertensive drugs) and then every two weeks for two months (V1 to V4): carotid-femoral pulse wave velocity (cfPWV), central SBP and augmentation index (cAIx) by applanation tonometry (SphygmoCor®), and carotid stiffness (CStiff) and internal diameter (CiD) by high resolution echotracking (Artlab®). Cancer progression and mortality were assessed at 6 months.

Results and conclusion: 19(32%) patients developed hypertension (>140 and 90 mmHg) between V0 and V1, and 9 (15%) additional patients between V1 and V4. Using linear mixed model analysis with random effects, we showed that bSBP sig uificantly increased during follow-up (V0-V1: +9.3±15.2mmHg, P<0.001; V0-V4. +6.0±17.8mmHg, P=0.03), as well as PWV, CStiff, and CiD. cAIx did not significantly change during follow-up. Baseline cAIx independently predicted car cer progression and mortality (P<0.01): the higher the baseline cAIx, the lower the cancer progression (RR=0.73 per 10%) and mortality (RR=0.73 per 10%). SBP had no predictive value. The V0-V1 increase in CStiff predicted cancer progression (RR=1.37 per 1 m/s, P=0.02), independently of age and MBP. Similar results were observed in the 23 patients with renal cancer. In conclusion, increased wave reflection and arterial stiffness, but not brachial or central SBP, were related with the effects of AAD on cancer progression and mortality.

Jeudi 19 décembre 2013 de 16h30 à 18h00

Génétique/fondamentale

CO-21

Meta-analysis of transcriptomic organization of tissue renin- angiotensin-aldosterone and corticosteroid systems in human Méta-analyse de l'organisation transcriptomique des systèmes angiotensines et corticoïdes tissulaires chez l'homme

A. NEHME (1,2), C. CERUTTI (1), K. ZIBARA (2), G. BRICCA (1) (1) Ea4173 Functional Genomics Of Arterial Hypertension, Claude Bernard University-Lyon 1 (ucbl1), Lyon, France, (2) Biology Department, Lebanese University, Hadath, LEBANON

Background: Colocalization of local tissue Angiotensin (tAS) and Corticosteroid systems (tCOS) raises questions about their pathophysiological and pharmacological importance and their role in end organ damage in hypertension. In the local settings, not only classical metabolic pathways and receptors but also alternative pathways involving unconventional enzymes and receptors may be of importance, similar to what is found in the arterial wall and atheroma development. Our hypothesis is that coordination within 36 tACS genes (tAS + tCOS genes) has a major role in orienting local cellular mechanisms of normal and pathological tissue function. In this study, we investigate whether such coordination within tACS genes could be unraveled at the transcriptomic level across different human tissues.

Materials and Methods: Datasets of normal tissues (not diseased, no infection, not post-mortem) containing more than 10 individual samples were downloaded from GEO microarray database and were used for tACS expression data processing. The R software was to identify clusters within the 36 tACS genes (hierarchical clustering using correlation and Ward's agglomeration method), and to calculate the inter- and intra-cluster correlation significance in 90 datasets from 7 normal tissues (datasets/samples): adipose (22/939); heart (5/148); airways epithelium (22/794), lung (8/330); ovary epithelium (5/53); kidney (10/197); and skeletal muscles (18/711), overall regrouping 3170 individual tissue samples. The reproducibility of gene clusters between the different datasets was then assessed. For each tissue, clusters observed in more than 60% of the datasets were selected.

Results: Our analysis revealed a tissue-specific organization within tACS in which 3 types of transcript groups were identified: (1) almost constant transcript groups (found in 5 out of the 7 tissues, notably except ovary and kidney), mainly: (i) Cathepsins A and D, and (ii) Angiotensin type 1 receptor, mineralo- and glucocorticoid receptors; (i) and (ii) often being inversely correlated; (2) tissue-selective transcript groups (secondary genes, enzymes involved in signal generation and degradation); and (3) almost never clustered transcripts. Although there was little coordination between the 2 systems (tAS and tCOS) at the signal generation level, coordination was strong at the receptor level. Key genes such as renin, angiotensinogen, ACE, 11BHSD1 and 11BHSD2 were only occasionally clustered. Conclusions: Our results show that beyond inter-individual variability a coordination of transcripts within tACS could be uncovered both at the signal generation and signal response (receptors) levels. Tissue-specific groups of tACS transcripts were identified suggesting that targeting tissue-specific coordination may be a way to achieve tissue-specific modulation of tACS.

Keywords: Genetique

CO-22

Role of lipocalin 2 (LCN2) in cardiovascular remodeling induced by aldosterone Rôle de la lipocalin 2 dans le remodelage cardiovasculaire induit par l'aldostérone

A. TARJUS (1), S. EL MOGHRABI (1), C. LATOUCHE (1), P. ROSSIGNOL (2), F. ZANNAD (2), N. FARMAN (1), N. LÓPEZ-ANDRÉS (3), F. JAISSER (1)

- (1) Inserm U872 Équipe 1, Centre De Recherches Des Cordeliers, Paris, France,
- (2) Inserm U961, Faculté De Médicine, Vandoeuvre-Lès-Nancy, France, (3) Centro De Investigacion Biomedica De Navarra, Pamplona, Spain

Neutrophil Gelatinase Associated Lipocalin or Lipocalin 2 (LCN2) is a circulating protein, member of the lipocalin family, which binds MMP9 and modulates its stability and activity. We have recently shown that LCN2 is a primary target of aldosterone/mineralocorticoid receptor (MR) in endothelial cells, vascular smooth muscle cells and cardiomyocytes. We hypothesized that LCN2 could be a mediator of aldosterone/MR profibrotic and proinflammatory effects in the cardiovascular system. Wild type (WT) and LCN2 Knock Out (KO) mice were subjected to an uni-nephrectomy aldosterone salt challenge (NAS, 200µg/kg/c v of 1do, 1% NaCl in tap water) for 4 weeks. Blood pressure (SBP) was m asure by tail cuff method. Vascular reactivity was assessed by wire myograph. Cardio ascular fibrosis and inflammation were analyzed by RT-PCR, western blot, immunohistochemistry and ELISA. There was no difference in SBP between transgenic mice compared to WT mice in basal condition. With NAS challenge, SBP was increased only in WT (SBP; CT 107±3, CT NAS 133±5, KO 109±3, KO NAS 115±3 mmHg). Ex vivo aortic contraction induced by phenylephrine (Phe) and potassium chloride (KCl) were increased by NAS challenge in VT and KO (Emax Phe; CT 2.28±0.8, CT NAS 10.65±1.3, KO 1.45±0.3, KO NAS 9.32±0.9 mN). Responses to vasodilators (acetylcholine and sodium n troprussiate) were altered in NAS condition in both groups. Quantification of pro ollagen I N-terminal peptide (PINP) in plasma showed an increase of PINP due to NAS treatment in WT that was prevented by LCN2 inactivation (CT 83±15, CT NAS 129±10, KO 70±19, KO NAS 59±12 μg/l). In myocardium, NAS treatment increased collagen type I and perivascular fibrosis in WT whereas KO were resistant to fibrosis (Collagen Volume Fraction; CT 19±3, CT NAS 28±2, KO 20±3, KO NAS 20±3%). In aorta, collagen type I, vascular fibrosis and osteopontin were also increased by NAS in WT. These

biotarget in cardiovascular fibrosis. Keywords: Vaisseaux

CO-23 Heritability of blood pressure according to dietary patterns in the Swiss population Héritabilité de la pression artérielle en fonction du mode d'alimentation dans la population suisse

increases were prevented by LCN2 inactivation (CVF; CT 24±4, CT NAS

34±5, KO 21±2, KO NAS 28±2%). Our results show that LCN2 plays a role in

aldosterone/MR-mediated vascular fibrosis and inflammation, but not in cardiac

interstitial fibrosis and vascular dysfunction. We suggest that LCN2 could be a new

H. ALWAN (1), G. EHRET (2), B. PONTE (3), M. PRUIJM (4), D. ACKERMANN (5), I. GUESSOUS (1), J. STAESSEN (6,7),

- K. ASAYAMA (6), Z. KUTALIK (1), P. VUISTINER (1), F. PACCAUD (1), A. PECHERE-BERTSCHI (8), M. MOHAUP (5), B. VOGT (5), P. MARTIN (2), M. BURNIER (4), M. BOCHUD (1)
- (1) University Institute Of Social And Preventive Medicine, Lausanne, Switzerland, (2) Department Of Cardiology, University Hospital Of Geneva, Geneva, Switzerland,
- (3) Service Of Nephrology, University Hospital Of Geneva, Geneva, Switzerland,
- (4) Service Of Nephrology, University Hospital Of Lausanne, Lausanne, Switzerland, (5) Clinic For Nephrology, Hypertension And Clinical Pharmacology, University Hospital Of Bern, Bern, Switzerland,
- (6) Studies Coordinating Centre, Department Of Cardiovascular Diseases, University Of Leuven, Leuven, Belgium,
- (7) Department Of Epidemiology, Maastricht University, Maastricht, Netherlands, (8) Department Of Community Medicine And Primary Care And Emergency Medicine, University Hospital Of Geneva, Geneva, Switzerland

Background: We estimated the heritability of ambulatory blood pressure (BP) and heart rate (HR) in a Swiss population-based sample, and examined the role of selected dietary factors on these heritabilities.

Methods: SKIPOGH (Swiss Kidney Project on Genes in Hypertension) is a family-based study focusing on BP genetics. Heritability was estimated using a maximum likelihood method implemented in the S.A.G.E. software, overall and by family-specific strata of dietary patterns. Heritability was defined based on the homogeneity and absolute levels of 24-hour ur nary so dium, potassium, and urea

Results: The 536 men and 595 women from 273 families included in this analysis had a mean (±SD) age of 47.2 (±17.7) and 47.6 (±17.2) years and a mean BMI of 25.9 (±4.2) and 24.1 (±4.6) kg/m2, respectively. Heritability estimates for 24-hour ambulatory systolic BP, diastolic EP, HR, and pulse pressure were, respectively, 0.34±0.07, 0.26±0.07, 0.22±0.08, and 0.26±0.07 (all P<0.01). For daytime systolic BP, heritability estimates were 0.49 ±0.08 under homogeneous and 0.24 ±0.09 under heterogeneous potassium excre on patterns, respectively (P for difference=0.042). For daytime diastolic BP, heritability estimates were 0.45±0.05 under homogeneous and 0.15 0.10 under heterogeneous sodium excretion patterns (P for difference 0.005).

Conclusions: We found significant, albeit moderate, overall heritability estimates for ambulatory BP, HR, and pulse pressure. Heritability estimates for daytime ambulatory BP tended to be higher in families with homogeneous dietary pa terns. This was not the case for night-time BP and HR. Our findings highlight the importance of taking dietary factors into account when looking for genetic determinants of BP.

Keywords: Genetics

CO-24

Endothelial alpha ENaC subunit is crucial for endothelium stiffness and participates to shear stress sensing in vivo

La sous-unité alpha du canal ENaC endothélial joue un rôle crucial dans la rigidité de l'endothélium et participe à la détection du flux in

A. TARJUS (1), P. JEGGLE (2), C. FASSOT (3), S. EL MOGHRABI (1), H. OBERLEITNER (2), D. HENRION (3), N. FARMAN (1), K. KUSCHE-VIHROG (2), F. JAISSER (1)

- (1) Inserm U872 Équipe 1, Centre De Recherches Des Cordeliers, Paris, France, (2) Institute Of Physiology Ii, University Of Muenster, Muenster, GERMANY,
- (3) UMR, CNRS 6214 Inserm 1083, Université d'Angers, Angers, France

The Epithelial Sodium Channel (ENaC) is a key actor in renal sodium homeostasis. The expression of α β γ ENaC subunits has been shown in the endothelium and vascular smooth muscle (Pérez et al, Hypertension 2009, VanLandingham et al, Am J Physiol Regul Integr Comp Physiol 2009), suggesting a role in vascular function. ENaC expression is increased by aldosterone via MR in the endothelium (Kusche-Vihrog et al, Pflugers Arch 2008). We recently demonstrated that endothelial ENaC is involved in aldosterone-modulated endothelial stiffness (Jeggle et al, Hypertension 2013). The physiopathological role of endothelial ENaC remains to be explored in vivo. It has been proposed that ENaC may act as a mechanosensor, as a member of the degenerin channel family acting as sensors in C. elegans. We hypothesized that the endothelial $\alpha ENaC$ subunit is involved in shear stress sensing in the vascular tree. We used mice with conditional α ENaC subunit gene inactivation in the endothelium only (Endo-αENaC Knock Out mice) and their controls. Renal function was explored using metabolic cages. Vascular reactivity was assessed by pressure myograph in mesenteric arteries. Endothelial stiffness was analyzed by Atomic Force Microscopy (AFM) in open aortic rings. Renal function and sodium excretion (in basal state and after 1 mM NaCl acute challenge) were not affected, indicating that endothelial ENaC is not involved in sodium balance. Endothelial stiffness was decreased in aorta by acute incubation with benzamil (15min, 1µM) and by the absence of αENaC expression in the endothelium. Ex vivo vascular contraction induced by phenylephrine and potassium chloride were not modified in Endo-αENaC Knock Out mice, nor the vasodilatory response to acetylcholine. Myogenic tone was also similar between the two groups. However a striking difference was observed regarding flow-mediated vasodilation that is

blunted in Endo-αENaC Knock Out mice. Similar results were observed after acute ex vivo benzamil (1µM) treatment in WT mesenteric arteries. In aorta, phosphorylation of eNOS, Akt and Myosin Light Chain were increased in Endo αΕΝΑC KO mice as compared to WT. Our results demonstrate that the αΕΝαC subunit in endothelial cells is part of the flow-sensing machinery in the vessel. We also showed that in vivo ENaC inhibition (using genetic or pharmacological approaches) reduces endothelial stiffness. Whether these two findings are linked remain to be explored. The role of endothelial ENaC in pathophysiological situations (flow-mediated vascular remodeling, interaction of leucocyte with endothelium or atherosclerosis) is under investigation.

Keywords: Vaisseaux

CO-25

Plasma mean length increase of the aliphatic lipid chain is associated with left ventricular hypertrophy in hypertensive patients

L'augmentation de la longueur movenne des chaines aliphatiques des lipides du plasma est associée à l'hypertrophie ventriculaire gauche du patient hypertendu

P. ROUET (1), F. DESMOULIN (1), M. BERRY (1,2), B. CHAMONTIN (3), C. DELMAS (1,2), A. TURKIEH (1), C. CAUBERE (1), M. BARUTAUT (1), M. EVARISTI (1), B. SMIH (1), M. GALINIER (1,2)

- (1) Institut Des Maladies Métaboliques Et Cardiovasculaires I2mc Inserm Umr U1048, Equipe 7, Toulouse, France,
- (2) Service De Cardiologie A, CHU Rangueil, Toulouse, France,
 (3) Médecine Interne Et Hypertension Artérielle, CHU Rangueil, Toulouse, France

In Hypertensive patients, left ventricle (LV) hypertrophy (LVH) is a potent prognostic factor. Proton Nuclear Magnetic Resonance (1H NMR) spectroscopy, a new technique for analyzing blood metabolites profiles has proved to be one of the most powerful technologies in metabonomic studies of biofluids. We investigated for plasma LVH biomarkers of human Hypertensive Heart Disease using 1H NMR

In this prospective study, 96 hypertensive patients (48 LVH vs. 48 normal LV size) and 24 healthy controls were selected for plasma 1H NMR-based metabonomic profiling. A multivariate analysis of the spectral data set was performed by using the Partial Least Squares Discriminant Analysis (PLS-DA).

PLS-DA Scores plot of spectral data revealed sample clustering according to the clinical state. PLS-DA loading plot reveals the variables influencing that discrimination. Discriminant variables were identified as signals coming from the methylene (-CH2) and methyl (-CH3) moieties of aliphatic chain from plasma lipids.

Thus, the CH2/CH3 ratio which is an indicator of mean length of the aliphatic lipid chain was significantly higher for the LVH group of patients. No difference was observed between two hypertensive groups for blood level of Cholesterol or acyl chain

LVH is associated with profound metabolic changes. Indeed, fatty acid (FA) oxidation is lowered in LVH as a consequence of PPAR alpha transcription factor underexpression. In particular, a selective impairment of long chain FA oxidization via a down regulation of CPT1 has een demonstrated in animal models. These observations could explain hanges in lipid profiles observed in LVH's group plasma. Thus, the mean length increase of the aliphatic lipid chain we measured in the plasma from LVH patients is in agreement with previous studies on cardiomyocytes that showed a lipid metabolism alteration with a lower oxidation rate for long chain FA.

Keywords: Autre

Jeudi 19 décembre 2013 de 16h30 à 18h00

Clinique

CO-26

Association entre contrôle tensionnel et hypotension orthostatique chez 4435 patients âgés hypertendus, suivis en médecine générale

Blood pressure control and orthostatic hypotension in 4435 hypertensive older patients in general

M. PLICHART (1), J.-S. VIDAL (1), G. DERAY (2), E. CHAUSSADE (1), JM. TARTIERE (3), L. CAILLARD (1), F. BEAUVAIS (4), A. TSATSARIS (5), O. HANON (1)

- (1) AP-HP, Hôpital BROCA, Paris, France,
- (2) AP-HP, Hôpital Pitié-Salpêtrière, Paris, France,
- (3) Centre hospitalier intercommunal, Toulon, France, (4) AP-HP, Hôpital Lariboisière, Paris, France
- (5) AstraZeneca, Rueil-Malmaison, France

Contexte : L'hypotension orthostatique (L'TO) est fréquente chez le sujet âgé et peut être un facteur limitant du bon con rôle tensionnel dans cette population.

Objectifs : Étudier le lien entre la présence d'une hypotension orthostatique et le contrôle tensionnel chez des patients âgés de 75 ans et plus, présentant une hypertension artérielle traitée et suivis en médecine générale

Méthode : Enquête observationnelle incluant 4 335 patients ambulatoires hypertendus traités, îgés de 75 ns et plus, recrutés par 1 494 médecins généralistes exerçant en France. Pour tous les sujets, la pression artérielle était mesurée en position couch e puis en orthostatisme. L'HTO était définie par une diminution de la pression a térielle systolique >= 20 mmHg et/ou >= 10 mmHg de la pression artérielle dia tolique, 1 minute après le passage en orthostatisme. L'analyse était ajustée sur le l'âge, le sexe et les traitements antihypertenseurs (classes thérapeutique et nombre de principes actifs).

 $oldsymbol{R}$ sultats : Dans cette population âgée de 80 ans (ET = 4,0) et composée de 52 % de femmes, la prévalence de l'HTO était de 8,4 % (n = 362). La présence d'une HTO était associée à un mauvais contrôle tensionnel (PA >= 140/90 mmHg vs < 140/90 mmHg; 9,9 % vs. 5,3 %; p < 0,001). Plus la pression artérielle était élevée, plus la prévalence de l'HTO était élevée (tableau 1). Après analyse multivariée (ajustée sur l'âge, le sexe et les traitements antihypertenseurs), on observait une relation linéaire entre le niveau tensionnel et le risque d'HTO : 140 < = PAS < 160 mmHg, OR = 1,52 (IC 95 %: 1,16-2,00), p = 0,006; PAS >= 160 mmHg, OR = 3,19 (IC 95 %: 2,36-4,31), p < 0.001) en comparaison aux sujets ayant une PA normale. Conclusion : Dans cette population de patients très âgés hypertendus suivis en ambulatoire, on observe une relation linéaire et indépendante entre la prévalence de l'HTO et le contrôle tensionnel. Un meilleur contrôle tensionnel est associé à une moindre fréquence d'HTO.

Tableau 2

Prévalence de l'HTO selon le niveau tensionnel

PAS < 140 mmHg	140 ≤ PAS < 160 mmHg	PAS ≥ 160 mmHg
HTO 5,6 % (n = 57)	8,0 % (n = 157)	14,5 % (n=118)

CO-27

Blood pressure lowering drugs do not decrease the risk of sudden death

Les antihypertenseurs ne réduisent pas le risque de mort subite

F. GUEYFFIER (1), Y. MIMOUNI (1), A. LEDIGARCHER (1), M. ARMANET (1), T. BEJAN ANGOULVANT (2), M. ALGOBARI (1), C. ELKHATIB (1), I. MARCHANT (3)

- (1) Universtité Lyon 1 CNRS Hospices Civils de Lyon, Lyon, France, (2) Service de Pharmacologie Clinique, Centre Hospitalier Régional et Universitaire,
- (3) Universidad de Valparaíso, Valparaiso, CHILE

Introduction: Many studies have shown that blood pressure lowering drugs (BPLDs) reduce the risk of stroke, with a lesser reduction of the risk of myocardial infarction (MI). This may be due to the fact that MI is a composite endpoint that includes three different endpoints: non-fatal MI, fatal MI and sudden death (SD), with potentially different risk reductions. Our objective was to assess the effect of BPLDs in reducing specifically the risk of non-fatal MI, fatal MI and SD in patients with hypertension.

Methods: Systematic review of all randomized controlled trials (RCTs) involving BPLDs used in the prevention of cardiovascular diseases in hypertensive patients, comparing these drugs to placebo or no treatment, or comparing intensive treatment regimen versus less intensive regimen, and providing separated data on the three types of coronary events. We searched PubMed and Cochrane library. Two reviewers assessed trials quality and extracted data independently. If detailed data were missing, authors were contacted. Sensitivity analyses were performed according to the type of comparator, the quality of the trials.

Results: We identified 33 studies (97,582 patients). There were separate outcome data for 18 trials (62,817 patients). Ten of them were high quality trials (i.e. placebo as comparator, high Jadad-score, and intention-to-treat analysis) including 38,472 patients. The results showed a 21% risk reduction for non-fatal myocardial infarction (46% of the major coronary events, relative risk = 0.79, 95% CI: 0.70 to 0.90) and 27% for fatal myocardial infarction (24% of the events, relative risk = 0.73, 95% CI 0.62, 0.88). There was no significant effect on sudden death (30% of the events, relative risk = 1.03, 95% CI 0.88, 1.21).

Conclusion: The benefit of BPLD in preventing fatal MI was of the same magnitude as that observed for stroke, of less magnitude in preventing non-fatal MI, and there was no apparent effect on SD, which were more numerous than fatal MI. We hypothesise that these drugs could induce some sudden deaths while preventing others. This could be tested in further analyses on individual patients data, and extended to comparison of drug classes.

CO-28 HTA sous itraconazole: une nouvelle cause d'HTA

Itraconazole: a new drug related cause of hypertension

T. DENOLLE (1), M. AZIZI (2), C. MASSART (3), MC. ZENNARO (4)

- (1) Hôpital Arthur Gardiner, Dinard, France, (2) Hôpital Européen Georges Pompidou, Paris, France,
- (3) Hôpital Pontchaillou, Rennes, France,
- (4) INSERM U 970 Cardiovascular Research Center-PARCC PARIS, Paris, France

L'itraconazole est un antifongique triazolé largement utilisé dans le traitement des infections fongiques locales et systémiques mais il est aussi étudié pour son action anti-angiogénique dans certains cancers métastatiques. Il peut être associé à des effets secondaires cardiovasculaires et particulièrement à une insuffisance cardiaque à fonction systolique préservée. Plusieurs cas d'HTA ont aussi été rapportés soit par interaction avec la cyclosporine par inhibition du cytochro ne P 450 3A4 entrainant un surdosage de cyclosporine, soit par syndrome de Cushing lors de l'association d'itraconazole et de budenoside inhalé. Récemment, dans une étude de phase 2 dans le cancer métastatique de la prostate, l'itraco azole à entrainé de manière dose dépendante (surtout à 600 mg/j) un syndrome associant HTA, hypokaliémie et œdème (The Oncologist 2013;18: 163-173). Une H 「A était rapportée chez 31 % et une hypokaliémie dans 17 % des patien . So. mé anisme exact est mal expliqué.

Nous rapportons le cas d'un patient de 68 ans bien équil bré s us irbésartan 150 mg/j pour une HTA depuis 2007 qui a developé une aspergillose pulmonaire traitée en juillet 2011 par de l'itracon zo e 200 ng/j sur des lésions cavitaires post tuberculeuses. Début 2012, son tra tement antihypertenseur a été progressivement renforcé pour atteindre une quadrithérapie sous olmésartan 40, hydrochlorothiazide 25, vérapamil 240, ilmén dine 2 avec une automesure à 157/78 mmHg. Une hypokaliémie a été note: à plusieurs reprises entre 2,5 et 3,5 mmol/l. Il était noté des œdèmes des membres inférieurs. Un bilan réalisé en Centre d'Excellence a montré une rén ne et une aldo téronémie effondrées avec un cortisol sérique et urinaire, des concentrations d'ACTH, de SDHA, de DOC normales. Les valeurs d'itraconazole plasmatique étaient très nettement augmentées. Sa fraction d'éjection était conservée sans HTAP et son BNP était normal. Sa fonction rénale était normale sans micro-albuminurie. Son scanner surrénalien et des artères rénales était normal. Après arrêt de l'itraconazole, son hypokaliémie et ses ædèmes ont rapidement disparu. Son automesure est à 122/70 mmHg sous olmetec 20, hydrochlorothiazide 12,5 et vérapamil 240. Les concentrations de rénine et d'aldostérone plasmatiques se sont normalisées. La sérologie aspergillaire reste positive avec toujours un aspect de truffe aspergillaire au scanner. Une lobectomie pulmonaire encadrée d'un traitement par voriconazole est prévue.

Les mécanismes sous-jacents aux effets de l'itraconazole via une action sur le récepteur aux minéralocorticoïdes pouvant aboutir à une HTA sévère avec hypokaliémie puis à un tableau d'insuffisance cardiaque sont en cours d'étude. Il s'agirait donc d'un 3e mécanisme d'HTA sous itraconazole survenant pour des forts dosages.

CO-29 High blood pressure and obesity: disparities among four French overseas territories Hypertension artérielle et obésité : des disparités entre quatre région d'outre-mer

A. ATALLAH (1), V. ATALLAH (2), J.-L. BOISSIN (3), P. KANGAMBEGA (4), L. LARIFLA (5), P. CARRERE (6), J. INAMO (7)

- (1) Service de Cardiologie, CH de Basse-Terre, Basse-Terre, Guadeloupe,
- (2) Service de Cardiologie, CHU Pitié-Salpêtrière, Paris, France,
- (3) Service de Diabétologie, CH de Papeete, Papeete, French Polynesia, (4) Service soins de suite, pied Diabétique, CHU Pointe-à-Pitre, Pointe-à-Pitre, Guadeloupe,
- (5) Service de cardiologie, CHU de Pointe-à-Pitre, Pointe-à-Pitre, Guadeloupe, (6) Réseau HTA-GWAD, Basse-Terre, Guadeloupe,
- (7) Service de Cardiologie, CHU de Port de France, Fort de France, Martinique

Background and purpose: The epidemiological characteristics of hypertension and obesity in French Overseas Territories (FOTs) have never been compared.

Methods: This cross-sectional survey included representative population-based samples of 602, 601, 620 and 605 men and women aged more than 15 years, respectively, from four FOTs of Guadeloupe, Martinique, French Guiana, and French Polynesia. Hypertension was defined as blood pressure (BP) at least 140/90 mmHg or the current use of antihypertensive treatment.

Results: The prevalence of hypertension was 29.2% in Guadeloupe, 17.9% in French Guiana, 27.6% in Martinique and 24.5% in French Polynesia. Considering the Guadeloupe population as the reference group, prevalence of hypertension was significantly lower in French Guiana (P<0.001), even after controlling for age and sex (P=0.006). Awareness and treatment of hypertension were similar in French Guiara, Martinique and Guadeloupe (68.8-75.1% and 69.0-73.4%, respectively). Awareness was lower in French Polynesia (50.0%, adjusted P value 0.04), as was treatment of hypertension (32.4%, adjusted P value 0.001). In contrast, the proportion of treated was as low as 32.4% in French Polynesia (adjusted P value: 0.001). Among treated hypertensive participants, the control of blood pressure was very similar across the FOTs from 54.2 to 64.7%. French Polynesia had the highest prevalence of obesity (33.1%, adjusted I value <0.001) as compared with the other territories (17.9-22.8%) It had also the largest population attributable fraction of hypertension due to obesity (35.5%) compared with Guadeloupe (13.3%), Martinique (12.3%) and French Guiana (23.6%).

Conclusion: Wide variations were observed in the prevalence and the management of hypertension between these FOTs, and an especially challenging low control of hypertension was found in French Polynesia. Obesity appears a key target to prevent hypertension, particularly in French Polynesia.

CO-30

L'efficacité de la dénervation rénale est plus importante chez l'hypertendu résistant ayant une pression pulsée à moins de 65 mmHg sur la MAPA pré-interventionnelle

The efficiency of renal denervation is more important in resistant hypertension with a pulse pressure less than 65 mmHg on the preinterventional 24-h ambulatory blood pressure monitoring

X. GIRERD (1), P.-Y. COURAND (2), D. ROSENBAUM (1),

- H. BENAMER (3), TH. LEFEBVRE (3), A. PATHAK (4), P. LANTELME (2)
- (1) Hôpital Pitié Salpêtrière, Paris, France,
- (2) Hôpital de la Croix-Rousse, Lyon, France (3) Hôpital Privé Jacques-Cartier, Massy, France,
- (4) CHU de Toulouse, Toulouse, France

Objectif : Analyser les MAPA réalisées avant et après dénervation rénale afin d'évaluer l'efficacité tensionnelle et de rechercher un paramètre pouvant la prédire. Méthode : Inclusion d'hypertendus résistants à une quadrithérapie et traités par dénervation rénale dans 5 centres en France. Une première MAPA est effectuée dans le mois précédent l'intervention, une seconde MAPA est réalisée entre 3 et 6 mois après la dénervation. Le traitement antihypertenseur est resté inchangé entre les deux évaluations. Pour l'analyse les sujets sont considérés comme : « normalisés » si la PAS24h < 130 et la PAD24h < 80 mmHg, « répondeurs » si la baisse de PAS24h est > à 10 mmHg ou plus, « non répondeurs » si la baisse de PAS24h est ≤ à 10 mmHg. Une analyse de sensibilité/spécificité pour le critère « répondeur » a été réalisée pour chaque paramètre décrivant la PA ou la FC (movenne, DS, jour, nuit, % dipping).

Résultats : 20 hypertendus âgés de 54 \pm 9 ans ont été traités par dénervation rénale. Après 3 mois, il est observé 50 % de « répondeurs » dont 30 % de « normalisés ». Chez les 50 % de « non répondeur » la PAS/PAD (24 h) initiale est de 179,1/101,5 mmHg et la variation de 0,8/1,9 mmHg. Chez le « répondeur » la PA initiale est de 166,8/96,2 et la baisse de -25,4/-14,4. Chez le « normalisé » la PA initiale est de 165,3/97,8 et la baisse de -35,2/-21,5. Dans l'analyse de prédiction pour le critère « répondeur » après dénervation, la présence d'une pression pulsée des 24 h < 65 mmHg sur la MAPA pré-interventionnelle possède une sensibilité de 70 %, une spécificité de 70 %, une VPP de 70 % et une VPN de 70 %.

Conclusion : Pour le traitement de l'hypertension résistante, la dénervation rénale montre une normalisation de la PA sur la MAPA à 3 mois pour 30 % des patients. Lorsque la Pression Pulsée sur la MAPA pré-interventionnelle est < 65 mmHg, une baisse de la PAS24 heure de plus de 10 mmHg peut être attendue chez 70 % des patients.

Vendredi 20 décembre 2013 de 08h30 à 10h00

CŒUR ET VAISSEAUX 2

CO-31

Notch3 est un médiateur essentiel dans l'adaptation cardiaque à une hypertension artérielle Notch3 is an important mediator of cardiac adaptation to pressure overload

H. RAGOT (1), R. MERVAL (1), M. BAUDET (1), L. FAZAL (1), E. POLIDANO (1), C. DELCAYRE (1), C. CHATZIANTONIOÙ (2), J. SAMUEL (1)

(1) UMR-S942, Hôpital Lariboisière, Paris, France,

(2) UMR-S702, Hôpital Tenon, Paris, France

Notch3, récepteur exprimé dans les cellules musculaires lisses vasculaires (CMLV) et les péricytes, a un rôle clé dans l'intégrité des artères de résistance via le contrôle de la maturation postnatale des CMLV, la différenciation artérielle et le tonus

Pour définir si Notch3 est impliqué dans la fonction du cœur adulte et plus particulièrement dans son adaptation à une HTA, des souris mâles C57Bl/6J âgées de 3 mois dont le gène Notch3 est invalidé (N3-/-) ont été utilisées. En condition basale, ces souris présentent une hypertrophie cardiaque (+25 %, p < 0,01 versus Wild Type, WT), combinée avec des défauts des artères coronaires telles qu'une diminution d'actine filamenteuse dans les média (définie par quantification de la phalloïdine fluorescente (-20 %, p < 0,05 versus WT)).

L'Hypertension artérielle (HTA) est induite par perfusion d'Angiotensine II (Ang II) via une minipompe osmotique (Alzet, ref 2004) pendant 28 jours (1 μg/kg/min). L'Ang II augmente la pression artérielle des souris WT et N3-/- mais l'HTA est moindre chez les souris N3-/- (p < 0,05). Bien que moins hypertendues, les souris N3-/- développent une insuffisance cardiaque associant une diminution de la fraction de raccourcissement (-20 %, p < 0,01 versus WT + Ang II), une aggravation de l'hypertrophie cardiaque (+ 20 %, p < 0,05) ainsi que des signes de fibrose et d'inflammation comme en témoigne l'induction des transcrits de fibronectine, collagène 1 (x2, p < 0,05) et galectine-3 (x 3,5, p < 0,01). Par ailleurs, des signes anti-angiogéniques incluant une diminution du VEGFa et de son récepteur (FLK-1) (- 40 %, p < 0,05) sont observés chez les souris N3-/- en réponse à l'HTA. Enfin l'analyse du compartiment vasculaire des souris N3-/- hypertendues révèle des défauts de la structure des artères coronaires avec une no

hypertrophie de la média, une diminution de l'actine de muscle lisse (-50 %, p < 0,01), et de la densité des artérioles (p < 0,05).

Ces résultats démontrent que les voies de signalisation Notch3 sont nécessaires à l'adaptation du réseau artériel coronaire à une HTA.

CO-32 Diastolic blood pressure, aortic atheroma, and prognosis in hypertension

> Pression artérielle diastolique, athérome aortique et valeur pronostique dans l'hypertension artérielle

P.-Y. COURAND (1,2), H. MILON (1), F. KHETTAB (1), J. FAUVEL (2,3), G. BRICCA (1,2), P. LANTELME (1,2)

(1) Service De Cardiologie, Hôpital De La Croix-Rousse, CHU Lyon, Lyon, France, (2) Eam 4173, Génomique Fonctionnelle De L'Hypertension Artérielle, Ucbl, Lyon, Hôpital Nord-Ouest, Villefranche-Sur-Saône, Lyon, France,

(3) Service De Néphrologie, Hôpital Edouard Herriot, Hospices Civils De Lyon, Lyon

Objectives: with aging, and for the same systolic (S) blood pressure (BP), a low diastolic (D) BP is associated with a poor prognosis. This association is usually ascribed to vascular and particularly aortic stiffening associated with the aging process. But the respective role of, age, DBP and agrue damages in this association are poorly understood. Thus, our study aimed at determining the interactions between the prognostic value of DBP, age and aortic atherosclerosis (ATS).

Design and Methods: 938 hypertensive patients recruited in the seventies with an aortography available. A calcincation score assessed ATS. All-cause and cardiovascular deaths were assessed after 20 years of follow-up. We performed a survival analysis with a Cox regression model and cubic splines (polynomial curve displaying the variation of adjusted hazard ratio for a continuous variable) adjusted for SBP, DBP, a ge and major cardiovascular risk factor.

Results: An increase 10 mmH of DBP was related to a protective effect in presence of ATS: hazard ratios 0 84 [0.72-0.99] for cardiovascular and 0.88 [0.78-1.00] for allcause death. Conversely, DBP had no prognostic value in absence of ATS: hazard ratios 1.05 [0.89-1.23] for cardiovascular and 0.99 [0.88-1.11] for all-cause death (p for interaction 0.061 and 0.087 respectively). No interaction was found between SBP and ATS (p for interaction > 0.40 for all). The figure below depicts the continuous risk for all-cause mortality according to DBP or SBP and aortic condition (cubic splines). Conclusions: the prognostic significance of low DBP is explained by aortic damage dependently of age. In addition, in the absence of aortic damage, no prognostic value of low DBP can be demonstrated. Our result can help us reconciling some controversies about the J curve since for a given SBP, low DBP is not always hazardous; it is so only in the presence of a poor aortic condition.

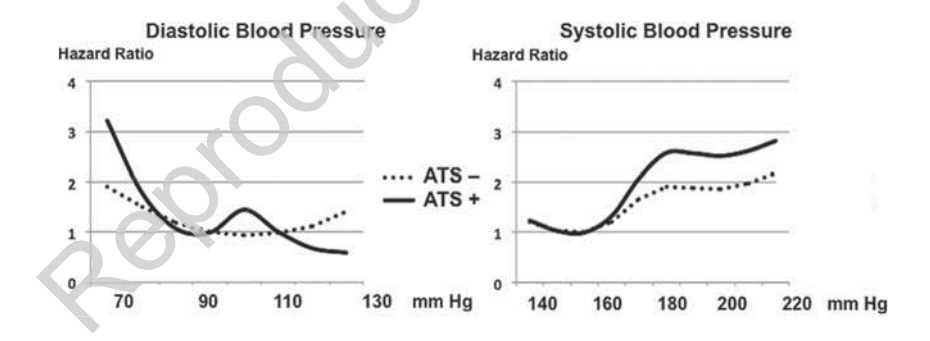


Figure 5

CO-33

Renal artery fibromuscular dysplasia: presentation, management and outcome according to the type of intervention

Dysplasie fibromusculaire des artères rénales : présentation, prise en charge et résultat en fonction du type d'intervention

A. GIAVARINI (1), S. SAVARD (2), M. SAPOVAL (3), P. PLOUIN (4), O. STEICHEN (5)

(1) Università Statale Di Milano, San Giuseppe Hospital, Internal Medicine Department Milan, Italy,

(2) Centre Hospitalier Universitaire De Québec, Hôtel-Dieu De Québec, Nephrology Department, Québec, CANADA,

(3) Université Paris-Descartes; AP-HP, Hôpital Européen Georges Pompidou,

Interventional Radiology Department, Paris, France,

(4) Université Paris-Descartes; AP-HP, Hôpital Européen Georges Pompidou, Hypertension Unit, Paris, France,

(5) Université Pierre Et Marie Curie-Paris 6; AP-HP, Hôpital Tenon, Internal Medicine Department, Paris, France

Objective: To investigate whether hypertensive patients with established renal artery fibromuscular dysplasia (raFMD) differ in clinical and radiological presentation or outcome depending on the type of intervention: conservative management, percutaneous treatment or open surgery.

Design and method: Retrospective analysis of prospectively collected data of all subjects seen with hypertension and raFMD from January 1986 to December 2012, in a single hypertension unit.

Results: Of 412 patients with FMD, 211 underwent revascularization. These had a greater prevalence of the focal type of FMD than those treated conservatively. Surgically-treated patients were more frequently males than others and were diagnosed with hypertension and FMD at a younger age. They had higher blood pressure (BP) levels at their first visit despite a similar number of drugs. They had a greater prevalence of renal complications (asymmetry =/> 20 mm or infarction), and also more often symptomatic FMD requiring revascularization in the mesenteric and

lower limb territories. At the most recent follow-up visit, patients in the three groups had significantly lower BP levels compared to first visit with a similar proportion of controlled patients, but the BP decrease was greater for revascularised subjects. Conclusions: Invasive management of raFMD is required in about 50% of patients affected by raFMD in order to improve BP control and reverse or prevent kidney

dysfunction. Patients requiring open surgery have a more severe hypertension at presentation and a greater prevalence of symptomatic renal and extra-renal FMD. In properly selected subjects, each of the three treatments allows adequate control of hypertension.

Table 3

Patients' baseline clinical characteristics							
Total number of patients = 412		Conservative management 201 (49%)		PTRA 177 (43%)		Open surgery 34 (8%)	
	No.	Value	No.	Value	No.	Value	
Male sex, n (%)	201	35 (17)	177	31 (18)	34	13 (38)	0,02
Age at diagnosis of hypertension, y	199	44 [36-52]	176	33 [22-40]	34	21 [18-30]	<0,001
Family history of hypertension, n (%)	148	100 (68)	134	78 (58)	12	7 (58)	0,2
Age at diagnosis of FMD, years	201	54 [47-62]	177	38 [26-47]	34	24 [18-35]	<0,001
Hypertension to raFMD diagnosis delay, y	199	6 [2-17]	176	2 [1-7]	34	1 [0-3]	<0,001
Focal FMD, n (%)	201	6 (3)	177	67 (38)	34	13 (38)	<0,001
History of diabetes, n (%)	168	9 (5)	144	3 (2)	23	1 (4)	0,23
History of dyslipidaemia, n (%)	169	56 (33)	144	28 (19)	24	0	<0,001
Current smokers, n (%)	166	30 (18)	143	58 (41)	24	5 (21)	<0,001
Body mass index, kg/m ²	181	24 [22-27]	157	22 [19-25]	18	22 [20-23]	<0,001
Systolic BP, mmHg	181	145 [128-159]	164	156 [141-173]	27	172 [156-190]	<0,001
Diastolic BP, mmHg	181	86 [76-98]	164	96 [86-107]	27	110 [100-119]	<0,001
Treatment score, n	181	2 [1-3]	154	2 [1-3]	25	1 [0-3]	0,08
BP < 140/90 mmHg, n (%)	181	68 (38)	164	33 (20)	27	1 (4)	<0,001
Estimated creatinine clearance*, ml/min	170	82 [70-103]	142	87 [71-105]	17	95 [73-108]	0,34
Renal insufficiency (≤ 60 ml/min), n (%)	170	23 (14)	142	16 (11)	17	0	0,30
Median year of intervention, year			177	2003	34	1991	
Histological classification, n (%) Intimal/medial/adventitial/mixed	0	,	0		34	16 (46) 1/10/0/5	

The number of observations (No.) available for analysis is shown for each variable. Values are numbers of patients (percentage) for binary variables (Fisher's Exact Test) and median [interquard]e range] for quantitative variables (Kruskal Wallis test).

BP, blood pressure; FMD hor muscular dysplasia. *Estimated creatinine clearance, using the Cockcroft-Gault formula.

CO-34 La distensibilité aortique est un déterminant indépendant de la fonction diastolique du ventricule gauche

Aortic distensibility is an independant determinant of left ventricular diastolic function

D. ROSENBAUM (1), N. KACHENOURA (2), A. REDHEUIL (2), A. DE CESARE (2), E. BOLLACHE (2), F. VILLENEUVE (1), X. GIRERD (1), P. CLUZEL (3)

- (1) Unité De Prévention Des Maladies Cardiovasculaires, Hôpital Pitié Salpétrière, AP-HP, Paris, France,
- (2) Laboratoire D'imagerie Fonctionnelle, Inserm U678, Upmc, Paris,
- (3) Département D'imagerie Cardiovasculaire, Hôpital Pitié Salpétrière, AP-HP, Paris

Objectifs: L'hypertension (HTA) s'accompagne d'une élévation de la rigidité aortique et de la post charge sur le ventricule gauche. Le but de cette étude était de déterminer s'il existe un lien direct entre les propriétés de la paroi aortique et la fonction diastolique ventriculaire gauche.

Méthodes: Les contours de l'aorte ascendante ont été tracés automatiquement en utilisant le logiciel artfun® pour déterminer les surfaces maximales (Amax) et minimales (Amin) de la lumière aortique sur les images issues de séquences IRM cine en écho de gradient couplées à l'ECG. La coupe axiale a été positionnée perpendiculairement à l'aorte au niveau de la bifurcation avec le tronc de l'artère pulmonaire. La pression centrale a été mesurée dans la carotide par Sphygmocor® juste avant l'IRM. La distensibilité aortique a été calculée selon la formule : Distensibilité = δA / (Amin × Pression Pulsée Centrale). Les images ventriculaires issues de séquences IRM de contraste de phase ont été analysées avec le logiciel CARD-FLOW®, qui permet une segmentation semiautomatique du flux transmitral ainsi que des vélocités de la paroi septale myocardique. Les vitesses des ondes E, A et E' ainsi que le volume de remplissage mitral (Fv) ont été estimés automatiquement. Par ailleurs, le niveau de pression artérielle a été évalué par automesure.

Résultats : La population était composée de 46 sujets hypertendus traités en prévention primaire (âge moyen : 56 ± 10 ans, 52 % d'hommes, 50 % d'HTA non contrôlées en automesure (145/90 vs. 123/76 mmHg). La distensibilité aortique était différente entre les patients contrôlés et ceux non contrôlés par le traitement (26,12 vs. 15,56 10-3 kPa-1, p < 0,03). En analyse univariée, la distensibilité aortique était associée à l'âge (p < 0,001), à la pression artérielle centrale et aux paramètres diastoliques E, E, E/A, E/E' et aux rapports A/Fv et E/Fv (R² entre 0,9 et 0,15, p < 0,05). En analyse multivariée, seul E' restait indépendamment associé à la distensibilité aortique (p = 0,03), après ajustement pour l'âge et la pression artérielle.

Conclusion : Chez des patients hypertendus, la distensibilité aortique influe sur la fonction diastolique de façon indépendante de l'âge et du niveau de pression artérielle.

CO-35

Beneficial effect of sequential nephron blockade on central pressure and large artery remodeling in resistant hypertension

Effet bénéfique du blocage séquentiel du néphron sur la pression centrale et le remodelage des grosses artères dans l'hypertension résistante

- H. BEAUSSIER (1), M. BRIET (2), F. MICKAEL (3), G. BOBRIE (3), S. PEYRARD (4), P. PLOUIN (3), S. LAURENT (5), M. AZIZI (2), P. BOUTOUYRIE (5)
- (1) Crc Ghpsj, Inserm U970, Paris, France, (2) Cic HEGP, Paris, France.
- (3) Service Cardiologie Hegp, Paris, France,
- (4) URC HEGP, Paris, France,
- (5) Service Pharmacologie Clinique Hegp, Inserm U970, Paris, France

Objective: We have previously shown that combined renin-angiotensin system blockade (RB) was less effective than sequential-nephron blockade (SNB) for controlling BP in resistant hypertension (RH). Whether this is accompanied with an improvement in the mechanical properties of large arteries is unknown.

Design and Method: Patients with daytime ambulatory (dA) SBP/DBP > 135/85mmHg, despite 4 week-treatment with irbesartan 300mg, HCTZ 12.5 mg, and amlodipine 5mg, were randomised to SNB (i.e. +spironolactone 25mg, then +furosemide 20-40 mg, then +amiloride 5mg, n=78) or RB (ramipril 5-10mg, then bisoprolol 5-10mg, n=72) for 12 weeks. Central pulse pressure (CPP) and carotidfemoral pulse wave velocity (PWV) were measured by aplanation tonometry. High-resolution echotracking system (Walltrack®) was used to measure common carotid artery diameter, wall thickness (WT), circumferential wall stress (CWS), and stiffness. All parameters were measured at baseline and week 12 blind to the treatment.

Results: Baseline clinical characteristics did not differ between groups. dASBP decreased more in the SNB (-19±12 mmHg) than in the RB group (-8±13 mmHg, p<10-6). CPP decreased more in the SNB (-12.6±16.6 mmHg) than in the RB group (-1.0±9.3 mmHg, p<0.006) after adjustment on baseline CPP and deltaMeanBP. CCA stiffness and PWV decreased similarly in both groups. Caroud Diameter decreased significantly more in the SNB (-267±46 µm) than in the RB group (-78±39 μm, p=0.01) after adjustment on baseline diameter and deltaASEP Carotid WT did not differ between the 2 groups. Consequently, CWS decreased more in the SNB (-13.2±12.1 kPa) than in the RB group (-5.3±12.6 kPa, F=0.001) Conclusions: In patients with RH, a treatment strategy based on SNE improved CPP to a greater extent than a treatment strategy based on RB, beyond its larger peripheral BP lowering effect. This may lead to a better target organ damage prevention and cardiovascular outcome. In addition, SNF induced an inward carotid remodeling and improved CWS. Whether this effect is due aldosterone blockade or sodium depletion remains to be investigat d.

Vendredi 20 décembre 2013 de 08h30 à 10h00

Hormones et système nerveux

CO-36

Pression artérielle et atrophie hippocampique chez le sujet âgé

Blood pressure and hippocampal atrophy in elderly subject

J.-S. VIDAL, A. JAILANY, H. JAILANY, E. DURON, D. DUBAIL, O. HANON Service De Gérontologie, Hôpital Broca, Paris, France

État de la question : Plusieurs études épidémiologiques indiquent une association entre l'hypertension artérielle et le risque de maladie d'Alzheimer. Les mécanismes à l'origine de cette association restent mal connus.

Objectif : Évaluer les relations entre le niveau de pression artérielle et l'atrophie hippocampique, lésion caractéristique de la maladie d'Alzheimer à l'IRM, dans une cohorte de sujets âgés ambulatoires, vus en hôpital de jour gériatrique pour une plainte mnésique.

Méthodes : Étude prospective d'une population de personnes âgées de plus de 75 ans ambulatoires, consultant de façon consécutive en consultation mémoire entre Février 2012 et Février 2013 pour des troubles cognitifs pour lesquelles une IRM cérébrale et une mesure de la pression artérielle ont été réalisées avec un appareil électronique validé (OMRON M6). La pression artérielle a été répartie en tertile. Les participants ont été classés en 2 groupes : participants ayant une atrophie hippocampique sévère sur au moins l'un des hippocampes (stade D sur l'échelle de Scheltens) et participants n'ayant pas d'atrophie hippocampique sévère.

Résultats: Parmi les 243 sujets inclus, 59 (24 %) avaient une atrophie hippocampique sévère. La moyenne d'âge de l'ensemble des participants était de 79,1 (déviation standard 6,1) ans et 81 % était des femmes. Les participants ayant une atrophie sévère avaient une pression artérielle systolique (PAS) plus élevée que les autres (144,6 (19,7) mmHg vs. 136,9 (20,1) mmHg, p = 0,01). L'atrophie hippocampique sévère était aussi associée, au sexe, au niveau d'éducation et au MMSE. L'OR d'atrophie hippocampique sévère associé au troisième tertile de PAS (PAS > 148 mmHg était de 3.9 [IC 95 % 1,57-9,67], p = 0,003. Dans le modèle multivarié, l'atrophie hippocampique était associée à la pression artérielle, indépendamment de l'âge, du sexe, du niveau socio-culturel, des traitements antihypertenseurs, des lésions de la substance blanche intracérébrale et des autres facteurs potentiellement associés l'atrophie (OR = 1,27 [1,06-1,53,

Conclusion : Dans cette étude, l'atrophie hippocampique sévère était d'autant plus fréquente que la pression artérielle était élevée, et ceux indépendamment des autres facteurs de risque. Ces résultats sont en laveur d'une action directe de l'hypertension sur les hippocampes cérébraux.

CO-37

La variabilité tensionnelle en mesure ambulatoire prédit l'évolution de la pression artérielle après dénervation rénale

Ambulatory blood pressure variability predicts blood pressure outcome after renal denervation

M. MONGE (1), G. BOERIE (2), E. CURIS (1,3), M. FRANK (2), M. SAPOVAL (4), J.L. ELGHOZI (5), M. AZIZI (1,2)

(1) Centre D'investigations Cliniques, Hegp, Paris, France,

- (2) Service D'hyportension Artérielle, Hegp, Paris, France,
 (3) Laboratoire De Lomathématiques Ea 4466, Université Paris Descartes, Paris, France,
- (4) Service De Radiologie Interventionnelle, Hegp, Paris, France,
- (5) Service De Néphrologie, Hôpital Necker, Paris, France

Contexte : La dénervation rénale (DR) par voie endovasculaire est une nouvelle por che non-pharmacologique dans le traitement de l'HTA résistante (HTA-R). Moins de 40 % des patients atteignent l'objectif thérapeutique, et il n'existe pas aujourd'hui de facteur prédictif de réussite de la DR. La baisse de pression artérielle (PA) après DR prédomine sur la mesure clinique par rapport à la mesure ambulatoire (MAPA). Cet effet est peut-être expliqué par l'action de la DR sur la variabilité tensionnelle, reflet de l'activité sympathique, et plus marquée sur la PA office que sur la PA ambulatoire. Nous avons testé l'hypothèse que la variabilité de la PA en mesure ambulatoire permettait de prédire la réponse tensionnelle après DR

Patients et méthodes : 20 patients avec une HTA-R essentielle définie par une PA systolique/diastolique (PAS/PAD) diurne en MAPA ≥ 135 et/ou 85 mmHg malgré 3 médicaments dont un diurétique avec une anatomie artérielle compatible avec la DR ont été évalués à 6 mois d'intervalle avec mesure de la PA clinique et ambulatoire. 14 ont bénéficié de la DR bilatérale endovasculaire par radiofréquence (groupe DR), et ont été comparés aux 6 patients restants (groupe observation). Les valeurs appariées ont été comparées par test de Wilcoxon, et les corrélations par coefficient de Spearman. Tous les patients ont donné un consentement écrit

Résultats : Les données cliniques, de PA et biologiques sont comparables dans les 2 groupes en début d'étude. Le nombre de traitements antihypertenseurs est comparable dans les 2 groupes en début et fin d'étude. Dans le groupe DR, la PAS/ PAD clinique baisse significativement de 24/9 mmHg (p = 0,002/0,02) et la PAS/ PAD en MAPA baisse de 11/6 mmHg (p = 0,04/0,04). La baisse de PA en mesure clinique est significativement plus importante qu'en MAPA. La DS de la PAS diurne avant dénervation est négativement et significativement corrélée à la baisse de PA clinique dans le groupe DR uniquement (r =-0,67, p = 0,009). La variation de cette DS entre avant la DR et 6 mois après est corrélée négativement à la baisse de PAS clinique et MAPA. Toutes les variations de PA et corrélations sont non significatives dans le groupe observation.

Conclusion : Nos résultats montrent que la variabilité de la PA, évaluée par la DS de la PAS en MAPA et sa variabilité prédisent la baisse de la PA après DR. Ces données suggèrent que la variabilité de PA devrait être prise en compte dans l'évaluation des patients éligibles à la DR.

CO-38

Premier cas français d'implantation d'un stimulateur des barorécepteurs carotidiens dans le traitement de l'hypertension artérielle résistante First French case of BarostimTM implantation to treat resistant arterial hypertension

P.-Y. COURAND (1,3), P. FEUGIER (2,3), G. BRICCA (3), P. LANTELME (1,3)

- (1) Service De Cardiologie, Hôpital De La Croix-Rousse, Hospices Civils De Lyon, Lyon, France.
- (2) Service De Chirurgie Vasculaire, Hôpital Edouard Herriot, Hospices Civils De Lyon, Lyon, France,
- (3) Genomique Fonctionnelle De L'Hypertension Artérielle, ucbl, Villeurbanne, Hôpital Nord-Ouest, Villefranche Sur Saône, Lyon, France

Introduction: La stimulation des barorécepteurs carotidiens est une alternative à la dénervation rénale dans le traitement de l'hypertension artérielle résistante. Nous décrivons le premier cas français d'implantation de ce stimulateur.

Description clinique: Nous rapportons l'observation d'un patient âgé de 72 ans présentant une HTA essentielle résistante, une coronaropathie monotronculaire revascularisée par angioplastie (FEVG 55 %), une artériopathie oblitérante des membres inférieurs (pontage ilio-fémoral gauche, thrombose fémorale superficielle bilatérale) et un syndrome d'apnée du sommeil appareillé.

Malgré un traitement associant valsartan 160 mg, amlodipine 10 mg nebivolol 5 mg, rilmenidine 1 mg et hydrochlorothiazide 50 mg, la MAPA des 24 heures était non contrôlée à 172/75 mmHg (Non Dipper). La spironolactone introduite à 25 puis diminuée à 12,5 mg n'a pu être poursuivie en raison d'une hyperkaliémie franche. Le retentissement de l'HTA s'exprimait par une atteinte macrovasculaire (vitesse de l'onde de pouls à 16 m/s), une hypertrophie ventriculaire gauche et une insuffisance rénale modérée (MDRD 40 ml/min).

Une procédure de dénervation rénale initialement envisagée était finalement récusée en raison d'un abord artériel à risque au niveau des axes fémoraux et également d'un athérome non sténosant (30-40 %) des artères rénales. Après vérification d'une bifurcation carotidienne sous-mandibulaire et de l'absence de lésions sténosantes carotidiennes, une indication d'implantation d'un stimulateur des barorécepteurs carotidiens était retenue. Elle a été réalisée au niveau de la bifurcation carotidienne droite sous anesthésie générale avec des médicaments n'interférant pas avec le système nerveux autonome (midazolam, fentanyl). En per-opératoire, l'application de l'électrode de stimulation a permis de choisir le site de réponse optimal objectivant une baisse de la pression artérielle systolique de plus de 40 mmHg. Les suites opératoires ont été simples. 15 jours après l'implantation, l'activation du stimulateur a été réalisée de façon progressive avec une baisse ajustée à la réponse tensionnelle sans hypotension orthostatique. La MAPA réalisée 1 mois après l'activation du stimulateur montrait une amélioration sensible à 162/63 mmHg sous un traitement médicamenteux allégé (baisse de l'hydrochlorothiazide à 25 mg en raison d'une hyponatrémie). L'ajustement de l'intensité du stimulateur est en cours de façon mensuelle. À ce jour, le patient ne décrit aucune manifestation en rapport avec la mise en place de ce dispositif.

Conclusion: Cette première expérience avec cette technique novatrice et encourageante en terme d'efficacité et de tolérance. Son évaluation dans le cadre d'un essai thérapeutique est hautement souhaitable. Une demande de PleME et actuellement en cours d'instruction.

CO-39 Hypertension et déficit cognitif : implication du BDNF cérébral ? Hypertension and cognitive i npairment: involvement of brain BDNF

A. MONNIER (1), A. QUIRIE (1), C. MOSSIAT (1), C. DEMOUGEOT (2), C. MARIE (1), A. TESSIER (1)

Inserm U1093 Cognition, Action Et Plasticité Ser. orimor ice, Ufr Pharmacie, Université De Bourgogne, Dijon, France, (2) Ea 4267 Fonctions Et Dysfonctions Enithéliales, Ui Sciences Médicales Et

(2) Ea 4267 Fonctions Et Dysfonctions E thé lales, U. Sciences Médicales Et Pharmaceutiques, Université De Franche Comté Besançon, France

Introduction: L'hyperten, on a rérielle (HTA) s'accompagne d'une dysfonction endothéliale, facteur de risque de maladies cardiovasculaires. Récemment, il a été montré que l'HTA est associée à un déficit cognitif. Or, la dysfonction endothéliale retrouvée dans l'HTA affecte non seulement les vaisseaux périphériques, mais aussi la macro- et la micro-vasculature cérébrales. Par ailleurs, le BDNF, une neurotrophine fortement exprimée dans le système nerveux central, est l'un des principaux médiateurs de la plasticité cérébrale. A ce titre, il est souvent utilisé comme marqueur des performances cognitives. Deux études récentes ont montré chez le rat que l'HTA était associée à une réduction des taux de BDNF dans l'hippocampe, suggérant un lien entre HTA, BDNF et déficit cognitif.

Objectifs: L'objectif de notre travail est double, 1) étudier l'effet de l'HTA sur l'expression régionale (hippocampe, striatum et cortex) et cellulaire du BDNF, 2) évaluer dans quelle mesure les anomalies de l'expression cérébrale du BDNF sont réduites par un exercice physique, stratégie reconnue pour améliorer et préserver les performances cognitives.

Méthodes : L'expression du BDNF a été étudiée chez des rats génétiquement hypertendus (souche SHR, n = 10) et leurs contrôles (souche WKY, n = 10), sédentaires ou soumis à un protocole d'exercice (tapis roulant, 30 cm/s, 30 min/j, 7 j). Dans ces conditions, l'exercice ne modifie pas la pression artérielle, que ce soit chez des rats WKY ou SHR. Les taux protéiques de BDNF ont été étudiés par technique de Western blotting sur des homogénats cérébraux et la localisation cellulaire du BDNF a été observée grâce à la technique d'immunohistofluorescence sur coupes coronales de cerveaux.

Résultats: Nos résultats révèlent que l'HTA modifie l'expression du BDNF de manière région-dépendante, une diminution étant observée dans l'hippocampe et une augmentation dans le striatum et le cortex. De plus, l'HTA diminue l'expression du BDNF par l'endothélium des vaisseaux intracérébraux. Enfin, l'exercice restaure l'expression endothéliale du BDNF de façon complète pour le cortex, et partielle pour le striatum et l'hippocampe.

Conclusion: En conclusion, l'exercice étant un stimulant de la fonction endothéliale, nos résultats suggèrent qu'il existe un lien entre déficit cognitif induit par l'HTA et dysfonction endothéliale.

CO-40

Corrélation entre les dosages des dérivés méthoxyles urinaires et l'index d'apnée-hypopnée dans une population d'hypertendus: étude pilote Correlation between urinary catecholamines and apnea hypopnea index in hypertensive patients: at pilot study

$\underline{\mathsf{M}}.\ \mathsf{LOPEZ}\text{-}\mathsf{SUBLET},\ \mathsf{S}.\ \mathsf{LE}\ \mathsf{JEUNE},\ \mathsf{B}.\ \mathsf{GIROUX}\text{-}\mathsf{LEPRIEUR},\ \mathsf{R}.\ \mathsf{DHOTE},\ \mathsf{J}.\text{-}\mathsf{J}.\ \mathsf{MOURAD}$

CHU Avicenne, Bobigny, France

Objectifs: L'existence de troubles du sommen, dont le syndrome d'apnées obstructives (SAOS) est le stade ul ime ntraine une hyperactivité du système nerveux sympathique responsable e i parie de l'élévation des chiffres tensionnels et du caractère parfois résistant de l'I. TA ch. 2 les patients traités. Si quelques études ont démontré l'existence d'un. élévation réversible après appareillage des dérivés méthoxylés urinaires chez les pai. Ints porteurs d'un SAS, il n'existe pas de données chez l'adulte corrélant, a use in d'une population d'hypertendus, l'index d'apnées-hypopnées (IAH) a l'i séc etion des dérivés méthoxylés urinaires (métanéphrines, 3 n. éthoxytyramine).

Patients et mé nou s : l'our cette étude exploratoire, 20 patients hypertendus consécutirs ad. is pou. bilan d'hypertension ayant bénéficié au cours de la même évaluation d'une polygraphie nocturne et d'un dosage des dérivés méthoxylés urinaires des 24 3 ont été inclus.

Ré ui. 18:11 s'agissait d'un groupe de patients hypertendus d'âge moyen 51 ± 11 ans (3 76), 6. % d'hommes, et le diagnostic de SAOS a été posé chez 13 d'entre eux à l'issu du bilan. L'IAH moyen était de 14 ± 9 (2-32). Le seul dérivé méthoxylé dont les valeurs étaient significativement plus élevées dans le sous-groupe des patients av. c SAOS était les normétanéphrines urinaires des 24 h (1 931 ± 1 285 ½ 869 ± 293 nmol/24 h; p < 0,05). La différence n'était plus significative une fois rapportee à la créatininurie des 24 h II existait une corrélation significative positive entre l'IAH et le dosage des normétanéphrines urinaires des 24 h (R = 0,486; p = 0,035) (figure) Conclusion: Cette étude pilote confirme l'existence d'une élévation chronique élective des normétanéphrines urinaires des 24 h chez les patients porteur d'un SAOS et montre l'existence d'une corrélation significative entre la sévérité des troubles du sommeil, exprimée par l'IAH, et l'excrétion des dérivés méthoxhylés.

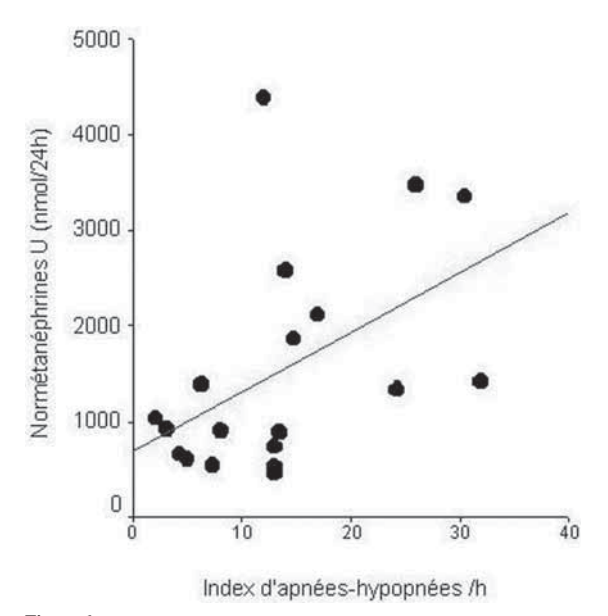


Figure 6

Vendredi 20 décembre 2013 de 10 h 30 à 12 h 00

HTA expérimentale

CO-41

L-WNK1 deficiency leads to resistance in angiotensin-induced hypertension L'haploinsuffisance en L-WNK1 entraîne une résistance à l'hypertension induite par l'angiotensine II

S. LATRECHE, E. ROBIDEL, V. BAUDRIE, E. CLAUSER, X. JEUNEMAITRE, S. BERGAYA

Inserm U970, Parcc. Université Paris Descartes, Paris, France

WNK1 gene mutations cause Gordon syndrome, a rare inherited form of human arterial hypertension associated with renal dysfunction inducing hyperkalemia and metabolic acidosis. WNK1 gene codes a short kidneyspecific isoform and a complete long isoform, L-WNK1, expressed ubiquitously and notably within the vascular system. We previously showed that haploinsufficiency in L-WNK1 induced an important decrease in vasoconstriction in mice arteries associated with normal basal blood pressure (BP). Objective: The aim of our study was to further investigate the vascular role of L-WNK1 during BP regulation. Method: Angiotensin II (AngII) osmotic mini-pumps (1.5µg/kg/min) were implanted in L-WNK1-haploinsufficient (L-WNK1+/-) and wild-type (L-WNK1+/+) mice during 14 days. We measured by telemetry the development of hypertension induced by AngII and we examined the renal function and the vascular remodelling before and after AngII infusion. Results: Both groups exhibited similar levels in basal systolic BP (SBP) (114.5±1.6 mmHg vs 119.2±3.3 mmHg, in L-WNK1+/+ (n=8) and L-WNK1+/- (n=7) mice respectively, P=0.2). The increase in SBP induced by AngII chronic infusion was significantly lower in L-WNK1+/- mice compared to wildtype mice (mean of the delta increases in SBP during the 1st week of AngII infusion (in mmHg): 15.0±1.5 (n=7) vs 31.6±1.0 (n=8) respectively, P<0.001). This resistance to AngII-induced hypertension was not associated with renal dysfunction as urine and plasma electrolytes concentrations as well as blood gases and pH were comparable between the two groups of mice, before and after AngII infusion. In contrast, heart weights as well as heart /body weight ratios were significantly lower after AngII infusion in L-WNK1+/- compared to L-WNK1+/+ groups (151.9±5.3 mg (n=10) vs 179.7±8.0 mg (n=12) respectively, P=0.01), probably reflecting the BP difference. Furthermore, vascular remodelling in response to AngII evidenced by the increase in medithickness measured in thoracic aorta was slightly enhanced in heterozygous mice compared to wild-type mice (72.4 \pm 2.9 μ m vs 64.9 \pm 2.5 μ n respectively, P=0.07), as if it was compensating for the systemic defect in peripheral response to AngII infusion. Conclusions: Our results suggest that I-WNK1 is involved in BP regulation during AngII chronic infusion probably through a non-renal but rather a vascular effect which still remains to be defined.

CO-42 Safety, tolerability, pharmacokinetics and pharmacodynamics in healthy volunteers of QGC001, a centrally-acting aminopeptidase a inhibitor prodr 1g

Sécurité, tolérance, pharmacocinétique et pharmacodynamie du QGC001, une prodrogue inhibant l'aminopeptidase d'action centrale, chez des volontaires sains

F. BALAVOINE (1), M. AZIZI (2), D. BERGEROT (2), N. DE MOTA (3), R. PATOURET (4), L. SEGARD (1), B. ROQUES (4), C. LLORENS-CORTES (3)

- (1) Quantum Genomics Sa, Massy, France,
- (2) AP-HP-Hegp/Inserm Cic 9201/Université Paris-Descartes, Paris, France,
- (3) Inserm U1050 / Collège De France, Paris, France,
- (4) Inserm U1022/Université Paris-Descartes, Paris, France

Objective: Inhibition of brain aminopeptidase A (APA) which converts angiotensin II (AngII) into AngIII has emerged as a novel antihypertensive treatment, as demonstrated in several experimental animal models. QGC001/RB150 is an inactive prodrug able of releasing in the brain its active metabolite EC33, a selective inhibitor of human APA (Ki=300 nM). The aim of the present study was to evaluate in human the safety, the pharmacokinetics and the pharmacodynamic

Design and Method: 48 healthy male volunteers were randomly assigned to receive in double-blind and fasted conditions, single oral doses of 125, 250, 500, 750, 1000 and 1250 mg of QGC001 (n=6/dose) or placebo (n=2/dose). We measured plasma and urine levels of both QGC001 and EC33 by LC/MS/MS, plasma renin concentrations (PRC), plasma and free urine aldosterone (PAldo and UAldo), plasma copeptine (PCop), and plasma and urine cortisol (PCort and UCort) concentrations, and supine SBP, DBP and HR at various time points.

Results: All doses of QGC001 were well clinically and biologically tolerated. Plasma peak concentrations of QGC001 increased linearly with the dose, with a median tmax of 1.5 h for QGC001 and 3.0 h for EC33. The median plasma t1/2of QGC001 was 1.6 h consistent throughout doses. Urinary excretion of QGC001 and EC33 was below 2% of the administered dose. When compared to placebo, QGC001 did not significantly change PRC, PAldo, UAldo, PCop, PCort or UCort. No significant change was observed for supine HR, SBP and DBP in any treatment

Conclusion: Single oral administration of QGC001 up to 1250 mg in healthy volunteers is well-tolerated. Following oral administration, QGC001 is absorbed via the gastrointestinal tract and converted partially into its active metabolite EC33 in plasma. Like in animal experiments, in normotensive subjects, QGC001 has no effect on the systemic renin-angiotensin-aldosterone parameters and on PCop levels, a marker of arginine-vasopressin release. In normotensive subjects, a single dose of QCG001 had no effect on BP or HR.

CO-43

La gamma-glutamyltransférase ne participe pas à l'augmentation des vasorela xations induites par le S-nitrosoglutathion chez les rats spontanément hypertendus

Gamma-glutamyl transferase is not involved in the increase in s-n trosoglutathione - dependent vasorelax tions in spontaneously hypertensive rats

C. PERRIN-SARRADO (1), F. D.AHBOUL (2), A. SCHNITZLER (3), P. LEROY (4), I. LARTAUD (5)

- (1) Ea 3452 Cithefor, Université De Lorraine, Nancy, France, (2) Ea 3452 Cithefor, Université De Lorraine, Nancy, France,
- (3) Ea 3452 Cithefor, Université De Lorraine, Nancy, France,
- (4) Ea 3452 Cithefor, Université De Lorraine, Nancy, France,
- (5) Ea 3452 Chefor Université De Lorraine, Nancy, France

L'hypertension artérielle est associée à une diminution de biodisponibilité du monoxyde d'azote (NO) et à des perturbations d'activités enzymatiques impliquées dans le métabolisme des S-nitrosothiols, réservoirs endogènes de NO. L S- itrosoglutathion (GSNO) utilise la gamma-glutamyltransférase (GGT) en othéliale (Dahboul et al, PlosOne 2012) pour transférer le NO dans la cellule. Nous avons étudié son rôle dans les effets vasorelaxants du GSNO chez le rat spontanément hypertendu (SHR) adulte.

Des anneaux aortiques ont été isolés à partir de rats males normotendus Wistar-Kyoto (WKY) et SHR âgés de 20-22 semaines. Les activités GGT ont été mesurées dans les homogénats aortiques à l'aide d'un substrat chromogénique. Les vasorelaxations (courbes concentrations réponses au GSNO) ont été mesurées après pré-contraction par la phényléphrine 10-6 M (n = 8-10 par groupe), en présence ou non d'un accepteur de résidu gamma-glutamyle, la glycylglycine, qui augmente

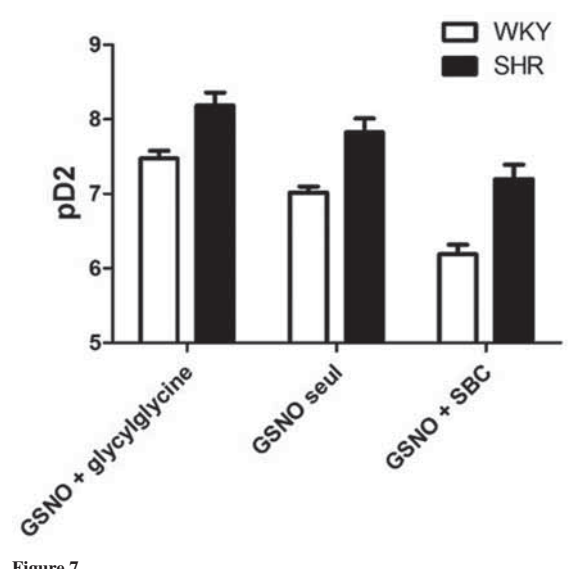


Figure 7

l'activité de la GGT, ou du complexe sérine borate (SBC), un inhibiteur compétitif réversible de la GGT.

L'activité de la GGT mesurée dans les homogénats aortiques est identique chez le rat SHR (18 \pm 1 μ mol/min/mg de tissu, n = 4) et WKY (23 \pm 2, n = 4). Le GSNO provoque des relaxations concentration-dépendantes et il est plus puissant dans le groupe SHR (pD2 = 7,8 \pm 0,2) que dans le groupe WKY (pD2 = 7,0 \pm 0,1, p hypertension < 0,0001, ANOVA 2 facteurs). La modulation de l'activité GGT modifie de manière identique les effets vasorelaxants du GSNO dans le groupe SHR et WKY (p modulateurs GGT < 0,001; p interaction > 0,05).

Chez les rats SHR adultes, les vasorelaxations induites par le GSNO sont potentialisées et ce, indépendamment de toute variation d'activité vasculaire de la GGT. Ceci suggère que d'autres enzymes du métabolisme du GSNO puissent être modifiées au cours de l'hypertension, en particulier la protéine disulfure isomérase membranaire appartenant à la famille des rédoxines et impliquée dans la dénitrosation des S-nitrosothiols.

Mots clés: hypertension, S-nitrosoglutathion, gamma-glutamyltransférase, aortes isolées.

CO-44

Genetically high plasma angiotensinogen potentiates L-name induced hypertension and promotes cardio-vascular end-organ damage in transgenic rats

L'angiotensinogène plasmatique génétiquement élevé augmente l'hypertension induite par L-name et favorise les dommages des organes cardiovasculaires chez le rat transgénique

J. BOHLENDER, B. GUDO

Hôpital Fribourgeois / Institut De Biologie Céllulaire, Université De Berne, Berne,

Objective: Genetically high plasma angiotensinogen (Agt) has been associated with elevated blood pressure (BP) in humans, where it can be caused by common polymorphisms of the human Agt gene. It may increase the susceptibility to exogenous BP stressors and promote end-organ damage. To test this hypothesis, we treated transgenic rats (TGR) with genetically high plasma (Val5)-Agt concentrations with L-NAME to inhibit endogenous production of NO, a vasodilator. A molecular Agt gene-environment interaction profile was established. Methods: Heterozygous male TGR and nontransgenic Sprague-Dawley control rats (CTR) aged 10 weeks received 30 mg/kg body weight L-NAME in drinking water or vehicle (n=8 per group) for 3 weeks. TGR(Val5-Agt) produce Val5-Ang II with biologically similar but biochemically distinguishable characteristics compared to endogenous Ile5-Ang II. Blood pressure (BP, tail cuff) was measured before and at the end of the experiment when heart weight (HW), body weigh (BW), plasma Agt and aldosterone (radioimmunoassay) and urinary (u) concentrations of Na, K, creatinine and protein were determined. Kidney mRNA expression was quantified by rt-PCR for endothelin-1 (ET), renin (REN), Agt, AT1-eccept or, fibronectin (FIB), collagen-1, collagen-4, transforming growth-factor beta, NADPH-oxidase subunits phox47 and gp91, and cardiac collagen-4 and Ang converting-enzyme which includes gene expression markers for oxy ative stress, pro-inflammatory and pro-fibrotic responses.

Results: Plasma total Agt concentration was ~7 times higher in TGR. Baseline BP was +24 mmHg, u-protein 6.9-times, uN. and uNa/creatinin 1.8-times, HW/ BW 1.2-times higher vs. CTR (p<0.05). Kidney LT-mRNA was 1.8-times (p<0.05) and plasma aldosterone 1.5-times (p=NS) higher, while uK was 0.6-times (p=NS) and REN-mRNA expression 0.35-times lower in TGR vs. CTR (p<0.05) without further differences for the other genes (p=NS). L-NAME treatement increased BP by 36% in TGR vs. 25% in CTR, HW/BW (16% vs. 2%), plasma aldosterone (51% vs. -13%; all p<0.05). It decreased TGR uNa and uNa/creatinin (~40%), CTR kidney REN-mRNA expression (-42%, p<0.05), and increased CTR u-protein (10.3-times) and increased TGR kidney FIB and phox47 mRNA levels (+55%, +26%, p<0.05) without significant other gene expression differences or treatment effects (p=NS).

Conclusion: Genetically high plasma Agt levels increase local Ang II stress, potentiate L-NAME-induced hypertension and synergistically promote early cardiac and renal end-organ damage compared to normal plasma Agt levels. The data emphasize the pathogenetic role of Agt in human essential hypertension and associated cardio-vascular end-organ damage.

CO-45

Altérations de la rigidité artérielle et de l'hémostase chez le rat Zucker Arterial stiffness and haemostasis changes in obese

J. LAGRANGE (1), L. WALTON (2), S. BLOEMEN (3), K. CRUICKSHANK (4), A. BENETOS (1), P. LACOLLEY (1), V. REGNAULT (1)

(1) Inserm 1116, Université De Lorraine, Nancy, France,

Zucker rats

- (2) School Of Medicine, Manchester, United Kingdom,
- (3) Synapse Bv, Maastricht, Netherlands, (4) King's College Of London, London, United Kingdom

Objectifs: Le syndrome métabolique (SMet) est un ensemble de facteurs de risques incluant une obésité abdominale, une hypertension, une dyslipidémie et résistance au glucose, le tout étant associé avec des modifications de la paroi artérielle, une activation de l'endothélium et la survenue d'évènements thrombotiques. Pour explorer la sécuence des évènements conduisant à ces altérations, nous avons caractérisé le phénotype de la coagulation et de la fibrinolyse, ainsi que l'état vasculaire de rats Zucker adultes et agées, rats qui miment le SMet humain.

Méthodes : Cette étude a été réalisée chez des rats Zucker minces et obèses, de 25 et 80 se paines. Le phénotype artériel a été évalué par echo-tracking. La génération de thromoine a été mesurée par thrombinographie et la fibrinolyse par un temps de demi-lyse du caillot.

Ré ultats: L'activation endothéliale a été mise en évidence par des taux plasmatiques él vés de facteur von Willebrand aux deux âges. Les courbes de distensibilité de la carotide en fonction de la pression et le module élastique ne sont différents que chez les rats de 25 semaines tandis que les rats obèses de 80 semaines présentent une diminution de la distensibilité. Le SMet ne modifie pas la rigidité de la media mais celle-ci augmente avec le vieillissement dans les deux groupes. En ce qui concerne la génération de thrombine in vitro elle est augmentée dès 25 semaines chez les rats obèses par rapport aux rats contrôles (428 ± 29 versus 328 ± 27 nM.min) sans qu'il y ait de modification avec l'âge (422 ± 30 versus 306 ± 11 nM.min). La fibrinolyse, est quant à elle diminuée avec une augmentation du temps de lyse dès 25 semaines chez les rats obèses (46,5 ± 1,2 versus 41,5 ± 0,7 min). La fibrinolyse est également altérée avec l'âge chez les rats obèses et leurs contrôles (54,1 ± 1,1 versus 49,3 ± 1,8

Conclusions : Nous avons montré que la génération de thrombine était augmentée et la fibrinolyse diminuée in vitro dès 25 semaines. Ces altérations de l'hémostase pourraient participer à l'accélération du vieillissement artériel et plus particulièrement à l'augmentation de la rigidité artérielle déclenchée par l'obésité et les désordres métaboliques du SMet.

Vendredi 20 décembre 2013 de 10h30 à 12h00

Rein

CO-46

Role of the blood pressure in the control of renal resistive index in a population-based study Rôle de la pression artérielle dans le contrôle des index de résistance rénaux

B. PONTE (1), M. PRUIJM (2), D. ACKERMANN (3), P. VUISTINIER (2), U. EISENBERGER (4), I. GUESSOUS (1), V. ROUSSON (2), M. MOHAUPT (3), G. EHRET (1), A. PECHERE-BERTSCHI (1), F. PACCAUD (2), J. STAESSEN (5), B. VOGT (3), M. BURNIER (2), P. MARTIN (1), M. BOCHUD (2)

- (1) Hôpitaux Universitaires De Genève, Genève, Switzerland,
- (2) Centre Hospitalier Universitaire Vaudois, Lausanne, Switzerland,
- (3) Inselspital, Hôpital Universitaire De Berne, Berne, Switzerland,
- (4) Hôpital Universitaire De Essen-Duisburg, Essen, GERMANY,
- (5) Campus Saint Rafael Université De Leuven, Leuven, Belgium

Introduction: Increased renal resistive index (RRI) has been recently associated with target organ damage and cardiovascular or renal outcomes in hypertensive and diabetic patients. However the influence of blood pressure on RRI in the general

population has not been specifically studied. We determined the distribution of RRI and its association with blood pressure in a population-based study.

Method: Families of European ancestry were randomly selected in three Swiss cities. Anthropometric parameters and cardiovascular risk factors were assessed. A renal Doppler ultrasound was performed and RRI measured in three segmental arteries of both kidneys. Participants with abnormal ultrasound were excluded. We used multilevel linear regression analysis to explore factors associated with RRI, adjusting for heart rate, center and family relationships. Analyses were conducted in all participants but also in those without diabetes, hypertension or abnormal renal function ("Healthy").

Result: The 400 women (mean age±SD 44.9±16.7 years) and 326 men (42.1±16.8 years) with normal renal ultrasound had mean RRI of 0.64±0.05 and 0.62±0.05, respectively (p<0.001). In multivariable analyses RRI was positively associated with female sex, age, systolic blood pressure (SBP) or pulse pressure and body mass index (table 1). We observed an inverse correlation with diastolic blood pressure (DBP). Age had a non-linear association with RRI. Although they were associated in the univariate model, we found no independent association of RRI with diabetes, hypertension treatment, smoking, cholesterol levels or estimated glomerular filtration rate. We found the same association with age and blood pressure (SBP, DBP or pulse pressur.) in "healthy" participants (n=572).

Conclusion: In a population-based sample with normal renal ultrasound, age and blood pressure are highly associated with PRI: PP positively and DBP negatively. This highlights the importance of articles and pulse pressure in the control of the renal vascular compliance.

Table 4

Factors Associated with Renal Resistive Index in multivariable linear mixed regression models by sex

	FINAL MODEL	FINAL MODEL WOMEN (N=400)			FINAL MODEL MEN (N=326)		
Variables	B coefficient	95% IC	p	B coefficient	95% IC	p	
Age (per 10 years)	0.010	0.007; 0.012	<0.001	0.014	0.111; 0.016	< 0.001	
Age ² (per 10 years)	0.002	0.001; 0.03	0.001	0.004	0.003; 0.006	< 0.001	
BMI (per 5 kg/m²)	0.005	0.001; 0.009	0.018	0.009	0.004; 0.013	< 0.001	
SBP (per 10 mmHg)	0.014	0.01; 0.018	<0.001	0.015	0.011; 0.018	< 0.001	
DBP (per 5 mmHg)	- 0.012	-0.015; 0.009	< 0.001	- 0.011	- 0.014; -0.008	< 0.001	
Intercept	0.63	0.58; 0.69	< 0.001	0.68	0.64; 0.71	< 0.001	

Age²: age squared; BMI: Body Mass Index; SBP. Systone Blood Pressure; DBP: Diastolic Blood Pressure. Adjusted for center, heart rate and family

CO-47

La leptine est associée avec l'excrétion urinaire nocturne de sodium : étude transversale dans une population africaine avec famille hypertendue Leptine is associated with nocturnal urinary sodium excretion: transversal study in an African population with hypertensive family

G. WUERZNER (1), M. MAILLARD, P. BOVET, C. RENAUD, D. TETA, L. REYNA CARMONA, M. BOCHUD, M. BURNIER

(1) Lausanne University Hospital, Lausanne, Switzerland,

(2) Institut Universitaire De Médecine Social Et Préventive, Lausanne, Switzerland,

(3) Ministry Of Health And Social Development, Seychelless, Seychelles

Pré-requis: La leptine est considérée comme un facteur clé dans l'hypertension liée à l'obésité. Des études animales ont montré que la leptine induit une natriurèse. L'objectif de l'étude était d'analyser l'association entre la leptine et la natriurèse chez l'homme.

Méthode: Cette étude transversale a été conduite chez 365 participants d'origine africaine (Seychelles) avec une anamnése familiale d'hypertension. Les caractéristiques démographiques, une mesure ambulatoire de la pression artérielle de 24 heures avec récolte urinaire concomitante fractionnée (jour/nuit), la leptine ont été mesurée selon des techniques usuelles: Un test de Pearson a été utilisé pour tester l'association entre la leptine et la natriurèse, suivi d'une régression linéaire multiple afin de tenir des facteurs confondants.

Résultats : L'âge et l'index de masse corporelle (IMC) moyen \pm ecart-type des participants étaient respectivement de 46,6 \pm 11,8 ans and 27,7 \pm 4,9 kg/m2. 57 % des participants étaient des femmes et 60 % étaient hypertendus. La concentration moyenne \pm écart-type de leptine était plus élevée chez les femmes que chez les hommes (32,8 \pm 1,9 ng/ml \wp 8,0 \pm 0,5, P < 0,001) et augmentait selon la catégorie d'IMC (normal, surpoids, obésité respectivement 10,4 \pm 10,5 \wp 20,1 \pm 14,4 \wp 37,7 \pm 37,9 ng/ml, P < 0,001). La leptine était associée avec la fraction d'excrétion du sodium nocturne en analyse univariée (R = 0,16, P < 0,01) et multivariées (coefficient β = 0,07, P = 0,017) indépendamment du sexe, de l'âge, de l'IMC ou de la pression artérielle nocturne. Aucune association n'a été trouvée entre la leptine et l'excrétion diurne de sodium.

Conclusion: La leptine est associée à l'excrétion urinaire de sodium nocturne dans cette étude transversale réalisée dans une population africaine. La leptine pourrait être un facteur important influençant la courbe de pression-natriurèse altérée du sujet obèse hypertendu.

CO-48

Large variations in pulse wave velocity and reflection patterns occur during a hemodialys session and are not related to the degree of ultrafiltration

Variations importantes de la vitesse donde de pouls durant une session d'hémodialyse, sans l'en avec le degré d'ultrafiltration

M. PRUIJM (1), D. TETA (1), C. ROTARU (2), P. WAEBER (2), M. BURNIER (1), F. FEIHL (2)

(1) University Hospital Lausanne (CHUv), Department Of it pohrology, Lausanne, Switzerland,

(2) University Hospital Of Lausanne

(CHUv), Department Of Pathophysiology, Lausanne, Switzerland

Introduction: Arteries of e.d-s age enal disease patients are characterized by accelerated atheroscle osis a d chronically progressive arterial stiffening. The acute effects of hem diaysis sessions on arterial properties have been less intensively studied, with contradictory results, possibly due to lack of standardization. The aim of this study was therefore to assess arterial properties throughout a hemodialysis session performed under standardized conditions, and to compare patients dialyzed at stable body weight with those undergoing ultrafiltration.

Methods: A total of 13 hemodialysis patients undergoing ultrafiltration (UF) and 8 patients dialyzed at stable body weight (SW) underwent applanation tonometry using the Complior and the Sphygmocor devices to measure carotid-to-femoral pulse wave velocity (PWV) and the central systolic augmentation index (Aix), respectively. Measurements were taken just before, halfway through, and just after a standardized hemodialysis session (duration: 4 hours; dialysate concentrations: calcium 1.25 mEq/L, potassium 2 mEq/L, bicarbonate 28 mEq/L, temperature 36°C).

Results: There was a similar decrease in Aix, central and peripherical BP in both the UF- and the SW-group. There was a statistically significant (p<0.001) but physiologically minor increase in PWV throughout the dialysis session in both the UF (from 10.9±3.5 to 11.5±3.0 m/sec) and SW (from 10.4±2.1 to 11.0±2.4 m/sec) groups (pinteraction=0.97), with large individual fluctuations occurring in each group (see figure).

Conclusion: Independently of ultrafiltration, important changes in arterial wall properties occur during hemodialysis, which may account for the heterogeneous hemodynamic responses observed during dialytic sessions.

Dialysis type

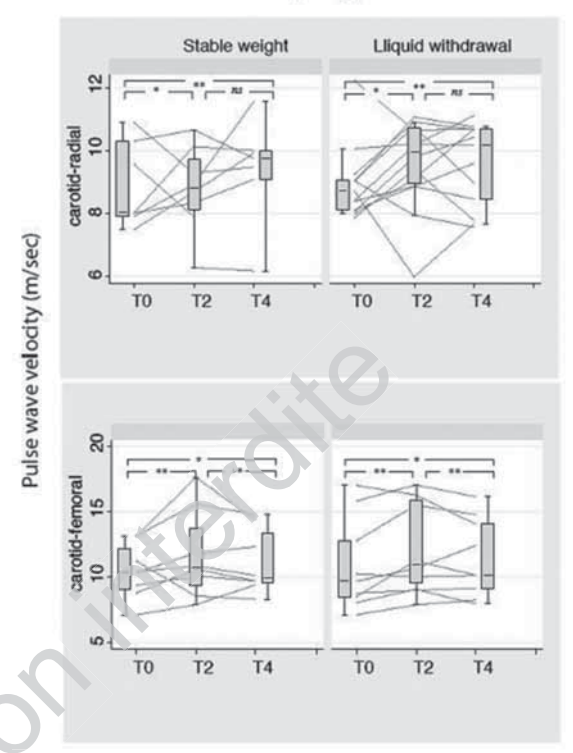


Figure 8

CO-49

The importance of podocyte autophagy in hypertensive glomerulosclerosis Le rôle de l'autophagie podocytaire dans la glomérulosclérose hypertensive

I. BENSAADA, C. HENIQUE, P. THARAUX

Paris Cardiovascular Research Centre Parcc-Inserm, Paris, France

normal or constitutive activation of the AT1 receptor.

Background: Injury and loss of podocytes are leading factors of glomerular diseases and renal failure. Angiotensin II (AngII) promotes albuminuria, aggravates non hypertensive glomerulosclerosis and severe hypertension nephropathy (HTN). Recently, autophagy has been identified as a major mechanism that delivers damaged proteins and organelles to lysosomes in order to maintain cellular homeostasis. Podocytes exhibit an unusually high level of constitutive autophagy. Methods: The aim of this study was to evaluate the role of AngII on autophagy in podocytes. Expression of LC3 II, an autophagosomal membrane protein, was measured in kidney homogenates and in podocytes from HTN mice after chronic

infusion of AngII or in vitro, in primary cultures of podocytes from mice with

Results: Mice with chronic HTN presented decreased autophagy activity in podocytes. Furthermore, podocyte culture from mice with constitutively active ATI mutant (CAM) displayed lower autophagy flux than wild type mice. Chronic activation of the ATI receptor induced significant podocyte loss, as demonstrated by WTI and podocin staining in aged mice. In primary podocyte culture, autophagy regulation is independent of the PI3-kinase-mTOR pathway, as shown after rapamycin treatment. To further investigate the importance of autophagy in podocyte survival, we used a mouse model with podocyte specific deletion of Atg5 alleles, that is required for autophagosome formation and maturation (Pod-Atg5 mice). Pod-Atg5 mice developed more severe glomerular injury than wild type counterparts upon chronic AngII infusion, with severe albuminuria and

glomerulosclerosis.

Conclusions: In conclusion, these data indicate that chronic activation of the AT1 receptor promotes decrease in autophagy activity and unravel a protective function for podocyte autophagy in AngII-mediated glomerulosclerosis.

CO-50

La restriction sodée réduit la réponse immunoinflammatoire cardiaque dans l'insulinorésistance avec hypertension chez le rat Sodium restriction lowers cardiac immune and inflammatory response in rats with insulin resistance and hypertension

B. JOVER, C. RUGALE, C. GUZMAN, A. LAJOIX, C. DESMETZ Ea7288, Montpellier, France

L'objectif de cette étude est d'évaluer l'effet du régime désodé sur l'hypertrophie cardiaque et la réponse immunitaire et inflammatoire locale chez le rat rendu insulinorésistant (Fructose 60 %) et hypertendu (angiotensine II, AngII, 200 ng,kg-l.min-l, sc). A 8 semaines d'âge, les rats sont nourris pendant 8 semaines avec un régime à base de fructose contenant une quantité standard de chlorure de sodium (NaCl 0,8 %, régime NSF, n = 20) ou dépourvu en sodium (<0,01%, régime DSF, n = 20). Au bout de 4 semaines, la moitié des rats de chaque régime reçoit ou non l'AngII.

La pression artérielle (TCP) est mesurée avant et après AngII. La pression artérielle directe, l'index de masse cardiaque (poids du cœur / poids du corps) et la taille des cardiomyocytes sont mesurés en fin d'étude. L'expression cardiaque de divers gènes est déterminée par PCR en temps réel (qPCR). La présence de monocytes/macrophages est déterminée par immunomarquage et l'expression du CD68. Le

facteur de transcription NF-kBp65 et la présence de lymphocytes T CD4+ et CD8+ ainsi que de lymphocytes B (CD20) est mesurée. Les résultats sont analysés par ANOVA à un facteur suivie du test de Fisher avec P < 0.05.

L'AngII induit une augmentation de la TCP de 55 \pm 6 mmHg (40 \pm 5 %) en régime NSF et de 29 \pm 5 mmHg (20 \pm 4 %) en régime DSF. L'IMC est supérieur en présence d'AngII dans les deux régimes : 2,80 \pm 0,05 à 3,32 \pm 0,11 mg/g chez les NSF et de 2,61 \pm 0,04 à 2,89 \pm 0,14 mg/g chez les DSF (20 et 10 %, respectivement). L'augmentation de l'aire des cardiomyocytes induite par l'AngII en régime normosodé (224 \pm 12 ν s 278 \pm 12 μ m²) n'est pas observée en régime désodé (243 \pm 7 ν s 212 \pm 8 μ m²).

Comparé au rat NSF, le marquage et l'expression de CD68 est significativement plus basse en régime désodé en absence (9,5 \pm 0,8,10-2 vs 7,1 \pm 0,5,10-2) et en présence d'AngII (10,6 \pm 1,5,10-2 vs 5,6 \pm 0,4,10-2). De même, l'expression de CD4 et de CD8 est réduite en régime désodé en absence (CD4 : 4,6 \pm 0,3,10-2 vs 3,6 \pm 0,2,10-2) ou en présence d'AngII (CD4 : 6,4 \pm 0,5,10-2 vs 3,6 \pm 0,2,10-2). Aucune différence significative n'est retrouvée pour CD20. L'expression de NF-kBp65 est réduite significativement par le régime désodé en présence ou absence d'AngII.

L'effet bénéfique cardiaque de la restriction sodée est conservé quand la dysfonction métabolique est associée à une hypertension art'riel. . A ce stade, l'effet bénéfique est vraisemblablement lié à la baisse de p'ession a cérie lle ainsi qu'à la diminution de l'inflammation et de l'inflitration des celluies de l'immunité (macrophages, cellules T mais pas B) au niveau car l'iaque



Elsevier Masson France /Ilconsulte www.em-consulte.com



http://france.elsevier.com/direct/ANCAAN

Annales de cardiologie et d'Angéiologie 62 (2013) 21-32

33^{es} Journées de l'Hypertension Artérielle 7th International Meeting of the French Society of Hypertension

Posters commentés

Jeudi 19 décembre 2013 de 16h00 à 16h30

Session meilleurs Posters 1

P01-01

A novel device for measuring arterial stiffness using the finger-toe pulse wave velocity: validation study of the pOpmètre®

Nouvel appareil de mesure de la rigidité artérielle utilisant la vitesse de l'onde de pouls doigt-orteil : étude de validation du pOpmètre®

M. ALIVON (1), D. VU (1), V. VIGNON (1), E. BOZEC (2), H. KHETTAB (1), S. LAURENT (1), P. BOUTOUYRIE (1), M. HALLAB (3)

- (1) Inserm U970 Parcc HEGP, Paris, France, (2) Cic-Inserm Hôpital Vandeouvre Les Nancy, Nancy, France,
- (3) Département De Gériatrie Université De Nancy, Nancy, France

Background: Arterial stiffness is an independent predictor of CV events in a large number of populations. The Gold standard is carotid-femoral pulse wave velocity (cf PWV). However, the access to the femoral artery site is sometimes not possible for cultural or clinical reasons. Other pathways, like the finger-toe pathway, may represent a good alternative.

Methods: In 40 subjects, including 31 patients with various pathologies and 9 healthy normotensives (30±15 yrs), PWV was sequentially measured with either as cfPWV with the Sphygmocor® system, or finge -toe FWV with the pOpmètre® system, in a random order, after 15 min supine rest. The pOpmètre® has 2 photodiodes sensors, positioned one on the fing r and one on the toe, next to the pulp artery, and a cardiac activity electrode. Pulse waves were measured continuously for 20 sec, and the difference (Dtf) between the toe pulse wave transit times (PWtt, relative to R-ECG) and the finger PWtt was calculated. Toe-to-finger PWV (m/s) was calculated as k*subject's height/D f, using a chart of body height of 187 individuals.

Results: ftPWV and cfPWV were 4.9 ±0.8 and 16.7 ±0.4 m/s in controls, respectively; and 6.0±1.6 and 8.4±1.9 m/s in patients, respectively. Intra-session repeatability (40 subjects, 3-5 measures/subject) of pOpmètre® was very acceptable (CV 7.4%). Inter-session repeatability (7 subjects, 3-5 measures/subjects and visit) was very good (CV 5.7%). ftPWV was significantly correlated with cfPWV (ftPWV=0.73 * cfPWV+1.40; r²0.49; p<0.0001). Bland and Altman chart showed no significant bias for the measurement of PWV between the two devices. Mean difference was 0.76+1.5 m/s

Conclusion: Measurements of PWV along the finger-toe pathway are significantly correlated with the Gold standard, i.e. PWV measured along the carotid-femoral pathway. pOpmètre® shows good repeatability for measurement of ftPWV, both during intra- and inter-session comparisons. Further pathophysiological, pharmacological and epidemiological studies remain to be done with pOpmètre® which can be considered as a promising novel apparatus for measuring arterial stiffness under routine clinical practice conditions.

Keywords: Vaisseaux

P01-02

Ambulatory blood pressure profiles and type 2 Profils ambulatoires de la pression artérielle et diabète de type 2

E. NELAJ, M. GJATA, M. TASE

Department Of Internal Medicine And HTA, University Hospital Center, Tirane, ALBANIA

Introduction - Arterial hypertension is a major risk factor for micro- and macrovascular complications in type 2 diabe es. Several factors are known to influence blood pressure profile in diabetic patients, such as age, sex, body weight, diabetes duration, insulin dosage, metabolic control, and microalbuminuria. Ambulatory blood pressure monitoring (ABPM) permits the observation of blood pressure throughout day and night. ABPM is better related to end organ damage and cardiovascular morbidity from by pertension than office blood pressure readings. We used our database to study risk factors for abnormal 24-h blood pressure regulation and micr albuminuria in type 2 diabetic patients.

Methods – ABPM was performed in 102 diabetics. Individual least median squares (LMS)-SD scores were calculated for diurnal and nocturnal systolic (SBP), diastolic (DBP), and mean a terial (MAP) blood pressure according to normalized values. The nocturnal blood pressure reduction (dipping) was calculated for SBP as well

Results - In diabetics, NBP in particular was significantly elevated (SBP +0.51, DBP 0.58, MAP +0.80 LMS-SD) and dipping of SBP, DBP, and MAP was significantly reduced (P<0.0001). Age, diabetes duration, sex BMI, A1C, and insu in dose were related to altered blood pressure profiles; dipping, however, was only affected by age, female sex, and A1C. The presence of microalbuminuria was as ociated with nocturnal DBP (P<0.0001) and diastolic dipping (P<0.01).

Conclusions - Our observations revealed a clear link between the quality of metabolic control and altered blood pressure regulation even in patients with short diabetes duration. Nocturnal blood pressure in particular seems to mainly contribute to diabetes complications such as microalbuminuria.

Keywords: Hypertension Measurement

P01-03

Analyse de la concordance de deux échelles d'évaluation de l'observance dans l'hypertension

Analysis of concordancy of two scales of compliance assessment in hypertension

C. BEMBARON, S. LE JEUNE, J.-J. MOURAD CHU Avicenne, Bobigny, France

Objectifs : L'observance au traitement est un pré-requis indispensable à la prise en charge d'une pathologie chronique comme l'hypertension artérielle (HTA). L'évaluation de l'observance est difficile et plusieurs outils ont été validés pour détecter l'inobservance en pratique courante. L'objectif de ce travail a été d'analyser la concordance de 2 tests d'évaluation de l'observance validés dans l'HTA.

Méthodes: Le test d'évaluation de l'observance (TEO) (Girerd X. et al 2001) et le Morisky Medication Adherence Scale (MMAS) version Française (Korb-Savoldelli V et al. 2012) ont été réalisés au sein d'une population de 50 patients hypertendus hospitalisés dans un centre d'excellence en HTA (âge moyen 71 ± 15 ans ; 56 % de femmes). Les patients étaient groupés en bons observants (1), minime problème d'observance (2) ou hautement inobservants (3) selon les critères respectifs des deux grilles. La concordance de ces 2 tests a été comparée.

Résultats : La pression artérielle était mesurée à 130 ± 21/74 ± 13 mmHg sous 2,1 ± 0,9 classes thérapeutiques. La concordance entre les deux tests d'observance est détaillée dans le tableau.

La concordance des deux tests est de 64 % (n = 32). En termes de risque d'inobservance, 12 % des patients étaient sous évalués par le TEO par rapport au MMAS (cellules ombrées en pointillé) et 24 % des patients étaient surévalués par le TEO par rapport au MMAS (cellules ombrées grises).

Conclusion : Malgré des items proches, le TEO et le MMAS ne permettent pas de discriminer les mêmes patients pour le risque d'inobservance. En l'absence de mesure réelle de l'observance dans ce travail, il est impossible d'affirmer quelle échelle d'évaluation est la plus pertinente.

Keywords: Medicaments

	TEO	1		2		3		TOTAL LIGI	NES
MMAS 8	1	24	48%	11	22%	0	0%	35	70%
	2	3	6%	6	12%	1	2%	10	20%
	3	0	0%	3	6%	2	4%	5	10%
TOTAL CO	OLONNES	27	54%	20	40%	3	6%	32	64%

Figure 1

P01-04 Clinical determinants of successful adrenal vein sampling

Déterminants cliniques du succès du cathétérisme bilatéral des veines surrénaliennes

M. BERNEY (1), M. MAILLARD (1), F. DOENZ (2), A. PECHERE-BERTSCHI (3), M. BURNIER (1), G. WUERZNER (1)

- (1) Service Of Nephrology, Lausanne University Hospital, Lausanne, Switzerland,
- (2) Departement Of Radiology, Lausanne University Hospital, Lausanne, Switzerland, (3) Unité D' Hypertension, Geneva University Hospital, Geneva, Switzerland

Background: In patients with primary hyperaldosteronism who are candidates for adrenal surgery, aterio-venous sampling (AVS) is the gold standard technique to localize the source of aldosterone overproduction. Few studies have investigated the determinants of success of adrenal vein catheterism.

Methods: The study was retrospective. AVS from the last five years were selected. AVS was performed sequentially in all patients. Criteria for selective AVS were a cortisol in adrenal vein/cortisol in inferior vena cava ratio > 2. Univariate and multivariate analysis were performed.

Results: Data from 62 AVS were available. 50% of participants were won. n. Mean±standard deviation age, body mass index (BMI), office systolic blood pressure (BP) and office diastolic BP were respectively 47.7±1.9 years, 290. 5.9 kg/m², 169±28 mmHg and 105±14 mmHg. Median (interquartile range) basa plasm aldosterone concentration and plasma renin activity were respectively 28. '166, +22) pg/ml and 0.09 (0.01;0.26) ng/ml/h. The frequency of success for plater AVS, unilateral AVS or failure was respectively 53%, 42% and 5% AV. le s. (*£0.347; P<0.01) and BMI (*£0.559; P<0.001) were associated with bit teral screenful AVS in univariate analysis. Only BMI (B coefficient: 0.49; P<0.01) are associated with successful AVS in univariate analysis.

Conclusions: This retrospective study suggests that make sex and a higher BMI might facilitate successful bilateral AVS. Improvement in success rate may need the introduction of a rapid cortisol assay.

Keywords: Imagerie

P01-05

Devrait-on surveiller les chiffres tensionnels et l'ex-rétion urinaire d'albumine après une néphrectomie partielle ou totale pour cancer du rein?

Should we monitor home blood pressure and albuminuria after a partial or total nephrectomy for renal cancer?

C. DOURMAP-COLLAS (1), N. LORCY (1), G. VERHOEST (1),

- B. LAGUERRE (2), S. LE STUM (1), B. VICTOR (1), A. LAFOURCADE (3),
- E. OGER (3), C. VIGNEAU (1)
- (1) CHU Rennes, Rennes, France,
- (2) Crlcc, Rennes, France,
- (3) Université Rennes 1, Rennes, France

Introduction: L'impact d'une néphrectomie sur les chiffres tensionnels et l'excrétion urinaire d'albumine a été très peu étudiée dans la littérature. L'objectif de l'étude est d'évaluer l'évolution des chiffres tensionnels et de l'excrétion urinaire de protéines après néphrectomie partielle ou totale, et de rechercher des facteurs prédicteurs de survenue de l'anomalie.

Méthode: L'étude STAFF est une étude pilote. Les patients programmés pour une néphrectomie pour cancer du rein entre novembre 2011 et décembre 2012 ont été éduqués à l'automesure tensionnelle et à la pratique d'une bandelette urinaire. Il est demandé au patient de réaliser une automesure et une recherche de protéinurie une fois par mois pendant les 6 mois suivant la chirurgie rénale, un premier relevé

étant réalisé en préopératoire. Un autoters ome re homologué et des bandelettes urinaires sont remis au patient.

Résultats: 56 patients (60 % d'hommes), âgés de 64 ± 11 ans, avec un IMC à 27 ± 5 kg/m² ont été inclus et opé és d'une néphrectomie partielle (2/3) ou totale (1/3) au CHU de rennes pour cancer du rein (2/3 de carcinome cellules claires). On dénombre 66 % d'hyperten lus à l'inclusion, 54 % de fumeurs ou ex fumeurs, 14 % de diabétiques et 37,5 % de dyslipidémiques. Aucun patient n'a été traité par anti-angiogénique pendant l'étude. Lorsque la pression artérielle est élevée avant la chirurgie, a ec ou sans traitement, elle reste relativement constante ou diminue pendant le suivi. Lorsque la pression artérielle est normale ou normalisée sous antihyper enseur(s) avant l'opération, on observe en revanche l'apparition ou la déstabilisation d'une hypertension artérielle (HTA) chez 36 % des patients, de façon préferentielle chez l'hypertendu traité avant la chirurgie (p = 0,069). On constate également l'apparition ou l'aggravation d'une protéinurie chez 33 % des patients. Être hypertendu à l'inclusion dans l'étude et/ou être en surpoids apparaissent comme des facteurs de risque d'apparition ou d'aggravation d'une proténurie. Le type de chirurgie (partielle ou totale) ou un traitement préalable à la chirurgie par bloqueur du SRA n'a aucun effet sur l'évolution des chiffres ensionnels ou de la protéinurie. Il n'existe par ailleurs aucun lien entre l'apparition ou l'aggravation d'une protéinurie et l'apparition d'une HTA.

Conclusion: Notre étude montre que de nombreux patients développent ou déséquilibrent une HTA ou une protéinurie après néphrectomie pour cancer et il apparait donc souhaitable de prévoir une surveillance tensionnelle par automesure et une recherche de protéinurie par bandelette dans les mois suivant une néphrectomie partielle ou totale pour cancer du rein, en particulier chez l'hypertendu traité et/ou en surpoids.

Keywords: Rein

P01-06

Évaluation de la pression artérielle centrale en transplantation rénale

The determinants of central blood pressure in renal transplant recipients

 ${\color{blue} {\rm M.~DINIC}}$, D. THIBAUDIN, I. MASSON, M. MEHDI, N. MAILLARD, E. ALAMARTINE, C. MARIAT

Service De Néphrologie, Dialyse Et Transplantation Rénale, St Etienne, France

Introduction: La pression artérielle centrale est la pression imposée au niveau des gros troncs artériels et à laquelle sont directement soumis les organes cibles (cœur, rein, cerveau). Récemment, des techniques d'évaluation de la pression centrale par méthodes oscillométriques, automatisées et utilisables en pratique clinique ont été développées.

En population générale, des études suggèrent que la pression artérielle centrale pourrait être un facteur de risque cardio-vasculaire plus robuste que la pression brachiale. Il n'existe que très peu de données concernant la pression centrale chez les transplantés rénaux, patients réputés comme étant à haut risque cardio-vasculaire.

L'objectif de notre étude est de décrire le niveau de pression centrale dans une cohorte de patients transplantés rénaux et d'en déterminer les principaux déterminants.

Patients et méthodes: Tous les patients transplantés rénaux et ayant un bilan de suivi programmé ont systématiquement une détermination de l'index d'augmentation de la pression centrale (IxA) par ARTERIOGRAPHTM. En plus du bilan standard, un dosage de cystatine C, d'homocystéinémie ainsi qu'un ASP de profil (score de calcifications de Kauppila) sont réalisés. Cette étude « CHU promoteur » prévoit d'inclure 300 patients consécutifs.

Résultats : Les 149 premiers patients inclus avaient un âge moyen de 55,7 ans (±13,3), étaient de sexe masculin pour 67,8 % d'entre eux et ont été transplantés

depuis en moyenne 10 ans ($\pm 8,9$) (avec 94,6 % de patients transplantés depuis au moins 1 an). L'IxA était de +26 % et variait de -3 % à +59,1 %. Dans le sous-groupe de patients considérés comme normotendus (56 %), l'IxA restait très fortement positif, en moyenne de +22 %. Les paramètres les plus significativement associés avec un IxA élevé étaient l'âge du donneur, l'âge du receveur, la valeur de cystatine C et le score de Kauppila.

Discussion-conclusion: Ces données suggèrent que la rigidité des gros troncs artériels est excessive chez une large majorité des patients transplantés rénaux, y compris chez ceux ayant une pression artérielle brachiale contrôlée. L'intérêt de la pression artérielle centrale pour mieux appréhender le risque cardio-vasculaire des transplantés rénaux doit être évalué prospectivement.

Keywords: Hemodynamique

P01-07

La fréquence cardiaque mesurée en consultation est-elle suffisante pour évaluer les patients insuffisants cardiaques et/ou coronariens? Is doctor's office measurement of heart rate adequate for chronic heart failure and/or coronary patient's evaluation?

Y. DIMITROV (1), M. LOPEZ SUBLET (2), J. OTT (1), P. SOSNER (3), N. BARBE (4), S. LEMOINE (5), J.-P. BAGUET (6)

- (1) Néphrologie Ch, Haguenau, France,
- (2) Medecine Interne Ch Avicenne, Bobigny, France,
- (3) Cardiologie CHU, Poitiers, France,
- (4) Cardiologie CHU, Clermond-Ferrand, France,
- (5) Néphrologie CHU, Lyon, France,
- (6) Cardiologie CHU, Grenoble, France, (7) Au Nom Du Club Des Jeunes Hypertensioogues, France

Introduction: Plusieurs études suggèrent qu'il est bénéfique de ralentir la fréquence cardiaque (PC) chez les patients insuffisants cardiaques et/ou coronariens. Cependant, ces études se sont basées sur la FC mesurée en consultation. Nous avons voulu comparer cette dernière avec la FC mesurée pendant 24 h par MAPA dans ce type de population.

Matériel et méthode: Nous avons relevé de manière prospective les données cliniques et biologiques de patients insuffisants cardiaques et/ou coronariens bénéficiant d'une MAPA dans leur suivi clinique.

Résultats: Nous avons inclus 96 patients d'âge moyen 71 ± 10 ans dont 69 % d'hommes, 60 % diabétiques, 32 % insuffisants cardiaques et 83 % coronariens. La moyenne des FC en consultation était à 67,2 ± 9 b/mn contre 66,3 = 8, 67,4 ± 8 et 64,1 ± en MAPA sur 24 h, de jour et de nuit, respectivemen Les patients ont été divisés en 2 groupes suivant la FC de consultation : < 70 ou > 70 c/mn. Nous avons calculé le % de patients dont la FC sur 24 h ét. it d. ns un groupe différent de celui de la FC de consultation (Tableau 1). Au tot. 130,5 % des patients étaient classés dans un groupe différent selon la consultation ou la MAPA

Tableau 1

	FC Consultation < 70 p/mn	FC Consultation > 70 b/mn
FC 24 h MAPA < 70 b/mn	74,6 %	40,6 %
FC 24 h MAPA > 70 b/mn	25,4 %	59,4 %
FC Jour MAPA < 70 b/mn	69,8 %	34,4 %
FC Jour MAPA > 70 b/mn	30,2 %	65,6 %
FC Nuit MAPA < 70 b/mn	85,7 %	53,1 %
FC Nuit MAPA > 70 b/mn	14,3 %	46,9 %

Discussion: Près du tiers des patients sont différemment classés par la MAPA. Si le seuil d'intervention est fixé à 70 b/mn en consultation, plus de 40 % des patients sont plus lents alors que 25 % sont plus rapides en MAPA. Cela peut conduire à ne pas traiter des patients dont la FC le nécessiterait ou, au contraire, à en traiter d'autres inutilement.

Conclusion: La FC de consultation peut induire en erreur chez un grand nombre de patients. Il peut être utile d'évaluer la FC sur 24 h en pratique quotidienne mais cela nécessiterait des études d'intervention sur la FC basées sur une mesure de 24 h. Keywords: Cœur

P01-08

The influence of diabetes duration in aortic stiffness in type 2 diabetes mellitus Influence de la durée du diabète sur la rigidité aortique dans le diabète de type 2

D. AGNOLETTI (1), A. SALAH MANSOUR (2), Y. ZHANG (3), A. PROTOGEROU (4), S. OUERDANE (2), J. BLACHER (1), M. SAFAR (1)

- (1) Paris Descartes University; AP-HP; Diagnosis And Therapeutic Center, Hôtel-Dieu,
- Paris, France,
 (2) Department Of Internal Medicine Of Tizi Ouzou Hospital, Tizi Ouzou, Algeria,
- (3) Department Of Cardiology Shanghai Tenth Peoples Hospital; Tongji University School Of Medicine, Shanghai, China,
- (4) Hypertension Center And Cardiovascular Research Laboratory, 1st Department Of Propaedeutic Medicine, Laiko Hospital, Athens, Greece

Objectives: Diabetes complications increase with progression and duration of the disease. Aortic stiffness is considered an integrated marker of the combined effect of cardiovascular risk factors, age being considered a surrogate for the duration of the exposition to them. To our knowledge, no study was carried out specifically about the relationship between aortic stiffness and diabetes duration, which we aimed to investigate.

Research Design and Methods: 618 type 2 diabe ic pruents (259-men) attending the Department of Internal Medicine of Tizi- 'uzo. Hos rital (Algeria) were studied. Anthropometric, clinical and biological data vere sampled; brachial blood pressure (BP) was measured, and aortic stiffness vere seamated by carotid-femoral pulse wave velocity (cf-PWV).

Results: From lower to higher er ile of nabetes duration, age, BP and cf-PWV (12.6±3.4 to 15.4±3.5 m/s) in, eased, while diabetes control and renal function worsened (all p<0.01). Diabete duration was independently associated with cf-PWV (R2=0.39, p<0.001), after adjustment for age, heart rate, BP, and metabolic syndrom. Diabete duration was also correlated to the prevalence of microalbuminumia (O. 195%CL) 1.3[1.06-1.63], p=0.01), independently of age, gender, BP and renal function. Aortic stiffness but not diabetes duration was independently sociated to prevalence of cardiovascular events (OR[95%CL] 1.46[1.19-1.80], p<0.001).

Conclusions: Diabetes duration is an independent determinant of aortic stiffness in type 2 diabetic patients, causing about 4% of cf-PWV variability, from low to high tertiles. Diabetes duration is independently associated to microvascular complications, while aortic stiffness was associated to diabetic macrovascular con plications. Aortic stiffness could be considered an integrated risk marker between diabetes and cardiovascular disease.

Keywords: Hemodynamique

P01-09

Utilité de la pression ambulatoire de 24 h chez les patients insuffisants rénaux chroniques à la sortie de l'hôpital

Usefulness of 24h-ambulatory blood pressure monitoring in patients with chronic kidney disease after coming out of hospital

B. PONTE, N. MARANGON, C. MARTINEZ, S. DE SEIGNEUX, P. MARTIN. P. SAUDAN

Hôpitaux Universitaires Genevois, Genève, Switzerland

Introduction: Un contrôle optimal de la pression artérielle (PA) est nécessaire chez les patients avec insuffisance rénale chronique (IRC). Ces derniers sortent souvent de l'hôpital avec une PA contrôlée. Toutefois il est peu clair si ce contrôle reste optimal en ambulatoire.

Patients et méthodes: Nous avons inclus dans une étude prospective observationnelle (Implicate Study; Clinical Trials.gov: NCT00929760) des patients présentant une IRC stade IIIb-IV avec une SBP < 140 mmHg à la sortie de l'hôpital et une mesure de la pression ambulatoire sur 24 h (24h-ABPM) dans les 3 mois suivants. Les valeurs de PA visées pour la journée et la nuit étaient < 135/85 et 120/70 mmHg, respectivement avec un ratio jour/nuit < 0,9 considéré comme normal.

Résultats: Nous avons inclus 82 patients dont 69 % étaient des hommes et 27 % des diabétiques. L'âge moyen était de 69 ans (SD ± 9) et le taux de filtration glomérulaire selon MDRD était à 33 ml/mn/1,37 m². La majorité des patients étaient sous traitement d'inhibiteur du système rénine-angiotensine (71 % IECA/ARB) et 62 % sous diurétiques. La PA moyenne selon la mesure par 24h-ABPM était durant la journée de 135/81 mmHg (SD ± 18/12) et durant la nuit de 124/72 mmHg (SD ± 18/13). Le dipping nocturne était conservé chez 45 % des patients. Les PA cibles durant la journée et durant la nuit étaient atteintes dans 54 % et 38 % des cas respectivement. Seulement 28 % des patients avaient des tensions dans les cibles nocturnes et diurnes.

Conclusion : Chez les patients avec IRC de stade IIIb-IV le bon contrôle de la PA durant l'hospitalisation ne prédit pas l'atteinte des cibles tensionnelles en ambulatoire. Une 24h-ABPM devrait être pratiquée de routine chez ces patients à distance de l'hospitalisation afin d'adapter rapidement le traitement et obtenir un bon contrôle, surtout nocturne.

Keywords: Mesure de La T.A.

Jeudi 19 décembre 2013 de 16h00 à 16h30

Session meilleurs Posters 2

P02-10 Association entre pression artérielle et vitamine D chez le sujet âgé

Association between blood pressure and vitamin D in elderly people

L. CAILLARD, J.-S. VIDAL, C. BOULLY, E. CHAUSSADE, M. PLICHART, F. LABOUREE, O. HANON

Hôpital Broca, Paris, France

Introduction : Des études récentes ont suggéré un rôle potentiel de la vitamine D dans la régulation de la pression artérielle, via une action sur le système rénine-angiotensine, l'homéostasie phospho-calcique et la contraction des cellules musculaires lisses vasculaires.

Objectif: L'objectif de ce travail est de déterminer si la concentration sérique en 25OHD3 est associée à la pression artérielle dans une population de sujets âgés hospitalisés.

Méthodes: Une étude rétrospective a été conduite sur 108 patients hospitalisés en service de Gériatrie Aigue et de Soins de Suite et de Réadaptation, du ler janvier au ler avril 2012. Tous les patients inclus avaient un dosage de la [25(OH)D3] et une mesure de la pression artérielle systolique et diastolique. Les sujets ont été répartis selon les tertiles de vitamine D : T1 = 2,72-10,64 ng/ml (n = 36) ; T2 = 11-24 ng/ml (n = 37) ; T3 = 24,3-68,7ng/ml (n = 35). La relation entre la pression artérielle et les tertiles de vitamine D a été étudiée après ajustement sur les facteurs confondants : l'âge, le sexe, la supplémentation en vitamine D, les antécédents d'hypertension artérielle et les traitements anti-hypertenseurs.

Résultats: Les 108 sujets inclus dans l'étude avaient en moyenne 86,2 ans (\pm 6,3), et 66,7 % étaient des femmes. En analyse multivariée, la pression artérielle systolique apparaissait significativement associée à la concentration sérique en vitamine D : 144,2 mmHg (\pm 18,9) dans le premier tertile (T1) versus 129,4 mmHg (\pm 20,6) dans le troisième tertile (T3), p = 0,01. Cette association négative était également retrouvée au niveau de la pression artérielle diastolique : 74.6 mmHg (\pm 14) dans le premier tertile versus 64 mmHg (\pm 13) dans le troisième tertile, p = 0,003.

Conclusion: La vitamine D est associée de manière négative et indépenda, le à la pression artérielle systolique et diastolique. Plus le taux de vitamine D est oa plus la pression artérielle est élevée. Ces résultats ouvrent la voie à de ne uveaux essais thérapeutiques étudiant l'effet d'une supplémentation en vitamine D sur le chiffres de pression artérielle.

Keywords: Hormones

P02-11 Association positive entre état buc o-der laire et pression artérielle

Positive association between Jucco dental state and blood pressure

F. THOMAS-JEAN (1), C. DARNAUX (2), P. BC 'JC.HARD (2), N. DANCHIN (1), B. PANNIER (1)

(1) Centre Ipc, Paris, France,

(2) Hôpital Rothschild-Service Odontologie, Paris, France

Objectifs: L'inflammation parodo itale et le nombre de dents absentes sont associés au pronostic cardiovasculair pobjecur de ce travail était d'évaluer l'impact de l'état bucco-dentaire sur la pre sion artérielle (PA) dans une population générale en soins primaires.

Population et méthodes: 109 293 sujets (68 339 hommes et 40 954 femmes), venus au Centre IPC (Investigations Préventives et Cliniques, Paris) pour un examen de santé standardisé ont bénéficié d'un examen bucco-dentaire entre janvier 2002 et décembre 2010. La pression artérielle est la moyenne de trois mesures en position couchée après repos par appareil semi-automatique. L'hypertension artérielle. Est définie par ne pression artérielle systolique (PAS) ≥ 140 mmHg ou diastolique (PAD) ≥ 90 mmHg et/ou l'existence d'un traitement. L'état bucco-dentaire a été évalué par un chirurgien-dentiste à l'aide des critères suivants : i) présence de tartre, de plaques, et de gingivite, ii) surface masticatoire (insuffisante s'il manque au moins 5 couples de dents hautes et basses correspondantes), iii) nombre total de dents absentes (remplacées ou non par des prothèses). Pour chaque marqueur, le niveau de pression artérielle a été analysé selon deux modèles : A : ajustement à l'âge et sexe, B : modèle A, et fréquence cardiaque, IMC, tabac, glycémie, gamma GT (indice de consommation d'alcool), score EPICES (score de précarité socioéconomique) à partir d'analyses de variances et de modèles multivariés logistiques. Résultats : La présence de plaque dentaire, ou de gingivite, est associée à une augmentation de 2.5 mmHg de la PAS et de la PAD (p < 0,0001). En présence de plaque dentaire le risque d'être hypertendu augmente de 33 % [26 %-41 % (IC 95 %)]. L'absence d'au moins 10 dents est associée à une augmentation de 3.3 mmHg de PAS (p < 0,0001) et la présence d'hypertension augmente de 14 % [4 %-25 %

(IC 95 %)] ; en revanche aucune variation de la PAD n'est pas observée. Une surface masticatoire suffisante est associée à PAS ou PAD réduites de 1.5 mmHg (p < 0,0001) et à la diminution de -18 % [-25 %;-11% (IC 95 %)] de l'hypertension. Conclusions : Après ajustements, la présence de tartre, de plaque dentaire, de gingivite, une surface masticatoire insuffisante, sont associés à une PAS et une PAD significativement plus élevée. Le nombre de dents manquantes est associé uniquement à une PAS plus élevée. La prévalence d'hypertension artérielle est également significativement augmentée. Ces résultats suggèrent l'importance d'un suivi bucco-dentaire chez le patient hypertendu. L'association avec le pronostic cardiovasculaire de l'HTA demande maintenant à être étudié.

Keywords: Autre

P02-12 European cardiovascular risk structure is closer to that of the chilean cardiovascular risk than Framingham

La structure de risque cardiovasculaire européenne est plus proche de celle du Chili que Framingham

F. GUEYFFIER (1), I. MARCHANT (2)

(1) Université Lyon 1 – Hospices Civils De Lyon – Cors Lyon, France,

(2) Universidad De Valparaiso, Valparaiso, Chile

Introduction: The sustained increa of ordit vascular disease in the developing world is a truly challenge. While over "20% of all CVD deaths occur in developing countries, the lack of longitudinal's udies inders the extrapolation of international recommendations for CVD pr ven ion to a given country in the absence of risk predictors developed from local pidemiological data. A risk estimation system has been developed by adap ing the Framingham equations published in 1998 using local information to tree in over all CHD risk in the Chilean population assuming a constant odds ratio for the risk factors between populations. The predictive power of the Chilean risk equations against the CHD events observed in the Chilean population.

Methods: We performed a simulation study to compare the predicted events in a Realistic Virtual Population (RVP) to the events observed in the Chilean population over 10 years. The RVP represents 10% of Chilean adults aged 35–79 years with the CV1 risk profiles reported by the National Health Survey of 2003. We derived the 10 year rates of CHD fatal and non fatal from the individual risks by age and gender cat gories. We obtained the 10-year rates observed by extrapolating the latest annual incidence rates of fatal CHD and hospital discharges after non fatal CHD from national statistics using the life tables method. We performed predicted-observed comparisons for the Chilean adapted Framingham equations, the Framingham equations developed by Anderson et al. and the SCORE equations estimates.

Results: The overall CHD events were overestimated by the Chilean risk equations in men and women under 55 years and underestimated in individuals of both genders older than 55. The calibration defaults were greater in women compared to men in all age categories. The overestimation of CHD with the Framingham model used as a reference was maximal in the second age category for both genders. The CHD fatal events were underestimated by SCORE in men and women at all ages although the age-related risk gradient was closer to the observed gradient compared to Framingham's predictions.

Conclusion: The contribution of risk factors to CHD risk appears to be different in the Chilean population compared to the US population. Overall, SCORE showed improved performance to predict Chilean CHD deaths.

Keywords: Cœur

P02-13

Influence des comportements des patients face à leur hypertension artérielle sur l'observance d'une association antihypertensive fixe d'un IEC et d'un ICA: entre raison et dramatisation Influence of patients behaviours face to their high blood pressure, on their compliance to a fixe association CEI and CB: between reason and dramatization

F. ALLAERT (1), C. AUVRAY (2)

(1) Chaire D'evaluation Médicale Esc Et Dim CHU Du Bocage, Dijon, France, (2) Laboratoires Bouchara Recordati, Paris, France

Objectifs: décrire les comportements des patients face à leur hypertension artérielle et analyser leur influence sur l'observance d'une association fixe d'un IEC et d'un ICA afin d'optimiser les modalités de leur information et de leur prise en charge. Matériels et méthodes: Enquête observationnelle conduite en pratique quotidienne de médecine générale. Chaque médecin généraliste devait inclure les 4 premiers patients revus en consultation et traités depuis au moins 3 mois par une association fixe antihypertensive IEC et ICA, conformément aux recommandations de l'ESH 2009. Le médecin demandait à ces patients de remplir un questionnaire de coping (WCC) décrivant leur comportement psychologique face à leur hypertension artérielle et à leur traitement antihypertenseur et permettant d'évaluer la volonté

du patient de faire face à la maladie, le retentissement émotionnel de la maladie et la recherche d'un soutien extérieur qu'elle induit. L'observance du traitement était évaluée par le score de Moriski.

Résultats : 1976 patients âgés de 61,8 \pm 10,3 ans, de sexe masculin pour 61,0 % ont été inclus dans l'étude. Les analyses montrent que les traits comportementaux des patients sont relativement peu marqués à l'égard de l'hypertension artérielle et ce quel que soient l'âge ou le sexe. Toutefois, les patients ne ressentant pas leur hypertension comme un problème auquel ils doivent faire face, ont une observance souvent moins bonne que ceux qui lui portent l'intérêt requis (60,5 % vs 47,5 %; p<0,001). Il en est de même pour les patients qui ont un ressenti émotionnel trop important de leur pathologie (60,8 % vs 49,2 %; p<0,01). Enfin, la recherche d'un soutien auprès de tiers n'a que peu d'effet sur l'observance.

Conclusion: L'existence d'une hypertension artérielle ne suscite pas de grandes motivations des patients à lutter contre elle, sans doute en raison d'une sous-estimation du danger qu'elle représente, expliquant la faible observance du traitement antihypertenseur. La différence significative d'observance du traitement antihypertenseur entre les patients motivés ou non à lutter contre leur hypertension témoigne de l'intérêt de sensibiliser les patients à leur pathologie. En revanche, le ressenti émotionnel de la sévérité de l'hypertension allant à l'encontre de la bonne observance, il semble préférable que les politiques de sensibilisation des patients restent dans le registre du rationnel et non de l'émotionnel, en évitant des effets de dramatisation. Kewwords: Autre

P02-14 La super hypertension artérielle en milieu cardiologique au Burkina Faso The super hypertension in cardiologic in Burkina Faso

P. ZABSONRE (1,2), R. YAMEOGO (1), D. MANDI (1), N. YAMEOGO (1,2), G. MILLOGO (1,2), K. KOLOG (1), B. TOGUYENI (1), A. SAMADOULOUGOU (1,2)

(1) Service De Cardiologie Du CHU Yalgado Ouedraogo, Ouagadougou, Burkinaen, (2) Unité De Formation Et De Recherche En Sciences De La Santé/Université De Ouagadougou, Ouagadougou, Burkinaen

La super HTA est définie comme une pression artérielle systolique supérieure ou égale à 250 mmHg et/ou une pression artérielle diastolique supérieure ou égale à 150 mmHg en présence ou non de complications.

L'objectif de notre étude était de décrire les aspects épidémiologiques, thérapeutiques et évolutifs de la super HTA dans le service de cardiologie du CHU Yalgado OUEDRAOGO.

Il s'agissait d'une cohorte observationnelle sur une période de 24 mois (juil'et 2011 à août 2013)

Nous avons recruté 34 patients, soit une prévalence de 12,9 % des patients hypertendus La durée moyenne de suivi des patients était de 7,1 mois. L'âge moyen était de 47 ans avec un sex-ratio de 1,3. L'HTA était connue chez 62 % (n = 21) des patients dont 24 % régulièrement suivis, 57 % sous traitement et aucur n'avair un traitement régulier. La prise au long cours d'AINS et de décoction tradition nelle cait notée dans respectivement 32 % et 24 % des cas. La dyspnée était le motil de consultation dans 38 % des cas et l'examen clinique révélait un OAP dans 26 % des cas. Nous avons noté un fond œil stade III-IV dans 55,9 % des cas. Tous les patients avaient une HVG électrique et 90 % une HVG échographique. La LeVG n'oyenne était de 0,58 avec une altération de la FEVG dans 28 % des cas. Le nombre noyen d'anti hypertenseurs était de 3 avec un contrôle de la tension artérielle dans 32 % des cas. Les antihypertenseurs les plus utilisés étaient les calcibloqueurs (79 %), les LFC (76 %) et les diurétiques (76 %). L'évolution a été marquée par une complication dans 91 % des cas et un décès dans 29 % des cas. La probabilité de su vie à un mois était de 70 % pour l'ensemble des patients et de 42 % pour les nouveaux cas d'11 TA. L'age moyen des patients décédés était de 35 ans. La présence d'une insuffisance renale, la méconnaissance de l'HTA et l'âge inférieur à 45 ans étaient des facteurs associés au décès (p < 0,05).

La super HTA est une pathologie qui atteint le sujet jeune avec une morbimortalité élevée. Sa prévention passe par le dépistage précoce et la prise en charge efficace de l'HTA.

 $\label{eq:Mots} \textbf{Mots clés}: \textbf{Super HTA} - \textbf{HVG} - \textbf{Complications} - \textbf{Morbidit\'e} - \textbf{Mortalit\'e} - \textbf{Burkina} \\ \textbf{Faso}$

P02-15 Le degré de l'insuffisance rénale chronique est associé aux taux de cytokines pro-inflammatoire, à l'hyperhomocystéinémie et au stress oxydant The degree of chronic renal failure is associated with the rate of pro-inflammatory cytokines, hyperhomocysteinemia and with oxidative stress

H. TBAHRITI (1), A. MESSAOUDI (2), A. KADDOUS (3), M. BOUCHENAK (1), K. MEKKI (1)

Introduction: L'évolution de l'insuffisance rénale chronique (IRC) est caractérisée par un taux élevé de morbidité et mortalité. La plus grande part de cette mortalité est due à des causes cardiovasculaires et elle est prédite à la fois par l'élevation des protéines de la phase aiguë ou des cytokines qui en régulent la production et par la régression de la défense antioxydante. Le but de cette étude est d'évaluer le taux des cytokines pro-inflammatoires, de l'homocystéine ainsi que des marqueurs du stress oxydant au cours de l'évolution de l'IRC.

Méthodologie: L'étude est menée chez 102 patients (H/F: 38/64; 45±57 ans) répartis en 4 groupes selon la classification de National Kidney Foundation: 28 patients en IRC débutante (IRC1), 28 patients en IRC modérée (IRC2), 28 patients en IRC sévère (IRC3) et 18 patients en IRC terminale (IRC4). Des méthodes immunologiques sont utilisées pour l'analyse des cytokines [Tumor Necrosis Factor (TNF-alpha), interleukine-lbêta (IL-lbêta), interleukine-6 (IL-6)] par EIA assay kit (ELISA) (Cayman Chemical's ACETM EIA kit)]. L'homocystéine (Hcy) est analysée par HPLC (Perkin Emer 200 séries). Le stress oxydant est évalué par le dosage des substances réagissant à l'acide thiobarbiturique (TBARS: Quintanilha et al., 1982), hydroperoxides (LPO) et les carbonyles (Cayman Chemical's EIA kit). La défense antioxydante est évaluée par l'analyse des enzymes; Superoxyde dismutase (SOD), Glutathion peroxydase (GPx), glutathion réductase (GR) (méthode photocolorimétrique; Fluka, Suisse) et Catalase (CAT) (C-) man Chemical kit).

Résultats: Une augmentation significative des proque urs de l'inflammation a été notée chez le groupe IRC4 par rapport aux autres groupes en particulier, TNF-alpha (10,04±1,61 pg/ml) et Hcy (25 34± 93 μm/l/) p<0,001. Une augmentation significative de l'oxydation est observe chez le groupe IRC4 (p<0,001) celle-ci est exprimée par des taux élevés de TI ARS (182±0,08 μmol/l), LPO (1,46±0,17 nmol/ml) et carbonyles (1,37±0,36 μm ol/m.) σπ paré aux autres groupes, tandis que des taux faibles de l'activité des enz, mes antioxydantes sont notés chez la population étudiée en particulier ch z le groupe IRC4 (p<0,001).

Conclusion: L'évo, l'ion apide de l'IRC est due principalement à l'élévation des marqueurs inflammat ires entraînant à la fois l'augmentation des marqueurs pooxydant et la d'inin tion de la défense antioxydante ce qui favorise dans la plupart des cas l'appa tion et l'évolution des maladies cardiovasculaires en particulier l'hypertension arc'rielle.

Mots clés : Insuffisance rénale chronique, Cytokines pro-inflammatoires, Ho₁₀₀ vstéine, Statut pro et antioxydant

Peut-on approcher la consommation sodée grâce à un échantillon urinaire?

Can we approach the sodium intake through a urine sample?

M. PREZELIN, A. CREMER, P. GOSSE

CHU Bordeaux, Hôpital St André, Service De Cardiologie, Bordeaux, France

Déterminer l'efficacité du recueil d'un échantillon d'urines pour estimer la natriurèse des 24 heures, à partir des formules de Kawasaki et Tanaka, dans une population européenne.

Nous avons recueilli chez des patients hospitalisés en cardiologie pour un bilan d'hypertension artérielle ou pour une insuffisance cardiaque, une natriurèse sur échantillon et une natriurèse des 24 heures. Nous avons estimé la natriurèse des 24 heures (g/24 h) à partir de l'échantillon en utilisant les formules de Kawasaki (Clin Exp Pharmacol Physiol 1993;20:7-14) et de Tanaka (Journal of Human Hypertension 2002;16:97-103). Ces estimations ont été comparées à la natriurèse des 24 heures recueillie le même jour.

Nous avons inclus 32 patients en moyenne âgés de 62 ans \pm 15, (37,5 % femmes) et traités pour 50 % par diurétiques. La natriurèse mesurée des 24 h est de 6 g/24 h \pm 4,8 en moyenne. La formule de Tanaka estime la natriurèse des 24 h à 8,9 g/24 h \pm 2,9 avec un coefficient de corrélation de 0.611 et une moyenne des différences appariés de -2,9 g/24 h \pm 3,8. La formule de Kawasaki estime la natriurèse des 24 h à 11,6 g/24 h \pm 4,9 avec un coefficient de corrélation de 0,620 et une moyenne des différences appariés de -5,56 g/24 h \pm 4,3. Les différences mesurée-estimée ne dépendent pas de l'importance de la natriurèse (Bland and Altman plots, non présentés). Les 2 formules sont fortement corrélées (r = 0,990). La concordance échantillon-24h (Tableau) est acceptable lorsque les patients sont regroupés en 3 classes (< 6 g/24, entre 6 et 10 g/24 h et > 10 g/24 h), et plus particulièrement pour les valeurs hautes de natriurèse.

Tableau 2

Natriurèse (g/24 h)		Mesur	Mesurée sur 24 h			
		< 6	6-10	> 10		
Estimé par Tanaka	< 6 6-10 > 10	5 12 2	0 6 2	0 1 4	5 19 8	
Total	7 10	19	8	5	32	

⁽¹⁾ Laboratoire De Nutrition Clinique Et Métabolique. Faculté Des Sciences. Université D'oran, Oran, Algeria,

⁽²⁾ Service De Biochimie Ehu D'oran, Oran, Algeria,

⁽³⁾ Service De Néphrologie Ehu D'oran, Oran, Algeria

Il semble que l'estimation de la natriurèse des 24 h par les formules de Kawasaki et Tanaka soit peu précise mais cela pourrait permettre une première classification rapide des patients compliants ou non au régime hyposodé.

Keywords: Electrolytes Membranes

P02-17

Pratique médicale dans la prise en charge de l'hypertension artérielle comme facteur de risque rénal en pratique médicale générale, et en prévention primaire, chez l'enfant en milieu scolaire, et la femme enceinte Medical practice in support of hypertension as risk factor kidney in general medical practice, and primary prevention in children in schools, and the pregnant woman

R. RAYANE (1), D. GHORAB (2), K. HADDADI (3)

- (1) CHU, Annaba, Algeria,
- (2) CHU, Annaba, Algeria, (3) CHU, Annaba, Algeria

L'étude longitudinale, observationnelle sur une année, a porté d'une part, sur la pratique médicale (dans le dépistage et la prise en charge de l'hypertension artérielle) d'une unité médicale de santé scolaire (couvrant 1 000 enfants), et de deux unités de santé maternelle, et d'autre part, sur la pratique médicale courante chez 100 médecins généralistes et spécialistes exerçant en libéral et en public. Saisie et analyse informatique des données.

Parmi nos résultats, on retiendra en particulier : (i) chez l'enfant en milieu scolaire, La mesure de la pression artérielle (PA), geste simple, facile, faisant partie intégrante de tout examen clinique, n'était jamais effectuée au motif que ce geste était jugé inutile dans 100 % des cas ; (ii) chez la femme enceinte, la mesure de la PA, en particulier aux 2e et 3e trimestre pour le dépistage d'une HTA gravidique, n'est pas effectuée chez plus de 26 % des gestantes au motif que la prise de la TA était jugée inutile par la sage-femme chez 89 % des gestantes et par défaut de matériels (tensiomètre non disponible ou défectueux) chez 11 % d'entre elles seulement ; (iii) en pratique médicale courante, ils ne sont que 69 % des médecins à prendre systématiquement la PA. Chez les 31 %, on trouve principalement les médecins spécialistes pour qui, l'état du patient ne le justifie pas.

Pour 62 % des médecins interrogés, il y'a HTA au-delà de 140/90 mmHg. Ils sont 15 % à la définir au-delà de 145/95 mmHg, et même au-delà de 160/90 mmHg pour

Devant la découverte d'une HTA, 97 % des médecins interrogés demandent un bilan rénal.

Ils sont 18 % des médecins à affirmer recevoir en consultation plus d'un malade sur deux pour HTA, et 31 % à recevoir un à quatre malades sur dix pour HTA. 41,3 % des médecins interrogés font usage de la bandelette urinaire (BU) au sein même de leur cabinet de consultation. Mais 58,7 % n'utilisent pas du tout la BU, soit parce qu'ils estiment que cet examen doit se faire dans un labor toire (64.8 %). soit parce que les BU ne sont pas disponibles au niveau même du cabinet de consultation (35,2 %). Et selon le mode d'exercice, ils sont plus nombreux à ne pas utiliser la BU dans le secteur libéral (77,7 %) que lans le secteur public (22,3 %). Chez ce dernier, le motif est principalement la non disponibilité des BU ; en revanche, en secteur libéral, les médecins considèr nt qu'il s'agit d'un examen de laboratoire (78,5 %).

Keywords: Mesure De La T.A.

P02-18

Risque vasculaire et insuffisance rénale chez les diabétiques de type 2 en Tunisie Vascular risk and renal failure in type 2 diabetes in Tunisia

N. MAKNI, H. KANDARA, I. KAMMOUN, E. HAOUET, I. BENRAHALL, L. BEN SELEM, C. BEN SLAMA

Institut National De Nutrition, Tunis, Tunisia

L'objectif était de comparer les facteurs de risque vasculaire chez des diabétiques type 2 avec et sans insuffisance rénale (IR).

Patients et méthodes : Il s'agit d'une étude transversale ayant concerné les diabétiques de type 2 hospitalisés dans le service d'Endocrinologie de l'Institut National de Nutrition de Tunis entre juin 2006 et juillet 2008. Les femmes enceintes et les patients posant un problème de classification de leur diabète ont été exclus de l'étude.

Résultats : Six cent quatre-vingt-neuf patients diabétiques de type 2 ont été inclus dans notre étude avec une prédominance féminine (271 hommes et 418 femmes). L'âge moyen était de 60 ± 11 ans (18-97 ans). L'ancienneté moyenne connue du diabète était de 11 ± 8 ans (0-48). L'indice de masse corporelle moyen était de 28,8 ± 5,5 kg/m2 (16,9-53,6). La plupart de ces patients ont été hospitalisés pour déséquilibre du diabète avec une HbA1c moyenne à l'admission à 10,8 ± 2,3 % (4,2-18,2). La moyenne de la clairance de la créatinine était à 42,4 ± 12,5 ml/min dans le groupe avec IR (IR+) versus 111 ± 35,4 ml/min dans le groupe sans IR (IR-) (p < 0,0001). L'analyse des facteurs de risque cardiovasculaire dans les deux groupes (IR+) et (IR-) montre que les patients du premier groupe étaient significativement plus âgés. L'âge moyen était de 70 ± 10 ans dans le groupe IR+ et de 58 ± 10 ans dans le groupe IR- (p < 0,00001). L'HTA était significativement plus fréquente dans le groupe IR+ (84,6 % versus 57,2 %; p < 0,0001), avec une durée moyenne rapportée significativement plus longue (9,8 \pm 7,5 ans versus 6,8 \pm 7,5 ans ; p < 0,001). L'IMC moyen était significativement plus bas dans le groupe IR+ (27,9±5,6 kg/m² versus 29,1 \pm 5,4 kg/m²; p = 0,02). Vingt-quatre pour cent des patients du groupe IR+ présentaient une dyslipidémie contre 15 % du groupe IR- (p = 0,01).

L'hypertriglycéridémie était plus fréquente en présence d'une IR (p = 0,06) mais aucune corrélation n'a été trouvée entre l'hypercholestérolémie et l'IR. Le sexe ratio, le degré d'intoxication tabagique et la présence d'une obésité androïde étaient comparables entre les deux groupes.

Notre étude confirme que le risque vasculaire est majoré par l'IR et souligne l'intérêt de l'évaluation périodique de la fonction rénale chez ces patients diabétiques qui sont déjà à haut risque vasculaire.

Keywords: Autre

Vendredi 20 décembre 2013 de 10h00 à 10h30

Session meilleurs Posters 3

P03-19

ALT-Mediated cardioprotective effects of aldosterone in type-2 diabetic MICE Effets cardioprotecteurs de l'aldostérone dans le diabète de type 2 chez la souris

L. FAZAL (1), F. AZIBANI (1), N. BIHRY (1,2), G. COUTANCE (1,2), E. POLIDANO (1), R. MERVAL (1), N. VODOVAR (1,2),

DELCAYRE (1,2), J. SAMUEL (1,2)

(1) Jmr-S 942 Inserm, Hôpital Lariboisière, Paris, France, (2) Université Paris Diderot, Paris, France

Introduction: The pathogenesis of diabetic cardiomyopathy involves numerous mechanisms including those linked to insulin resistance, deregulation of reninangiotensin-aldosterone system; their cardiac impacts not being fully elucidated yet. Studies have shown that aldosterone would have angiogenic effects, and therefore would be beneficial in the context of cardiovascular diseases. We thus investigated the potential involvement of aldosterone in triggering a cardiac angiogenic response in the context of type-2 diabetes, and the molecular pathways involved.

Methods: 3 week-old male mice, overexpressing aldosterone-synthase (AS), and their controls littermates (WT) were fed with a standard or high fat, high sucrose (HFHS) diet. After 6 months of diet, glucose and insulin tolerance tests were performed, mice were sacrificed and cardiac samples were assayed by RT-PCR, immuno-blotting and histology.

Findings: HFHS-diet induced a phenotype of a type-2 diabetes (D) in WT and AS mice. VEGFa mRNAs were decreased in WT-D (-43%, P<0.05 vs. WT) while increased in AS-D mice (+236%, P<0.01 vs. WT-D). In WT-D hearts, the proapoptotic p38-MAPK was activated (P<0.05 vs. WT and AS-D) whereas Akt activity, a marker of the survival pathway, decreased. The AS-mice, that exhibited a cardiac upregulation of IGF1-R, showed an increase in Akt phosphorylation when diabetic (P<0.05 vs. WT and AS-D). We observed an increase in expression of the markers of oxidative stress (xanthine-oxydase) and inflammation (galectin 3) in WT-D group only (p<0.01 vs WT). Contrary to WT-D, AS-D hearts did not express oxydative stress and inflammatory markers and exhibited a normal capillary density (P<0.05 vs. WT-D).

Conclusions: To our knowledge, this is the first study providing new insights into the mechanisms whereby aldosterone prevents diabetes-induced cardiac disorders. These further question the use of MR antagonists in the treatment of type 2 diabetes patients.

Keywords : Cœur

P03-20

Effet du degré d'hydrolyse des protéines de pois chiche (cicer arietinum) sur la cholestérolémie et le statut oxydant chez le rat hypercholestérolémique Effect of degree of hydrolysis of chickpea protein on cholesterolemia and antioxidant status in hypertecholesterolemic rat

S. YAHIA (1), A. BOUALGA (1), S. BENOMAR (1), F. DEHIBA (1), M. RODRIGUEZ-YOLDI (2), J. OSADA (2)

(1) Laboratoire De Nutrition Clinique Et Métabolique Faculté Des Sciences Université Oran, Oran, Algeria,

(2) Department Of Biochemistry And Molecular And Cellular Biology Veterinary School Health Research Institute Of Aragon, Saragosse, Spain

Si plusieurs études ont rapporté que les peptides alimentaires doués d'une activité biologique libérés au cours de la digestion gastro-intestinale ou par hydrolyse enzymatique in vitro jouent un rôle important dans la régulation du métabolisme du cholestérol et le statut antioxydant. Très peu se sont intéressées à l'effet du degré d'hydrolyse sur leur efficacité.

Le but de ce travail est d'étudier l'effet du degré d'hydrolyse (DH) des protéines de pois chiche sur la cholestérolémie et le statut antioxydant chez le rat hypercholestérolémique.

18 rats mâles Wistar (220±10 g) consommant un régime à 20 % de caséine contenant 1 % de cholestérol et 0,5% d'acide cholique sont divisés en trois groupes et reçoivent pendant 30 jours par gavage 1 g/kg une solution de protéines de pois chiches hydrolysées à DH=8 % (HPC8) ou DH=17 % (HPC17), le troisième groupe reçoit de l'eau et constitue le groupe contrôle (GC). Les VLDL, LDL et HDL sont séparées par FPLC et leurs contenus en cholestérol et en hydroperoxydes sont déterminés. De plus, l'activité arylesterase et glutathion peroxydase est mesurée au niveau sérique.

Les teneurs sériques en cholestérol total sont respectivement 1,3 – et 3,5-fois plus faibles chez les animaux traités avec HPC8 et HPC17 comparés au GC. Au niveau des VLDL ces valeurs sont respectivement 1,6 – et 3,4-fois plus faibles avec HPC8 et HPC17 alors que celles des LDL et HDL ne sont significativement diminuées (-66 %) que chez le groupe CPH17. Comparés groupe contrôle, les teneurs en hydroperoxyde des rats traités avec HPC8 et HPC17 sont respectivement 1,3 – et 2-fois plus faibles. Ces valeurs sont également significativement plus faibles au niveau des VLDL et LDL et l'activité arylestérase est significativement augmentée chez ces mêmes animaux, alors que l'activité glutathion peroxydase n'est significativement élevée que chez le groupe traité avec HPC17 (+ 30 %).

Ce qui suggère que HPC17 réduit plus efficacement que HPC8 l'hypercholestérolémie et l'oxydation des différentes fractions de lipoprotéines en stimulant l'activité arylesterase et glutathion peroxydase. Par conséquent, les protéines de pois chiche hydrolysées à DH 8 % et particulièrement à DH 17 % peuvent donc constituer un aliment fonctionnel offrant ainsi de nouvelles applications thérapeutiques pour la prévention ou le traitement des maladies chroniques comme les maladies cardiovasculaires.

Keywords: Autre

P03-21 Effet du lait de soja sur les paramètres biochimiqu s (cholestérol et albumine) Effect of soy milk on biochemical parameters (cholesterol and albumin)

S. ADDOU (1), I. ZERIOUH (2), I. BEGHAOUI (3), Z. SAFA (4), Z. BENNECIB (5), K. BELOUNNES (6), D. SAIDI (7), O. KHEPOUA (8) (1) Laboratoire De La Physiologie De La Nutrition Et De La Sécurité Alime taire, département De Biologie, université d'Oran, Oran, Algeria, (2) Laboratoire De La Physiologie De La Nutrition Et De La Sécurité Alimentaire, département De Biologie, université d'Oran, Oran, Algeria (3) Laboratoire De La Physiologie De La Nutrition Et De La Sécurité Alimentaire, département De Biologie, université d'Oran, Oran, Aigeria, (4) Laboratoire De La Physiologie De La Nutrition Et De La Sécurité Alimentaire, département De Biologie, université d'Oran, Oran, Algeria (5) Laboratoire De La Physiologie De La Nutrition Et De La Sécurité Alimentaire, département De Biologie, université d'Oran Oran Algella, (6) Laboratoire De La Physiologie De La Nutrition Et De La Sécurité Alimentaire, département De Biologie, un versité d'Oran, Oran, Algeria (7) Laboratoire De La Physiologie De La Nutrition Et De La Sécurité Alimentaire, département De Biologie, université d'Oran, Oran, Algeria, (8) Laboratoire De La Physiologie De La Nutrition Et De La Sécurité Alimentaire, département De Biologie, université d'Oran, Oran, Algeria

Introduction: L'alimentation non maternelle à base des protéines de soja ne peut être recommandée qu'en prévention d'une allergie ou intolérance alimentaire chez les nourrissons à haut risque. Le lait de soja est un produit diététique sans lactose, sans saccharose, sans gluten et sans protéines du lait de vache. Il est enrichi en méthioonine, en carnithine, en fer et en zinc Ce lait industriel à base de protéines de soja constitue la principale source phyto-estrogènes. Il est donc important d'évaluer les niveaux d'apports en phyto-estrogènes contenus dans les aliments à base de soja que peuvent consommer les nourrissons et les jeunes enfants.

Objectifs: Le but de notre travail est d'évaluer les conséquences de la consommation de lait de soja sur le dosage biochimique (cholestérol, albumine) des souris swiss utilisés comme modèle expérimental.

Matériels et Méthodes: Dans notre étude, nous avons utilisé 40 souris mâles âgées de 4 semaines et pesant en moyenne (23,27 ± 0,5)g. Ces animaux sont répartis en 4 groupes: groupe 1: 10 souris issus d'une maman allaitante nourri au lait de soja et recevant pendant les 90 jours du lait de soja; groupe 2: 10 souris issus d'une maman allaitante nourri au lait de soja et recevant pendant les 90 jours des bouchons et de l'eau; groupe 3: 10 souris issus d'une femelle témoin et recevant pendant les 90 jours du lait de soja; groupe 4: Lot témoin de 10 souris ne recevant pendant toute la période expérimentale que des bouchons et de l'eau.

Dans cette étude on a procéder à la mesure hebdomadaire du poids corporels, et la mesure de la quantité de lait de soja consommé chaque jour pour toutes les souris. **Résultats**: Nos résultats montrent que le poids corporels a diminué de façon très significative chez l'ensemble des groupes expérimentaux ayant ingéré du lait de soja.

Le dosage biochimique a relevé un taux d'albumine diminué, par contre, le taux de cholestérol est élevé chez les souris expérimentales par apport aux souris témoins. Conclusion: L'analyse biochimique (cholestérol, albumine) révèle une modification significative due à la consommation du lait de soja, chez la souris swiss. Ces résultats indiquent que l'ingestion du lait de soja n'est pas sans conséquence elle semble provoquer des altérations de certains paramètres biochimiques sériques ainsi qu'un disfonctionnement rénal des souris Swiss ayant ingéré ce lait.

Keywords: Hormones

P03-22 Effets cardiovasculaires des auto-anticorps antirécepteurs bêta1 et bêta3-adrénergiques chez le rat Lewis

Cardiovascular effects of beta1 and beta3adrenergic receptor aut an abodies in Lewis rat

E. MONTAUDON, M. ABDELKRIM, J. D. ESFONT'S, M. MALLEM Lunam Université, Oniris, «upsp. 5304 De Pil, siop., hologie Animale Et Pharmacologie Fonctionnelle. Nantes France

Introduction : La présence d'auto-, nticor anti-récepteurs adrénergiques (RA) β 1 (AC-RA- β 1) et anti-RA β 3 (AC-RA- β 2) a été décrite dans des modèles de rats hypertendus. Nos précédents travaux ont révélé que l'immunisation des rats avec la deuxième boucle extracel·laire. (ECII) des RA β 1 induisait une dysfonction endothéliale dans l'aorte thorac que et dans les artères mésentériques. Ceci laisse supposer que les AC-RA- β 1 pourraient exercer une action pathogène vasculaire qui pourrait êtran pliqué dans le développement de l'HTA. A l'heure actuelle, aucune étude : s'est onsacrée à l'exploration des effets cardiovasculaires des AC-RA- β 3 seuls ou a sociés aux AC-RA- β 1.

Objectif : Analyser les modifications de réactivité de l'aorte et des artères més nériques en réponse à des protocoles d'immunisation par des antigènes $\beta 3$ et/ou $\beta 1$ adrénergiques.

Meclodes: Des rats Lewis ont été immunisés pendant 3 mois avec un peptide co respondant à la ECII des RA β3 et/ou des RA β1. Les AC-RA-β produits on été titrés par ELISA et purifiés en utilisant le kit « Proteus Protein G ». Le raccourcissement cellulaire des cardiomyocytes isolés, en réponse à l'isoprénaline (10 nM), a été déterminé par imagerie vidéo chez les rats contrôles et immunisés. Des anneaux d'aorte et d'artère mésentérique isolés ont également été montés dans des cuves à organes isolés et précontractés à la phénylephrine. Puis, des courbes de relaxation ont été réalisées.

Résultats : L'effet agoniste des AC-RA-β3 a d'abord été étudié dans les cardiomyocytes de lapin. Le SR58611A (agoniste des RA β3) (10 nM) et les AC-RA-β3 purifiés (25 μg/ml) induisent une diminution du pourcentage de raccourcissement cellulaire (respectivement -43,41 ± 5,0 % (n = 4) et -14,64 ± 2,4 % (n = 8)). Cette diminution est totalement inhibée lorsque les cardiomyocytes sont préincubés avec le L748337 (1 μM), un antagoniste sélectif des RA β3 (p < 0,005). Le raccourcissement cellulaire des cardiomyocytes de rats immunisés contre les RA β1, en réponse à l'isoprénaline est significativement diminué. En revanche, cet effet est conservé chez les rats immunisés contre les RA β3 ou RA β3/β1. Dans l'aorte et les artères mésentériques, contrairement à ce qui a été observé chez les rats immunisés contre les RA β1, les relaxations induites par l'acétylcholine et le SR58611A ne sont pas modifiées chez ceux immunisés contre les RAβ3 et RAβ3/β1.

Conclusion : Ces résultats montrent pour la première fois que les AC-RA- β 3 exercent un effet agoniste β 3-adrénergique. Ils n'auraient pas d'action pathogène cardiovasculaire mais compenseraient les dysfonctions cardiaque et endothéliale provoquées par les AC-RA- β 1.

Keywords : Cœur

P03-23 Aldosterone promotes cardiac endothelial cells proliferation and angiogenesis L'aldostérone induit la prolifération des cellules endothéliales ainsi que l'angiogenèse dans le cœur

B. GRAVEZ (1), A. TARJUS (1), V. PELLOUX (2), A. OUVRARD-PASCAUD (3), C. DELCAYRE (4), J. SAMUEL (4), J. LAUNAY (4), K. CLEMENT (2), N. FARMAN (1), S. MESSAOUDI (1), F. JAISSER (1)

(1) Inserm U872 – Équipe 1, Paris, France,

(2) Inserm U872 - Équipe 7, Paris, France,

(3) Inserm U644, Rouen, France,

(4) Inserm U942, Paris, France

Background: The mineralocorticoïd receptor (MR) and its ligand, aldosterone (aldo), are involved in cardiac diseases such as myocardial infarction and atrial fibrillation. Moreover, aldosterone excess is deleterious for the heart. However, the cardiomyocyte-MR regulated processes leading to these injuries are still unclear.

Objective: To identify new aldosterone-regulated functions involved in cardiac

Methods and Results: Mice were treated for 7 days with aldosterone (60 μ g/kg/day; n=6-9/group) and cardiac whole genome microarray analysis was performed. Aldosterone regulated 70 genes, mostly up-regulated. To identify the biological processes modulated by aldo, a gene ontology (GO) analysis was performed. The majority of aldosterone-regulated genes were involved in cell division, as shown by the relative expression of Cycline B1 and Cdk1 (Cycline; untreated mice 1 ± 0.02 , aldo-treated mice 2.1 ± 0.5 ; Cdk1; untreated mice 1 ± 0.05 , aldo-treated mice 2.2 ± 0.4).

Moreover, the Ki-67 index of aldo-treated mice was higher than in non-treated ones confirming microarray predictions (% of positive Ki-67 nuclei ω total nuclei; untreated mice 15±4, aldo-treated mice 51±12%). Co-staining of Ki-67 with vinculin, CD68, α-smooth muscle actin CD31 or caveolin 1 revealed that the cycling cells were essentially endothelial cells. Four weeks later the capillary density was slightly increased. It seems pathophysiologically relevant as Ki-67 index was increased in an experimental model of heart failure (transverse aortic constriction: TAC) in rats. Eplerenone (eple), a MR blocker, prevented this increase (% of positive Ki-67 nuclei ω total nuclei; sham 26±3, TAC 42±5, TAC+eple 23±6%). Ex-vivo, aldosterone induced the proliferation of HUVEC cells in a MR dependent manner.

Conclusion: Aldosterone induces cardiac endothelial cells proliferation in vivo and underlines the role of cardiomyocyte-MR activation in this process.

Keywords: Cœur

P03-24 Le bruit de la variabilité sinusale traduit une instabilité cardiovasculaire
Noisy heart rate variability indicates cardiovascular instability

<u>J.-O. FORTRAT</u> (1), C. BAUM (1), C. JEANGUILLAUME (2), M. CUSTAUD (1)

- (1) Umr Cnrs 6214 Inserm 1083, Angers, France,
- (2) CHU Angers Médecine Nucléaire, Angers, France

La fréquence cardiaque fluctue spontanément malgré les mécanismes homéostatiques destinés à la stabiliser. Des fluctuations harmoniques et fractales ont été décrites. Les fluctuations ni harmoniques ni fractales n'ont pas été étudiées car elles sont habituellement considérées comme résultant du bruit instrumental. Nous avons émis l'hypothèse que cette fluctuation ressemblant à du bruit instrumental est la conséquence d'une stabilisation compromise de la pression artérielle et non du bruit instrumental. Nous avons évalué ce bruit par la quantification de la ve riabilité de l'intervalle RR à la fréquence la plus rapide qu'il soit (puissance spectrale à la fréquence de Nyquist, nyHRV) après filtrage du composant fractal. No 15 avons observé nyHRV en position couché chez des volontaires sains ains, que chez des patients avec une symptomatologie vasovagale. Nous avons ollic ré la regulation de la pression artérielle par la position debout (sur une ta le de verticalisation inclinée à 70° tête en haut). La verticalisation entraîne un effondrement de nyHRV chez les volontaires sains $(0.128 \pm 0.063 \text{ vs } 0.004 \pm 0.02, p < 0.01; n = 12)$ mais aussi chez les patients sans symptomatologie vasov agale (n = 24 ; 0,220 ± 0,058 vs 0,034 ± 0,015, p < 0,05). Au contraire, la verticalisation ne modifie pas nyHRV chez les patients avec symptomatologie va ovaga e (appariés en sexe et en âge, $0,103 \pm 0,041 vs$ $0,122 \pm 0,069$). La variabilité sinus le présente un composant non harmonique et non fractal prenant un aspect bruité. Ce composant bruité signe une faible sollicitation des mécanismes de régulation car il disparaît lorsque le système cardiovasculaire est sollic té (position debout). Il signe aussi une instabilité cardiovasculaire car il ne disparait pas en position debout chez des patients avant une syncope vasovagale qui représente une défaillance transitoire de la régulation cardiovasculaire

Keywords: Systeme Nerveux Autonome

P03-25 Relations between advanced glycation end-products and aortic stiffness and renal function
Relations entre produits de glycation avancée, rigidité artérielle et fonction rénale

D. AGNOLETTI, A. YANNOUTSOS, J. KABORE, J. TOPOUCHIAN, C. LY, M. SAFAR, J. BLACHER

Paris Descartes University; AP-HP; Diagnosis And Therapeutic Center, Hôtel-Dieu, Paris, France

Background: Increasing arterial stiffness (AS), worsening renal function, and accumulation of advanced glycation end-products (AGEs) are all associated with increased cardiovascular morbidity and mortality. We evaluated potential relations between these factors.

Methods: We selected 195 consecutive patients (mean age 63ys, range 36-89ys) from our ambulatory cardiovascular department, without arrhythmias and severe heart or renal failure. Anthropometric, laboratory and clinical measurements were collected. Estimated glomerular filtration rate (cGFR) was assessed by the MDRD

formula. Hemodynamic parameters (central blood pressure and aortic pulse wave velocity [PWV]) were measured using applanation tonometry. AGEs were measured by skin auto-fluorescence.

Results: Among tertiles of AGEs (<2.5; 2.5-3.0; >3.0-AU) patients presented increasing age (63 to 68ys), aortic pulse pressure (42 to 47mmHg), and PWV (10.1 to 11.6m/s); eGFR decreased from 83.7 to 68.1ml/min. Previous cardiovascular events were equally distributed. Patients with increased AS (PWV>10m/s) had higher AGEs, depending mainly on age (adjusted P=n.s.). Patients with eGFR below the median value (78 ml/min) presented higher AGEs, independently of confounders (adjusted P=0.003). Patients without increased AS and with eGFR above 78ml/min had lower AGEs than patients with increased AS and with eGFR below 78ml/min (2.6 to 3.2 AU) with significant trend (P=0.007, adjusted for age, mean arterial pressure [MAP], heart rate, and weight). Determinants of PWV were age (R2=0.27), MAP (R2=0.07), and AGEs (R2=0.04), independently of gender, previous cardiovascular disease, heart rate, smoking and body mass index. Conclusion: Increased AGEs were associated with older age, lower eGFR, and increased AS. The combination of eGFR and AS was strongly and incrementally associated with accumulation of AGEs.

Keywords: Hemodynamique

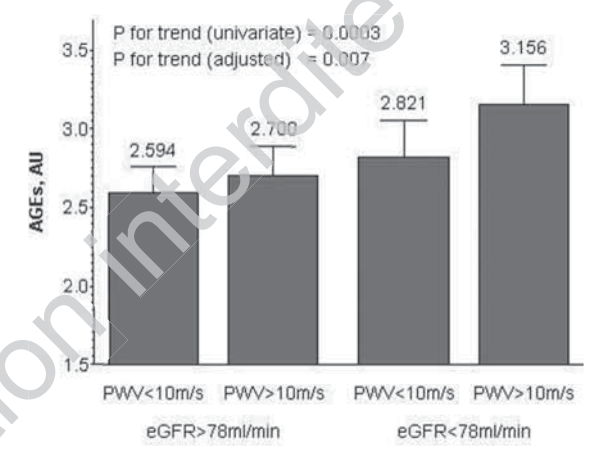


Figure 2

P03-26

Tacrolimus induces acute kidney injury, tubular vacuolization and overexpression of neutrophil gelatinase-associated lipocalin in kidney Le tacrolimus induit une insuffisance rénale, une vacuolisation tubulaire et une surexpression de neutrophil gelatinase-associated lipocalin dans le rein

C. AMADOR, J. BERTOCCHIO, F. JAISSER

Inserm Umrs 872 - Équipe 1 - Centre De Recherches Des Cordeliers, Paris, France

Tacrolimus (FK506) is a calcineurin inhibitor, commonly used for maintenance immunosuppression in kidney transplant recipients. However, tacrolimus administration induces nephrotoxicity and hypertension, which impair the allograft function and patient survival. Recent findings have related the Neutrophil Gelatinase-Associated Lipocalin (NGAL) as a sensitive biomarker for acute kidney injury (Paragas et al. Nat Med 2011). We hypothesized that tacrolimus promotes acute kidney injury characterized with high levels of NGAL in kidney and presence of tubular vacuolization.

Female mice under a pre-treatment of low salt diet (0.01% sodium, 7 days) were treated subcutaneously with Img/kg/day and I0mg/kg/day of tacrolimus during 10 days. The group treated with the high dose of tacrolimus presented high systolic blood pressure (138mmHg vs. vehicle 114±7mmHg, p<0.05), body weight loss, increased plasma creatinine (16μmol/L vs. vehicle 11±1μmol/L, p<0.05) and plasmatic urea (14μmol/L vs. vehicle 7±1μmol/L, p<0.05) and plasmatic urea (14μmol/L vs. vehicle 7±1μmol/L, p<0.05). n=6). In addition, the dose of tacrolimus 10mg/kg/day induced a marked tubular vacuolization and a renal increase of IL-6 mRNA. The protein and mRNA abundance of NGAL, determined by Western blot and qRT-PCR, respectively, also was increased with the high dose of tacrolimus (more than 2-fold vs. vehicle for mRNA and protein, p<0.05). All changes mentioned before were no detected in mice treated with the dose of tacrolimus Img/kg/day. Our results show that the use of tacrolimus for 10 days in a dose of 10mg/kg/day in mice is a good model for to study the mechanisms during acute kidney injury, characterized with tubular vacuolization and renal increase of NGAL.

Keywords: Kidney

P03-27

The combined effects of cardiac aldosterone and exercise on the heart of normal and diabetic mice-2 Impact de l'hyperaldostéronisme cardiaque sur les effets combinés de l'entraînement physique et du diabète de type 2 chez la souris

L. FAZAL (1), G. COUTANCE (1,2), E. POLIDANO (1), F. AZIBANI (1), R. MERVAL (1), A. COHEN-SOLA (1,2), C. DELCAYRE (1,2), J. SAMUEL (1,2)

(1) Umr-S 942 Inserm, Hôpital Lariboisière, Paris, France,

(2) Université Paris Diderot, Paris, France

Introduction: The pathogenesis of diabetic cardiomyopathy is not fully elucidated. Numerous factors may contribute to the development of heart failure in a diabetic context, including the scarcity of microvasculature and neurohumoral dysregulation. We have previously shown that a modest increase of intracardiac aldosterone prevents the development of cardiomyopathy in mice with type-I diabetes, possibly through a prevention of cardiac capillary dropout (Messaoudi et al, Faseb J 2009). If the prevention of capillary rarefaction appears to preventing the diabetic heart, another promising therapeutic approach is physical rehabilitation. Indeed, exercise has a beneficial effect on diabetic cardiopathy in humans and in experimental models. Thus the aim of the study is to determine whether angiogenesis induced by aldosterone in heart of type-2 diabetes (T2D) can face with the energy demand by physical training and molecular mechanisms brought into play.

Methods: For this purpose, WT mice and overexpressing cardiac aldosterone (AS), 3 weeks-old are diabetic by fed high fat high sucrose diet. After 4 months of diet, these mice T2D and controls are subject to 2 months (3 sessions/week) physical exercise (E) on a treadmill equivalent to moderate exercise.

Results: The (E) leads to cardiac hypertrophy in AS-T2D-E mice (+15%,p <0.01 vs AS-T2D) while improving the basic parameters of WT mice, T2D-E (decreased body weight -15% vs. WT-T2D, -15% of glucose tolerance and -50% insulin resistance). In addition, the (E) reveals a defect in AS mice (T2D or not). Indeed, the cumulative distance traveled by AS mice with or without T2D is lower than WT mice (p<0.01). More significant mortality was observed in AS mice (T2D or not) subject to the (E), in contrast to WT mice. Taken together, these results demonstrate that the AS mice, unfit to PE, develops pathological cardiac hypertrophy. To validate the concept of pathological cardiac hypertrophy in mice AS-T2D-E, we analyzed the level of phosphorylation of AKT. In contrast to the responses observed in the basal state, the (E) does not phosphorylate and thus activate AKT in mice AS-T2D-E(NS vs AS-T2D), signing the absence of activation of physiological cardiac hypertrophy.

Conclusion: These results demonstrate a deleterious effect of hyperaldost ronist cardiac response to exercise, independantly of the diabetic context, highlighting the microangiogenesis observed in mice AS-T2D does not prevent or hability to (E) or mortality of animals. This suggests that the proangingeric effect of hyperaldosteronism associated with T2D heart is not enough to ope with this overload cardiac output related to the exercise.

Keywords : Cœur

Vendredi 20 décembre 2013 de 10h00 à 10h30

SESSION MEILLEURS POSTERS 4

P04-28 Expérience lyo

Expérience lyonnaise de la dénervation rénale Renal denervation: first experience in Lyon

<u>P.-Y. COURAND</u> (1,4), R. DAUPHIN (1), O. ROUVIERE (2), J. FAUVEL (3,4), G. BRICCA (4), P. LANTELME (1,4)

(1) Service De Cardiologie, Hôpital De La Croix-Rousse, Hospices Civils De Lyon, Lyon,

(2) Service De Radiologie, Hôpital Edouard Herriot, Hospices Civils De Lyon, Lyon,

(3) Service De Néphrologie, Hôpital Edouard Herriot, Hospices Civils De Lyon, Lyon,

(4) Génomique Fonctionnelle De L' Hypertension Ar Frielle, Ucbl, Villeurbanne, Hôpital Nord-Ouest, Villefranche-Sur-Saône, Lyon, France

Introduction : La dénervation rénale est une ouveile technique interventionnelle indiquée chez les patients présentant one 1 "TA l'esistante essentielle non contrôlée. Nous rapportons l'expérience du C HU de Lyon.

Patients: Sur une période d'un n, 14 patients (9 hommes/5 femmes) ont été traités par une procédure de dénerva on rémile. L'âge moyen était de 56,5 ± 11,5 ans, le BMI de 32,5 ± 5,4 kg/m² · · · h M NPA des 24 heures de 157 ± 16/87 ± 13 mmHg avec en moyenne 4,2 = 15 traitements anti-hypertenseurs. 5 patients étaient diabétiques et 5 éta int en prévention secondaire. Les valeurs du MDRD, de la microalbuminurie de la VOP, et du NT-proBNP étaient respectivement en moyenne de 80 ml/n; n, 603 mg/24 h, 11 m/s et 259 pg/mL.

Résultat : 10 procédures ont été réalisées avec le cathéter Simplicity® 4 avec le cathéter EnligHTN®. Nous n'avons pas observé de complications péri ou postopératoire. Après un suivi médian de 3 mois et un nombre de traitement antihypertenseur stable (N = 4,2 \pm 1,2), la baisse de pression artérielle (PA) obtenue est en consultation en moyenne de 19,6 ± 16,7 (p = 0,027) pour la PA systolique et de 10 ± 4,1 mmHg (p = 0,092) pour la PA diastolique à 1 mois (N = 14). Pour les 6 par ents dont le suivi est supérieur à 3 mois, la baisse de PA obtenue sur la MAPA est 17.5 ± 14.9 (p = 0.027) pour la systolique et 10.5 ± 9.6 (p = 0.029) pour la diastolique. 5 des 6 patients ont une MAPA des 24 heures contrôlée < 130/80 mmHg. 2 patients ont présenté une réponse majeure à la procédure nécessitant une diminution de leur traitement antihypertenseur (2 et 3 traitements respectivement). 2 autres patients ont présenté une réponse avec un gain de plus de 10 mmHg sur la PA systolique de la MAPA. Les 2 derniers patients n'ont pas répondu à la procédure de dénervation en termes de PA. Pour les 4 patients suivis à 6 mois, nous observons une diminution des signes d'hypertrophie ventriculaire gauche électrique : diminution de l'onde R en aVL de 5 ± 3 mm (p = 0,063), de l'index de Cornell de 13 ± 4 mm (p = 0,011) et de son produit de 1737 \pm 1 132 (p = 0,052).

Conclusion: Nos résultats sont accords avec les données observées dans les autres centres. La réponse manométrique est significative, mais la variation interindividuelle est importante. La sécurité à court terme de la technique est acceptable.

Keywords: Système Nerveux Autonome

P04-29 Expression de QSOX1 dans un modèle d'insuffisance cardiaque aiguë liée à l'injection d'isoprotérénol chez la souris
QSOX1 expression in a mice model of acute heart

failure by isoproterenol injection

M. SADOUNE (1), M. MEDDOUR (1), P. BONNIN (2), R. MERVAL (1),

(1) Inserm Umr-S942, Paris, France,

E. POLIDANO (1), A. MEBAZAA (1), J. SAMUEL (1)

(2) Inserm Umr-S965, Paris, France

Le but de l'étude a été d'étayer la valeur de QSOXI, une sulfhydryl oxydase qui existe sous 2 isoformes (QSOXIa et QSOXIb) issues de l'épissage alternatif d'un transcrit primaire, comme biomarqueur de l'insuffisance cardiaque aiguë (ICA). Le modèle d'ICA a été obtenu chez la souris par injection biquotidienne d'Isoprotérénol (ISO) (150 mg/kg/injection) en sous-cutanée, pendant 48 heures (n = 15/groupe). Les souris contrôles (C) ont reçu des injections de Nacl 0,09%. Des groupes de souris ISO ou C ont été traités par injection intrapéritonéale d'oligonucléotides antisens (AOs) ciblant QSOXI.

La fonction myocardique a été étudiée par échocardiographie (fraction de raccourcissement, débit cardiaque, analyse des paramètres anatomiques). L'expression cardiaque de QSOX1 a été analysée par RT-qPCR, par Western-Blot et par immunofluorescence.

Les signes d'ICA chez les souris ayant reçu de l'Isoprotérénol incluent une diminution de la fraction de raccourcissement (C = $35,0\pm0,4\%$; ISO = $27,2\pm3,3\%$; p < 0,001), une hypertrophie ventriculaire gauche (C = $4,42\pm0,2$ mg/g ; ISO = $5,34\pm0,3$ mg/g; p < 0,001) et une congestion pulmonaire évaluée par le rapport poids poumon/poids de l'animal (C = $5,24\pm0,08$ mg/g; ISO = $6,10\pm0,22$ mg/g; p < 0,001). Une induction cardiaque de QSOX1 est observée dans le cœur des souris ICA (x2,1, p < 0,01 au niveau ARNm) en parallèle à celle de BNP (x3, p < 0,01). En immunofluorescence, l'expression de QSOX1 est détectée dans les cardiomyocytes et des cellules non musculaires. Le traitement par AOs diminue peu l'expression des ARNm QSOX1 mais diminue l'expression de l'isoforme QSOX1a (p < 0,05) et des formes QSOX1a et QSOX1b en immunofluorescence. En outre le traitement par AOs aggrave les signes d'ICA chez les souris ISO (augmentation de la congestion pulmonaire p < 0,05).

En conclusion, nos données suggèrent que QSOX1 est non seulement un biomarqueur de l'ICA mais il est aussi impliqué dans son développement.

Keywords : Cœur

P04-30

Facteurs de risque cardiovasculaire au cours de la maladie de Behçet: etude de 74 cas Cardiovascular risk factors in Behçet's disease: study of 74 patients

S. ALI-GUECHI (1), N. MENTRI (1), S. BOUGHANDJIO' A (1) H. AYED (1), S. MOUMANI (1), N. BOUKHRIS (1), D. ROULA 2), A. CHELGHOUM (1)

(1) Faculté De Médecine/Service De Médecine Interne- CH Ulbn Richd, Annaba, Algeria. (2) Faculté De Médecine/Service De Médecine Interne CHU un Sadis, Constantine, Algeria

Introduction: Les complications cardiovo culair s sont une cause importante de morbi-mortalité dans le lupus érothém teus disséminé et la polyarthrite rhumatoïde, possiblement du fait d'processu inflammatoire, des traitements ou de l'auto-immunité elle-ne e. L. ma adie de Behçet est une vascularite inflammatoire chronique mais d'origine non auto-immune et peu d'études lui ont été consacrées dans le doma ne le la majoration du risque cardiovasculaire.

Patients et méthode : Afin d'éc luer le niveau de ce risque, nous avons recherché, de manière prospective, les racteurs de risque cardiovasculaire (FDRCV) traditionnels et spécifiques chez 74 patients (52 hommes et 22 femmes d'âge moyen: 45,77 ans ± 1,34) atteints de cette maladie, traités et suivis dans une consultation de médecine interne. Tous nos patients répondaient aux critères diagnostiques de la classification internationale de la maladie de Behçet.

Résultats : Dans notre série, 70 patients avaient au moins 1 FDRCV soit une fréquence de près de 95 % des cas.

Le nombre de FDRCV variait entre 1 et 10 facteurs simultanés chez un même patient : dyslipidémie (55,35 %), sédentarité (32,4 %), HTA (31 %), hyperglycémie (27 %), obésité (16,2 %) et prise de corticoïdes (90,45 %).

Aucune différence significative n'a été constatée entre les 2 sexes, en ce qui concerne : l'âge, l'indice de masse corporelle, les antécédents cardiovasculaires, le tabagisme, l'hypertension artérielle, l'existence d'un diabète, le bilan inflammatoire, le profil lipidique, le syndrome métabolique, la durée d'évolution, la prise de corticoïdes et le niveau de risque cardiovasculaire selon les 2 modèles de Framingham et SCORE. Cependant, une différence statistiquement hautement significative a été observée entre les 2 sexes, en ce qui concerne la sédentarité et la fréquence des facteurs de risque cumulés, les hommes cumulant moins de facteurs de risque que les femmes. Conclusion : L'augmentation des facteurs de risque cardiovasculaire au cours de la maladie de Behçet reste encore controversée et l'établissement d'une relation de causalité entre la maladie et le risque cardiovasculaire observé dans notre courte

série descriptive reste difficile à établir. Nos résultats doivent être vérifiés à travers une étude exhaustive de plus grande envergure.

Keywords: Vaisseaux

P04-31

Hyperaldostéronisme primaire et majoration du risque cardiovasculaire: analyses morphologique et fonctionnelle du ventricule gauche Hyperaldosteronism and cardiovascular risk: morphological and functional analysis of the left ventricular

R. BOULESTREAU, A. CREMER, Y. PAPAIOANNOU, S. YEIM, M. VIRCOULON, P. GOSSE

CHU De Bordeaux, Service D'hypertension Artérielle, Hopital Saint André, Bordeaux, France

Introduction: L'hyperaldostéronisme primaire (HAP) est la cause d'hypertension artérielle secondaire la plus fréquente. Certains travaux rétrospectifs tendent à montrer qu'en l'absence de traitement spécifique de l'HAP, à pression artérielle égale, le risque cardiovasculaire est plus impor ant nez ces patients. Nous avons comparé le retentissement cardiaque app é né se fel ocardiographie de patients avec HAP à des hypertendus essentiels strict ment appariés.

Materiels et méthodes : 30 HAP rouv's (a'ínome de Conn ou hyperplasie bilatérale des surrénales) ont été ap aric à 3.0 HTA essentielles pour l'âge, le sexe, l'indice de masse corporelle et sur ut sur la pression artérielle des 24 h (MAPA). Nous avons comparé l'épaisseur des parois ventriculaires gauches (en parasternal grand axe), la masse ventriculaire gauche indexée, le Strain Longitudinal Global (SLG) et la variation de Integrated BackScatter (IBS) (marqueur de fibrose) entre ces 2 populations.

Résultats : La paroi po. érieure du ventricule gauche et le septum interventriculaire sont significativ eme t plus épais chez les patients porteurs d'HAP (respectivement $11 \pm 4 vs \ 8 \pm 2 \ 1$ m, p = 0,004 et $11 \pm 3 vs \ 9 \pm 3$ mm, p = 0,01). La masse ventriculaire gauche inde. Ée n 'pparaît, cependant, pas significativement différente (55 $\pm 27 \ vs \ 50 \pm 18 \ g/m^2, p > 0,05$), de même que le SLG ($-20 \pm 4 vs \ -18 \pm 2$, p > 0,05) et l'IBS. On no = 0 donc, une tendance à l'hypertrophie ventriculaire gauche concentrique ph. s marq vée dans le groupe HAP.

Conc. 'usion: L'HVG concentrique semble effectivement plus marquée dans l'HAP ma s sans retentissement sur la fonction systolique longitudinale ventriculaire of suche. Nos résultats sont moins significatifs que plusieurs autres études castémoins sans doute en raison d'un effectif faible mais peut être aussi en raison d'un appariement strict sur la PA des 24 h. Ils vont néanmoins dans le même sens, celui d'un risque cardiovasculaire majoré, et donc de l'importance d'un dépistage et d'un traitement spécifique de l'HAP.

Keywords: Hormones

P04-32

La leucoencéphalopathie postérieure réversible ou pres syndrome : à propos de 2 cas Reversible posterior leukoencephalopathy syndrome or PRES syndrome: about 2 cases

F. BOUSSEMA, W. GARBOUJ, Z. AYDI, H. ZOUBEIDI, L. BAILI, B. BEN DHAOU

Hopital Habib Thameur, Tunis, Tunisia

La leucoencéphalopathie postérieure réversible est un syndrome clinicoradiologiquue qui est responsable de manifestations neurologiques peu spécifiques. Le diagnostic est évoqué par l'imagerie par résonance magnétique (IRM) cérébrale. Les lésions sont généralement réversibles après traitement étiologique et contrôle de la pression artérielle (PA). Nous rapportons deux observations de PRES syndrome secondaire une vascularite.

Öbservation 1 : Patient âgé de 54 ans, hypertendu avait présenté un tableau clinique d'hypertension intra crânienne. À l'examen, une PA à 160/90 mmHg, des œdèmes des membres inférieurs. Il avait des lésions cutanées de purpura vasculaire. À la biologie, Il avait un syndrome néphrotique (SN) impur par l'HTA et l'hématurie. Le scanner cérébral avait révélé la présence de quatre lésions iso-denses pariétales et occipitales entourées d'un œdème péri lésionnel évoquant en premier lieu des métastases cérébrales. Le patient a été mis sous corticoïdes à la dose de 1 mg/kg/jour et sous beta bloquants avec une bonne évolution clinique. La ponction biopsie rénale a mis en évidence une glomérulonéphrite proliférative à double membrane avec des thrombi intra capillaires. Le complément était consommé, mais le dosage de la cryoglobulinémie et des ANCA étaient négatifs sous corticoïdes. La sérologie de l'hépatite C était positive. Une IRM a mis en évidence des lésions de PRES qui serait d'à soit à une élévation brutale des chiffres tensionnels soit à une cryoglobulinémie, elle-même secondaire à une hépatite C. Les signes neurologiques ont disparu et l'IRM de contrôle était normale.

Observation 2 : Patiente âgée de 15 ans hospitalisée pour exploration d'une HTA. À l'examen, sa PA était au bras gauche à 170/80 mmHg et 150/60 mmHg au bras droit, avec des pouls diminués aux membres inférieurs et un souffle systolique le long du trajet des artères rénales. À la biologie, il avait un syndrome inflammatoire biologique. L'angio-scanner thoraco-abdomino-pelvien avait

montré un épaississement pariétal circonférentiel et régulier étendu de l'aorte thoracique ascendante et descendante, de l'aorte abdominale sus et sous rénale, ses principales branches avec alternance de sténoses et de dilatation anévrismale. Le diagnostic de maladie de Takayasu compliquée d'une HTA réno-vasculaire a été posé. La patiente a été traitée par corticoïdes à raison de 1 mg/kg/j et pour son HTA par des inhibiteurs calciques et alpha bloquant. À j30 du traitement elle a présenté des crises convulsives généralisées, sans fièvre, la TA à 220/100 mmHghe et l'examen neurologique était normal. L'Angio-IRM cérébrale avait objectivé des aspects radiologiques cadrant bien avec un PRES syndrome. Un traitement de fond de la maladie de Takayasu à base de méthotrexate à la dose de 15 mg/semaine a été instauré et on a ajusté le traitement antihypertenseur. Elle a bénéficié d'une angioplastie des artères rénales par voie radiologique. La PA s'est équilibrée et l'IRM cérébrale de contrôle était sans anomalies. Il faut savoir évoquer le diagnostic de PRES devant toute encéphalopathie aigue, car une prise en charge adaptée et précoce permet de prévenir la survenue de séquelles irréversibles.

Keywords : Vaisseaux

P04-33 La prorénine est associée aux atteintes d'organe cible dans l'hypertension essentielle
Prorenin is associated with target organ damage in essential hypertension

<u>C. BERGE</u> (1), P.-Y. COURAND (1), F. KHETTAB (1), G. BRICCA (3), J. FAUVEL (2), P. LANTELME (1)

- (1) Hospices Civils De Lyon, Hopital De La Croix Rousse, Cardiologie, Lyon, France,
- (2) Hospices Civils De Lyon, Hopital Edouard Herriot, Nephrologie, Lyon, France, (3) Ea4173: Génomique Fonctionnelle De L'Hta Höpital Nord-Ouest, Villefranche Université Claude Bernard Lyon 1, Lyon, France

Contexte : Le récepteur de la prorénine (rPr) est présent dans de nombreux tissus de l'organisme (rein, foie, cœur, cerveau, artère). Sa découverte a remis un coup de projecteur sur la prorénine (Pr) qui est le précurseur inactif de la rénine. La fixation de la Pr au rPr déclenche une activité profibrosante et pro-inflammatoire et active l'enzyme permettant la transformation de l'angiotensinogène en angiotensine I. La Pr est essentiellement sécrétée de manière constitutionnelle par le rein. L'objectif de ce travail était de réévaluer les facteurs associés à la Pr plasmatique, notamment en termes d'atteintes d'organes.

Matériel et méthode : Une analyse rétrospective a été réalisée chez 746 patients hypertendus admis entre avril 1999 et décembre 2012 pour un bilan standardi. É comprenant le dosage de Pr, un ECG et une échographie cardiaque. Les patients ayant eu leurs dosages hormonaux sans traitement neutre ont été exclus (n = 96). Un tété exclus également les patients ayant une forme secondaire ((hyperaldostér ...sme primaire (n = 125), sténose artère rénale (n = 23), phéochromocytome n = 8 néphropathie (n = 3), Cushing (n = 2), GRA (n = 1))

488 patients présentant une HTA essentielle ont été inclus dont voic les principaux résultats : (médiane [25e percentile- 75e percentile])

Tableau 2

Sexe homme % (n)	51,0 % (249)
Diabète % (n)	12,1 % (59)
Âge (ans	51,1 [39,4-60,1]
Pression artérielle systolique (PAS) (m nHg)	148,0 [135,0-163,0]
Pression artérielle diastolique (PAS) (mmHg)	91,0 [82,0-100,0]
Albuminurie > 30 mg/24 h (%)	36,4 %
Micro-albuminurie (mg/l)	6,3 [5,5-19,3]
Pr (pg/ml)	50,3 [33,6-76,0]
Rénine (pg/ml)	4,3 [2,5-7,1]
Aldostérone (pg/ml)	68,5 [39,3-113,9]
Septum interventriculaire échographique (SIV) mm	10 [8-12]
Onde R en aVL (mm)	5,0 [2,0-8,0]
Sokolov (mm)	26,5 [20,3-33,2]
Nt-ProBNP (pg/ml)	72,8 [33,6-144,0]
Cockcroft (ml/min)	94,3 [77,8-118,6]

La moyenne de la Pr est significativement plus élevée chez les diabétiques que chez les non diabétiques (71.6 pg/ml [42,1-97,5] vs 49,1 pg/ml [33,4-74,9] respectivement (p = 0,002)).

Ën analyse univariée, la Pr est corrélée positivement à l'âge (r = 0,12, p = 0,006), à l'onde R en aVL (r = 0,15, p = 0,01), à la rénine (r = 0.41, p < 0,001); et négativement à la PAS (r =-0,13, p = 0,005), et à la PAD (r =-0,27, p = 0,001). Elle n'est pas corrélée aux autres marqueurs de retentissement : clearance de la créatinine, vitesse de l'onde de pouls, Nt ProBNP, septum interventriculaire. En analyse multivariée, la Pr reste corrélée positivement à la l'onde R en aVL (β =0,19, p = 0,002), au diabète (β =0,15, p = 0,02) et négativement à la pression artérielle systolique (β =-0,21, p = 0,001).

Chez le patient non diabétique, la corrélation avec la micro-albuminurie est à la limite de la significativité (r=0,11,p=0,07).

Conclusion: Notre étude est en faveur d'une association entre la Pr et les complications micro et macrovasculaires, indépendamment du niveau tensionnel et du diabète; elle pose la question du rôle propre de la Pr sur la survenue ou l'aggravation de ces atteintes.

Keywords: Hormones

P04-34

Marqueurs pronostiques d'evènements aortiques et cardiovasculaires o es parents opérés d'un syndrome aortique aigu de l'aorte ascendante : l'expérience lilloise de 2005 à 2010

Prognostic n. arkers of aortic and cardiovascular events in patients undergoing surgical treatment for acute act tic syndrome of ascending aorta

F. BOUDGHENE CHRU, Lille, France

Contexte : Le synt ome aortique aigu touchant l'aorte ascendante est une pathologie are vais grave qui constitue une urgence médico-chirurgicale absolue. Le pronostic $\frac{1}{2}$ ce. patients semble essentiellement assombri par les complications intra-hospitalières. Les données spécifiques du pronostic en phase chronique n'ont pa fai. "Objet de nombreuses études. Nous avons donc essayé de dégager les éle vents inédicaux, biologiques ou morphologiques prédictifs d'évènements dans ic sur vextra-hospitalier.

Me hode: Notre étude a porté sur l'ensemble des patients traités chirurgicalement entre 2005 et 2010 au CHRU de Lille pour un premier épisode de syndrome aortique aigu intéressant l'aorte ascendante sortis vivants de l'hôpital. Nous avons recueilli pour ces patients de façon rétrospective l'ensemble des données cliniques, biologiques, morphologiques, thérapeutiques et de holter tensionnel. Le critère de jugement primaire était la survenue d'un évènement aortique (dilatation anévrysmale, nouvelle dissection, malperfusion viscérale chronique) nécessitant un traitement chirurgical ou endovasculaire. Le critère de jugement secondaire était la survenue d'un évènement cardiovasculaire majeur (accident vasculaire cérébral, syndrome coronarien aigu, décès).

Résultats: 74 patients ont été inclus dans notre étude avec un suivi médian de 5 ans et 2 mois. 12 patients présentaient un évènement aortique et 8 patients un évènement cardiovasculaire majeur. Plusieurs facteurs étaient associés de façon statistiquement significative à la survenue d'un évènement aortique : une pathologie du tissu élastique antérieurement connue (p = 0,03), un traitement bétabloquant avant le syndrome aortique aigu (p = 0,04) et une élastopathie de haut grade en analyse anatomopathologique du tissu aortique (p = 0,006). Plusieurs facteurs étaient aussi associés de façon statistiquement significative à la survenue d'un évènement cardiovasculaire majeur : un épanchement péricardique à la sortie (p = 0,04), l'absence d'un traitement par statines (p = 0,01) et une fréquence cardiaque moyenne des 24 h basse (p = 0,05).

Conclusion : Après une phase hospitalière difficile, entachée de nombreuses complications ou décès, les patients opérés d'un syndrome aortique aigu touchant l'aorte ascendante conservent un bon pronostic. L'élastopathie semble un facteur important du pronostic aortique, comme le traitement par statines et antihypertenseur des facteurs essentiels du pronostic cardiovasculaire à long terme. Kewwords : Vaisseaux

P04-35

Performance et rendement du ventricule gauche chez l'hypertendu non compliqué sans hypertrophie ventriculaire gauche : étude échographique par modélisation du couplage ventriculo-aortique Left ventricular performance and efficiency in uncomplicated hypertension. echographic study with modeling of ventricular – aortic coupling

B. BONNET (1), F. JOURDAN (2), G. DU CAILAR (3), P. FESLER (4) (1) Laboratoire De Mécanique Et Génie Civil – Université Montpellier 2, Montpellier, France,

(2) Laboratoire De Mécanique Et Génie Civil – Université Montpellier 2,

Montpellier, France,
(3) Département Médecine Interne Hôpital Lapeyronie CHU Montpellier,
Montpellier, France,
(4) Département Médecine Interne Hôpital Lapeyronie CHU Montpellier,
Montpellier, France,
(5) France

Il est bien démontré qu'en présence d'une hypertrophie ventriculaire gauche (HVG), la performance VG est diminuée chez l'hypertendu (HT). En revanche eu d'informations sont disponibles sur la performance VG chez l'HT sans HVG. L'objectif de ce travail est d'évaluer l'impact d'une HTA modérée et non compliquée (sans HVG) sur la performance et le rendement du VG. L'étude échographique a porté sur 20 sujets normotendus et 10 patients présentant une HTA de découverte récente, jamais traitée et sans HVG. La puissance maximale totale du VG (PmaxVG) est calculée par l'intégrale du produit des contraintes pariétales VG avec le « strain rate » télésystolique (SR) (pris comme index des gradients de vitesse) et rapporté à la masse du VG. Les variations cycliques de l'épaississent pariétal et des vitesses de déplacements (SR) sont mesurés par « échotracking ». La courbe de la PAS centrale est obtenue par tonométrie carotidienne. La puissance d'éjection VG (CPO), l'élastance de sortie du VG (Ees) et d'entrée aortique (Ea) sont calculé par les formules classiques. Le couplage ventriculo-aortique est estimé par Ea/Ees et le transfert d'énergie du VG à l'aorte (rendement) est calculé par le rapport CPO/P max VG. L'âge et la répartition du sexe est la même dans les 2 groupes (NT et HT). La PAS (160 ± 18 vs 119 ± 10 mmHg), la masse VG (99 ± 15 vs 76 ± 12 g/m2) et la VOP (9,7 ± 2 vs 6,9 ± 1 m/s) sont significativement plus élevés (p < 0,01) dans le groupe HT par rapport au groupe NT. Aucun patient ne présente d'HVG. L'augmentation du CPO et de Ea chez l'hypertendu sont compensés par une augmentation du rendement VG (15 \pm 4 vs 12 \pm 3 %, p < 0.02) et de Ees (5,5 \pm 2 vs 4,5 ± 1,5 mmHg/ml) qui sont significativement plus élevés chez l'hypertendu (p < 0.05). Il n'y a pas de différences significatives de Ea/Ees entre les 2 groupes HT et NT. En conclusion, à un stade précoce de l'HTA, la performance du ventricule gauche est adaptée à l'élévation de la postcharge chez les patients sans HVG. Cette adaptation pourrait être liée à une augmentation de la contractilité ventriculaire gauche.

Keywords : Cœur

P04-36 Rôle du thrombus dans la résistance à la rupture d'un A A A

Role of thrombus in the rupture strengh of an aortic arterial aneurysm

D. DJELLOULI (1), A. BOUARICHA (1), K. GHENNAM (2), N. ZEGHIB (1), M. ZIDI (3)

- (1) Universite Badji Mokhtar, dept.Genie Mécanique, Annaba, Algeria,
- (2) Université 20 Aout De Skikda, Skikda, Algeria
- (3) Universite Paris-Est-Creteil, Créteil, France,
- (4) France

Deux types de risque de rupture sont actuellement adoptés cliniquement : le diamètre transversal de l'anévrisme aortique abdominal (AAA) et son évolution annuelle. Si un anévrisme atteint 5,5 cm de diamètre ou augmente de plus de 1 cm par année, les cliniciens qualifient cet anévrisme de vulnérable avec une probabilité de rupture significative qui nécessite une intervention réparatrice. Cependant, plusieurs études cliniques ont rapporté que beaucoup de cas de rupture d'anévrismes aortiques ont été observés avec un diamètre relativement inférieur alors que d'autres anévrismes ont résisté à la rupture bien que leur diamètres ont dépassé la valeur ultime. Les critères cliniques de 1 pture d'anévrisme Aortique Abdominal ne font aucune mention de la prése re det rombus intraluminal (ILT) et son rôle dans la fixation des valeurs critiques par les chirurgiens.

Le but de cette étude était donc de moi trer l'effet de la présence du thrombus intraluminal (ILT) est son effet sur la capaci é de la paroi de l'anévrisme artérielle à résister à la pression artérielle.

Pour ce but, une maquette nu néri, ue été créée sur la base d'une idéalisation géométrique à 3D moyennant a l'érents modèles géométriques réels d'anévrismes aortiques abdominaux. La maquette comprend deux variantes non symétriques ; la première sans the onbes et la seconde avec thrombus. Une analyse par éléments finis est effectuée, uni vant un modèle de comportement hyperélastique anisotrope (selon Holzapf L) et la proi de l'artère et un modèle de comportement élastique isotrope, our l'thron bus.

Le résultats des imulations numériques effectuées montrent clairement que la présence d'un brombus plus ou moins rigide permet un bouclier de protection de la proi de l'anévrisme et réduit l'intensité du champ de contraintes pariétales ci confét ntielles.

En conclusion de cette étude, on peut dire que, Hormis les effets de la présence du 'thrombus sur l'échange entre le biologique de la paroi de l'anévrisme et le flux sar guin, il permet 'augmenter relativement la résistance à la rupture de l'anévrisme aortique abdominale.

Keywords : Vaisseaux



Elsevier Masson France /Ilconsulte www.em-consulte.com



http://france.elsevier.com/direct/ANCAAN

Annales de cardiologie et d'Angéiologie 62 (2013) 33-65

33^{es} Journées de l'Hypertension Artérielle 7th International Meeting of the French Society of Hypertension

Posters affichés

CLINIQUE

P0-37

Apport du score CHA2DS2-VASC dans la prédiction de survenue des accidents vasculaires cérébraux ischémiques Contribution of CHA2DS2-VASC score in predicting strokes

L. ZAKHAMA, B. HERBEGUE, I. SLAMA, M. MIMOUNI, E. BOUSSABAH, M. THAMEUR, S. BENYOUSSEF

Service De Cardiologie. Hôpital Des Fsi., La Marsa, Tunisia

Introduction: La fibrillation atriale (FA) est l'arythmie soutenue la plus fréquente. Sa survenue est associée à un risque accru d'accidents thromboemboliques, d'insuffisance cardiaque et de décès. Le traitement antithrombotique guidé par le score CHA2DS2-VASc semble diminuer la mortalité liée à la FA

Objectif: Chercher une liaison corrélation entre le score CHA2DS2-VASc et le risque de survenue d'AVC.

Méthodes : 122 patients ont été hospitalisés dans notre service pour prise en charge d'une FA. Le score CHA2DS2-VASc a été évalué à l'admission. Un suivi régulier a été assuré en rapportant la survenue de complications thromboemboliques avec un recul de médian de 6 mois (extrêmes : 1-72 mois). Nous avons étudié la sur vie sans AVC par la méthode de Kaplan Meier, comparé les courbes de survie par le cest du Log rank et calculé le risque relatif associé à l'exposition à un score CHA2DS2-VASc = 4 par la régression de Cox. Le seuil de signification statistique a été fixé

Résultats: L'âge médian de nos patients était 61 ans (extrême: 24-90 ans), avec un sex ratio de 1,7. Vingt-neuf pour cent des patients étaier ten l'Achronique, 18 % en FA persistante et 53 % avaient une FA paroxystique. La répart tion selon l'étiologie était la suivante : 13 % des patients avaient une FA valvulaire et 87 % une FA non valvulaire dont 34 % sur cœur sain et 26 % sur cardiopathie hypertensive. Le pourcentage des patients qui avaient un score CHA 2DS2-VASc à 0, 1, 3 et 4 était respectivement de 24,6 %, 19,7 %, 18,0 %, 13,9 %, 14,8 % et 9,0 %. Soixante-huit pour cent (68 %) des patients ont été inis sous traitement anticoagulant (AVK) et 29 % sous aspirine.

Cinq pour cent (n = 6) de patie ets ont présenté un AVC au cours du suivi, la survie sans AVC à 72 mois était de 91 %. La survie sans AVC ne différait pas significativement entre les patients ayant des scores de 0, 1, 2 et 3. Par contre, les patients qui avaient un score CF A2DS2-VASc ≥ 4 avaient une survie sans AVC significativement (p = 0,0001) plus basse que ceux qui avaient un score < 4. Le risque d'AVC chez les premiers était multiplié par 12,4 fois par rapport aux seconds (IC 95 % [2,5-618]). La probabilité cumulée de survie sans AVC était de 96 % pour un score de CHA2DS2-VASc < 4 contre 44 % pour un score de CHA2DS2-

Conclusion : Un score CHA2DS2-VASc = 4 paraît significativement associé à la survenue d'AVC chez les patients en FA.

Keywords: Autre

P0-38 Dysfonction artérielle chez le diabétique de type 2 Arterial dysfunction in type 2 diabetic

N. OMARI (1), F. BENHEBRI (2), Z. AHEMANE (3), E. KOCEIR (4), Z. SELLAL (5)

- (1) Faculté Des Sciences Biologique, Alger, Algeria,
- (2) Hôpital Central De L Armée, Alger, Algeria,
 (3) Hôpital Central De L Armée, Alger, Algeria,
- (4) Faculté Des Sciences Biologique, Alger, Algeria,
- (5) Hôpital Central De L Armée, Alger, Algeria

Dans les pays développés l'incidence des décès par cardiopathies ischémiques a augmenté considérablement et atteint plus de 4 millions de décès par an par accidents vasculaires cérébraux (AVC). L'is hémie carotidienne est un marqueur de risque complémentaire des traditionnels facteurs de risques cardiovasculaires. Au cours de ce travail, nous avons réalisé un étude prospective sur un échantillon de 50 patients adultes, connus et su vis pour un diabète de type 2. L'intérêt principal de cette investigation a porté sur l'analyse de certaines approches cliniques, biologiques évolutives et physio athologiques de l'épaisseur intima-média (EIM) en corrélation avec les é véne ments cardiovasculaires chez ces patients. L'analyse des résultats par le cest de Khi2 permet de retenir les variables les plus significatives (p < 0.05).

Nos résultats as fichent, chez la population de notre étude, un parallélisme étroit entre les taux de l'ost plasmatique et la sévérité de l'HTA. En effet, sur le plan étiop thologique, nous observons une augmentation de l'EIM (>0,75 mm) aussi bien chez l'homme que chez la femme (P = 0,021), une EIM plus élevée chez les hypertendus par rapport aux patients normotendus (P = 0,03). Nos patients d'abétiques, (46 %) ont développé des artériopathies oblitérantes des membres inferieurs, (36 %) une insuffisance coronaire, (18 %) un accident vasculaire cerébral et (6 %) un infarctus du myocarde. De plus, parmi les 70 % de fumeurs, 52 % représentent des valeurs élevées de l'EIM, (P = 0,033) par rapport aux nonfumeurs. Signalons que le bilan lipidique de ces patients est normal car ils sont sous statines dans le cadre d'une prévention primaire.

Il ressort de cette étude que l'épaississement de l'intima média de l'artère carotide, chez nos patients diabétiques est bien corrélé aux facteurs de risques classique d'athérosclérose, d'une part, à la présence de lésions athéroscléroses au niveau d'autres sites artériels, d'autre part, et aussi à la prévalence des maladies cardiovasculaires. Notons, que le tabac peut être aussi un facteur aggravant et modifiant l'EIM chez les patients diabétiques.

Keywords: Vaisseaux

P0-39

Efficacité sur la pression artérielle d'une deuxième dénervation rénale chez l'hypertendu non normalisé un an après une dénervation par méthode simplicity[®]

Efficiency of a «redo» denervation in a resistant hypertensive patient with a partial response to a first procedure using symplicity® catheter

X. GIRERD (1), D. ROSENBAUM (1), G. MONTALESCOT (1), P. CLUZEL (2)

(1) Pôle Coeur Métabolisme, Groupe Hospitalier Pitié-Salpêtrière, Paris, France, (2) Imagerie Vasculaire, Groupe Hospitalier Pitié-Salpêtrière, Paris, France

Objectif : Évaluer l'efficacité d'une deuxième dénervation rénale lorsque l'hypertension n'est pas normalisée un an après une première dénervation.

Méthode : Une femme de 49 ans, ayant une HTA résistante aux traitements antihypertenseurs (six antihypertenseurs incluant la spironolactone) a été soumis à la procédure de dénervation rénale selon la méthode Simplicity® (Medtronic) utilisant la radiofréquence. L'indication a été retenue selon les critères du consensus SFHTA 2012. La procédure a comporté 5 tirs jugés efficaces sur l'artère rénale droite et 4 sur l'artère rénale gauche. L'efficacité a été évaluée par MAPA à 3 mois sans modification des traitements sur la période de suivi. Après 12 mois de suivi, aucune sténose ni lésion pariétale n'était observé aux sites de tirs de dénervation sur l'angiographie. La MAPA à 12 mois ne montrant pas la normalisation de la PA, une deuxième procédure de dénervation rénale selon la méthode Paradise® (ReCorMedical) basée sur les ultrasons a été réalisée 13 mois après la première dénervation. La procédure a comporté 2 tirs sur chaque artère rénale (site distal et médian). L'efficacité a été évaluée par MAPA à 3 mois.

Résultats : Les valeurs de la PAS/PAD (moyennes sur 24 heures) obtenues par MAPA sont détaillées dans le tableau.

Table 1

	Simplicity®	Paradise®
Baseline PAS/PAD (mmHg)	180/121	155/108
3 mois PAS/PAD (mmHg)	165-112	107/72
Variation PAS/PAD (mmHg)	- 15/-9	- 48/-36

Avec la méthode Simplicity @, la baisse de PAS/PAD sur 24 heures est de -15/9 mmHg après 3 mois et de -25/-13 mmHg après 12 mois. Avec la méthode Paradise@ la baisse après 3 mois est de -48/-36 mmHg qui permet d'observer la normalisation de la PA.

Conclusion: Si la baisse de la PA obtenue après une première dénervation rénale ne permet pas la normalisation de la tension sur la MAPA, une deuxième dénervation peut conduire à observer une baisse supplémentaire de la PAS/PAD permettant la normalisation de la PA sur 24 heures. L'observation que la méthode Paradise® basée sur les ultrasons est plus efficace sur la PA que la méthode Simplicity® basée sur la radiofréquence suggère que toutes les méthodes de dénervation rénale ne sont pas équivalentes. Des évaluations indépendantes et comparatives des différents matériels utilisés pour la dénervation rénale sont à réaliser.

Keywords: Autre

P0-40

Étude de la fonction longitudinale par le 2D strain chez une série de 20 sujets hypertendus à FEVG préservée

Study of longitudinal function by 2D strain in a series of 20 hypertensive subjects with preserved LVEE

N. SOUFI, A. MEZIANE

CHU Tlemcen, Tlemcen, Algeria

Introduction: L'HTA est responsable de nombreux remaniements structu · Is myocardiques avec une fibrose conduisant à l'hypertrophie ventriculaire g uche et à l'altération progressive dans le temps des fonctions systolodiastoli ues d'uventricule gauche. Ainsi la cardiopathie hypertensive est une complica ion de l'HTA non contrôlée et représente la première cause de décès due à l'I TA, elle peut être à l'origine d'insuffisance cardiaque congestive, d'ary l'mi se car naques, d'infarctus du myocarde, d'accident vasculaire cérébral et de leces.

Récemment, le développement de l'imagerie par le (2D) strait a facilité la mesure simple et indépendante des paramètres de défarm tion VG dans le sens longitudinal, circonférentiel et radial.

Matériels et méthodes : Ce travail consiste à réalis r che sur e série de 20 patients hypertendus une étude échocardiographique com lète, incluant la FEVG par méthode de Simpson biplan, le calcul de la mass ventriculaire gauche indexée ainsi que l'épaisseur relative pariétale afin dufff rencier l'HVG excentrique et concentrique, l'analyse de la fonction fasts lique et enfin l'étude de la déformation longitudinale du VG par la terbique du si sekle tracking (calcul du GLS), afin de rechercher une éventuelle baisse du GLS et d'établir une éventuelle corrélation entre cette baisse et l'HVG, de rouvoir ainsi faire le diagnostic d'une cardiopathie hypertensive infra clinique.

Conclusion: En conclusion, L'éva luation de la fonction systolique longitudinale par 2D strain donne un nouvel aperçu de la fonction myocardique dans l'hypertension artérielle qui pourrait améliorer la compréhension physiopathologique et identifier les patients à haut risque d'insuffisance cardiaque pouvant bénéficier de stratégies préventives.

Keywords: Imagerie

P0-41

H3C l'hypertension de nos patients: connaissance, contrôle, comorbidité. Évaluer dans une population d'hypertendus traités son niveau de connaissance, son niveau de contrôle tensionnel et ses comorbidités. Étude observationnelle, prospective H3C hypertension of our patients: knowledge, control, comorbidity. To assess the knowledge, blood pressure control and comorbidities levels of a hypertensive population. Observational prospective study

F. CHANTREL, M. DUBAU, D. BABICI, R. FICKL, Z. TAKLA, C. PREISSIG-DIRRHOLD, R. BUCURA, A. SISSOKO, M. COLIBAN Service De Néphrologie, Hôpital Émile Muller, Mulhouse, France Introduction: L'Alsace présente une surmortalité cardio-vasculaire, établie par l'étude MONICA, par rapport à d'autres régions françaises. Parallèlement, l'incidence et la prévalence des patients porteurs d'une insuffisance rénale terminale est aussi supérieure à la moyenne nationale. L'incidence et la prévalence de l'HTA, du diabète et de l'obésité constituent probablement des éléments explicatifs.

La connaissance de sa maladie et des objectifs d'un traitement constituent un élément important dans la prise en charge des patients hypertendus. Des études ont montré que le niveau de connaissance de la maladie hypertensive et des cibles thérapeutiques était corrélé à la compliance thérapeutique et au niveau de contrôle tensionnel.

Les démarches d'éducation thérapeutique, la participation des acteurs non médicaux (IDE, Pharmaciens...) à cette prise en charge est susceptible d'améliorer la prise en charge et la compliance thérapeutique de ces patients.

L'objectif principal de cette étude observationnelle est d'évaluer dans une population d'hypertendus traités le niveau de connaissance des objectifs du traitement antihypertenseurs

Les objectifs secondaires sont : le niveau de connaissance de leur maladie ; des comorbidités ; évaluer le % de contrôle de l'HTA ; évaluer l'impact des connaissances sur le contrôle de la PA.

Méthodologie de l'essai : Étude observationne le, i ospective, chez des patients hypertendus traités se déplaçant spontané ment à l'eur harmacie pour se procurer leurs médicaments habituels, dont au moins un médicament de la classe des antihypertenseurs. Ceux-ci sont inv. és à épondre à un questionnaire et a effectué une automesure tensionnelle.

Le questionnaire comporte le rec eil de Jonnées morpho métrique et générale de la population (sexe, âge, 10 ids, 13 ill.) le niveau de PA considérée comme normale par le patient, la note o d'utilisation d'un auto-tensiomètre, Le niveau d'études, le tabagisme et a co som, nation d'alcool. La connaissance du traitement médicamenteux provies l'étre tes classes thérapeutiques utilisées ; la connaissance des conséquences vas, plaire de l'HTA par le patient, sa connaissance et le respect des conseils hys en die (ques, sa connaissance de la présence d'un diabète et/ou d'une atteinte énale ssociée et enfin son niveau de l'observance (questionnaire Girerd X. et al).

Une mesure de la PA selon MAM est effectuée lors du l'étude

Résul sts: La durée totale de l'étude sera de 3 mois juin 2013 sept 2013, au jour de la sou vission de l'abstract 306 patients sur les 385 patients nécessaires à l'étude ont épondus au questionnaire et ont bénéficié d'une mesure de PA selon MAM (N'croiffe), ceci à partir de 11 Pharmacies de ville situées dans le Haut-Rhin. Le nsemble des résultats sera disponible et analysée fin Octobre 2013.

Conclusion: Cette première enquête régionale montre en attendant son exploitation la faisabilité et le rôle potentiel des Pharmaciens dans l'amélioration de la prise en charge des patients hypertendus.

Keywords: Mesure De La T.A.

P0-42 Hypertension artérielle intra-dialytique Intradialytic hypertension

<u>I. GORSANE,</u> J. MEDDEB, B. MANJOU, H. GAIED, F. YOUNSI, A. KHEDER

Hôpital Charles Nicolle, Tunis, Tunisia

Introduction : L'hypertension artérielle intra-dialytique (HID) est définie par une augmentation de la pression artérielle moyenne supérieure à 15 mmHg durant ou immédiatement après la séance de dialyse et la répétition de ce phénomène durant plusieurs séances de dialyse. En fonction des études et de la définition utilisée, sa prévalence est estimée entre 5 et 15 %.

Une meilleure connaissance de l'évolution des principaux paramètres hémodynamiques au cours de la séance d'hémodialyse est nécessaire à la compréhension de ce phénomène.

Patients et méthodes: Une étude prospective monocentrique a été menée sur 60 patients hémodialysés chroniques à raison de 3 séances d'hémodialyse par semaine. Ont été mesurés au cours de la séance d'hémodialyse à H1 H2, H3 et H4 la pression artérielle systolique, la pression artérielle diastolique et la fréquence cardiaque. Le poids est mesuré à l'entrée et à la sortie de la séance

Résultats: Il s'agit de 8 patients (13 %): 6 hommes et 2 femmes, tous hémodialysés chroniques depuis plus de 3 mois. L'âge moyen est de 61 ans avec des extrêmes allant de 22 et 72 ans. La néphropathie initiale était vasculaire chez 4 patients, diabétique chez 3 patients et glomérulaire secondaire à une vascularite chez 1 patient. Tous les patients sont anuriques avec une prise de poids interdialytique de 2 kg en moyenne. L'albuminémie moyenne est de 29 g. Le nombre de médicaments antihypertenseurs étaient de 2 chez 4 patients, 3 chez 3 patients et 4 antihypertenseurs chez un patient. Tous les patients étaient sous IEC/ARA2. Un seul patient était sous agent stimulent de l'érythropoièse. La fréquence cardiaque en fin de dialyse n'était pas plus élevée par rapport au début de la séance. L'ascension de la PA postdialyse par rapport à la PA prédialyse était de 20 mmHg en moyenne.

Conclusion: L'HID est fréquente et a un rôle pronostique péjoratif.

Les mesures préventives de l'HID pourraient être un régime pauvre en sel, une dialyse isonatrique, la diminution du poids sec mais avec une vigilance particulière

Chez les patients âgés et/ou dénutris, l'arrêt des anti-hypertenseurs en cas d'hypotension symptomatique per-dialytique, la proposition d'une dialyse quotidienne ou d'une dialyse longue.

Keywords: Autre

P0-43

Insuffisance cardiaque hypertensive a fonction systolique préservée suivie a l'Institut de cardiologie d'Abidian

Hypertensive heart failure with preserved ejection fraction followed at the Institute of cardiology of Abidjan

<u>D. BAMBA-KAMAGATÉ</u>, I. COULIBALY, I. SOYA, F. KOFFI, M. TANOH, M. SOW-TOURE, P. OUATTARA

Institut De Cardiologie D'Abidjan, Abidjan, Ivory Coast

Introduction: L'atteinte cardiaque notamment l'insuffisance cardiaque est la principale complication cardiaque de l'HTA aggravant le pronostic de cette affection dans notre service. L'objectif est d'analyser les profils épidémiologique, clinique, et évolutive des patients hypertendus présentant une insuffisance cardiaque à fraction systolique préservée.

Méthode : il s'agit d'une étude rétrospective réalisée à l'Institut de Cardiologie d'Abidjan sur une période de 5 ans de janvier 2007 à Décembre 2012. Cent cinquante dossiers de patients hospitalisés pour insuffisance cardiaque avec des chiffres de PA supérieure ou égale à 140/90 mmHg, une FEVG supérieure ou égale à 45 % dans les 72 h de l'admission, une altération de la fonction diastolique, ont été retenus.

Résultats : l'âge moyen était de 54,5 \pm 16,4 ans avec une prédominance féminine (58 %). La plupart des patients étaient à leur première décompensation cardiaque (62 %). Les patients avaient été admis pour la majorité dans un tableau d'insuffisance cardiaque globale (64 %). Les facteurs de décompensation étaient par ordre décroissant l'infection (42,7 %), la mauvaise observance (31,3 %), l'écart de régime (18,7 %), la fibrillation auriculaire (7,3 %). La PAS moyenne était de 142,3 \pm 23,4 mmHg et la PAD moyenne de 99 \pm 15,4 mmHg) Les données échocardiographiques ont permis de noter un DTDVG moyen de 55 \pm 2,3 mm, une FEVG moyenne de 62,5 \pm 12,4 %, une HVG concentrique (83,3 %), un profil mitral de type I (trouble de la relaxation) d'Appleton (100 %). Les facteurs de mauvais pronostic retrouvés étaient l'hyponatrémie (23,3 %), l'anémie (16,7 %), l'hypercréatinémie (11,3 %), l'arythmie (16,7 %) et les troubles de la conduction (QRS > 120 ms (3,3 %). La durée moyenne de séjour était de 5 jours (extrêmes) à 21 jours). La mortalité hospitalière était de 10,7 %.

Conclusion : La fréquence de l'insuffisance cardiaque hypertensive à onctio systolique préservée est relativement moins élevée mais reste grave. Îlle trei a surtout les femmes avec une HVG concentrique.

Mots-clés : Hypertension artérielle ; Insuffisance cardiaque Ép lémi logie ; Clinique : Propostic

 $Keywords: {\rm Autre}$

P0-44

L'hypertension artérielle a l'Institu de cardiologie d'Abidjan: revue

Arterial hypertension at u e institute of cardiology of Abidjan: a review

 $\underline{\mathsf{D}}.$ BAMBA-KAMAGATÉ, F. TRAOF É, A. FKOU R. N'GUETTA, I. COULIBALY

Institut De Cardiologie D'abidjan, Abidjan, Ivory Coast

L'hypertension artérielle (H l'A) constitue le premier motif de consultation à l'institut de cardiologie d'Al idjan. De nombreuses mutations intervenues dans la société ivoirienne ont favorisé une augmentation de sa prévalence et ses

complications. L'objectif est de faire la synthèse au plan épidémiologique clinique, thérapeutique et évolutif de cette affection dans notre service.

Nous avons réalisé une recherche des articles publiés dans des revues à comité de lecture nationales et internationales sur l'hypertension artérielle entre 1976 et juillet 2013. Nous avons compilé les données épidémiologiques cliniques, thérapeutiques et évolutives de l'HTA.

En 1974, l'HTA représentait 13,7 % des pathologies cardiovasculaires. Elle représente à ce jour 61,7 % des motifs de consultation et est essentielle dans 95,5 % des cas. L'âge moyen est de 54 ± 13 ans avec une prédominance masculine (52,7 %). La catégorie socioprofessionnelle à faible revenue représentait 57,5 % des patients.

Les patients ont une HTA ancienne d'au moins un an dans 58,1 % des cas et un facteur de risque associé dans 65,5 % des cas. A leur première visite, 74,4 % des patients avaient une HTA sévère au stade II de la Joint National Comitee VII, 19,9 % étaient au stade I. Dans 51,5 % des cas les patients ont une HTA compliquée avec une prédominance masculine. Les complications cardiaques sont les plus fréquentes (45,9 %). Les autres complications viscérales sont les AVC (5,9 %), les néphropathies (6 %) et la rétinopathie hypertensive (24,3 %). Une atteinte polyviscérale est notée chez 8,7 % des patients.

Chez 7 % des patients un régime hygiéno-diétét que exclusif est prescrit tandis que 93 % des patients bénéficient en plus d'une pre cription médicamenteuse. Plus de la moitié des patients (67 %) reçoivent en premier intention une association de médicaments antihypertenseurs. La bithe apie (ave est la plus proposée aux patients suivie de la monothérapie.

Le délai moyen de normalisation les chi Tes tensionnels est de $1,12\pm0,52$ mois (extrêmes : 2 semaines et 7 moi). Le lout i de de l'HTA est obtenu chez 42,3 % des patients. Il est plus important chez les femmes (57,1 %, p = 0,0003) et les patients sous monothérapie (49,3 %). Jes lacteurs de mauvaise observance sont identifiés. Le taux de décès in puté l'HTA est de 13,4 %.

L'HTA à l'institut de cardiologie d'Abidjan demeure sévère. Une éducation thérapeutique d'un 'tre n'is en place de même que l'amélioration de la politique de médican ent a noind, coût pour réduire la morbi-mortalité liée à cette affection. **Keywords**: \u00e4ut.

P0-45

La fréquence des « non dipper » est plus marquée chez les hypertendus diabétiques par rapport aux hypertendus non diabétiques The frequency of non-dippers is higher in hypertensive subjects with diabetes than in hypertensive subjects without diabetes

A. LOUNICI, R. DERGUINE, K. LEHACHI, N. BENMAOUCHE, A. BOUHENICHE, N. MAYANA, M. CHAHI

Service De Médecine Interne, Hôpital Salim Zemirli, Alger, Algeria

Background : Les patients hypertendus « non dipper » durant le sommeil, ont un risque d'événements cardio-vasculaire plus élevé.

Objectif : Evaluation du fléchissement de la pression artérielle systolique (PAS) pendant le sommeil chez les hypertendus diabétiques.

Méthodes: Enquête prospective incluant les diabétiques de type 2 avec hypertension et un groupe de référence de patients hypertendus non diabétiques. La mesure ambulatoire de la pression artérielle a été réalisée sur 24 heures par appareil validé. Les pressions artérielles pendant l'éveil (minimum 14) et le sommeil (minimum 7) ont été enregistrées. Le fléchissement tensionnel est défini par une baisse d'au moins 10 % de la PAS moyenne enregistrée pendant l'éveil par rapport à la PAS moyenne enregistrée pendant le sommeil. Les patients qui ne font pas de fléchissement de pression artérielle durant le sommeil définis « non dipper » en opposition aux sujets normaux qualifiés de « dipper ».

Résultats : L'analyse a porté sur 41 diabétiques hypertendus et 23 hypertendus non diabétiques. Les mesures enregistrées montrent des moyennes suivantes en mmHg.

Tableau 2

Catégorie	PAS globale	PAD globale	PAS éveil	PAD éveil	PAS sommeil	PAD sommeil
Hypertendus diabétiques	138	77	141	79	131	67
Hypertendus non diabétiques	137	80	141	85	123	71

La fréquence des « non dipper » est de 66% chez les hypertendus diabétiques, et de 35% chez les hypertendus non diabétiques. La différence est significative entre les deux groupes (p = 0.01).

Conclusion: Les hypertendus diabétiques sont plus fréquemment « non dipper » par rapport aux hypertendus non diabétiques.

Keywords: Mesure TA

P0-46 La maladie des femmes sans pouls, et les hommes

Disease pulseless women and what about men?

<u>F. BOUSSEMA</u> (1), L. BAILI (1), Z. AIDI (1), B. BEN DHAOU (1), L. LAMMOUCHI (2), S. KARMA (3)

- (1) Hôpital Habib Thameur, Tunis, Tunisia.
- (2) Hôpital Régional Khereddine, Tunis, Tunisia,
- (3) Samu, Tunis, Tunisia

L'hypertension artérielle (HTA) est un problème de santé fréquent dont les conséquences peuvent être très graves pour les individus, d'où l'intérêt du diagnostic précoce. Dans 20 % des cas, une cause secondaire est à l'origine de cette HTA. Malheureusement, cette HTA secondaire n'est pas curable dans la majorité des cas et peut se fixer malgré la découverte de sa cause.

À ce propos, nous présentons l'observation d'un patient âgé de 46 ans chez lequel on découvre, à l'âge de 27 ans et suite à des manifestations neurosensorielles, une HTA sévère et résistante aux thérapeutiques usuelles. Les explorations, dans le cadre du bilan étiologique d'une HTA juvénile comportant une échographie abdominale, une urographie intraveineuse et une scintigraphie rénale, ont montré un petit rein droit à fonction effondrée avec hypertrophie compensatrice du rein gauche à fonction conservée.

L'examen somatique était par ailleurs strictement normal. L'echodoppler a montré une thrombose totale du tronc de l'artère rénale droite dont la vascularisation était anurie par le cercle artériel exo rénal. Le bilan de retentissement de l'HTA a trouvé une HVG et une rétinopathie hypertensive.

Il a eu, en 1994, une néphrectomie droite, les suites opératoires ont été marquées par une normalisation des chiffres tensionnels.

En 2008, le patient est ré-hospitalisé pour découverte de chiffres tensionnels élevés avec apparition d'une masse abdominale sous rénale de 5X6 cm partiellement thrombosée. Il a alors bénéficié d'une mise à plat d'un anévrysme aortique avec pontage aorto-bi iliaque. L'examen histologique artériel trouve un aspect de pan artérite compatible avec le diagnostic de maladie de Takayasu. Par ailleurs, le patient n'avait pas du tout une atteinte des troncs supra aortiques. Il a été mis sous B bloquant + inhibiteur calcique avec contrôle des chiffres tensionnels + traitement corticoïdes pour mettre en rémission sa maladie.

En fait, notre patient avait une maladie de Takayasu découverte 14 ans avant par une HTA réno-vasculaire. Cinq ans après, on trouve une stabilité tensionnelle, la maladie de Takayasu étant en rémission ; cette dernière est une pathologie surtout de la femme jeune mais peut se voir aussi chez l'homme qui a plus fréquemment une HTA et une atteinte de l'aorte abdominale alors que la femme fait plus une atteinte des troncs supra aortiques. L'atteinte des artères rénales droite ou gauche se voit chez 67,4 % et 65,1 % comparé à respectivement 36,2 % et 33,3 % chez la femme. L'atteinte de l'arc aortique se voit dans 12 % chez l'homme et vers 20 % chez la femme.

Keywords: Vaisseaux

P0-47

Le syndrome d'apnée du sommeil dans une population d'hypertendus: intérêt de l'échelle de somnolence diurne d'Epworth dans l'app roche diagnostique

Sleep apnea syndrome in a hyperte asive population: interest of Epworth sleepiness scale for the diagnostic approach

C. KONIN, R. N'GUETTA, B. BOKA, A. ADOUE I, I. COL'LIBALY, F. KIMOU, P. OUATTARA, M. TOURE-SOW, M. ADOH

Institut De Cardiologie D'Abidjan, Abidjan, Ivory Coast

Introduction : Le syndrome d'apnée du som peil (S.A.S) est très peu décrit chez l'hypertendu noir Africain

Objectif: Décrire les caractérisa, ues indér iologiques, cliniques, thérapeutiques et évolutives de l'HTA du voir A ricain porteur du S.A.S.

Méthode: Étude rétrospective et prospective à visée descriptive et analytique ayant concerné 200 hypertendus suivis en consultation externe de l'Institut de cardiologie d'Abidjan. Le critère principal étudié était le SAS. L'approche diagnostique du SAS a été effectuée à l'aide de l'échelle de somnolence diurne d'Epworth.

Résultats:

La prévalence de l'apnée du sommeil était de 45 %. L'âge moyen des porteurs d'apnées du sommeil était de 56,1 ans, avec une prédominance du genre masculin (60 %).

Les facteurs déterminants du syndrome d'apnée du sommeil étaient le genre masculin (60 % versus 40 %), l'obésité (77,8 % versus 62,7 %), le diabète (26,7 % versus 15,5 %), la dyslipidémie (54,4 % versus 27,3 %). La vie en agglomération, la profession et le tabagisme n'étaient pas corrélés au S.A.S dans notre série.

Le contrôle de l'HTA a été meilleur chez les non apnéiques par rapport aux apnéiques (63,6 % versus 38,9 % ; P=0,04 %).

Le retentissement viscéral de l'HTA chez les apnéiques a été fortement significatif (77,8 % versus 41,7 %, P = 0,014).

Au plan thérapeutique, il a été constaté la prescription préférentielle de la plurithérapie chez les apnéiques par rapport aux non apnéiques (82,3 % versus 74 4 %)

Conclusion : Le SAS est fréquent chez l'hyperte du Voir africain mais sous-évalué par manque de laboratoire de polysomno raph ?

Keywords : Coeur

P0-48

Orthostatic test in type 2 diabetic patient, casecontrol study

Test orthostatique chez le patient diabétique de type 2 : c.ude cas-témoins

M. EL BAKKALI (1), H. PEN ELLOUN (2), H. RKAIN (1), L. COGHLAN (1), Y. RADJAB (1), L. ER RGUIG (1), S. ABOUDRAR (1), T. DAKKA (1)

(1) Faculté De Médecin Et De Pharmacie, Université Mohammed V-Souissi, Rabat,

MOROCCO (2) Service D. Cardinlogie A, Centre Hospitalier Universitaire Avicenne, Rabat, MOROCCO

Int oduction: Orthostatic Test (OT) is a simple, non invasive and reproducible test which allows the stimulation of the Autonomic Nervous System (ANS) exploration by m. asuring the Blood Pressure (BP) and the Heart Rate (HR) variation during the upright posture. We aimed to describe the OT in diabetic patient and compare it with that of healthy subjects.

Patients and Methods: This cross-sectional case-control study included consecutive 31 diabetic patients suffering from type 2 diabetes without degenerative complications of diabetes wish could interfere with ans (mean age 50.6±10.4 years with extremes ranging from 31 to 75 years; duration of diabetes 72 [36, 132] months, 77% women) and 43 healthy subjects (mean age 50.4±10.9 years with extremes ranging from 33 to 77 years, 67% women). The medical research ethics committee of the faculty of medicine of Rabat approved the study, and all patients involved provided a written consent form before being tested. Each patient completed also a form recording the presence or the absence of functional signs. The two groups were matched for age (p=0.9) and sex (p=0.3). The basal BP and HR were measured at rest in both arms, every 5 minutes during at least 10 minutes. We then, proceeded to OT. We choose to measure HR and orthostatic Systolic BP (SBP) during OT of the rhythm of 3 measurements per minute during 10 minutes. The variations of the orthostatic HR (providing information on adrenergic beta sympathic activity) and orthostatique SBP (providing information on adrenergic alpha sympathic activity) were summarized in Table 3.

Keywords: Systeme Nerveux Autonome

Table 3

Variation	Δ HR=[HR ortho-HI	$R_{SP} / FC_{SP} x 100$		$\Delta SBP=[SBP \text{ orth}]$	o-SBP _{SP}]	
ANS response	Decrease<10%]10%, 17%]	Increase ≥17%	Decrease ≥20 mmHg] 20 mmHg, +10 mmHg]	Increase ≥10 mmHg
Significance	Beta Peripheral Impaired sympathetic Adrenergic	Beta Normal sympathetic Adrenergic response	Beta Peripheral Sympathetic Adrenergic Hyperactivity	Orthostatic hypertension	Alpha Normal Sympathetic Adrenergic response	Beta Peripheral Sympathetic Adrenergic Hyperactivity

The results of the OT were compared between the diabetic patients and the healthy subjects using the Student's t-test for and the X2 teste. P significative if < 0.05

Table 4

Comparison of changes in HR and SBP during orthostatic between control subject and diabetic patient.

		<u> </u>	
ANS response during the OT	Diabetic subjects (n=31)	Control subjects (n=43)	p
Beta Peripheral Impaired sympathetic Adrenergic (%)	19.4	25.6	0.5
Beta Peripheral Sympathetic Adrenergic Hyperactivity	67.7	30.2	0.001
Orthostatic hypertension	9.7	0	0.037
Beta Peripheral sympathetic Adrenergic hyperactivity	51.6	67.4	0.16

P0-49

Prévalence et caractéristiques du syndrome métabolique chez les hypertendus dans la région de Blida (Algérie)

Prevalence and characteristics of the metabolic syndrome in hypertensive patients in the region of Blida (Algeria)

A. BACHIR CHERIF (1), M. TEMMAR (2), A. TALEB (1), A. CHIBANE (3), S. BENKHEDDA (4), M. BOUAFIA (1)

- (1) Service De Cardiologie CHU Blida, Blida, Algeria,
- (2) Centre De Cardiogie, Ghardaia, Algeria,
- (3) Service De Medecine Interne CHU Ain Taya, Ain Taya, Algeria,
- (4) Service De Cardiologie CHU Mustapha, Alger, Algeria

Objectifs : Évaluer la prévalence du syndrome métabolique (SM) dans notre population hypertendue et étude de la distribution des différents critères du cluster. Matériels et méthodes : 2 206 hypertendus 1 017 hommes (H) et 1 189 femmes (F), âgés respectivement de 56 ± 11,7 ans et 57 ± 12,3 ans ont été inclus. Les sujets sont recrutés dans une consultation spécialisée d'HTA du service de cardiologie du CHU de Blida à 45 km d'Alger. Tous les sujets ont bénéficié d'un bi. n standard. Les sujets porteurs du SM ont été identifiés à partir de la définition du SM proposée en 2001 par le NCEP à savoir la présence d'au moir s 3 de anomalies suivantes : Pression artérielle > 130/85mmHg et/ou traité. en. tour de taille > 102 cm (H) et > 88 cm (F); Triglycérides > 1,50 g/1; HDL Ch. lestérol < 0,40 g/l (H) et < 0,50 g/l (F); Glycémie > 1,10 g/l. des tests tatis 'que's Khi 2, t-student avec analyse de la variance ont été utilisés pour omp, 'er l'ensemble des paramètres. Tous les calculs et analyses statistiques par u ilisat on du logiciel SPSS 17.0.

Résultats : La prévalence du SM chez les hommes est d. 25,6 % et de 47,3 % chez les femmes (p<0,001). L'anomalie la plus fréquente 'ait un. our de taille élevé avec 23 % (H) et 35 % (F) (p<0,03), suivie d'un tau-élevé des triglycérides chez 19 % (H) et 17 % (F) (p=0,21). La prévalence de '1 ypor DL est de 33,1 % (H) et 38,1 % (F) (p<0.01), celle du diabète à 14,2 % (H) et 17.6 % (F) p=0,3), de l'état prédiabète (glycémie entre 1.10 et 1,26 g/l) à 6,4 % (H') et 11, % (F) (p<0,001). La prévalence du surpoids (BMI entre 25-29 $^{\circ}$ k /m $^{\circ}$ st de 14,1 % pour les deux sexes et celle de l'obésité (BMI > 30 kg/m²) . 20 % (H) et uč 38,8 % (F) (p<0,001).

Conclusion: Le SM est donce des prévalent dans notre population d'hypertendu significativement plus élevé che à les femmes. Le classement par ordre de fréquence des éléments du cluster met en évidence les spécificités de notre population et permet la nécessité d'une stratégie adéquate pour éviter ses complications morbimortelles.

Keywords: Vaisseaux

P0-50

Profil clinique des sujets hypertendus de moins de 40 ans à l'Institut de cardiologie d'Abidjan Clinical profile of hypertensive patients under 40 years at the Institute of cardiology of Abidjan

D. BAMBA-KAMAGATÉ, I. COULIBALY, I. SOYA, MP. N'CHO-MOTTOH, F. KOFFI, M. TANOH, M. SOW-TOURE, P. OUATTARA

Institut De Cardiologie D'abidjan, Abidjan, Ivory Coast

Introduction: l'hypertension artérielle (HTA) est une pathologie cardiovasculaire chronique responsable de complications majeures mettant en jeu le pronostic fonctionnel et vital. Dans nos contrées, elle atteint surtout la population active relativement jeune entre 25 et 40 ans. L'objective était d'analyser les caractéristiques cliniques des sujets adultes jeunes.

Méthodes : nous avons réalisé une étude prospective descriptive sur 152 patients adultes, âgés de 40 ans au plus entre le 1er janvier 2012 et le 31 décembre 2012

en consultation et en hospitalisation de l'ICA. Les paramètres étudiés étaient épidémiologique, clinique et thérape utique.

Résultats: l'âge moyen était de 32 2.8 a s avec une prédominance masculine (56,6 %) et un sex ratio de 1,5. La najori é des patients étaient originaires du sud de la Côte d'Ivoire (59,2 %). 1 a ca égore e socio-professionnelle à faible revenue représentait 62,5 % des patients. l'ancienneté moyenne de l'HTA était en moyenne de 8,5 mois avec des extr me- de 1. emaine et 1 an 4 mois.

Les patients avaie, tunc l' l'A évère au stade II de la Joint National Committee VII. Les complication étacus surtout rénales (12,5 %), et cardiaques (7,9 %). Les facteurs de risque chien. l'antécédent familial d'HTA chez la plupart des patients (96 %), l'alime tation hypersodée (95,4 %), le stress (67,1 %), l'obésité (15,8 %) et l'alcoolisme (6,5 \(\cdot \)). Un cas d'HTA secondaire résiduelle suite à une chirurgie de coarctation de l'aorte a été observé.

La prise en charge comportait les mesures hygiéno-diététiques, un traitement ni dican nteux. La bithérapie fixe (IEC + diurétique) était la modalité théi peutique la plus fréquente (54 %) suivie par la monothérapie (46 %) dont les be abloquants (23 %), IEC ou ARA II (16,5 %), inhibiteurs calciques (6,5 %).

Le délai moyen de maîtrise des chiffres de PA était de 1,4 ± 0,53 mois avec des extrêmes de 2 semaines et 6,5 mois. Deux cas d'aggravation de la fonction rénale étaient observés. Aucun décès n'a été noté.

Conclusion: la prévention et le dépistage de l'HTA doivent être systématiques dans la population à risque afin d'éviter les complications graves pouvant mettre en jeu le pronostic vital. L'hérédité familiale et le style de vie seraient les facteurs majeurs de la survenue de l'HTA chez les sujets jeunes.

Mots-clés : Hypertension artérielle ; Adulte jeune ; Épidémiologie ; Clinique-Traitement

P0-51

Profil de l'hypertension artérielle chez les diabétiques de type 2(DT2) dans un service de médecine interne Profile of hypertension in type 2 diabetes in an Internal Medicine department

<u>O. MOUSSANNEF,</u> H. LAFER, M. KHALDI, N. BOUZIANE, N. BENFENATKI

Service De Médecine Interne Eph Rouiba, Alger, Algeria

Introduction: L'HTA au cours du DT2 est fréquente et est responsable d'une majoration du risque cardiovasculaire. Sa prise en charge a fait l'objet de recommandations par diverses sociétés savantes. Les modalités optimales du traitement pharmacologique de l'HTA en présence d'un DT2 restent controversées, mais il apparaît évident que le recours à plusieurs médicaments est nécessaire pour atteindre les objectifs fixés chez la plupart des patients diabétiques hypertendus.

Objectifs: -Déterminer la prévalence de l'HTA chez le DT2 et analyser la prévalence des complications dégénératives des DT2 hypertendus par rapport aux DT2 non hypertendus. -Analyser les différents traitements antihypertenseurs utilisés et évaluer l'équilibre tensionnel.

Matériels et méthodes: Il s'agit d'une étude rétrospective portant sur 329 fiches de patients DT2des deux sexes, régulièrement suivis en consultation spécialisée du service

Résultats préliminaires : La prévalence de l'HTA chez nos patients diabétiques est de 75 % avec une prédominance féminine (55 %), et un âge moyen des patients de 63 ans. Le diabète précède l'HTA dans 43 % des cas ; il est concomitant avec l'HTA dans 33 %, et la notion de tabagisme est retrouvée dans 18 % des cas chez les hommes. Les complications dégénératives chez les DT2 hypertendus sont plus fréquentes et de manière significative par rapport à la population DT2 non hypertendue. La cardiopathie ischémique est retrouvée dans 10 % (vs 0,6 %), un AVC dans 10 % (vs 0 %), l'AOMI 13 %(vs 0,5 %), une rétinopathie diabétique dans

19 % (vs 10 %), une rétinopathie hypertensive dans 10 %, une insuffisance rénale chronique dans 12 % (vs 0,2 %), une micro-albuminurie dans 26 % (vs 12 %). Le traitement de l'HTA se base sur une monothérapie (ARAII ou IEC) dans 26 % des cas, une bithérapie dans 32 % des cas (ARAII ou IEC + diurétiques ou inhibiteurs calciques). 42 % des sujets bénéficient d'une trithérapie ou plus, seuls 43 % d'entre eux sont équilibrés. Les objectifs tensionnels sont atteints dans 62 % des cas Les objectifs glycémiques sont atteints dans 46 % chez les DT2 hypertendus (vs 63 %)

Conclusion : Dans le DT 2, l'HTA s'inscrit dans un contexte plurimétabolique. Elle aggrave le pronostic cardiovasculaire et accélère la survenue des complications

Un traitement énergique de l'HTA et des autres facteurs de risque est donc nécessaire afin de diminuer le risque cardiovasculaire du patient diabétique. Kevwords: Vaisseaux

P0-52 Profil épidémiologique de l'hypertension artérielle en hémodialyse périodique Epidemiologic profile of hypertension on hemodialysis

I. GORSANE, B. MANJOUR, J. MEDDEB, H. GAIED, F. YOUNSI, A. KHEDER

Hôpital Charles Nicolle, Tunis, Tunisia

Introduction: La prévalence de l'hypertension artérielle (HTA) en hémodialyse itérative reste élevée et greffée d'une forte morbi-mortalité. Elle est principalement liée à un excédent de volume extracellulaire et à l'augmentation des résistances périphériques qui en résulte. Le but de notre travail était de déterminer la prévalence et les facteurs de risque de l'HTA chez nos hémodialysés chroniques. Patients et méthodes : Il s'agit d'une étude rétrospective monocentrique sur 124 patients hémodialysés chroniques dans notre unité d'hémodialyse. La prévalence

de l'HTA a été déterminée à partir de la surveillance de la PA en début milieu et fin de dialyse. Nous avons défini l'HTA par une PAS supérieure ou égale à 140 mmHg et/ou une PAD supérieure ou égale à 90 mmHg sur au moins deux mesures.

Résultats : Soixante-douze patients (58 %) sont hémodialysés chroniques à raison de 3 séances par semaine, 38 (30,6 %) font 2 séances par semaine et 14 (11,3 %) font une seule séance par semaine. L'âge moyen est de 57,15 \pm 10,77 [24–79], avec un sexe ratio de 1,2. La prévalence de l'HTA est de 70 % (86/124), elle est systolodiastolique chez 90 % des patients. La PAS moyenne était de 170 mmHg. Soixantedix pour cent des patients disaient respecter les règles hygiéno-diététiques. Quatre patients seulement étaient sous agents stimulants de l'érythropoïèse, 60 % suivaien un traitement antihypertenseur dont le tiers était sous 3 antihypertens urs. La radiographie du thorax trouvait une cardiomégalie chez 80 % des patients.

Conclusion : L'effet de l'hémodialyse sur la pression artérielle est dose-de pendant. La correction de l'HTA en hémodialyse se fait par la réduction progressive du poids de fin de dialyse jusqu'à normalisation de la pression arterielle. Les mesures associées nécessaires sont le régime désodé et le respect de la balance sodée au cours de la séance. La réduction de la pression artérielle a un bénéfice chez les patients hypertendus, avec une baisse du risque d'événements et de mortalité cardiovasculaires.

Keywords: Autre

P0-53 Un cas d'autolyse aux bêta bloquants A case of autolysis beta blocker

D.-D. BATOUCHE (1), B. KHEMLICHE (3), L. SADAOUI (4), H. BOUGUETOF (6), D. BOUMENDIL (5), K. ELHALIMI (7), M. NEGADI (8), Z. MENTOURI-CHENNTOUF (9), Y. TOUHAMI (2)

- (1) Service De Réanimation Pédiatrique, Oran, Algeria,
- (2) 1. Oran. Algeria.
- Service De Néphrologie, Oran, Algeria (3)
- (4) 1, Oran, Algeria, (5) 1, Oran, Algeria,
- 1, Oran, Algeria,
- (6)1, Oran, Algeria,
- (8) 1. Oran. Algeria.
- 1, Oran, Algeria,

Introduction: Les intoxications par bêtabloquants sont plutôt rares chez l'enfant au CHU ORAN ; ailleurs elles représentent 3 % des intoxications médicamenteuses aiguës admises dans un service de réanimation toxicologique. Le tableau clinique des intoxications par bêtabloquants est dominé par les manifestations cardiovasculaires. Dans les formes sévères, apparaissent un coma, des convulsions et des troubles métaboliques.

Observation : le 08/12/2012, une adolescente de 13 ans, est retrouvée par sa mère en convulsions, avec secrétions blanchâtres autour de sa bouche. Dernier contact avec sa famille remontait à 5 heures ; au cours du transport par le SAMU, l'enfant fait un arrêt cardiaque, réanimée au CEE, puis transportée en réanimation. Le score de Glasgow après intubation est de 6/15, FC à 56 b/min. La PAM à 85 mmHg, secrétions bronchiques, convulsions cloniques des membres, pupilles en myosis. Initialement nous avons pensé à une intoxication aux organophosphorés. L'enfant était mise sous contrathion et atropine, après un remplissage vasculaire au sérum salé. Mais le diagnostic a été vite redressé après l'interrogatoire auprès de la mère qui raconte un conflit familial et un grand père hypertendu traité par propranolol ; avec une boite vide retrouvée par terre. 20 minutes après son admission l'enfant était en collapsus, à l'ECG : une bradyarythmie, un élargissement des complexes QRS, un trouble de la repolarisation ventriculaire. Le bilan biologique retrouvait une glycémie à 0,81 g/l, une kaliémie à 3,1 meq/l. L'enfant a été mise sous dobutrex et atropine, une perfusion de bicarbonate molaire de sodium 250 ml associée à 1 g de KC1, sous surveillance des QRS. L'évolution est marquée par un état de mal convulsif à H3 justifiant une sédation au penthotal, puis apparition d'une mydriase bilatérale aréactive. AH8 la TDM cérébrale retrouvait un œdème cérébral diffus, comblement du trou occipital, engagement dans les amygdales cérébelleuses. Le décès est noté à H16.

Discussion: Les intoxications graves par les B-bloquants lipophiles représentent 3,6 % des intoxications médicamenteuses. Aux Étars-Unis, 52 156 cas d'exposition aux bêtabloquants ont été rapportés dont 47 % concernait l'ingestion de propranolol. L'effet stabilisant de membrane, que possède le propranolol à fortes doses, traduit un bloc de conduction intra-ventriculaire, corrélé à la létalité de cette intoxication. Conclusion : Syndrome clinique l'intox ation grave avec une molécule à effet stabilisant de membrane

Référence :

Mégarbane B : aiguës médicamenteuses, Éditions Scientifiques et Médicales Elsevier, 2002

Love J. N: Toxicol. Clin. Toxicol. 1997; 35: 353-9

Keywords: Cour

Un syndrome de Budd-Chiari révélant P0-54 une vascularité de Behçet

Budd Chiari syndrome revealing vasculitis of Behçet

F BOUSSEMA, H. ZOUBEIDI, Z. AYDI, W. GARBOUJ, L. BAILI, B. BEN DHAOU

Höpital Habib Thameur, Tunis, Tunisia

Le syndrome de Budd-Chiari (SBC), défini par une obstruction des veines sus hépatiques, peut compliquer l'évolution de plusieurs pathologies. Sa survenue au cours de la maladie de Behçet est rare surtout s'il constitue sa circonstance de découverte.

Observation : Il s'agit d'un patient âgé de 30 ans, sans antécédents, qui avait initialement consulté pour une fièvre avec des douleurs abdominales évoluant depuis 5 mois. Les explorations biologiques initiales faites en ambulatoire avaient montré une hépatite aigue grave avec une cytolyse hépatique à 10 fois la normale, une cholestase à 4 fois la normale, un taux de prothrombine à 30 % et une hypo albuminémie à 25 g/l. L'échographie doppler abdominale avait objectivé une thrombose du réseau veineux sus hépatique et une ascite de moyenne abondance. Il était initialement pris en charge au service de gastro-entérologie. L'angiotomodensitométrie abdominale avait confirmé une thrombose des veines sus hépatiques et de la veine cave inférieure sur tout son trajet ainsi qu'une hypertrophie du segment I du foie. Le diagnostic d'un angio- Behçet était fondé sur la présence d'une aphtose bipolaire évolutive à l'examen physique et la thrombose veineuse. Le test pathergique était négatif. L'examen ophtalmologique n'avait pas mis en évidence d'uvéite active ou séquellaire.

Par ailleurs, un bilan étiologique exhaustif était normal (dosage de la protéine C, de la protéine S, la résistance à la protéine C activée, l'antithrombine, les anticorps anti phospholipides, les anticorps antinucléaires, le frottis sanguin, la cytométrie de flux, l'homocystéinémie et les marqueurs tumoraux).

Le patient était traité par une corticothérapie pleine dose et un immunosuppresseur à base de boli mensuels de cyclophosphamide. Il avait développé un diabète corticoinduit après un mois du traitement traité par insulinothérapie. Il avait reçu 2 boli de cyclophosphamide mais l'évolution était fatale dans un tableau d'encéphalopathie hépatique stade 3.

Conclusion : La recherche étiologique du SBC est primordiale puisque le traitement repose sur le contrôle de la cause, sur la prévention des thromboses veineuses et sur le rétablissement du drainage veineux hépatique. Le pronostic du SBC semble lié à des critères topographiques, notamment le nombre de veines hépatiques occluses, l'atteinte de la veine hépatique droite et la présence d'une thrombose de la veine cave inférieure.

Keywords: Vaisseaux

CŒUR ET VAISSEAUX

P0-55

Agénésie de la veine cave inférieure : savoir y penser devant une thrombose veineuse profonde atypique. À propos d'un cas

The Inferior vena cava agenesis, think about it in a case of an unusual deep veinous thrombosis. A case report

S. S. OUCHÈNE, O. MOUSSENNAF, H. LAFER, <u>N.K. BOUZIANE,</u> M. KHALDI, N. BENFENATKI

Service De Médecine Interne Eph Rouiba, Alger, Algeria

Introduction: L'agénésie de la veine cave inferieure (VCI) est une malformation vasculaire congénitale extrêmement rare.

La découverte est en général fortuite, le plus souvent retrouvée à l'occasion du bilan de thrombose veineuse profonde (TVP) atypique.

Patients et méthodes: Nous rapportons le cas d'une jeune femme hospitalisée pour exploration et prise en charge d'un quatrième épisode de thrombose veineuse profonde à bascule du membre inferieur.

Observation : Il s'agit d'une patiente âgée de 36 ans, hospitalisée pour un quatrième épisode de thrombose veineuse profonde du membre inferieur.

La patiente a présenté dans ses antécédents : (i) en 1998 TVP du membre inferieur gauche ; (ii) en 2002 et 2005 récidive sur le même membre mise sous traitement anticoagulant pendant 12 mois. À son admission, la patiente présente une TVP du membre inferieur droit associée à des paquets variqueux du membre inferieur gauche. L'echodoppler veineux des membres inférieurs confirme l'existence d'une TVP iléo-fémorale droite. La recherche étiologique est négative ; cependant la tomodensitométrie thoraco-abdomino-pelvienne révèle l'existence d'une agénésie de la VCI sous-rénale avec développement d'une circulation collatérale de suppléance. Discussion : Cette anomalie de la VCI bien que rare, est connue comme facteur favorisant l'apparition de thrombose veineuse en ralentissant le flux veineux. Il a été estimé dans des travaux récents, que 5 % des patients de moins de 30 ans qui développent une TVP idiopathique ont une agénésie de la VCI.

Conclusion : L'agénésie de la VCI est une situation rare qui doit être suspectée dans un contexte de TVP atypique survenant chez un sujet jeune.

Keywords: Vaisseaux

P0-56

Artères rénales multiples récusant le don de rein Mutiple renal arterial in kidney living donors

B. ZANNAD, L. BEN FATMA, R. BEN DHIA, <u>L. RAIS</u>, R. KHEDHER, W. SMAOUI, M. KRID, S. BEJI, K. ZOUAGHI, F. BEN MOUSSA Hôpital La Rabta, Tunis, Tunisia

Introduction : La transplantation rénale est le traitement de choix de l'insuffisance rénale terminale.

Devant la pénurie de reins de cadavres, le prélèvement de rein, che 2 les donneurs vivants apparentés, constitue la principale source e gret ons. Une détection scannographique préopératoire systématique des ann nalie des artères et des veines rénales est impérative pour éviter des compleations vasculaires imprévues. Des variantes anatomiques vasculaires, telles que les a rères rénales multiples sont parfois découvertes rendant l'accès chirurgic. I diffi ile voire impossible.

Patients et méthodes: Sur une étude can specific faite entre Novembre 2010 et Avril 2013, portant sur 52 donneurs vant a parentés de rein récusés pour causes diverses, 6 donneurs (11%) out ête récusés pour artères rénales multiples.

Résultats: Dans cette séce de donneurs, la moyenne d'âge était de 38 ans. L'angioscanner rénal a mont de présence de 3 artères rénales droites et un kyste rénal droit dans 1 cas, la présence de 2 artères rénales des 2 cotés: une principale et accessoire grêle vascularisant le pôle inférieur du rein dans 4 cas et la présence de 2 artères rénales droites dont une artère polaire inférieure et une double veine rénale gauche avec une veine accessoire polaire inférieure dans 1 cas. Ces donneurs ont été récusés au don pour accès chirurgical avec risque surajouté au donneur.

Discussion: Le bilan préopératoire complet et normal ne peut pas garantir que le donneur soit retenu pour le don de rein. En effet, il existe des variantes anatomiques vasculaires découvertes par l'angioscanner qui ne sont pas pathologiques mais qui contre-indiquent le prélèvement vu l'accès chirurgical difficile avec un risque surajouté malgré la collaboration entre urologues et chirurgiens vacsulaire dans notre équipe. Ainsi, l'angioscanner rénal permet le choix du rein le plus approprié au prélèvement et permet d'anticiper les difficultés opératoires liées à l'anatomie du donneur.

Keywords: Rein

P0-57

Arterial stiffness measurement in obese patients with a new device: pOpmetre®

Mesure de la rigidité artérielle chez des patients obèses avec un nouvel appareil: pOpmetre®

M. HALLAB (1), A. COMPAORE (2), K. MOHAMMEDI (2), F. TRAVERT (2), R. ROUSSEL (2), M. MARRE (2)

(1) Ufr Gériatrie, Hôpital Universitaire De Nantes, Nantes, France,

(2) AP-HP, Hôpital Bichat, Service D'endocrinologie Diabétologie Et Nutrition, Paris, France

Obesity is associated with increased cardiovascular morbidity and mortality. Arterial stiffness (AS) is an independent cardiovascular risk factor. The objective of this study was to evaluate the AS in obese patients.

Patients and Methods: AS was measured in 212 participants divided into four groups: non-obese non-diabetic controls (n=114), non-diabetic subjects with obesity (n=37), obese and type 2 diabetic patients (n=34), and non-obese type 2 diabetic subjects (n=27). AS was assessed by measuring the pulse wave velocity (PWV) using a new device: pOpmètre® (Axelife sas-France). It measures transit time between finger and toe, and based on Height chart, it calculates the PWV with the right or the left toe.

Results: PWV values were increased in obese subjects compared to controls (obese and diabetic patients: 18.18 m/s±1.08 (Mean±SEM), non-obese diabetic patients: 15.58±1.21, non-diabetic obese subjects: 11.32±1.04 and controls: 8.39±0,59m/s, mean±SD, p=0.002). Similar results were observed in the left side (p=0.0005). This increase was more pronounced in obese and diabetic patients. After stratification on the presence of diabetes, we observed an increase of PWV in non-obese diabetic patients, compared to non-diabetic subjects (p=0.001). Stratification on the presence of obesity shows no difference in non-diabetic obese subjects compared to non-obese subjects.

However, adjustment for sex, age, blood pressure and tobacco, confirmed the increase of PWV in obese and diabetic patterns compared to controls (odds ratios 1.31, 95% CI 1.15-1.51, p=0.0002) and in non-diabetic obese subjects compared to controls (odds ratios 1.25, 55% CI 1.9-1.46, p=0.003). There was a positive correlation between age and Pv V (r2=0.24).

Conclusion: PWV is inc ease 1 in close patients, particularly in those with type 2 diabetes. PWV is positively core dated to ageing.

Keywords: Vaisseaux

P0-58

Cardiomyopathies chez l'enfant hémodialysé, quel profil échographique ? Hemodialyse children's cardiomyopathies, which ultrasound profile

- SADAOUI (1), D.-D. BATOUCHE (2), Z. CHENTOUF-MENTOURI (3)
- (1) Service De Réanimtion Pédiatrique CHUo, Oran, Algeria,
- Service De Réanimtion Pédiatrique CHUo, Oran, Algeria,
 Service De Réanimtion Pédiatrique CHUo, Oran, Algeria

Les complications cardio-vasculaires sont la principale cause de mortalité chez les patients hémodialysés. On rapporte un taux 10 à 20 fois plus élevée que dans la population générale, l'apport de l'échographie a permis leur dépistage précoce et a amélioré considérablement leur prise en charge

Nous avons réalisé une étude rétrospective portant sur 14 patients traités par hémodialyse chronique à l'unité d'hémodialyse du service de réanimation pédiatrique entre Mars 2010 et décembre 2012. Une écho-cardiographique a été réalisé à l'admission et une autre de contrôle à un an d'intervalle

L'âge moyen de notre population était de 14,25 ans, elle était composée de 10 garçons et 4 filles avec un sexe ratio de 2,5. À l'admission, l'HTA était rencontré chez 11 cas de nos patients (78,6 %). L'anémie a été objectivée chez tous les patients et l'hyper-para-thyroïdisme a été noté dans 12 cas (85,7 %). L'uropathie malformative était la principale cause d'IRCT (64.2 %). L'écho-cœur a objectivé une HVG chez 71,42 % une fonction systolique altérée chez 7,1 %, 78,56 % avaient des pressions de remplissage élevées, 57,14 % des patients avaient un épanchement péricardique et 35,7 % avaient une HTAP, 71,42 % avait une IM et IA chez 50 %

Au contrôle : l'HTA persistait chez 10cas ; l'HB était maintenu entre 10 et 11 g/dL, la PTH était correcte chez 50 %, basse chez 04 cas et haute chez 3 cas, la durée moyenne de dialyse était (27.42) mois. L'HVG concentrique à prédominance septale persistait chez 64,28 % de nos patients, l'épanchement péricardique a disparu chez 100 %, l'HTAP était corrigées chez 92,85 %, les valvulopathies(IM. IA) persistaient, les FR et FE étaient correctes chez l'ensemble de nos malades.

Dans la littérature, on rapporte 44,9 % d'HVG concentrique contre 4,4 % d'HVG excentrique ; 58 % de Valvulopathie significative, 12,3 % d'épanchement péricardique et 22,2 % d'HTAP, 31 % de dysfonction systolique, 61,7 % de dysfonction diastolique

Dans notre série alors que l'HVG concentrique persistait avec les valvulopathies, et que l'HTAP et la péricardite ont été efficacement corrigé au cours de l'hémodialyse, Nous n'avons colligé aucun cas d'HVG excentrique, ni de dysfonctionnement diastolique.

L'échographie cardiaque est un examen non invasif, largement utilisé qui permet, non seulement un diagnostic précoce des anomalies cardiaques *infra* cliniques ou cliniques mais également un moyen d'évaluation de l'efficacité des stratégies thérapeutiques nécessaire à une prise en charge adéquate des enfants hémodialysés chroniques.

Keywords: Imagerie

P0-59 Clinical-paraclinical characteristic of arterial hypertension in the teenagers from mountain

region

Caractéristique clinique-paraclinique de l'hypertension artérielle chez les adolescents des régions montagneuses

O. HORLENKO, V. RUSYN, O. DEBRECENI, N. SOCHKA, P. BOLDIZHAR, F. HORLENKO, V. PIRIIDI, G. COSSEY, O. PUSHKARENKO, A. TOMEY Uzhgorod National University, Medical Faculty, Department Of Pediatrics With Infectious Diseases, Uzhgorod, Ukraine

Background: The main objective of this study was to evaluate the level of Lp(a), fibrinogen, cytocines and mineral profile in patients with Arterial hypertension (AH) in teenagers.

Methods: We investigated child's contingent from the Zakarpattya mountain region (78 children, age $14,68\pm0.84$ years) with AH

Result: We identificated decline of level of HDL-cholesterol in the children (1,2 \pm 0,31 $\,$ against control group 1,69±0,01 mmol/l; p<0,001), increase of general cholesterol due to LDL-cholesterol (2,35±0,18 mmol/l). LDL-cholesterol/HDL-cholesterol ratio in 2,97 times higher in patients from mountain locality against control group (2,67 and 0,90). Changes in a gemostasiogrammes were marked in 54% of childs Investigated Children had increase of fibrinogen (17,53±1,63 and 11,32±0,77 mmol/l, p<0,001), that was risk factor to thrombogenesis. The children from mountain region had a level of microelements (ME) in certain below-iodine (0,39 [0,40-0,59] (0,27-0,72) and 0,46 [0,35-0,6] (0,2-0,7)mmol/l, phosphorus (394,5 [315-485,0] (101,0-539,0) and 338,0 [227,0-409,0] (101,0-612,0) mmol/l), iron (61,55 [41,70-86,45] (4,74-117,20) and 54,7 [35,3-70,9] (10,2-104, 1) mmol/l). Children with AH had higher level of AFL IgM than IgG (2,73±0,34 against 2,03±0,24, O/ml, p<0,02), what is risk to tromboheneses. Levels of IL-1,6 have tendency to decline. Children had decline of TTG and T4, what is explain the increase of cholesterol (4,44±0,10 mmol/l and 3,21±0,26 mmol/l, p<0,001). In our children was characterised eucinetic type of central hemodynamics, level of LVEF was 66,27±0,95%.

Summary: In the children with AH from the mountain region was represent disbalans of ME, high levels of LDL-cholesterol, AFL IgM, fibrinogen.

Keywords: Hypertension Measurement

P0-60 Complications cardiovasculaires chez les sujets âgés obèses tunisiens

Cardiovascular Complications in elderly obese Tunisians

H. IBRAHIM, A. TEMESSEK, R. BEN OTHMANE, H. ABDESSAL FM, F. BEN MAMI

Service C Institut National De Nutrition, Tunis, Tunisia

L'obésité apparait comme un facteur de risque majeur de moroi-mortalité et comme une cause de fragilité et de baisse de qualité de vie pour la prisonne âgée. Le but de notre étude est d'évaluer les comorbidités insi que les complications cardiovasculaires chez le sujet âgé obèse.

Matériels et Méthodes : Il s'agit d'une enquête prospective, descriptive, transversale menée au cours de l'année 2007 auprès d'un con atil, en de 3 764 personnes âgées de 30 ans et plus tires au sort. Nous nous son mes in éressés aux personnes âgées de 65 ans et plus soit 1011 individus (26.9 °°)

Résultats: La prévalence de l'obé ité est de '3,3 %, significativement plus importante chez la femme que chez l'10 mm e (29,1 % 18,18 %). Le tour de taille moyen est de 98.5 cm chez la femme et de 94.4 cm chez l'homme. Les prévalences de l'hypertension artérielle, un diabète et des dyslipidémies, sont significativement plus importantes chez les obès le comparés aux non obèses avec respectivement (65 % 183,5 %), (22,2 % 18,4 %) et (12,7 % 18,2 3 %). La prévalence du syndrome métabolique est significativement plus importante chez les obeses 23,9 % 18,9 6, 9 cu chez les non obèses et significativement plus importante chez la femme âgée 15,3 % 18,5 1 % chez l'homme âge. L'obésité est associée à une augmentation de la morbidité cardiovasculaire. Les prévalences des cardiopathies ischémiques, les antécédents d'artérite des membres inférieurs et les antécédents thromboemboliques étaient significativement plus importantes chez les obèses comparés aux non obèses avec respectivement (9,4 % 18 4 %), (17,2 % 18 8,9 %) et (40 % 18 22,2 %). Les odds ratio respectifs sont de 2,5, de 2 et de 2,3. Par contre, on n'a pas noté de relation significative dans la survenue d'accident vasculaire cérébral.

Conclusion: L'obésité est associée à une augmentation de la morbidité cardiovasculaire chez les personnes âgées. Sa prise en charge nécessite une prescription diététique personnalisée, avec une mention particulière pour l'activité physique, tout en tenant compte des co-morbidités, des capacités fonctionnelles et de l'environnement.

References: 1-Dey DK, Lissner L. Obesity in 70-year-old subjects as a risk factor for 15-year coronary heart disease incidence. Obes Res 2003;1:817-27. 2 – Patterson RE, Franklin LL, Kristal Ar et al. A comprehensive examination of health condition with obesity in older adults. Am J Prev Med 2004;385-90. 3 – Janssen I, Katzmarzyk PT, Ross R. Waist circumference and not body mass index explains obesity-related health risk. Am J Clin Nutr 2004;79:379-84

Keywords: Coeur

P0-61 Crises hypertensives aiguës chez l'enfant admis aux soins intensifs au chu d'oran
Acute hypertensive crises in children admitted to intensive care at the hospital of oran

D.-D. BATOUCHE (1), L. SADAOUI (2), B. KHEMLICHE (1), M. NEGADI (1), Z. MENTOURI-CHENNTOUF (1)

Service De Réanimation Pédiatrique, unité De Dialyse Enfant CHU, Oran, Algeria,
 Service De Néphrologie, Oran, Algeria

Introduction: La gravité d'une HTA peut mettre en jeu le pronostic vital, liée aux complications viscérales, nécessitant une prise en charge en réanimation.

Objectif : Décrire les aspects étiologiques, évolutifs de l'hypertension artérielle sévère de l'enfant

Patients et Méthodes: Étude rétro-prospective menée du 1er janvier 1997 au 31 décembre 2012, colligeant les dossiers d'enfants hospitalisés pour HTA définie selon les courbes de référence de la société française de néphrologie pédiatrique (1) Sont exclus HTA: (i) du nouveau- né; (ii) de la dysautonomie neurovégétative; (iii) de l'insuffisance rénale chronique en acutisation

Résultats: La fréquence hospitalière de l'hypertension était de 0,31 %. Elle concernait l'enfant de plus de 5 ans (78,3 %) av cur moyenne d'âge de 96.7 ± 6.3 mois, (extrême 4 mois et 16 ans), répartis v 2 5 arço is et 25 filles. O2 modes de présentations cliniques: 95 % sont admis dans un cadre de l'urgence hypertensive et 6 % sont admis selon un mode d'1. TA, 1 aligue; avec pour motifs d'admission: l'oligo-anurie avec une insuffisan et re ale igue dans 79 %, l'œdème aigu du poumon (16,6 %), les convulsions (28,9 %), la dyspnée respiratoire (26,7 %) et accident vasculaire cérébral (5 %). L. 1 TA était de cause rénale dans (92,4 %); les néphropathies de reflux av «28,6 %, la GNA 27 %, la néphropathie à l'acide urique par syndrome de lyse tu nor 1 12 %. Les causes extra rénales sont rares, cependant 2 % restent de caus incerminée. La nicardipine en seringue autopulsée était l'antihypertenseur le p. is utilisé. L'épuration extrarénale était indiquée dans 48 %. L'évolution gle sale vait avorable avec une normalisation des chiffres tensionnels dans 71 %. 10 p. tients ont été référés dans d'autres services. On déplore 04 décès.

Discussion : la p évalence de l'HTA varie de là 5 %. Dans notre série l'HTA était menaçante dans 90 % expliquant les complications neurologiques et car iou sculaires. La prédominance des affections rénales comme principales ca ses de l'hypertension artérielle de l'enfant est confirmée par d'autres auteurs ins la littérature (2) La glomérulonéphrite aiguë et l'insuffisance rénale isolée rep ésentent les deux principales causes d'HTA de l'enfant dans notre série.

Conclusion: l'HTA de l'enfant en réanimation est grave pouvant engager un pronostic vital à court terme.

References : 1. Broyer M : Arch Fr Pediatr 1980; 37:429-32. 2. Varda NM : Pediatr Nephrol 2005; 20:499-506.

Tableau 5

Étiologies		
Rénale	N Reflus GNA Néphroâthies (acide urique) SHU Glomérulopathies	29 27 14 13
Cardiovasculaire	Takayashu, Coartation	6
Neurologique Médicamenteuse	Sclérose Bourneville Ciclosporine	1

Keywords: Medicaments

P0-62 Évolution de l'hypertrophie ventriculaire gauche après transplantation rénale Left ventricular hypertrophy after kidney transplantation

R. BEN DHIA, <u>L. BEN FATMA</u>, L. RAIS, R. KHEDHER, M. KRID, W. SMAOUI, B. ZANNAD, S. BEJI, K. ZOUAGHI, F. BEN MOUSSA Hôoital La Rabta. Tunis. Tunisia

Introduction : L'hypertrophie ventriculaire gauche (HVG) est une anomalie écho cardiographique fréquemment retrouvée chez les patients hémodialysés et elle est due en partie à l'HTA.

Après transplantation rénale, l'HVG peut régresser surtout après le contrôle de l'HTA. Patients et Méthodes: Nous rapportons une étude rétrospective de 32 patients transplantés rénaux par rein de donneur vivant apparenté au service de néphrologie du CHU La Rabta de Tunis. Notre étude a pour objectif de décrire l'évolution de l'HVG après transplantation rénale.

Résultats: Il s'agit de 20 hommes et 12 Femmes d'âge moyen 36 ± 3 ans. L'HVG était antérieure à la transplantation rénale chez 9 patients (28 % des cas). Tous ces patients étaient hypertendus, suivi pour anémie sous érythropoeitine dans 66 % des cas et la période d'épuration extrarénale moyenne précédent la transplantation était de 2 ans. Après transplantation rénale, l'HVG a persisté écho-cardiographiquement dans 100 % des cas après un recul moyen de un an durée. Les patients qui présentait une HVG étaient tous hypertendu et le sont restés après la transplantation rénale. Conclusion: En transplantation rénale, l'HVG qui est souvent présente dès le stade de dialyse chronique, reste fréquente (28 % dans notre série) difficile à corriger (persiste dans 100 % des cas à 1 an de greffe). L'HVG majore le risque cardio-vasculaire des patients transplantés rénaux. Dans notre série, le faible effectif et le recul court ne permettent pas de conclure. L'étude de plus larges séries serait d'un grand apport. Keywords: Rein

P0-63

Facteurs de risque cardiovasculaire chez les diabétiques de type 2 récents Cardiovascular risk factors among the recently type 2 diabetes

H. ABDESSELEM, M. HASSINE, Y. HTIRA, N. JENHANI, F. BEN MAMI Institut National De Nutrition, Tunis, Tunisia

Introduction : le risque cardiovasculaire apparaît très tôt au cours de l'évolution de la maladie diabétique ; il est lié non seulement à l'hyperglycémie mais également aux autres facteurs de risque fréquemment associés au diabète.

L'objectif de ce travail est d'évaluer les facteurs de risque cardiovasculaire chez un groupe de diabétiques de type 2 de découverte récente.

Patients et méthodes: étude prospective transversale portant sur 120 diabétiques de découverte récente. Les patients ont bénéficié d'un examen clinique et d'un bilan biologique à la recherche de facteurs de risque cardiovasculaire.

Résultats: l'âge moyen était de 51,4 ± 8,9 ans, 71 % (n=59) étaient de sexe masculin. Les antécédents familiaux de coronaropathie précoce étaient présents chez 32 % des patients ; 35 % étaient tabagiques. Parmi les femmes diabétiques, 66 % étaient ménopausées. L'IMC moyen était de 30,3 ± 5,3 kg/m² avec 84 % d'obésité androïde. Une hypertension artérielle a été retrouvée chez 45 % des malades ; une hyperLDLémie chez 79,8 % (LDL moyen) et une hypoHDLémie chez 51.3 % (HDL moyen). Une micro albuminurie a été retrouvée chez 28 % des diabétiques avec un taux moyen de 59,7 ± 118 mg/24 h.

Conclusion : le diabète de type 2 pose un problème majeur de santé publique notamment par les complications cardiovasculaires qu'il engendre, ce qui inc. te à rechercher les facteurs de risque cardiovasculaire précocement chez les diabétique de type 2 afin de les prendre en charge.

Keywords : Cœur

P0-64

Impact de l'HTA sur la prévalence de la mala lie coronaire : une étude rétrospective dans le service de cardiologie CHU de Tlemcen Impact of hypertension on the prevalence of coronary artery disease: a retrospective study in the university hospital of Tlemcen, Algeria, department of cardiology

F. MOUSSAOUI, A. MEZIANE TAN!

CHU De Tlemcen. Service De Cardiologie. Tlemcen, Algeria

Introduction: L'hypertension est un important facteur de risque cardiovasculaire, La mortalité cardiovasculaire augmente avec le niveau de pression artérielle. S'il est actuellement largement reconni que la relation HTA-AVC est forte, il ne faut pas négliger le lien qui existe entre HTA et la maladie coronaire. L'excès de mortalité lié à l'HTA est plus élevé pour les événements coronariens que pour les AVC.

Matériaux : Notre travail est rétrospective avec un total de 835 patients hospitalisés dans le service de cardiologie pour la pris en charge des syndromes coronaires aigues (SCA) pendant les années 2010-2011-2012.

Objective : Déterminer les caractéristiques épidémiologiques des patients hypertendus et la relation entre les niveaux de pression artérielle (PAS, PAD, PP) et la prévalence des SCA.

Résultats: HTA est le facteur de risque cardiovasculaire dominant présent dans 50 % des cas. 79,6 % des patients étaient de sexe masculin, le sexe ratio 4. 40 % des patients ont un âge [40 et 59]. 60 % des patients présentaient une hypertension non contrôlée à l'admission. Plus de la moitié des patients étaient en monothérapie. 2/3 des patients présentaient une pression pulsée supérieure à 60 mmHg.

Discussion et conclusion: Le rôle de l'hypertension sur l'incidence des cardiopathies ischémiques est constamment trouvé.

Le risque cardiovasculaire est dépendant des composantes systoliques et diastoliques de la pression artérielle. Il est également parallèle au niveau de la pression pulsée (écart-PAS-PAD).

Plus que la classe thérapeutique prescrite, c'est l'équilibre tensionnel qui est important dans la prévention, tant primaire que secondaire, de la maladie coronaire. Keywords: Cœui

P0-65

L'hypertension artérielle chez l'enfant en insuffisance rénale chronique au stade de dialyse et anomalies cardiovasculaires Hypertension in children with chronic renal failure at the stage of dialysis and cardiovascular abnormalities

D.-D. BATOUCHE (1), L. SADAOUI (2), K. ELHALIMI (1), M. NEGADI (1), Z. MENTOURI-CHENNTOUF (1)

- (1) Service De Réanimation, Unité Dialyse Enfant CHU, Oran, Algeria, (2) Service De Néphrologie CHU, Oran, Algeria

Introduction : La prévalence de l'hypertension artérielle (HTA) en dialyse est élevée, avec ses complications cardiovasculaires sources de morbi-mortalité chez ces malades. Notre but est d'évaluer le profil évolutif des anomalies cardiovasculaires à 06 mois de dialyse.

Patients et méthodes : étude rétro-prospective portant sur des dossiers d'enfants en insuffisance rénale chronique (IRC) admis au stade de dialyse sur cathéter veineux central, du 01/01/2009 au 31/12/2012. Nous avons relevé tous les patients présentant une HTA avec complications cardiovasculaires avec une échographie possible à réaliser avant le début de dialyse.

Résultats: 18 enfants avec un âge moyen de 3,2 1,5 ans, répartis en 12 garçons et 6 filles. Le tableau clinique était don iné par H TA systolo-diastolique au stade II ou III avec Insuffisance cardiaque congestive chez 15 patients, un coma convulsif chez 7 patients, une détresse respiratoir (15 c. s). Un AVC ischémique (1 cas). Tous ces patients étaient en oligo -anurie. Un anén le avec un taux moyen de l'hémoglobine à 7,13 ± 1,66 g/l, un bilan phospa calcique perturbé (14 cas). La néphropathie causale était dominée par une rephropathie de reflux. L'apport de l'échocardiographie initiale a permis de relever : un épanchement péricardique (5 cas), une HVG concentrique (18 cas), septale (3 cas), hypertrophie auriculaire gauche (2 cas). L'HTAP était importance dans 3 cas et minime dans 2 cas; valvulopathies avec fuite mitrale (9 cas), ou tricospidienne (3cas). La perturbation de la fonction diastolique avec troubles de relaxation (E/A<1) (05 cas). Des calcifications valvulaires n'ont pas été notées. À 3 mois et à 6 mois de dialyse: 10 patients sont restés hypertendus, équilibrés sous IEC ± diurétiques ; l'épanchement péricardique a disparu, l'HTAP s'est corrigée, HVG concentrique persistait chez 15 patients avec amélioration de la Fra tion de Raccourcissement et de la Fraction d'Éjection Systolique. On déplore un décès par AVC.

Di cussion : Dans notre étude, l'HVG concentrique est l'anomalie échographique la plus retrouvée, cause ou conséquence de HTA? Probablement du fait que nos patients sont arrivés en dialyse à un stade avancé de l'IRCTerminale avec une indication de démarrer une dialyse en urgence et la majorité d'entre eux était anémique. Nous n'avons relevé aucun cas de calcifications cardiovasculaires ni de dysfonctionnent systolique, sans doute en rapport avec le jeune enfant et l'âge de la dialyse.

Conclusion : L'exploration cardiovasculaire doit être intégrée dans le bilan de surveillance d'une IRC avant que celle-ci ne nécessite un traitement de suppléance. Keywords: Rein

P0-66

L'ischémie myocardique silencieuse et le diabète de type 2 Silent myocardial ischemia and type 2 diabetes

Y. HTIRA, N. JENHANI, K. BOUZID, H. ABDESSELEM, R. BEN OTHMEN, H. IBRAHIM, N. TRABELSI, O. FENDI, F. BEN MAMI

(1) Institut De Nutrition. Tunis. Tunisia

Introduction : Le diabète de type 2 constitue un problème de santé publique par les complications cardiovasculaires qui l'engendre. Plus de 50 % de la mortalité des patients diabétiques de type 2 est secondaire à une cause cardiovasculaire, en particulier coronaire, dont la gravité tient à son caractère fréquemment silencieux.

Patients et méthodes : Étude prospective portant sur 60 patients diabétiques de type 2 (36 hommes, 24 femmes) d'âge moyen 52.28 ± 8,85 ans, nouvellement diagnostiqués, consultant à l'Institut National de Nutrition de Tunis, Ces patients ont bénéficié d'un examen clinique et d'un bilan métabolique comportant en particulier un dosage du Cholestérol Total, HDL, LDL, Triglycérides, ApoA,

Résultats: 20 % de la population étudiée, présentaient une ischémie myocardique silencieuse (IMS). Nous n'avons pas retrouvé de relation entre l'IMS et le mauvais contrôle glycémique. Nous avons retrouvé une corrélation positive significative entre respectivement les chiffres tensionnels diastoliques (p = 0,001), les chiffres tensionnels diastoliques (p = 0,007) et l'IMS. Les diabétiques ayant une IMS avaient un taux moyen d'HDL cholestérol significativement plus bas comparativement aux diabétiques sans IMS (p = 0,013). Il n'y avait pas de corrélation significative entre l'IMS et les taux élevés de cholestérol total, de LDL cholestérol et de triglycérides.

Conclusion: Le dépistage d'une IMS semble nécessaire chez tout patient diabétique dès la découverte de sa maladie. La prise en charge des facteurs de risque vasculaire réduit certainement la morbi-mortalité cardiovasculaire chez ces patients.

Keywords: Cœur

P0-67

La pression pulsée: l'élément clinique de mortalité au cours des syndromes coronariens aigus Pressure pulse: the element of clinical mortality in the acute coronary syndromes

F. BELHACHEMI, A. MEZIANE TANI

Service Cardiologie CHU Tlemcen, Tlemcen, Algeria

La relation entre la pression pulsée (PP) et les résultats cardio-vasculaires dans le syndrome coronarien aigu (SCA) n'est pas encore bien définie. Pour explorer la valeur pronostique de la PP initiale dans le SCA avec élévation du segment ST (IDM ST+) et sans élévation du ST. Au cours d'une période de 24 mois en 2011-2012, l'ensemble des patients hospitalisés pour SCA ont été répartis en cinq groupes en fonction des valeurs de la PP.

Résultats: La moyenne de la PP est faible chez les hommes que chez les femmes, le jeune contre l'âgé, STEMI vs NSTE-ACS et les patients qui sont décédés par rapport survécu. La plupart des patients ayant une faible PP ont un haut risque coronaire aigu par rapport à une valeur élevée de PP. Une faible PP a été associée à une mortalité élevée dans les SCA, des taux élevés de récidive d'ischémie dans NSTE-ACS. Les femmes ayant une faible PP ont un taux de mortalité plus élevé que les hommes.

Keywords: Cœur

P0-68

Le contrôle tensionnel chez l'hypertendu coronarien en consultation spécialisée à Blida (Algérie) Blood pressure control in hypertensive patients with coronary disease in the cardiology department of Blida (Algeria)

A. BACHIR CHERIF (1), M. TEMMAR (2), A. TALEB (1), A. CHIBANE (3),

- S. BENKHEDDA (4), A. BENETOS (5), M. BOUAFIA (1)
- (1) Service De Cardiologie CHU Blida, Blida, Algeria,
- (2) Centre De Cardiologie, Ghardaia, Algeria,
- (3) Service De Medecine Interne CHU Ain Taya, Ain Taya, Algeria,
- (4) Service De Cardiologie CHU Mustapha, Alger, Algeria.
- (5) Service De Geriatrie CHU Nancy, Nancy, France

Objectif: Évaluer le contrôle de la pression artérielle chez l'hypertendu coronarien suivi en consultation spécialisée d'hypertension artérielle (HTA) dans le service de médecine interne et de cardiologie du centre hospitalo-universitaire de Blida (Algérie).

Patients et méthodes: 1 785 patients hypertendus (PA > 140/90 mmHg et/o. traités pour HTA) ont été inclus, ayant une cardiopathie ischémique stable documentée (Infarctus du myocarde (IDM) et angor) et suivi pendant au moir. 2 ans. 3 mesures de pression artérielle (PA) ont été réalisées, la moyenne des deux dernières mesures a été retenue. Un patient est considéré contrôle si la PA sous traitement est < 140/90 mmHg. 81 % sont de sexe masculin, la moyenne d'âge pour les deux sexes est de 62 ± 13 ans. 67 % ont un antéce dent d'DM et 33 % angor. 88,7 % d'entre eux ont plus de 2 facteurs de risque et douve culaire associé à l'HTA : diabète 23 %, tabagisme 73 %, hyperche estéro émie (HCT) 34 %, obésité 47 %.

Résultats: Le contrôle de la PA systolique est de 57,5 % chez les patients avec IDM et 41.3 % chez les patients avec ang r (p 0, 01). Le contrôle de la PA diastolique est de 68,8 % chez les patients avec II M et 63,2 % chez les patients avec angor (p = 0,8). Chez les patients avec HC T, le contrôle de la PA est de 64 % chez les hypertendus sous statines avec 11 ft ix dc LDL < 1 g/l. Chez les patients hypertendus diabétiques, le ontrole de la PA est de 43,1 %. Chez les hypertendus obèses, le contrôle de la P. est de 72,4 %), un inhibiteur contrôlés reçoivent le plus souvent un bétabloquan 72,4 %), un inhibiteur de l'enzyme de conversion (80,2 %), un antagoniste des récoteurs de l'angiotensine II (44 %), un inhibiteur calcique (24 %) et un diurétique (13 %) sans différence significative entre les hypertendus contrôlés et non contrôlés. Plus de 95 % des patients hypertendus reçoivent une statine et un antiagrégant plaquettaire.

Conclusion : Le contrôle de la PA en consultation spécialisée est difficile en pratique en prévention secondaire. L'objectif fixé n'est atteint que chez 3 sur 10 hypertendus coronariens malgré l'intensification du traitement chez ces patients à haut risque. Il suggère la nécessité d'optimiser la prise en charge thérapeutique selon la recommandation des sociétés savantes et une formation médicale adaptée à ces résultats alarmants.

Keywords : Cœur

P0-69

Mechanoprotection of piezo1 by filamin A: role in pressure-dependent arterial remodeling Mécano-protection de piezo1 par la filamine A: rôle dans le remodelage artériel dépendant de la pression

K. RETAILLEAU, M. ARHATTE, R. PEYRONNET, M. JODAR, S. DEMOLOMBE, A. PATEL, F. DUPRAT, E. HONORE

(1) Institut De Pharmacologie Moléculaire Et Cellulaire, Labex Icst, Umr 7275 Cnrs, Université De Nice Sophia Antipolis, Valbonne, France

Inward eutrophic remodeling of resistance arteries occurs in response to hypertension. However, despite the potential great physiological and clinical significance of this mechanism, the molecular identity of the mechanosensor(s) involved has yet to be defined. Using a smooth muscle specific and inducible knock-out mouse model, we show that inactivation at the adult stage of filamin A, an actin cross-linking protein, induces a structural decrease in resistance arterial diameter by rearrangement of myocytes around a smaller lumen, despite a constant arterial pressure. In parallel, activity of non-selective cationic stretch-activated ion channels (SACs) in smooth muscle cells is dramatically increased upon filamin A inactivation. We show that SACs in arterial myocytes of resistance arteries critically depend on Piezo 1. Using a double filamin A/Piezo 1 knock-out mouse model, we are currently investigating whether increased SAC activity is responsible for arterial inward remodeling. Keywords: Vaisseaux

P0-71

Non invasive assessment of left ventricular filling pressures in a woman with hypertensive heart disease, diabetes and monicid obesity to optimize pharmacologic the rapy.

Optimisation du traitement médical guidé par l'évaluation non invasive des pressions de remplissage nez une patiente avec cardiopathie hypertens ve, diabete et obésité morbide

N.-N. ALI-TATAR CHENT'IR. N. CHAOUI, M. CHENTIR Cardiologie A1, CHU Must. pha. Algeria

Introduction: Despi a the efforts made in primary and second prevention, prevalence of hypertension liabeas and obesity is worsening in Algeria. Conversely our



Figure 1

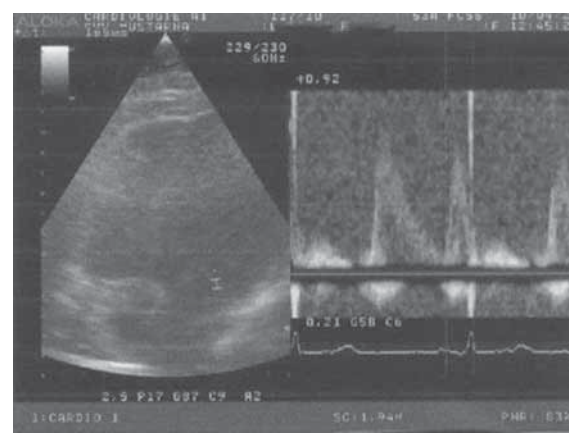


Figure 2

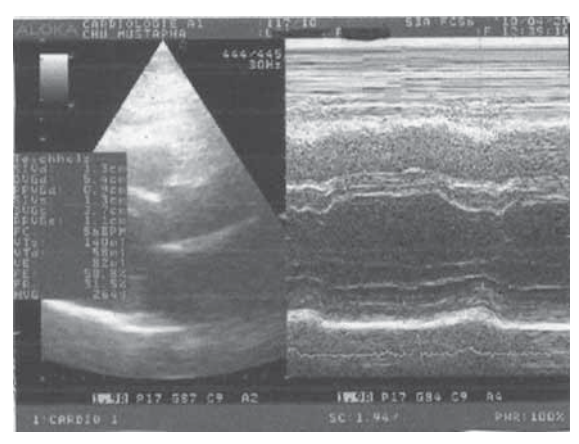


Figure 3



Figure 4



Figure 5



Figure 6

population continues to grore lifestyle advice on regular exercise, salt restriction and increased consultation of vegetables, fruits and fish. This is a case where cardiac heart failure occurs in an hypertensive, diabetic woman and bad diet.

Observation: A 53-year-old female was brought to our hospital for a transthoracic echocardiography (TTE) with the diagnosis of recent past of acute heart failure and pneumopathy. She presents a morbid obesity with a weight of 100kg for a size of 1.65m, her body mass index (BMI) was 37, blood pressure (BP) was 145/100mmHg and heart rate was 90 beats/min.Before echocardiography she was on 4mg of per adopril with 40mg of loop diuretic. A TTE was performed Two-dimensionally guided M-mode echocardiograms were recorded from the parasternal view to get day, such as the left atrial dimension, the interventricular septal and left ventricular posterior wall thickness, Doppler of mitral inflow, mitral annulus velocities and pulmonary venous flow were assessed according to EAE/ASE recommendations for diastolic dysfunction. The left ventricular function (EF) was preserved with an ejection fraction of 56% but the relative wall thickness 0.49 is moderately abnormal and present concentric hypertrophy regarding mass index>95 g/m². We observed in addition Left atrial enlargement, volume index of 41.23ml/m², a pseudo normal pattern with E/A ratio >1 and average of septal and lateral values E/E'ratio >13 at rest, predict elevated left ventricular filling pressures(LVFP). However the time difference between atrial reverse duration and mitral inflow atrial(A) velocity duration is less than 30 ms. Ultrasound of her carotid arteries has detected atheroma. Her treatment was switched to perindopril 8mg with indapamide, aspirine and statine with appropriate lifestyle changes.

Conclusion: The estimation of LV filling pressures in patients with normal EF is more challenging than in patients with depressed EF. The E/E ratio is among the most reproducible echocardiographic parameters in hypertensive and diabetic heart disease. Keywords: Imagerie

P0-72 Pathologie artérielle asymptomatique chez le donneur vivant de rein
Arterial disease in kidney living donors

B. ZANNAD, L. BEN FATMA, R. BEN DHIA, <u>L. RAIS</u>, R. KHEDHER, W. SMAOUI, M. KRID, S. BEJI, K. ZOUAGHI, F. BEN MOUSSA HÖDITAL LA RADTA. TUDIS. TUDISIA

Introduction: Le prélèvement de rein chez les donneurs vivants constitue la principale source de greffons dans notre pays, vu la pénurie de reins de cadavres. Afin de ne pas nuire aux donneurs, l'étude scannographique préopératoire du paquet vasculaire rénal est impérative et systématique afin d'éviter des complications vasculaires imprévues.

Patients et méthodes: Il s'agit d'une étude rétrospective concernant 96 donneurs vivants apparentés ont été explorés pour éventuel don de rein apparenté à des receveurs dialysés chroniques. Tous les donneurs ont bénéficié d'un examen clinique, biologique et radiologique comprenant échographie rénale et aniquoscanner abdominal. Nous rapportons 3 cas de pathologie vasculaire avérée, découverte fortuitement lors du bilan de don de rein.

Résultats: La Première observation: il s'agit d'une patiente de 28 ans, sœur du receveur, son examen clinique était normal avec une PA à 120/60 mmHg, un bilan inflammatoire négatif et une fonction rénale correcte. L'angioscanner rénal systématique a révélé une sténose serrée à l'origine de l'artère rénale gauche avec dilatation post anastomotique et rein diminué de taille. Cette donneuse a donc été récusée au don de rein.

La deuxième observation: il s'agit du père du receveur, âgé de 53 ans, tabagique avec un BMI à 30, l'examen clinique, la biologie étaient sans anomalies mais l'angioscanner a découvert une infiltration modérée étendue de l'artère rénale gauche sans sténose significative. Ce donneur a donc été récusé au don de rein.

La troisième observation : il s'agit d'une patiente de 60 ans, mère du receveur, n'ayant aucun facteur de risque cardio-vasculaire. L'angioscanner rénal a trouvé : 3 artères rénales gauches, une artère rénale droite, une veine de chaque côté, mais une discrète infiltration athéromateuse diffuse de l'aorte abdominale prédominant en sous rénale. Le rein droit a été prélevé chez cette donneuse de rein et les suites opératoires immédiates étaient simples. La fonction du greffon du receveur est normale. Le suivi de cette donneuse après un recul de 2 ans ne montre aucune anomalie de PA ni rénale.

Conclusions: Une évaluation multidisciplinaire des donneurs de rein incluant les chirurgiens cardio-vasculaire doit être systématique comme c'est le cas dans notre équipe. Cette étude précise au cas par cas permet de récuser le don en cas de risque surajouté au donneur ou de l'autoriser dans d'autres cas. Concernant la troisième observation, l'âge de la donneuse et la distalité des lésions athéromateuses par rapport à l'artère rénale, a permis d'autoriser le don de rein.

Keywords: Rein

P0-73

Place de l'hypertension artérielle et de l'hypercholestérolémie dans la survenue de l'artériopathie oblitérante (AOMI) des membres inférieurs chez le diabétique noir africain Place of hypertension and hypercholesterolemia in the development of arterial disease in black African diabetic

C. KONIN, A. ESSAM NLOO, A. ADOUBI, I. COULIBALY, R. N'GUETTA, B. BOKA, H. YAO, M. ADOH

Institut De Cardiologie D'Abidjan, Abidjan, Ivory Coast

Introduction : la survenue de l'AOMI chez le diabétique résulte d'un mécanisme multifactoriel

Méthodologie : étude prospective sur une période de 6 mois de novembre 2012 à avril 2013. Elle a concerné 308 diabétiques recrutés dans 3 centres de prise en charge de diabétiques de la ville d'Abidjan.

But : dépister l'AOMI des membres inférieurs chez le diabétique à l'aide de la mesure de l'index de pression systolique (IPS), et en rechercher les facteurs déterminant.

Résultats: Parmi les 308 patients, 68 (22,07 %) avaient un IPS inférieur a 0,9, donc porteurs d'AOMI. Avec une moyenne d'âge de 60,2 ans, le genre 'émini tetait dominant dans la population des porteurs d'AOMI (55,9 %). L. nc., nnc. é moyenne du diabète était de 9,6 ans et dans 97,1 % des ers, il s'agiss, it d'un diabète de type 2. Les facteurs de risque majeurs d'athéros. 'fros. ass ciés au diabète chez les porteurs d'AOMI étaient dominés par l'i 17A. '58,8 %), suivi par l'hypercholestérolémie (40,9 %), du tabagisme (29,4 %), et de l'obésité (23,9 %). Les déterminants de l'AOMI dans cette sopul tion de diabétiques étaient essentiellement l'HTA (58,8 % 1/2 3,6 %; CR 2,46 ; C95 %: 1,13-5,36; p = 0,034); et l'hypercholestérolémie (40,9 % 1/2 8,3 %, OR = 7,6 IC 95 %: 2,31-25,08; p = 0,0009)

Conclusion : l'HTA et l'hypercholestérolénie on été les facteurs prédictifs de survenue d'AOMI dans cette population de di bériques

Keywords: Vaisseaux

P0-74

Profil de l'âge vasculaire et risque cardiovasculaire des patients souffrant de cardiopathie ischémique dans les centres hospitaliers et universitaires de Lomé (Togo)

Profile of vascular age and cardiovascular risk in patients with ischemic heart disease in teaching hospital of Lomé (Togo)

M. PIO (1), Y. AFASSINOU (1), S. BARAGOU (2), E. GOEH-AKUE (1), S. PESSINABA (2), K. EHLAN (1), P. BADADOKO (1)

(1) CHU Sylvanus Olympio, Lomé, Togo,

(2) CHU Campus, Lomé, Togo

Objectif : calculer l'âge vasculaire des patients victimes de cardiopathies ischémiques et évaluer le risque de survenu d'un accident cardiovasculaire chez ces derniers.

Matériel et méthode : Il s'agit d'une étude transversale ayant inclus 116 patients coronariens hospitalisés de janvier 2010 à octobre 2012 dans les deux Centres Hospitaliers et Universitaires de Lomé (Togo).

Résultats : L'âge moyen réel de nos patients était de 51,14 ± 13,11 ans contre un âge moyen vasculaire de $67,65\pm17,04$ ans. Quarante-cinq virgule

sept pour cent étaient représenté par des femmes et $54,3\,\%$ étaient des hommes. Les cardiopathies ischémiques étaient représentées comme suit: cardiomyopathie

dilatée ischémique (59,6 %), syndrome coronaire aigu ST+ (23 %), syndrome coronaire aigu ST+ (11 %), cardiopathie ischémique non dilatée (6,04 %). L'écart entre la moyenne de l'âge réel et de l'âge vasculaire était élevé surtout chez les sujets d'âge inférieur à 60 ans. Cet écart était de 17ans. Parmi les patients, 30,17% avaient un risque supérieur ou égal à 20 de faire un accident cardiovasculaire à 10 ans tandis que 22,3 % avaient un risque supérieur ou égal à 30 de faire un accident cardiovasculaire. Les facteurs de risque étaient : le tabagisme (12,96 %), l'HTA (45,21 %), le cholestérol total (23 %), le diabète (13,67 %), le cholestérol HDL (21,05 %).

Conclusion : les cardiopathies ischémiques concernent des sujets relativement jeunes au Togo. Le risque de survenue des accidents cardiovasculaires était très élevé chez ces patients. Les facteurs de risque sont variés mais modifiables.

Keywords : Cœur

P0-75

Thrombose bilatérale des veines rénales associée à une embolie pulmonaire: à propos de deux cas Bilateral renal veins thrombosis associated with pulmonary embolism: about two cases

F. BENSIRADJ, <u>Y. SAADAOUI</u>, A. TEBAIBI*I*, M. BOUDJELLA, M. LAHCENE, L. BENZAGHOU, N. CHIALI, L. SA ADI, M. BIREM, N. OUMNIA, K. BOUDJELI, M. FISSAH

Hôpital Bachir Mentouri Kouba, Alger, Algeria

Introduction: La thrombose des veines rénales (TVR) associée à une embolie pulmonaire est rare, cependa it elle peut compliquer certaines affections, tel que le syndrome néphrotique. Vous vous rapportons deux cas Cas: 1: Mr. A.S, 51 ans, sans antécédents pre-ente les douleurs abdominales, amaigrissement de 15 kg, et dyspnée rade I. A.l' camen on note la présence d'œdèmes importants des membres inférit urs. La pression artérielle est normale. Protéinurie à 2,86 g/l, hypo a'bu nine nie à 12,6 g/l, hypercholestérolémie. D. Dimères élevés. Fonction rén le normale. L'angioscanner montre une embolie pulmonaire bilatérale inportante, une thrombose de la veine cave inférieure et une thrombose bil rérale des veines rénales. Bilan étiologique négatif. Biopsie rénale rév'l une glomérulonéphrite extra-membraneuse (GEM) d'allure primitive. Corticol érapie et immunosuppresseur plus hypo coagulation ont été initiés avec bon le évolution.

Ca:: 2: Mr.M.Y, 55 ans, HTA traitée depuis 3ans, présente depuis un an, un syr drome néphrotique associé à des douleurs lombaires. Pression artérielle a 140/90, œdèmes des membres inférieurs, insuffisance rénale avec clearance à 50ml/min. Protéinurie des 24H à 2 g/l, hématurie microscopique, hypo albuminémie à 19 g/l, hypercholestérolémie. Uro scanner complété par TDM thoraco abdominopelvienne révèlent la présence d'une TVR bilatérale et embolie pulmonaire. Bilan étiologique négatif. La biopsie rénale retrouve une GEM d'allure primitive. Traitement par corticoïdes, hypo coagulation, immunosuppresseurs. En cours d'évaluation.

Conclusion: La TVR bilatérale avec embolie pulmonaire est très rare. Elle peut survenir au cours d'une GEM et est souvent la conséquence d'une hypo albuminémie sévère. Le traitement est basé sur l'anti coagulation orale associée aux corticoïdes et aux immunosuppresseurs.

Keywords: Rein

P0-76

Une cardiomyopathie hypertrophique révélant la maladie de pompe chez un nourrisson Hypertrophic cardiomyopathy revealing in an infant in pomp disease

 $\underline{\mathsf{D.-D}}$ BATOUCHE, K. ELHALIMI, D. BOUMENDIL, H. BOUGUETTOF, M. NEGADI, Z. MENTOURI-CHENNTOUF

Service De Réanimation Pédiatrique CHU, Oran, Algeria

Introduction: Les glycogénoses sont des maladies de surcharge affectant le muscle seul ou plusieurs viscères secondaires à un déficit congénital des enzymes de la glycogénolyse. Le déficit musculaire et la cardiomyopathie sévère sont les signes principaux de la forme infantile. Notre but est de décrire la forme clinique de cette pathologie chez l'enfant.

Observation: Nous rapportons le cas d'un nourrisson de 3 mois, admis en réanimation pédiatrique en décembre 2012 pour un arrêt cardiaque suite à une détresse respiratoire aiguë, traité initialement pour une bronchopneumopathie obstructive au service de pédiatrie. Après intubation et ventilation, l'examen clinique retrouve un retard pondéral de

(-3DS), une hypotonie généralisée, un index cardiothoracique à 0,6, à l'ECG : une hypertrophie biventriculaire, un trouble de la repolarisation. L'échographie cardiaque montre une dilatation du VG, une Fraction d'Éjection Systolique de 50 %.

En 2010, son frère âgé le jour de son admission de 8 mois a été admis en réanimation pédiatrique dans le même tableau clinique avec une hépatomégalie. Son issue clinique était fatale, le diagnostic retenu était une cardiomyopathie primitive dilatée.

Apres une revue des 2 cas cliniques de la même parenté, nous axons le diagnostic sur une glycogénose à expression musculaire et cardiaque et nous évoquons la maladie de pompe et dont le diagnostic a été confirmé tardivement par le dosage d'une activité alpha glucosidase qui est revenue basse (4.8 pmol). En absence d'un traitement substitutif, l'évolution était fatale à j8 d'hospitalisation.

Discussion : Les glycogénoses sont des maladies héréditaires rares dues à une anomalie du métabolisme du glycogène, affectant sa synthèse, sa dégradation, son utilisation dans la glycolyse, ou bien son métabolisme lysosomal. Sa fréquence est évaluée entre un sur 150 000 naissances, toutes formes confondues.

Les glycogénoses à expression musculaire et cardiaque les plus fréquentes sont le déficit en myophosphorylase (type V, maladie de McArdle) et la maladie de Pompe (déficit en maltase acide lysosomal, type II), qui est particulièrement sévère dans sa forme infantile. Il est désormais possible de confirmer très simplement le diagnostic par un dosage de l'enzyme sans avoir à pratiquer une biopsie musculaire.

Le traitement repose sur l'enzymopathie substitutive (alglucosidase alpha) commercialisée en Europe depuis 2006 (1) et dont les résultats observés chez certains patients étaient spectaculaires, avec régression de la cardiomégalie et souvent acquisition de la marche (2)

Conclusion : La maladie de pompe est à évoquer devant des troubles neuromusculaires et une cardiomyopathie hypertrophique

References: 1-Winkel LP: Ann Neurol 2004; 55:495-502. 2-Kishnani: Pediatr Res 2009: 66(3):329-35

Keywords: Génétique

P0-77

Une cardiomyopathie restrictive révélatrice d'une amylose: à propos d'une observation A revealing restrictive cardiomyopathy of an amylose: about an observation

S. BOUGHANDJIOUA, S. ALI-GUECHI, H. CHEMMI, S. MOUMANI, N. BOUKHRIS, A. CHELGHOUM

CHU Ibn Sina, Annaba, Algeria

Introduction: Les cardiomyopathies restrictives (CMR) sont les plus rares des cardiomyopathies.

Parmi les étiologies de celles-ci nous citons l'amylose : qui réalise une maladie rare et se caractérise par la présence en intra et extracellulaire de protéines fibrillaires disposées en feuillets plissés. Elle est fréquente après l'âge de 60 ans avec une prédominance masculine: l'amylose cardiaque est la manifestation la plus grave.

Observation: Nous rapportons l'observation d'une patiente âgée de 44 ar s, qui a présenté le tableau d'une insuffisance cardiaque progressive avec à l'ECG un micro voltage et des troubles de la repolarisation diffus avec ondes Q de pseudo-nécrose en antéroseptale et à l'échocardiographie une hypertrophie concentrique du VG, des parois épaissies, d'aspect infiltré et granité, avec un profil de remplissage restrictif. Le diagnostic d'amylose a été retenu après biopsie rectale.

Le traitement était symptomatique à base de diurétiques, mais l'évolution s'est faite vers l'insuffisance cardiaque réfractaire, puis le décès ce la parlente.

Conclusion : L'originalité de notre observation ré ide dans le fait que l'amylose cardiaque est rare chez la femme d'une part et sa presentation clinique particulière d'autre part.

Keywords : Cœur

P0-78

Une CEC qui tourne mal, le syndrome inflan mato re systémique post CEC à propos d'un cas clinique post triple pontage aorto-coronaire A CEC gone wrong, systemic inflammatory syndrome post CEC about a clinical case of triple post-coronary artery bypass

R. DJEBBAR, A. BENMERZOUGA, M. AIT ATHMANE

CHU Annaba, Annaba, Algeria

Le syndrome inflammatoire systémique post circulation extra corporelle est une réponse cellulaire et humorale observée au décours de la chirurgie cardiaque notamment avec une CEC, elle est rapide, généralisée et non spécifique.

Chez la plupart des patients, cette réponse inflammatoire est non seulement utile, mais nécessaire pour la cicatrisation et la prévention des infections post opératoires, cependant son inadaptation peut entrainer un syndrome inflammatoire généralisé (SIRS) d'intensité variable pouvant être grave et même fatal.

Nous tentons dans cette observation médicale de Monsieur A. A, hospitalisé en cardiologie après un triple pontage aorto-coronaire, ceci dans un tableau de défaillance multi-viscérale, de décrire les principales manifestations clinicobiologiques de ce syndrome aussi polymorphe qu'il peut être et dont l'aspect thérapeutique reste un sujet de débat des plus actuels.

Keywords: Cœur

P0-79

Une hypertension artérielle récente suivie d'une ischémie digitale révélant une maladie de Takayasu A recent high blood pressure followed by a digital ischemia revealing Takayasu disease

A. SAÏ, D. MAALEM, B. BENLAHCEN, R. HAOUES, S. ROUABHIA CHU Benflis Touhami, Batna, Algeria

La maladie de Takayasu est une aorto-artérite chronique non spécifique, d'étiologie inconnue, qui affecte les vaisseaux de gros calibre avec une prédilection pour l'aorte, ses principales branches mais également les artères pulmonaires et les artères coronaires

Elle est responsable de la constitution de sténoses, d'occlusions et plus rarement d'anévrismes.

Nous rapportons ici le cas d'une patiente âgée de 43 ans chez qui un diabète et une hypertension artérielle avaient été diagnostiqués il y a un mois. Elle avait installé brutalement des douleurs de l'index gauche motif de son hospitalisation dans notre

A l'interrogatoire on retrouve la notion de claudication du membre supérieur gauche depuis quelques semaines et l'examen clinique retrouve une froideur et une cyanose de l'index gauche avec abolition du pouls radial gauche et un pouls huméral gauche difficilement palpable. Le d'agnostic d'une ischémie digitale aigue fût posé et un traitement par héparinothé rapie avait été instauré. Le doppler artériel retrouve des signes d'ischémie et l'angios canner du membre supérieur gauche retrouve un épaississement inflam nato re de l'artère sous-clavière, humérale et une sténose de l'artère radiale.

Devant l'association de 3 criteres de l'ACR le diagnostic de maladie de Takayasu fût posé, un traitement par corticoïde à la dose de 1 mg/Kg/J avait été instauré. L'évolution était favoral e 2 ec lisparition des signes d'ischémie.

Les mécanismes de l'HTA au cours de la maladie de Takayasu sont nombreux : la plus fréquente c'est l'HTA rénovasculaire, le doppler des artères rénales était sans particularité chez cette patiente.

D'autres m'can mes peuvent expliquer cette HTA, tel que la sténose de l'aorte susrénale, une hy pose siblité des barorécepteurs du sinus carotidien aux changements de position probablement secondaire à une induration de la paroi artérielle, une diminution de la compliance aortique, une augmentation des résistances per phériques, une diminution du flux sanguin cérébral. Une association fortuite entre l'TA essentielle et maladie de Takayasu n'est pas à exclure chez notre patiente. Keywords: Vaisseaux

P0-80

Validation study of the pOpmètre® a novel device to measure arterial stiffness using the finger-toe pulse wave velocity

Étude de validation d'un nouvel appareil de mesure de la rigidité artérielle : pOpmetre® utilisant la vitesse de l'onde de pouls doigt-orteil

M. HALLAB (1), P. VO-DUC (2), V. VIGNON (2), E. BOZEC (3), H. KHETTAB (2), O. HANON (4), P. BOUTOUYRIE (2), S. LAURENT (2)

- (1) Gerontology Department, Nantes University, Nantes, France,
- (2) Inserm U970, AP-HP, Université Paris-Descartes, Paris, France,
- (3) Cic-Inserm Hôpital Vandoeuvre Les Nancy, Nancy, France, (4) Hôpital Broca De Paris, Paris, France

Background: Finger-toe pathway could represent a good alternative to assess the arterial stiffness conveniently. The aim of this study is to evaluate the accuracy of the pOpmètre (Axelife sas - France) a new device that measures finger-toe pulse wave velocity (ft-PWV).

Methods: The pOpmètre® has 2 photodiodes sensors, positioned on the finger and on the toe, next to the pulp artery. Pulse waves were recorded continuously for 20 sec, and the difference (Dtf) between the toe pulse wave transit times (PWtt) and the finger PWtt was calculated. The travelled distance was based on subject's height. Study 1 compared the ft-PWV to the carotid-femoral PWV (cf-PWV) obtained by the reference method SphygmoCor in 86 subjects (53±20 yrs) including 69 patients with various pathologies and 17 healthy normotensives.

Study 2 compared the changes of ft-PWV and cf-PWV during a dynamic test in 10 healthy subjects. Study 3 studied the repeatability of the device in 40 patients. Results: ft-PWV correlated significantly with cf-PWV (r2=0.43, p<0.0001).

The better correlation was found in terms of transit time (r²=0.6, p<0.0001). The discrepancy between the transit times was related with age. The Dtf also correlated with the transit time at lower limbs. During dynamic changes induced by cold pressor test, both cf-PWV and ft-PWV gave similar patterns, with increase following by a decrease PWV during recovery. The intra-session repeatability was very good 6,6 %.

Conclusion: pOpmètre® may be a promising device to assess and follow up the arterial stiffness in routine clinical practice. Further studies are needed to adjust the bias and to validate the pOpmètre in larger populations.

Keywords: Vaisseaux

ÉPIDÉMIOLOGIE

P0-81

Caractéristiques et prévalence de facteurs de risque cardiovasculaire chez les sujets âgés hypertendus en consultation spécialisée à Blida (Algérie) Characteristics and prevalence of cardiovascular risk factors in ederly hypertensive patients in the cardiology department of Blida (Algeria)

A. BACHIR CHERIF (1), M. TEMMAR (2), A. CHIBANE (3), S. BENKHEDDA (4), N. BENFENATKI (5), A. BENETOS (6), M. BOUAFIA (1)

- (1) Service De Cardiologie CHU Blida, Blida, Algeria,
- (2) Centre De Cardiologie, Ghardaia, Algeria,
 (3) Service De Medecine Interne CHU Ain Taya, Ain Taya, Algeria,
- (4) Service De Cardiologie CHU Mustapha, Alger, Algeria,
- (5) Service De Medecine Interne CHU Rouiba, Rouiba, Algeria (6) Service De Geriatrie CHU Nancy, Nancy, France

Objectifs : Analyse des paramètres cliniques, biologiques et thérapeutiques de l'hypertension artérielle (HTA) du sujet âgé.

Matériels et méthodes : C'est une étude descriptive, rétrospective, portant sur tous les sujets âgés de 65 ans et plus, sous traitement anti-HTA et suivis au niveau de l'unité de consultation d'HTA du service de médecine interne et de cardiologie du CHU de Blida durant la période du 01 juin 2011 au 01 juin 2013, sur une population hypertendue ayant inclus 782 sujets. Toutes les données anthropométriques ont été noté, tour de taille, poids, la taille, index de masse corporel), avec recherche d'une intoxication tabagique (arrêt, poursuite). Un examen clinique complet ainsi qu'un bilan biologique ont été réalisés. Toutes les complications cardiovasculaires, neurologiques et rénales documentées ont été recherchées. Étude de l'efficacité des différentes classes thérapeutiques anti-hypertensives au moment de l'étude dans cette population. Tous les calculs et analyses statistiques sont traités par le logiciel SPSS 17.0. Résultats: 90% des patients ont un âge moins de 77 ans. Il n y a pas de différence entre les hommes et les femmes avec un sexe ration de 1,11 (49 % H versus 51 % F). La prévalence du diabète est de 29% dont 91.3% ont un diabète de type 2. La prévalence du tabac est de 15 %. 20,3 % des sujets de l'étude ont une hypercholestérolémie au moment du diagnostic de l'HTA. La prévalence de l'hypoHDLemie est de 41 %. La prévalence de l'hypertriglycéridemie est de 49 %.La prévalence du surpoids est de 40 %, celle de l'obésité est de 23 %. 21 % des sujets hypertendus ont un bilan rénal perturbé (créatinine sanguine>13 mg/l et microalbuminurie supéricu e à 30 mg/24 h). Plus de 48 % des sujets ont une HTA grade 2 sous traitements antihypertenseurs. Les principales complications cardiovasculaires constatées sont : l'accident vasculaire cérébral dans 19 %, l'insuffisance cardiaque dans 14 %, l'infarctus du myocarde dans 11 %, l'insuffisance rénale dans 8 %, la différence est très significative (p<0,001). 56 % sont sous bithérapie, 28 % sous trithérapie et 16 % sous monothérapie. Seulement 27 % sont bien contrôlés sous traitement.

Conclusion : L'HTA du sujet âgé est caractérisée par l'association très fréquente avec les autres facteurs de risque (FDR) notamment le dia ète, la dyslipidémie et la sédentarité. L'AVC est la complication la plus redout ble. Le contrôle de l'HTA reste insuffisant pour cette tranche d'âge à très haut risque cardiovasculaire. Une prise en charge soigneuse des FDR et l'équilibre des chiffres de PA sont recommandés.

Keywords: Vaisseaux

P0-82

Corrélation entre la surcharge pondérale, et l'évolution périnatale dans le diabète gestationnel Correlation between overweight and perinatal evolution in gestational diabetes mellitus

S. MIMOUNI (1), N. CHERFI (2), N. SMAIL (3), A. BOUDIBA (1)

- (1) Service De Diabétologie, CHU Mustapha, Alger, Algeria
- (2) Service De Gynécologie_obstétrique, CHU Mustapha, Alger, Algeria,
- (3) Service Épidémiologie, CHU Mustapha, Alger, Algeria

Objectifs : Evaluation de la corrélation entre la surcharge pondérale et le déroulement de la grossesse et de l'accouchement et ses répercussions sur le devenir de la mère et de l'enfant.

Patientes et méthodes: Il s'agit d'une étude prospective durant 2 années. L'étude a porté sur 100 diabètes gestationnels suivies en consultation de diabétologie et sont prises en charge durant toute la grossesse. Elles sont classées en 2 groupes l'un dont le BMI < 25 kg/m² et le second dont le BMI > 25 kg/m² et les 2 groupes sont comparés. Les paramètres étudiés sont l'âge, le BMI, le contrôle glycémique et tensionnel. La date et le mode d'accouchement, la mort in utero, les complications néo-natales telles que l'hypoglycémie, le décès, la nécessité d'une réanimation et autres complications ont été étudiées.

Résultats: Parmi les diabètes gestationnels de l'étude, 36 gestantes du groupe 1 ont un BMI < 25 kg/m² soit 46 % et 64 du groupe 2 ont un BMI > 25 kg/m² soit 64%. Sous traitement, les objectifs tensionnels sont atteints chez 39% des patientes du groupe 1 et 27 % des patientes du groupe 2. On ne retrouve pas de corrélation significative entre l'équilibre glycémique obtenu et la normalisation de la pression artérielle. L'âge est plus avancé dans le groupe 2 en surpoids par rapport au groupe 1. Les patientes diabétiques en surpoids avant la grossesse ont un gain pondéral plus important (moyenne : 15,8 kg). L'accouchement par césarienne est plus fréquent dans le groupe 2 que dans le groupe 1 sans différence de terme entre les 2 groupes. Les complications néonatales (mortalité, réanimation) ne sont significativement pas corrélées à la surcharge pondérale, en dehors de la macrosomie.

Conclusion : Bien que la surcharge pondérale associée au diabète soit souvent pourvoyeuse de complications périnatale, dans notre étude, les complications néonatales ne sont pas corrélées à une surcharge pondérale. Toutefois, l'âge et la macrosomie sont corrélés au surpoids et constituent eux même des facteurs de risque du diabète gestationnel, il est donc recommandé de les prévenir par une meilleure hygiène de vie et de dépister tôt le diabète gestationnel chez les femmes enceintes ayant un surpoids afin de mieux les surveiller et prévenir ainsi la macrosomie.

Keywords: Hormones

P0-83

Dépistage de l'asthme d'effort chez des enfants scolarisés de la ville d'Annaba Prevalence rate of exercice-induced bronchoconstriction in Annaba (algeria) schoolchildren

Y. BOUCHERIT, H. MEHDIOUI, Z. KHELIFI, H. NOUI, Y. BENARAB-BOUCHERIT

Universite Badii Mokhtar Faculté de Médecine Annaba Algeria (2) Université Mentouri Faculte De Médecine, Constantine, Algeria,

(3) Universite Badji Mokhtar Faculté De Médecine, Annaba, Algeria,

(4) Universite Badji Mo'untar Faculté De Médecine, Annaba, Algeria

L'asthme est une des pathologies respiratoires les plus fréquentes au monde chez les adolescents de 13-14 ns (10à 15 %), sa composante liée à l'effort est l'une des plus fréquentes des cormes infantiles de l'asthme

L'Objectif procipal de cette étude est le dépistage de l'AIE chez des enfants scolarisés de 6° année de la ville de Annaba dont l'environnement serait asthmogéne pa deux moyens : Débit mètre de pointe et Test de course libre. Les valeurs obtenues par le Débit mètre de pointe sont comparées aux valeurs théoriques selon a courbe GODFREY.

Il s'agit d'une étude épidémiologique prospective de type transversal réalisée dans classes de 6éme année de la commune d'Annaba sur un échantillon représentatif obtenu par un sondage en grappe et stratifié sur la taille des écoles. L'échantillon tiré au sort est constitué de 254 élèves pour 17 classes. Les élèves ont répondu à un questionnaire inspiré de celui utilisé dans l'enquête ISAAC pour définir les enfants porteurs d'asthme. Les élèves ont réalisé une épreuve d'effort en extérieur (course libre de 6min) et la fonction ventilatoire a été mesurée par un débit mètre de pointe. Le taux de participation s'élève à 89,65 %.

Ce travail a permis de retrouver une prévalence de l'AIE chez les enfants scolarisés de 6e année de 12,9 % qui n'étaient pas connus comme asthmatiques, il s'agit d'AIE dépistés. Par ailleurs, cette étude a retrouvé une prévalence de l'AIE chez les élèves asthmatiques de 3,1 %.ce qui amène l'AIE global à 16,1 % (IC 95% :12,2-20,40)

L'AIE est une pathologie sous diagnostiquée puisque plus de 80.4% des AIE sont apparus chez des enfants non connus comme asthmatiques.

Des études épidémiologiques de prévalence de l'AIE, montrent une augmentation au cours des 20 dernières années. L'AIE demeure une pathologie sous diagnostiquée et peu de recherches se sont intéressés à ce sujet en Algérie

Des recommandations seraient nécessaires auprès :-Des unités de dépistage et de suivi scolaire pour l'utilisation d'un débit mètre de pointe associé à un test de course libre de 6min chez des enfants -préadolescents prédisposés

La prévalence de L'AIE dépistés de cette étude est un peu plus élevée que celle retrouvée dans d'autres études utilisant le même protocole, celle-ci pourrait être liée d'une part à des variations dans la définition de la maladie, d'autre part à une augmentation de la prévalence de certaines pathologies atopiques et à des facteurs polluants

Keywords: Hémodynamique

P0-84

Distribution des facteurs de risque cardiovasculaire chez les hypertendus traités en consultation

Distribution of cardiovascular risk factors in treated hypertensive patients in the cardiology department of Blida (Algeria)

A. BACHIR CHERIF (1), M. TEMMAR (2), A. CHIBANE (3),

- S. BENKHEDDA (4), L. ATIF (5), M. BOUAFIA (1)
- (1) Service De Cardiologie CHU Blida, Blida, Algeria,
- (2) Centre De Cardiologie, Ghardaia, Algeria,
- (3) Service De Medecine Interne CHU Ain Taya, Ain Taya, Algeria, (4) Service De Cardiologie CHU Mustapha, Alger, Algeria, (5) Service Épidémiologie CHU Blida, Blida, Algeria

Objectifs: Déterminer la prévalence de l'hypercholestérolémie (HCT) (>2,40 g/l ou traitement), du diabète (glycémie à jeun >1,26 g/l ou traitement), de l'obésité (BMI>30 kg/m²), de l'obésité abdominale (tour de taille>102 cm chez l'homme, >88 cm chez la femme), du tabagisme (sevrage datant de moins d'un an) et leur degré d'influence en fonction de leur présence ou de leur absence sur les hypertendus traités.

Matériels et méthodes : C'est une étude transversale réalisée entre janvier 2011 et Juin 2013, sur une population hypertendue suivie en consultation spécialisée d'hypertension artérielle (HTA) du centre hospitalo-universitaire de Blida (Algérie) ayant inclus 2231 sujets âgés entre 25 et 80 ans. Toutes les données anthropométriques ont été noté (tour de taille, poids, la taille, index de masse corporel) ainsi que l'intoxication tabagique (arrêt, poursuite). Un examen clinique complet ainsi qu'un bilan biologique ont été réalisé. Des tests statistiques Khi 2, t-student avec analyse de la variance ont été utilisés pour comparer l'ensemble des paramètres. Tous les calculs et analyses statistiques ont été réalisé par logiciel SPSS

Résultats: La prévalence de l'HCT était de 18,2%, du diabète de 25,6 %, de l'obésité abdominale de 34,3 %, de l'obésité de 30.1%, du tabagisme de 11%. En fonction des facteurs de risque, la prévalence de l'HTA est de 67 % en cas d'obésité, de 61% en cas d'obésité abdominale, de 52 % en cas d'HCT, de 46 % en cas de diabète, de 40,3 % en cas de tabagisme. La prévalence de l'HTA est significativement plus élevée chez les femmes que chez les hommes (p<0,001). La prévalence de l'HTA est de 51 % en l'absence d'obésité, de 43,3 % en l'absence d'obésité abdominale, de 40,7 % en l'absence d'HCT, de 29 % en l'absence de diabète, de 18 % en l'absence de tabagisme. La différence est très significative (p<0,001).

Conclusion : L'obésité et l'obésité abdominale augmentent significativement la prévalence de l'HTA par rapport aux autres facteurs de risque. L'existence de l'obésité chez les hypertendus traités s'accompagne d'un risque cardiovasculaire accru et d'un contrôle tensionnel difficile. Ce qui rend indispensable une stratégie de lutte contre ce facteur prédisposant, pour diminuer la survenue des complications, particulièrement dans les pays en voie de développement, qui ne disposent pas des moyens nécessaires et suffisants.

Keywords: Vaisseaux

P0-85

Évaluation de l'obésité et des dyslipidémies chez des sujets hypertendus dans une population de Sidi Bel Abbes (Algérie) Obesity and dislipidemia evaluation on hypertension subjects

F.-Z. HAMZA CHERIF (1), L. MRABET (2), K. FARHAOUI (3), F. BELMATI (3), L. HOUTI (1)

- (1) Faculté De Médecine. Université De Sidi Bel Abbès, Sidi Bel Abbès, Algeria,
- (2) Epsp De Sidi Bel Abbès, Sidi Bel Abbès, Algeria,
- (3) Faculté Des Sciences. Université De Sidi Bel Abbès, Sidi Bel Abbes, Algeria

Introduction : L'hypertension artérielle est aujourd'hui une maladie qui touche nombreux algériens, elle constitue la première cause de mortalité et de morbidité en Algérie. La fréquence de cette pathologie a été étay : par u ne étude réalisée par la société algérienne de cardiologie à 35%, et ceci a u cours des dernières journées médicales de cardiologies. L'objectif de ce travail est d'evaluer l'association de l'obésité et des dyslipidémies chez des sujets hypertendus.

Matériel et Méthode : une étude rétrospecture port nt sur une durée de un mois, a été menée sur les cas de sujets hypertendus suivis au niveau de la Maison du Diabétique de la Wilaya de Sidi Bel Abbès.

Résultats: Au total, 289 parients hypertendus ont été répertoriés (M/F : 98/191) avec un âge moyen de 62,1±10,7 ans. L'indice de masse corporel (IMC) est de 28,3±4,2 kg/m² chez les hommes vs 30,0±4,4 kg/m² chez les femmes (p<0,001). 55,1% des hommes sont en surcharge pondérale et 49,2 % des femmes sont obèses (p<0,001). L'obésité définit selon IDF est présente chez 66,3 % des hommes vs 94% des femmes (p<0,000), l'obésité selon NCEP-ATPIII est observée chez 36,7 % des hommes vs 77,7 % chez les femmes (p<0,000), l'hypertriglycéridémie est observée chez 60 % des sujets hypertendus avec aucune différence significative entre les femmes et les hommes (p<0,298), le cholestérol HDL bas est diagnostiqué chez 33 % des sujets hypertendus (p<0,327).

Conclusion: l'hypertension est très élevée dans la population algérienne, elle est souvent associée à d'autres maladies métaboliques tels l'obésité, l'hypertriglycéridémie et le cholestérol bas. Un programme national doit être mis en place, l'objectif principal est de réduire la fréquence de l'hypertension mais aussi les autres maladies métaboliques associées.

Keywords: Autre

P0-86

Prévalence de l'hypertension artérielle dans le diabète gestationnel Prevalence of hypertension in gestational diabetes

S. MIMOUNI (1), N. SMAIL (2), N. CHERFI (3), M. DERGUINI (3), A. BOUDIBA (1)

- (1) Service De Diabétologie, CHU Mustapha, Alger, Algeria.
- (2) Service D'Épidémiologie, CHU Mustapha, Alger, Algeria,
- (3) Service De Gynécologie-Obstétrique, CHU Mustapha, Alger, Algeria

Objectifs : Évaluation de la fréquence de l'hypertension artérielle chez les patientes diabétiques comparées à des témoins et les autres facteurs de risque. Évaluer les conséquences périnatales.

Patientes et méthodes : Il s'agit d'une étude cas-témoins portant sur 150 diabètes gestationnels comparés à 300 témoins. Elles sont contrôlées durant la grossesse sur le plan tensionnel et métabolique. Elles sont classées en 4 groupes, les diabétiques sans hypertension artérielle (n=129), les diabétiques hypertendues (n=21) et les témoins avec et sans hypertension artérielle.

Résultats: Parmi les diabétiques, l'âge avancé, les antécédents de surcharge pondérale la multiparité sont significativement plus fréquents par rapport aux témoins. 21 diabétiques sont hypertendues (14 %) versus 20 témoins (6,7 %). Les moyennes de pression artérielle sont significativement plus élevées chez les diabétiques par rapport aux témoins. Les objectifs tensionnels sont atteints chez 40 % des témoins versus 19 % des diabétiques. On ne retrouve pas de corrélation entre l'équilibre glycémique obtenu et la normalisation de la pression artérielle.

Les conséquences périnatales (césarienne, mortalité, réanimation) sont significativement plus élevées chez les diabétic les hypertendues par rapport aux témoins.

Conclusion : L'hypertension artérielle de mên e que le diabète sont pourvoyeuses de complications périnatales.

La fréquence de l'hypertension artérielle est plus élevée chez les diabétiques par

Les complications périnatales sont d'autant plus fréquentes que ces 2 pathologies s'associent

Il convient de pré enir, le dép ter voire d'équilibrer au mieux ces perturbations métaboliques durant la grossesse afin d'éviter ces conséquences à court terme mais aussi à plus long terme, étant maintenant admis que le diabète gestationnel prédispose au diabète de type 2 et que ce dernier est fréquemment associé à l'hypertension artérielle.

Keywords: Mesure De La T.A.

P0-87

Prévalence du surpoids et de l'obésité, et distribution du tour de taille chez des adultes et des enfants de quatre territoires français d'Outremer. L'enquête podium

The prevalence of overweight and obesity, and distribution of waist circunference, in adults and children in the French overseas territories: the podium survey

A. ATALLAH (1), V. ATALLAH (2), J. DAIGRE (3), J. BOISSIN (4),

P. KANGAMBEGA (5), J. INAMO (6)

- (1) Service De Cardiologie; Ch De Basse-Terre, Basse-Terre, Guadeloupe,
- (2) Service De Cardiologie, CHU Pitié-Salpêtrière, Paris, France,
- (3) Service De Médecine Interne-Diabétologie, Saint-Laurent Du Maroni, French Guiana,
- (4) Service De Diabétologie, Ch De Ppeete, Papeete, French Polynesia, (5) Pôle Soins De Suite, Pied Diabétique, Pointe À Pitre, Guadeloupe,
- (6) Service De Cardiologie, Fort De France, Martinique

Objectif :-Décrire la prévalence du surpoids (excluant l'obésité), de l'obésité chez les enfants et les adultes, au sein de la population de Guadeloupe, Martinique, Guyane et Polynésie, ainsi que décrire la distribution du tour de taille.

Patients et méthodes :-La méthodologie de cette enquête a été conçue pour établir un échantillon représentatif de la population (600 adultes=>15 ans, 300 enfants cinq à 14 ans) dans chacun des Territoires.

Résultats:-Chez les enfants, de légères différences ont été observées entre territoires pour la prévalence du surpoids (excluant l'obésité) définie selon l'International Obesity Task Force (IOTF): Guadeloupe (15,4 %), Martinique (17,0 %), Guyane (13,2 %) et Polynésie (17,2 %), P=0,49. Des différences significatives plus importantes sont observées pour l'obésité, respectivement 7,2 %, 7,7 %, 5,4 % et 15,9 %, (P<0,002). Chez les adultes, les prévalences d'obésité diffèrent également selon les territoires : 22,9 %, 22,0 %, 17,9 %, et 33,1 % en Guadeloupe, Martinique, Guyane et Polynésie, respectivement (après ajustement sur l'âge et sexe P<0,001). De même, les prévalences de surpoids excluant l'obésité se répartissent de facon homogène entre territoires : les valeurs correspondantes sont respectivement 31,7 %, 33,6 %, 30,3 %, et 34,4 %, (ajustement sur l'âge et sexe P=0,43). Le tour de taille est plus élevé en Polynésie que dans les autres territoires, dans les deux sexes, chez les enfants et chez les adultes.

Conclusion : Il existe des différences dans la prévalence de l'obésité entre les territoires, alors que les prévalences de surpoids excluant l'obésité sont plus homogènes. Les valeurs d'obésité les plus élevées sont observées en Polynésie, chez les femmes, et chez les enfants. Le besoin de programmes de prévention dans ces populations est urgent, surtout chez les enfants, pour éviter la morbidité associée à l'obésité.

Keywords: Autre

Prévalence du syndrome métabolique chez les P0-88 diabétiques

Prevalence of metabolic syndrom in diabetics

S. MIMOUNI, A. MEFTAH, H. BAGHOUS, K. OUERDANE, A. BOUDIBA Service De Diabétologie, CHU Mustapha, Alger, Algeria

Objectifs: Évaluation de la fréquence du syndrome métabolique dans la population diabétique d'Alger

Étude de la fréquence des paramètres du risque cardio-vasculaire retrouvés dans cette population selon la classification de l'OMS.

Patients et Méthodes: Il s'agit d'une étude portant sur 400 malades diabétiques de type 2 hospitalisés dans le service durant 3 années. L'étude de la fréquence du syndrome métabolique s'est faite selon la définition OMS. Les paramètres étudiés sont: le sexe, l'âge, l'ancienneté du diabète, l'hypertension artérielle, les désordres lipidiques et les complications dégénératives. La répartition selon l'équilibre glycémique, le traitement prescrit.

Résultats : La fréquence du syndrome métabolique dans notre étude=65,5 % ; on retrouve une prédominance féminine à 62 % pour 38% d'hommes. 64 % des patients sont âgés entre 43 et 68 ans dont 36 % ont 10 à 15 ans de durée du diabète ; $58\,\%$ sont mal équilibrés avec une HbA1c >7 %. 74 % parmi eux sont obèses et 75 % ont une hypertension artérielle.

Conclusions : Le syndrome métabolique est une association de facteurs de risque cardio-vasculaires. Outre cet état d'insulino-résistance fréquent dans diabète de type 2, des facteurs autres lui confère une origine multifactorielle. Il est plus fréquent chez la femme et le diabète ancien. Dans toute consultation adulte, la recherche des paramètres du syndrome métabolique est nécessaire pour permettre une prise en charge thérapeutique la plus précoce possible de cette population à risque.

Keywords : Autre

P0-89 Relation entre pression artérielle, facteurs métaboliques et statut pondéral chez l'enfant de 11 à 15 ans en Guadeloupe Relationship between blood pressure, weight status

and metabolic factors in children 11 to 15 years in Guadeloupe

C. RAMBHOJAN (1), J. CLEPIER (2), J. PLUMASSEAU (3),

- J. MESSONNIER (4), L. FOUCAN (5)
- (1) Recherche Clinique. CHU, Pointe-À-Pitre, Guadeloupe,
- (2) Réseau Grandir, Les Abymes, Guadeloupe,
- (3) Centre D'examens De Santé, Agrexam, Pointe-À-Pitre, Guadeloupe, (4) Centre D'examens De Santé, Agrexam, Pointe-À-Pitre, Guadeloupe,
- (5) Groupe De Recherche-Epidémiologie Clinkique Et Médecine. CHU, Pointe À-Pire,

Contexte : L'insulino-résistance est fréquente chez l'enfant o èse. Elle oue un rôle dans le développement de l'hypertension artérielle (HTA). La recherche de facteurs de risque cardio vasculaire chez l'enfant en surpoids est une priorité car, il est maintenant admis que ces facteurs, présents précocement, ont un impact majeur sur le développement de l'athérosclérose et des maladies cardi vasculaires.

Objectif: Etudier les relations entre pression acterielle moyenne (PAM), statut pondéral et facteurs métaboliques chez des enfants scolarisés en Guadeloupe. Méthode: Étude transversale réalisée chez ³ group ^s (G) d'enfants avec : indice de masse corporelle (IMC)<IOTF-25 (G1)/IMC . IOTI -25 et<IOTF-30(G2 surpoids)/ IMC ≥IOTF-30 (G3 obèses). La PAN était définie par : (pression systolique + la pression diastolique)/2. La régression lineaire a été utilisée pour l'analyse statistique. Résultats: Au total 122 en ants repartis en G1 (n=42), G2 (n=40), G3 (n=40). Il n'y avait pas de différence significative entre groupes pour l'âge et la répartition par sexe mais des différences s gnificatives pour la PAM (G1: 87±6, G2: 91±6, G3: 93±8 mmHg; P=0,002), l'insulin mie (P<0,001), les triglycérides (P<0,01), HDLcholestérol (P<0,001) et le rapport cholestérol total/HDL-C (P=0,002). Globalement, la PAM était corrélée à l'IMC (r=0,41; P<0,001) et à l'insulinémie (r=0,23; P=0,01). Avec la régression linéaire multi variée et après ajustement pour l'insulinémie, seul le statut pondéral était associé à la PAM. Dans notre échantillon, en prenant G1 comme référence, l'augmentation de la PAM était, de 3,8 mmHg en présence d'un surpoids (beta=3,5; P=0,04) et de 5,1mmHg en présence d'une obésité (beta=5,1; P=0,01).

Conclusions : Nos résultats mettent en exergue l'impact du statut pondéral sur la pression artérielle de l'enfant et la nécessité d'une prévention de la surcharge pondérale dès le plus jeune âge. La lutte contre la sédentarité et l'amélioration des pratiques alimentaires sont des facteurs primordiaux.

Keywords : Autre

P0-90

Relation entre pression pulsée et marqueurs nutritionnels chez les patients hémodialysés Relationship between pulse pressure and nutritional markers in hemodialysis patients

L. FOUCAN (1), H. MERAULT (2,3), J. DUCROS (2,3)

(1) Groupe De Recherche Épidémiologie Clinique Et Médecine. CHU, Pointe-À-Pitre, Guadeloupe,

(2) Centre De Dialvse Audra, Pointe-À-Pitre, Guadeloupe, (3) Service De Néphrologie. CHU, Pointe-À-Pitre, Guadeloupe

Chez les sujets hémodialysés, l'obésité serait associée à une meilleure survie alors que la pression pulsée (PP) élevée (indicateur de rigidité vasculaire) serait un facteur prédictif de mortalité. Par ailleurs, les sujets diabétiques dialysés sont à haut risque de malnutrition et de mortalité comparés aux non diabétiques.

Objectifs : Étudier les relations entre PP et marqueurs nutritionnels, chez des sujets diabétiques et non diabétiques hémodialysés.

Méthode: Étude transversale conduite chez 179 patients du centre de dialyse AUDRA en Guadeloupe. Les paramètres enregistrés: âge, sexe, données anthropométriques, ancienneté en dialyse, complications cardio-vasculaires (CV), 25-hydroxyvitamine D [25(OH)D], pré albumine, L'insuffisance en vitamine D définie par 25(OH)D<30 ng/ mL. La régression linéaire a été utilisée pour l'analyse statistique.

Résultats: Au total 179 patients. Age moyen: 62±14 ans. PP moyenne: 66±19 mmHg. Pas de différence significative entre les sujets avec ou sans PP élevée [PP >78 mmHg (75e percentile)] pour les facteurs âge, BMI et pré albumine. Des fréquences plus élevées de diabète (55 % vs 34 %, P=0,02), d'évènements CV (43 % v 27 %, P<0,05) et d'insuffisance en vitamine D (49 % v 31 %, P=0,03) étaient notées chez les sujets avec PP élevée par rapport aux autres. Avec la régression linéaire multivariée, la PP était liée chez les sujets diabé uques à l'insuffisance en vitamine D (beta=9,5 mmHg; P=0,04), chez les sujets non diabétiques à l'âge (beta=0,4; P=0,002) et dans la population totale à l'insuffisance en vitamine D (beta=6,9; P=0,02), l'âge (beta=0,3; P=0,005), et aux complications CV (beta=7,3; P=0,02).

Conclusions: L'insuffisance en vitamine Dest fréquente chez le sujet dialysé même dans les populations vivant dans des régions enso eillées. Le statut en vitamine D est lié à la pression pulsée et pourrait contril uer à une augmentation du risque cardiovasculaire et de mortalité associés à une pression pulsée élevée, notamment chez les sujets diabétiques. Keywords: Hemodynam que

P0-91

Su veillance des facteurs de risque cardiovasculaire au CHU Batna: estimation des risques Monitoring of cardiovascular risk factors in Batna CHU: estimation of risk

N. BOUSSOUF (1), S. BENMAIZA (2), D. ZOUGHAILECH (1)

(1) Faculté De Médecine Université Constantine 3, Constantine, Algeria,

(2) Hôpital El-Bir, Constantine, Algeria

Contexte : Les récentes enquêtes mettaient en évidence que le dépistage des facteurs de risque est insuffisamment développé. Avec une morbi-mortalité cardiovasculaire assez élevée constitue un problème de santé publique, mais sa résolution ne pourrait se faire qu'à travers une réduction des facteurs de risque. L'objectif: identifier et d'estimer ces facteurs de risque chez les hospitalisés au CHU de Batna de 2003 à 2007, par une surveillance transversale répétée.

Méthodes: Nous avons utilisé un questionnaire et deux outils de surveillance; un registre des causes de décès et des enquêtes transversales répétées pour estimer la maladie puis quantifier les facteurs de risque par une analyse monovariée et multivariée. Le critère d'éligibilité majeur est l'hospitalisation, la taille échantillonnale a été calculée sur la base de prévalence de l'HTA en Algérie selon une formule statistique.

Résultats : 30% des décès sont d'origine cardiovasculaire. Nos enquêtes ont été menées sur des effectifs allant de 880 à 1593 selon l'année, âge moyen de 50,15±15,36 ans, sex-ratio=0,87. La prévalence MCV entre 20 à 40 %. Les prévalences des facteurs de risque: HTA [47,6 %] - diabète [27,5 %] - cholestérol [17,1 %]-stress [76,8 %]. L'analyse multivariée des risques a confirmé la suprématie de l'HTA [2,19<OR<6,88], cholestérol [2,80<OR<6,71], diabète [2,00<OR<9,27], stress [1,91<OR<6,29], sédentarité [1,78<OR<18,47].

Conclusion : la littérature corrobore nos résultats. Prévalences et Odds ratio enregistrés témoignent de la gravité de cette épidémie menaçante des maladies cardiovasculaires. La surveillance est le seul salut

Keywords: Autre

P0-92

The presence of sleep disorders modifies the age-blood pressure relationships in a cohort of uncontrolled hypertensive patients La présence de troubles du sommeil modifie la relation âge-pression artérielle dans une cohorte de patients hypertendus non contrôlés

J.-J. MOURAD (1), F. ALLAERT (2), J.-P. BAGUET (3)

(1) CHU Avicenne, Bobigny, France,

(2) Cenbiotech, Dijon, France

(3) CHU La Tronche, Grenoble, France

Objectives: There is a progressive increase in blood pressure with aging in industrialized societies, This trend is associated with a greater increase in systolic blood pressure (SBP) than diastolic blood pressure (DBP) during the middle adult years. Whereas SBP continues to rise until the eighth or ninth decade, DBP tends to remain constant or decline after the fifth or sixth decade. The objective of the study was to evaluate the influence of sleep disorders on the age-blood pressure relationship in a cohort of uncontrolled hypertensive patients.

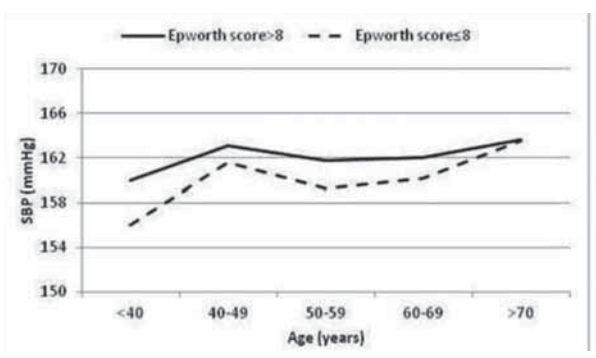


Figure 7

Methods: Cross sectional epidemiological study conducted in France in outpatients visiting cardiologists. Each physician included the first 4 hypertensive patients whose blood pressure was not controlled (>140/90 mmHg) by their current antihypertensive treatments regardless of these treatments. Symptoms of sleep apnea were collected and patients were requested to complete the Epworth sleepiness score.

Results: A total of 1,447 patients, median age 65 years among whom 62.8% were males and 39.1% were obese were included. 34.5% had stage I hypertension, 53.1% had stage II hypertension and 12.4% had stage III hypertension. The mean number of antihypertensive drugs was 1.9±1.0 (min/max:1-6). Mean Epworth score was 7.8±5.2. The presence of sleep disorders was defined by an Epworth score-8. The SBP-age and DBP-age relationships (see figure) were significantly different in patients presenting sleep disorders (Anova; p<0.03 for SBP; p<0.0002). Conclusion: The presence of sleep disorders has a significant impact on the age-BP relationship in hypertensive treated patients. The shift to higher SBP and DBP levels together with a blunted decrease of DBP with age in hypertensive patients with sleep disorders could explain part of the added risk of cardiovascular events in these patients. Keywords: Autre

P0-93

Utilisation d'un appareil d'automesure tensionnelle dans une population générale : la cohorte IPC Use of home blood pressure device in general population: the IPC cohort

B. PANNIER, F. THOMAS, N. DANCHIN

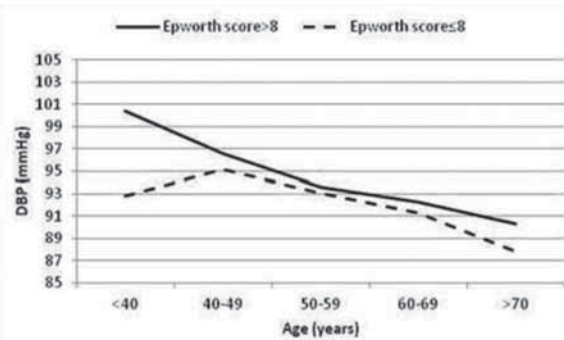
Centre Ipc, Paris, France

Objectif : Étude de l'utilisation et des caractéristiques des sujet déci. Tant utiliser un appareil d'automesure tensionnelle dans une large population g néral. Francilienne. Sujets et méthodes : 21 357 sujets (12 282 homr es c 9073 femmes) ont volontairement bénéficié d'un examen de santé star la, lisé er 2012 au Centre IPC (Paris). L'autoquestionnaire interrogeait sur l'utili, tion personnelle d'automesure tensionnelle. La présence d'une hypertension néter: le est définie par: pression artérielle systolique (PAS) ≥140 mmHg or dias dique (PAD) ≥90 mmHg ou traitement. Les analyses statistiques ont été re lisé s en utilisant le test du Chi² ou des analyses de variance incluant l'âge et le sexe.

Résultais: 2270 sujets (10,6%) on: 247 mm is (10,2%) et 1023 femmes (11,3%) ont déclaré utiliser un appareil d'auton esure tensionnelle. Parmi les hypertendus, ils sont 20,4% d'utilisateurs déclarés, vei us 7,7% chez les normotendus. Comparés aux sujets ne pratiquant pas l'automesure, les utilisateurs sont plus âgés (58,2±14,5 ss 45,9±14,9, p<0,0001), plus souvent hypertendus (46,5% ss 21,3%) et traités (39,3% ss 6,0%). Ils ont plus souvent des antécédents familiaux d'HTA (59,4% ss 35,5%, p<0,0001). Après prise en compte de l'âge et du sexe, les sujets utilisateurs ont une PAS et PAD plus élevées [134,3±0,3 mmHg ss 129,1±0,1 mmHg; p<0,0001, et 78,7±0,2 mmHg ss 77,2±0,1 mmHg; p<0,0001]. Ils sont plus souvent diabétiques (7,3% ss 2,9%) et plus suivis médicalement: 31,6% déclarent avoir un électrocardiogramme depuis moins d'un an comparé à 11,1% en absence d'automesure. Alors que 75% des non utilisateurs ayant une pression élevée ne sont pas traités, on ne retrouve que 37% des utilisateurs d'automesure présentant une pression élevée sans traitement. Enfin, les sujets hypertendus utilisant l'automesure sont plus souvent contrôlés (25,4% traités avec une pression normalisée) ss 11,5% chez les non utilisateurs.

Conclusions: En Ile de France, deux hypertendus sur dix, observés en population générale, utilisent l'automesure tensionnelle, probablement plus souvent sur les indications de leur médecin car plus souvent traités, et ils sont moins de un sur dix des normotendus à l'utiliser. Ces chiffres sont nettement inférieurs à ceux observés dans les études FLASH dont le recrutement est différent. Les utilisateurs sont plus âgés, ont plus souvent du diabète et ont plus recours aux ressources médicales. Surtout, on retrouve un meilleur contrôle tensionnel chez les hypertendus déclarant utiliser l'automesure tensionnelle. Ces résultats confirment le bien-fondé de l'utilisation large de l'automesure tensionnelle en particulier dans la prise en charge de l'hypertension artérielle.

Keywords : Mesure De La T.A.



HTA SECONDAIRE

P0-94

Évolution de l'HJA d'origine surrénalienne après surrena lecto nie bilatérale Outcome ef adrenal dependent hypertension after bil dera ladrenalectomy

I. OUESLATI, W. CRIR. K. KHIARI, N. MCHIRGUI, Y. LAKHOUA, N. BEN ABDALLAH

Hôpital Charles Nicolie Tunis, Tunisia

Introduction: L'I'TA est d'origine surrénalienne dans 3% des cas. Les principales étiologies sur énanennes d'HTA sont représentées par l'hyperaldostéronisme primaire, le phéochromocytome et le syndrome de cushing.

Le but de notre travail est d'étudier l'évolution de l'HTA d'origine surrénalienne apres surrenalectomie bilatérale.

Pa tien is et méthodes: L'étude a porté sur 5 patients qui ont été hospitalisés dans le :rvice d'Endocrinologie de l'hôpital Charles Nicolle pour une HTA d'origine surrénalienne: deux patients ayant un syndrome de cushing, une patiente ayant un hyperaldostéronisme primaire, une patiente ayant un phéochromocytome bilatérale et une patiente ayant un syndrome de cushing associé à un hyperaldostéronisme primaire.

Résultats: Il s'agit de 4 femmes et d'un homme. Leur âge moyen était de 37,6 ans (Extrêmes : 25-46).

Nos patients avaient une HTA évoluant depuis une durée moyenne de 5 ans (Extrêmes : 1 mois -10 ans) avec une pression artérielle systolique moyenne de 173,7 mmHg (Extrêmes : 130-240) et une pression artérielle diastolique moyenne de 105,7 mmHg (extrêmes : 72,5-136).

Les 5 patients ont subi une surrénalectomie bilatérale pour les indications suivantes: deux patients pour une hyperplasie nodulaire bilatérale des surrénales, une patiente pour un phéochromocytome bilatéral, une patiente pour une hyperplasie nodulaire bilatérale à sécrétion mixte et une patiente pour un hyperaldostéronisme primaire associé à une HTA maligne compliquée menaçant son pronostic vital.

Après la surrénalectomie bilatérale, une guérison de l'HTA a été obtenue chez trois patients parmi les cinq et une amélioration des chiffres tensionnels avec une réduction du nombre des antihypertenseurs chez les deux patients restants.

Conclusion: Chez nos patients la surrénalectomie bilatérale était efficace puisqu'on a obtenu une guérison de l'HTA chez trois patients et une amélioration des chiffres tensionnels chez deux patients.

Keywords: Hormones

P0-95 HTA et maladie de Takayasu Hypertension and Takayasu disease

S. BENALLAL (1), M.N.BOUAYED (2)

(1) CHU Sba, Sba, Algeria,

(2) Chirurgie Vasculaire EHU Oran, Algeria

Introduction: La maladie de takayasu est une artérite primitive, inflammatoire, rare, segmentaire et multifocale de l'aorte et ses branches, d'étiopathogénie inconnue. L'HTA est une complication majeure, parfois révélatrice de la maladie, dont les mécanismes sont multiples, dominés par l'atteinte de l'aorte et des artères rénales.

Patients et méthodes: Nous rapportons une série de 57 cas traités pour maladie de takayasu résultant d'une étude monocentrique, rétrospective allant d'avril 2006-juillet 2011 (tous nos malades valident les critères de l'American collège of Rhumathology), dont l'âge moyen est de 30 ans avec prédominance féminine 87 %

Résultat: Dans notre série: 45 patients présentant une HTA, dont 27(60 %) HTA résistante (s/tri voir quadrithérapie). On retrouve l'atteinte des TSA dans 87 % des cas, les lésions associées de l'aorte et les artères rénales dans 29,82 % des cas, atteinte isolée des artères rénales dans 5,26 % des cas, coarctation de l'aorte dans 7 % des cas, valvulopathies dans 7 % des cas. A noter une association avec la tuberculose dans 5 % des cas, et une dysthyroidie dans 15,5 % des cas. Seulement 37 % ont bénéficié d'un traitement chirurgical.

Discussion : L'atteinte de l'aorte et les artères rénales observées dans la moitié des patients atteints de la MT, représente la principale cause de l'HTA. En règle générale, l'HTA est sévère, pas ou mal contrôlée par le traitement médical, et s'accompagne d'un retentissement cardiaque et rénal.

Conclusion : L'HTA est fréquente au cours de la MT, c'est un facteur de mauvais pronostic d'autant plus sérieux que la cause est réno-vasculaire. Un diagnostic précoce et une thérapeutique adaptée contribueront à éviter à l'avenir un handicap, parfois majeur à ces malades, jeunes pour la plupart. Le traitement chirurgical des lésions réno-aortiques de la MT, est indiqué lorsqu'il existe une HTA sévère, non ou mal contrôlée par un traitement médical lourd, et les indications doivent être bien pesées. L'évolution spontanée chez ces malades est grevée d'une mortalité non négligeable. La prise en charge et les décisions thérapeutiques doivent-être multidisciplinaires: medico-radio-chirurgicales.

Keywords: Vaisseaux

P0-96

Hyperaldostéronisme primaire : aspects épidémiologiques, cliniques et biologiques d'une série de 11 patients tunisiens Primary aldosteronism: epidemiological, clinical and biological aspects in a cohort of 11 Tunisian patients

I. KAMOUN (1), R. BEN SAID (2), N. MAKNI (3), I. BEN NACEF (4), Z. TURKI (5), C. BEN SLAMA (6)

- (1) Institut National De Nutrition, Tunis, Tunisia,
- (2) Institut National De Nutrition, Tunis, Tunisia,
- (3) Institut National De Nutrition, Tunis, Tunisia, (4) Institut National De Nutrition, Tunis, Tunisia,
- (5) Institut National De Nutrition, Tunis, Tunisia.
- (6) Institut National De Nutrition, Tunis, Tunisia

Introduction: L'hyperaldostéronisme primaire (HAP) est une cause grandissante d'HTA en apparence essentielle. Il constitue actuellement l'étiologie la plus fréquente d'HTA secondaire (10-15 %).

L'objectif de notre étude était de décrire les aspects épidémiologiques, cliniores e biologiques de 11 patients tunisiens ayant un HAP.

Patients et méthodes : Étude rétrospective sur 11 malades chez qui le dia mostic d'HAP a été retenu après bilan étiologique d'HTA. Les données relevees concernaient l'âge, le sexe, les antécédents familiaux (ATCDs F) d'HTA, les circonstances de découverte de l'HTA, le motif d'exploration de l'HTA, les signes cliniques et les résultats biologiques ayant conclu au diagnostic d'HAP.

Résultats: Notre série comportait 6 hommes et 5 ferim s. l'âge moyen de la découverte de l'HTA était de 43 ans±10,45 (25-60 a s) et + malades seulement étaient âgés de moins de 40 ans. Six malades présentaient des ATCDs F d'HTA. L'HTA a été découverte lors d'un examen systématique chez 3 malades et devant des signes neuro-sensoriels évocateu s d'L'TA chez 8 malades. Le motif d'exploration était l'âge jeune (< 40 ans) chez 3 nalades, l'HTA résistante au traitement chez 2 malades, l'association à une hypokaliémie chez 2 malades et à une masse surrénalienne chez 4 malades. Le rap ort a dostérone/rénine plasmatiques était supérieur à 30 chez tous les patients avec une moyenne de 78,2 (30-156).

Conclusion: Bien que class que n'ent bénin, l'HAP expose à un risque métabolique et cardio-vasculaire majeur. Vu sa fréquence de plus en plus croissante, sa recherche est recommandée non pas seulement chez les sujets jeunes ou en présence d'hypokaliémie, mais aussi en cas d'HTA symptomatique sévère, d'HTA résistante et/ou en présence d'une masse surrénalienne

Keywords: Hormones

P0-97 Hypertension artérielle chez le sujet jeune de moins de 45ans

Hypertension in young patients under 45 years

M. PIO (1), Y. AFASSINOU (1), E. GOEH-AKUE (1), S. BARAGOU (2), K. EHLAN (1), K. ABOTSI-ADJOSSOU (1)

(1) CHU Sylvanus Olympio, Lomé, Togo,

(2) 1, Lomé, Togo

Objectif: décrire les aspects épidémiologiques, les aspects cliniques, les aspects étiologiques et d'analyser les facteurs de risques cardiovasculaires associés de l'HTA chez le sujet jeune de 18 à 45 ans.

Matériel et méthode : Il s'agit d'une étude rétrospective transversale ayant porté sur des dossiers de patients hypertendus âgé de 18 à 45 ans, enregistré durant la période allant du 1er Janvier 2010 au 31 décembre 2012 dans les services de cardiologie du Centre Hospitaliers et Universitaires Sylvanus Olympio et Campus Résultats : La prévalence globale de L'HTA était de 52,49 %. Les sujets jeunes de 18-45 ans représentaient 28,05 %. L'âge moyen de nos patients était de 37,98±6,075 ans le sex ratio (homme/femme) était à 0,78. L'hérédité était le facteur étiologique le plus retrouvé dans 60,41 % des cas. L'étiologie était retrouvée chez 18,44% des patients. Les causes identifiées de l'HTA étaient : le post- éclampsie (38,65 %), la néphropathie glomérulaire (31,9 %), l'hyperthyroïdie (16,56 %), iatrogène (11,67 %), le phéochromocytome (0,61 %) et rénovasculaire (0,61 %). Les facteurs de risque les plus fréquents étaient l'obésité et le surpoids (74,42 %), l'hypercholestérolémie totale (61,66 %), l'hypercholestérolémie LDL (45,71 %) et la sédentarité (45,47 %). L'HTA était découverte fortuitement dans 42,65 % des cas. Les principaux signes fonctionnels étaient, les céphalées (20,93 %), les palpitations (17,42 %), les vertiges (15,72 %).Les complications ayant orienté vers le diagnostic de l'HTA étaient le dysfonctionnement érectile (3,61 %), l'insuffisance cardiaque (2.26 %), l'AVC (1.36 %). Les retentissements de l'HTA étaient essentiellement cardiaques et dominés par l'HVG (35,91% à l'ECG et 38,60 % à l'écho-doppler cardiaque). La prévalence des complications de l'HTA était élevée et concernait 67,08 % de nos patients. L'ensemble des complications étaient dominés par les complications cardiaques 45,53 %, suivis des complications oculaires 27,58 % et rénales 18,86 %.

Conclusion: L'HTA est une affection fréquente chez le sujet jeune au Togo. L'hérédité est le facteur étiologique le plus fréquent. Peu d'étiologie de l'HTA du sujet jeune a été retrouvée. Les facteurs de risque cardiovasculaires modifiables associés sont importants. Les complications sont aussi importantes. Ainsi la prévention demeure l'arme la plus efficace.

Keywords : Mesure de La T.A.

P0-98

L'HTA d'origine surrénalienne : particularités cliniques et évolutives A drenal dependent hypertension: clinical features and outcome

I. OUESLATI, W. GRIRA, K. KHIARI, N. MCHIRGUI, Y. LAKHOUA, N. BEN ABDALLAH

Hôpital Charles Nicolle, Tunis, Tunisia

L'HTA est d'origine surrénalienne dans 3 % des cas. Les principales étiologies surrénaliennes d'HTA sont représentées par l'hyperaldostéronisme primaire (FAP), le phéochromocytome et le syndrome de cushing (SC).

Le but de notre travail est de relever les particularités cliniques de l'HTA d'origine surrénalienne et d'évaluer son évolution après le traitement de la maladie causale. Il s'agit d'une étude rétrospective ayant inclus 69 patients. Ces patients avaient une HTA secondaires à des affections surrénaliennes.

Un HAP a été retrouvé chez 25 patients. Leur âge moyen était de 54 ans. L'HTA était ancienne dans 23 cas, évoluant depuis une durée moyenne de 7,29 ans.

Elle était sévère à maligne chez 7 patients (28 %). Le bilan de retentissement a révélé la présence d'une rétinopathie hypertensive (RH) chez 8 patients, d'une atteinte cardiaque chez 4 patients, d'une insuffisance rénale (IR) chez un patient et d'AVC chez 5 patients.

L'évolution après le traitement de l'HAP a été marquée par la normalisation des chiffres tensionnels chez 2 patients, l'amélioration chez 13 patients et la persistance de l'HTA chez 4 patients (6 patients étaient perdus de vue).

Un phéochromocytome a été diagnostiqué chez 25 patients. Leur âge moyen était de 43,3 ans. L'HTA était ancienne chez 23 patients, évoluant depuis une durée moyenne de 4,8 ans. Il s'agit d'une HTA permanente chez 15 patients et paroxystique chez 10 patients. Huit patients avaient une HTA résistante au traitement antihypertenseur. Le bilan de retentissement a montré la présence d'une RH chez 9 patients, d'une atteinte cardiaque chez 8 patients et d'une IR chez 7

L'évolution après traitement du phéochromocytome a été marquée par la normalisation des chiffres tensionnels chez 6 patients et la persistance de l'HTA chez 14 patients (5 patients étaient perdus de vue).

Un SC a été retrouvé chez 19 patients. Leur âge moyen était de 29,4 ans. L'HTA était ancienne chez 18 patients. Il s'agit d'une HTA systolo-diastolique, permanente et bien contrôlée chez 18 patients. Un patient seulement avait une HTA maligne, résistante au traitement et compliquée d'une RH, d'une atteinte cardiaque et d'une IR.

L'évolution après traitement du SC a été marquée par la normalisation des chiffres tensionnels chez tous les patients.

L'HTA d'origine surrénalienne constitue un signe majeur surtout dans l'HAP et le phéochromocytome. Elle présente des particularités permettant de nous orienter vers la maladie causale dont le traitement permet parfois la guérison de l'HTA. Keywords: Hormones

P0-99 Prévalence de l'HTA après transplantation rénale Hypertension after kidney transplantation

R. BEN DHIA, L. BEN FATMA, L. RAIS, R. KHEDHER, W. SMAOUI, M. KRID, B. ZANNAD, S. BEJI, K. ZOUAGHI, F. BEN MOUSSA Hôpital La Rabta, Tunis, Tunisia

Introduction: En transplantation rénale, la mortalité cardiovasculaire constitue la première cause de décès. L'HTA chez les transplantés rénaux est fréquente de l'ordre de 80 %. Nous rapportons la prévalence de l'HTA dans notre série de transplantés rénaux.

Patients et méthodes : Il s'agit d'une étude rétrospective de 32 patients transplantés rénaux par rein de donneur vivant apparenté au service de Néphrologie la Rabta de Tunis.

Résultats: Il s'agit de 20 hommes et 12 femmes d'âge moyen 36±3 ans.

L'HTA était antérieure à la transplantation rénale chez 21 patients (58 %). Les autres facteurs de risque cardiovasculaire étaient : le tabagisme dans 28 % des cas, le diabète dans 8 % des cas, la dyslipidémie dans 2 % des cas, obésité et le surpoids dans 24 % des cas. La reprise de la fonction du greffon était immédiate et la fonction du greffon était normale dans presque 100% des cas et les traitements immunosuppresseurs étaient la Ciclosporine, corticoïdes et Mycophénolate Mofétyl. La prise d'érythropoïétine pour corriger l'anémie en post transplantation immédiate a été retrouvée dans 45% des cas.

En post transplantation, l'HTA était présente chez 18 patients (56 %), la régression de l'HTA entre la dialyse et la transplantation rénale est estimée à 8 %. l'HTA est restée non contrôlée dans 22 % des cas (objectifs de contrôle<13/8) malgré l'utilisation de 3 ou 2 traitements antihypertenseurs.

Conclusion: La difficulté du contrôle de l'HTA chez nos transplantés rénaux est due en premier lieu aux traitements immunosuppresseurs: corticoïdes et anticalcineurines, en second lieu l'érythropoïétine (45 % dans notre série) mais aussi par la sécrétion de rénine par les reins natifs et l'HTA transmise par le donneur. La néphropathie chronique d'allogreffe qui reste une cause de l'HTA du transplanté n'a pas été retrouvé dans notre série.

Keywords: Rein

P0-100

Sténose de l'artère rénale : aspects diagnostiques et thérapeutiques

Stenosis of the renal artery: diagnoses and treatment

Y. LAKHOUA, K. KHIARI, I. OUESLATI, N. MCHIRGUI, N. BEN ABDALLAH Service De Médecine Interne A Endocrinologie. Hôpital Charles Nicolle, Tunis, Tunisia

La sténose de l'artère rénale (SAR) peut être responsable d'une HTA. C'est l'hypertension rénovasculaire (HRV) qui pourrait être définie comme une HTA qui s'améliore ou guérit lorsque la ou les sténose(s) présente(s) sur les artères rénales est (sont) corrigée(s). Cette définition restrictive s'impose car de nombreuses sténoses sont trouvées sur des artères rénales de patients normo tendus, et la correction de certaines sténoses chez des patients hypertendus n'entraîne pas toujours un normalisation de la tension artérielle.

La prévalence des SAR dans la population générale autopsiée est de l'ordre de 5% s'accroissant avec l'âge, l'HTA et le diabète.

Nous rapportons les cas de 10 patients hospitalisés au service (e. M. lecine | sterne A pour exploration d'une SAR. Il s'agit de 7 hommes et l'e 3 fei mes, l'âge moyen est de 43 ans (20-60), les circonstances de découverte : 5 cas pour HTA mal équilibré, 2 cas pour une HTA chez un sujet jeune (20, 27 ans. un cas pour HTA avec dégradation de la fonction rénale et dans 2 cas por rune HTA maligne.

Parmi les 10 patients ayant une SAR, un patient p ese, te un diabète de type 1 au stade d'insuffisance rénale terminale, un cas de m. adie de Takayashu, 2 patients ont une HTA avec une insuffisance rénale chi pique et une patiente présente en plus de la sténose un hyperaldostéron me p imaire par hyperplasie de la surrénale.

Tous nos patients ont eu un echo-d-ppler les , tères rénales, qui montre une SAR qui est confirmée par lang o TD MP.M avec ou sans scintigraphie rénale au DTPA (5 cas). L'angio l'astie : été indiquée chez 7 patients, et n'est réalisée que chez 5. Elle a permis de ...eux équilibrer la tension artérielle et de réduire le nombre des antihypertenseurs s. vlement chez 3 patients.

Pour les autres patients, le lien entre la sténose et l'HTA a été éliminé dans 1 cas, les deux autres étaient bien équilibrés sous traitement médical.

Notre travail montre bien que la SAR n'est pas toujours fonctionnelle, donc la découverte d'une SAR ne doit pas entraîner nécessairement un geste de dilatation. Le pronostic dépend surtout des autres localisations athéromateuses et/ou du degré de l'insuffisance rénale.

Keywords: Rein

P0-101

Un an après l'ablation chirurgicale d'un phéochromocytome One year after the surgical removal of pheochromocytoma

<u>A. SAÏ</u> (1), F. AOUATI (2), D. MAALEM (1), S. FAHLOUL (1), S. ROUABHIA (1)

(1) CHU Benflis Touhami, Batna, Algeria, (2) CHU Beb El Oued, Alger, Algeria

Les phéochromocytomes sont des tumeurs neuro-endocrines rares produisant des catécholamines qui se développent aux dépens des cellules chromaffines des glandes surrénales ou des paraganglions extra-surrénaliens.

Nous rapportons ici le cas d'un patient âgé de 18 ans, chez qui on a diagnostiqué un phéochromocytome surrénalien bilatéral il y a un an (Une tumeur à droite mesurant 6 Cm et une à gauche mesurant 2 cm). Il a bénéficié d'une surrénalectomie bilatérale, l'étude anatomo-pathologique avait conclu à un phéochromocytome henin.

Les suites évolutives postopératoires étaient marquées par la persistance d'une hypertension artérielle modérée au début, puis les chiffres tensionnels ont continué à augmenter, nécessitant l'association de 5 médicaments antihypertenseurs sur quelques mois. Le taux des dérivés méthoxylés urinaires était élevé. Le malade était perdu de vue pendant quelques mois, n'arrivait pas à accepter cette hypertension artérielle, ne prenait pas régulièrement ses médicaments, avec parfois arrêt des traitements pendant plusieurs jours.

Il est ré-hospitalisé pour une cécité brutale de l'œil gauche, avec des chiffres tensionnels très élevés arrivant jusqu'à 28/16.

L'examen ophtalmologique retrouve une rétinopathie hypertensive sévère à gauche avec des hémorragies rétiniennes, et le bilan biologique retrouve une insuffisance rénale débutante.

L'hypertension artérielle peut persister après l'ablation chirurgicale des phéochromocytomes. Les chiffres très élevé de la tension artérielle chez ce patient suggèrent la présence d'une autre localisation ou la persistance d'un tissu tumoral passé inaperçu en chirurgie. Un éche re phi abdominale avait été faite chez ce patient et avait objectivé une masse mesu and 4 cm de diamètre occupant la loge surrénalienne. Une scintig aphi à la MIBG est programmée pour ce patient pour confirmer l'origine de la emisse et rechercher d'éventuelles autres localisations.

Keywords: Vaisseaux

P0-102

Une H'A résistante au traitement d'apparition cen. e révélant une sténose trés serrée de l'artère du erréfon rénal avec un excellent résultat après au gioplastie

A severe blood pression and very tight stenosis of the renal artery graft and excellent final result after angioplasty

M. CHALL (1), K. SOLTANE (2), M. HAMOUDA (3), A. LETAIF (4), S. ALOUI (5), H. SKHIRI (6), A. FRIH (7), N. BEN DHIA (8), F. ADDED, M. ELMAY

(1) Service De Néphrologie, d'hémodialyse Et De Transplantation Rénale. CHU Monastir, Monastir, Tunisia,

(2) Service De Cardiologie, unité D'hémodynamique Cardiaque. CHU Abderrahmen Mami, Ariana, Tunisia

Introduction: La sténose de l'artère du greffon rénal est une complication vasculaire tardive et rare entre 1% et 5%. Elle se manifeste cliniquement par une HTTA sévère et une dégradation de la fonction du greffon. Les causes techniques étaient incriminées au début de la pratique de la greffe rénale mais actuellement les immunosuppresseurs sont pourvoyeurs de cette complication vasculaire. Nous décrivons un cas de sténose très serrée de l'artère du greffon chez une transplantée rénale ayant eu un geste de revascularisation.

Observation : Il s'agit d'une femme âgée de 32 ans, hémodialysée pendant 9 ans et dont la néphropathie initiale était un reflux vésico-urétéral, elle a bénéficié d'une greffe rénale en décembre 2009 à partir d'un donneur cadavérique. Trois ans après sa transplantation rénale, la patiente s'est présentée avec un visage bouffi, associé à un léger œdème des 2 membres inférieurs, une prise récente de poids (7 kg) et une HTA sévère d'installation récente résistante à une trithérapie. Le greffon était ferme avec absence de souffle en regard. Le reste de l'examen san anomalie. A la biologie une aggravation de la fonction du greffon allant de80 µmol/l à 260 µmol/l avec hypokaliémie. L'échographie doppler a révélé une accélération des vitesses au niveau de l'ostium et le tronc de l'artère du greffon sans retentissement hémodynamique en intra rénal. Un geste de sauvetage a été réalisé par une angioplastie et mise en place d'un stent donnant un excellent résultat final avec une récupération de la fonction du greffon et une normalisation de la tension artérielle.

Discussion : Hormis la découverte fortuite sur un contrôle échodoppler systématique, les sténoses artérielles sur rein greffé sont le plus souvent décelées dans deux circonstances : l'hypertension artérielle et/ou l'insuffisance rénale. L'artériographie permet de confirmer avec certitude le diagnostic mais cet examen n'est réalisé qu'après l'echodoppler, permettant un traitement endovasculaire. Une dégradation de la fonction rénale associée à une sténose supérieure à 50 % doit être traitée et ce d'autant plus que la sténose est située sur le tronc de l'artère rénale, le cas de notre patiente. L'utilisation d'un stent semble bien améliorer les résultats à distance de l'angioplastie en diminuant le taux de resténose estimé à 30 %.

Conclusion: En raison de sa faible morbidité, d'un coût relativement modeste et de son efficacité, le traitement des sténoses serrées et symptomatiques des artères rénales après transplantation est le plus souvent du ressort de l'angioplastie de première intention avec un excellent résultat immédiat.

Keywords: Rein

P0-103

Une hypertension artérielle d'origine endocrinienne révélée par une faiblesse musculaire : à propos d'une observation

An arterial high blood pressure of endocrine origin revealed by a muscular weakness: about an observation

S. BOUGHANDJIOUA, S. ALIG-UECHI, H. BELAADI, S. MOUMANI, N. BOUKHRIS, A. CHELGHOUM

CHU Ibn Sina, Annaba, Algeria

Introduction : Les hypertensions artérielles (HTA) d'origine endocrinienne sont rare dont le syndrome de Conn qui représente entre 0.5 à $2\,\%$ des HTA secondaires, il touche l'adulte jeune de 30 à 50 ans et plus souvent la femme.

Observation: Nous rapportons l'observation d'une patiente âgée de 37 ans, qui se plaignait depuis une année d'une faiblesse musculaire étiquetée comme myopathie inflammatoire mais devant la persistance de cette symptomatologie la patiente fut admise au service de médecine interne. Le diagnostic d'une HTA sévère et précoce chez une femme jeune associée à une hypokaliémie profonde. Ce diagnostic été retenu après exploration biologique qui retrouvait une augmentation de l'aldostéronémie et effondrement de l'activité rénine plasmatique et la découverte au scanner d'un nodule surrénalien gauche hypo dense homogène mesurant 27/12 mm. Le traitement était une préparation médicale par l'administration d'un anti aldostérone type spirinolactone en attendant la prise en charge chirurgicale.

Conclusion : Les HTA secondaires à une affection sous -jacente sont rares, le dépistage doit être systématique pour ne pas méconnaître une cause curable tel que l'origine endocrinienne : le syndrome de Conn

Keywords: Hormones

P0-104

Comparaison de l'automesure à la MAPA dans le bilan de confirmation d'une hypertension résistante au traitement

Comparison of home blood pressure to 24hambulatory blood pressure monitoring in patients with resistant hypertension

F. VILLENEUVE, D. ROSENBAUM, C. GURY, X. GIRERD

Hôpital Pitié Salpêtrière, Unité De Prévention Cardiovasculaire, Paris, France

Objectif : Comparer la performance de l'automesure à la MAPA dans le bil in de confirmation d'une hypertension résistante au traitement.

Méthode: Des hypertendus ayant une HTA non contrôlée en consulta ion sous au moins 3 antihypertenseurs ont réalisés consécutivement une automesure su 13 jours puis une MAPA sur 24 heures. Les seuils retenus pour définir la resistance sont: PAS > 135 mmHg ou PAD > 85 mmHg (automesure), et PAS > 130 mmHg ou PAD > 80 mmHg (MAPA 24heures).

Résultats: L'automesure et la MAPA a été effectué chez 31p. ien. . En automesure la moyenne est de 159,3±4,9%6,7±8,4 mmHg et no diffé ente de celle de la MAPA24h à 159,2±15,1%6,9±7,6 mmHg. En revoche, no différence entre les 2 examens 10 mmHg pour la PAS est observée chez 5% des patients et>5 mmHg pour la PAD chez 74%. Chez 48% des patien s la noyenne des PAS en automesure est supérieure de plus de 10 mmHg de celle observée en MAPA, alors que chez 16% des patients c'est la moyenne des 'AS n. M. 'PA qui est supérieure de plus de 10 mmHg à celle observée en moyen. 1 a concordance pour le diagnostic de résistance est notée pour 84% des sujets.

Conclusion: Chez l'hyperte advision atrôlé en consultation, la réalisation d'une automesure ou d'une MAPA pporte des informations sur le niveau de la PAS/PAD qui diffère significativement telez 65% à 74% des sujets. Toutefois, une discordance pour le diagnostic d'hypertension résistante au traitement n'étant constatée que chez 16% des sujets, cette étude indique que l'automesure présente une performance diagnostique presque comparable à celle de la MAPA pour confirmer le diagnostic d'hypertension résistante.

Keywords : Mesure TA

P0-105

Évolution à long terme d'hypertendus initialement non traités en fonction du statut dipper-non dipper initial

Long term evolution of hypertensive patients initially not treated according to their baseline dipper/not dipper status

P. GOSSE, A. CREMER, S. YEIM, G. PAPAIOANOU

CHU Bordeaux, Bordeaux, France

Un profil non dipper est considéré comme un facteur de mauvais pronostique chez l'hypertendu. Nous avons étudié son influence dans une cohorte d'hypertendus ayant bénéficié d'un enregistrement de la PA sur 24 h (MAPA) avant tout traitement antihypertenseur.

La cohorte comprend 888 hypertendus non traités (âge moyen 47±12 ans, 39 % femmes) ayant bénéficié d'une MAPA (4 mesures/h jour et nuit, lever et coucher repérés par mesure déclenchée par le patient ou capteur de position). La prévalence d'un profil non dipper (PAS jour-PAS nuit/PAS jour<10 %) est de 31 % dans cette population. En moyenne ces patients ont une PAS 24 h légèrement plus élevée que les dippers (134±17 vs 131±14 mmHg, p<0,001). Un suivi d'en moyenne 11,5±6 ans a été obtenu pour 704 patients. Au dernier contrôle, le nombre de traitement antihypertenseur n'est pas différent entre les 2 groupes.

Les principaux résultats sont présentés dans le tableau:

Tableau 6

	Dipper n=618	Non dipper (n=270)	p
Base PASc mmHg	156±16	156±18	Ns
Suivi PASc	136±13 n=482	137±13 n=222	NS
Base PAS 24 h	130±14	134±17	< 0.001
Suivi PAS 24 h	125±14 n=172	128±15 n=99	NS
Base PAS nuit	116±14	13±17	< 0.001
Suivi PAS nuit	114±14	120±16	< 0.001
Base MVG g/m ²⁷	49±14 n=539	51±17 n=239	NS
Suivi MVG	42±23 n=252	48±21 n=129	0.02
Décès	43/482 (8 %)	22/222 (9 %)	NS
CCV	62/482 (12 %)	27/222 (15 %)	NS

PASc: PA systolique consultation, MVG: index masse ventriculaire, CCV: complication cardiovasculaire

Conclusion : le caractère non dipper initial se traduit par une PAS nuit initiale plus élevée qui se maintient à long terme malgré le traitement antihypertenseur. Cette différence modeste s'accompagne d'une HVG un peu plus marqué à terme dans le groupe non dipper mais ne se traduit pas pour le moment par un surcroit significatif de morbi-mortalité dans cette cohorte.

Keywords : Mesure de La T.A.

P0-106

Influences des pressions artérielles ambulatoires, centrale et de consultation sur le niveau de fibrose myocardique

Differential implications of home, central and office blood pressure measurement on diffuse myocardial fibrosis

D. ROSENBAUM (1), F. VILLEUNEUVE (1), A. REDHEUIL (2), N. KACHENOURA (2), E. BOLLACHE (2), P. CLUZEL (3), X. GIRERD (2)

- (1) Unité De Prévention Des Maladies Cardiovasculaires, Hôpital Pitié Salpétrière, AP-HP, Paris, France,
- (2) Laboratoire D'imagerie Fonctionelle, Inserm U678, Upmc, Paris, France, (3) Département D'imagerie Cardiovasculaire, Höpital Pitié Salpétrière, AP-HP, Paris, France

Objectifs: La fibrose myocardique est une manifestation précoce de l'hypertension (HTA) et joue un rôle majeur dans le développement de l'insuffisance cardiaque. Notre but était de déterminer l'influence des différentes pressions artérielles mesurées, sur le degré de fibrose myocardique diffuse évaluée de manière non invasive avec la séquence IRM de T1 mapping, dans une population de patients hypertendus traités en prévention primaire.

Méthodes: Les patients hypertendus traités stables en prévention primaire et non diabétiques ont été recrutés en hôpital de jour. Les pressions artérielles systoliques, diastoliques et moyennes suivantes ont été recueillies : par automesure (hPAS, hPAD, hPAM) et après 10 minutes de repos en consultation (oPAS, oPAD, oPAM). Des plus, les pressions centrales ont étés mesurées dans la carotide par Sphygmocor® juste avant l'examen d'IRM (cPAS, cPAD et cPAM). Des séquences IRM de cartographie T1 ont été acquises en utilisant la séquence MOLLI sur une coupe médioventriculaire petit axe avant et à 5 minutes après injection de gadolinium. Après estimation du T1 myocardique et de la cavité avant (T1pre) et après (T1post) injection du produit de contraste, le volume de fibrose extracellulaire (ECV) a été estimé selon la formule : ECV=(1-hematocrite) x (1/T1postmyocarde -1/T1premyocarde)/(1/T1postcavité -1/T1precavité).

Résultats: La population se composait de 46 hypertendus traités en prévention primaire d'âge moyen 56 ans avec 52 % d'hommes et 50% d'HTA non contrôlées en automesure (145/90 ½ 123/76mmHg). Le LDL-C moyen était de 1,28 +/-0,38 g/L avec 25 % de patients sous statines et 26% de fumeurs. Le T1 préGado était significativement plus élevé chez les patients non contrôlés (1053 ½ 1016, p=0,05) mais l'ECV était le même dans les 2 groupes. En dehors du niveau tensionnel et du T1, les 2 groupes ne présentaient pas de différences significatives. Aucun facteur de risque cardiovasculaire (Hbac1c, LDL-C, HDL-C, tabagisme actif, créatinine) en dehors de la pression n'était associé au T1 préGado ou à l'ECV. En analyse univariée le T1 préGado était significativement relié à la hPAS (R²=0,14), hPAD (R²=0,17), hPAM (R²=0,19), cPAS (R²=0,09), cPAD (R²=0,11), et à cPAM (R²=0,3). ECV quand à lui était significativement relié à la hPAS (R²=0,29), hPAD (R²=0,11) et à la hPAM (R²=0,20). Ces relations persistaient après ajustement pour l'âge, la taille et le poids.

Conclusion: Chez des patients hypertendus, le niveau de pression artérielle ambulatoire est un fort déterminant de la fibrose myocardique, au contraire de la pression de consultation.

Keywords : Cœur

P0-107

L'effet hypotenseur du Myrtus nivelli, du Sahara algérien

The hypotensor effect of Myrtus nivelli, Algerian Sahara

N. AMOURA, S. BOUGHANDJIOUA, I. ADJAILIA

CHU Ibn Sina Annaba., Annaba, Algeria

Divers hetérosides, hypotenseurs isolé d'une plante médicinale du sahara algérien, Myrtus Nivelli, ou tafetasst en touareg.

L'étude préliminaire d'une activité cardiovasculaire éventuelle a été abordée en observant les variations de la pression artérielle après administration peros chez le Rat éveillé.

L'extrait alcoolique total du myrte du Sahara algérien manifeste une action hypotensive discrète et tardive. La fraction alcaloïdes totaux présente, à l'inverse, une action hypertensive précoce. La fraction flavonoïdes totaux est dénuée d'action à ce niveau tandis que la fraction lignanes totaux manifeste une action hypotensive prolongée. L'activité discrète observée pour l'extrait total semble donc être la résultante des effets opposés et décalés dans le temps des alcaloïdes totaux et des lignanes totaux.

Keywords: Hemodynamique

P0-108

La mesure de pression artérielle chez les enfants et adolescents : développement de lignes directrices Blood pressure measurement in children and adolescent: development of guidelines

C. LEMAY (1), L. CLOUTIER (1), F. SIMARD (2)

(1) Université Du Québec À Trois-Rivières, Trois-Rivières, Cr nada, (2) Université De Montréal, Montréal, Canada

Problématique: L'hypertension artérielle (HTA) et presente chez les enfants et adolescents. En 2010, une enquête nationale eve, it que 3% des enfants canadiens avaient des valeurs de pression artérielle (14) lin ites ou élevées. La mesure de la PA est nécessaire afin d'identifier l'UTA es encelle ou secondaire et d'assurer un suivi. Les complications de l'HT, sont come reuses et justifient un dépistage précoce par une mesure de la P.). Or act ellement au Canada, il n'existe pas de recommandations pour la mesure de la PA chez les enfants. Seules des recommandations chez l'adul sont disponibles. Par contre, des recommandations chez l'enfant et l'adolescent out été développées aux États-Unis ainsi qu'en Europe. Objectifs: 1) Identifier les études et les guides de pratiques cliniques pertinents 2) Déterminer les principales similarités et distinctions entre ces études ou recommandations 3) Proposer une méthode de mesure de la PA à partir de l'analyse.

Méthode: Les bases de données en santé et les sites des principales sociétés savantes ont été révisés afin d'identifier la documentation existante. De plus, une recherche sur les différents sites internet des principales sociétés scientifiques en HTA a été réalisée.

Résultats: Les recommandations de l'AHA, l'ESH et le NHBP ont été sélectionnées puisqu'elles sont fondées sur les données probantes. Les recommandations s'accordent en ce qui concerne la technique auscultatoire et la taille des brassards. L'analyse des guides de pratiques cliniques a fait ressortir plusieurs éléments essentiels à une prise de mesure de la PA adéquate dans cette population pédiatrique. Les résultats ont été incorporés dans un outil, sous la forme d'une affiche présentant les différents éléments essentiels à considérer lors de la mesure de la PA dans la population pédiatrique afin d'outiller les professionnels de la santé.

Conclusions: L'HTA est bien présente chez les enfants et les adolescents et celleci persisterait à l'âge adulte et augmenterait la prévalence de l'HTA chez ces enfants et adolescents. Étant données les complications connues de l'HTA chez l'adulte, il est important de détecter de façon précoce la présence d'HTA chez les enfants et adolescents. Il est donc essentiel d'avoir une méthode de mesure de la PA standardisée et valide chez l'enfant et l'adolescent afin de détecter adéquatement la présence d'HTA. L'outil proposé par les auteurs pourrait être utilisé dans les milieux cliniques.

Keywords : Mesure de La T.A.

P0-109

La surveillance tensionnelle par automesure est-elle faisable et acceptée par les patients néphrectomisés pour cancer du rein?

Is home blood pressure monitoring feasible and

Is home blood pressure monitoring feasible and well accepted in nephrectomised patients for renal cancer?

C. DOURMAP-COLLAS (1), N. LORCY (1), G. VERHOEST (1), B. LAGUERRE (2), S. LE STUM (1), B. VICTOR (1), A. LAFOURCADE (3), C. VIGNEAU (1), E. OGER (3)

- (1) CHU Pontachaillou, Rennes, France,
- (2) CRLCC, Rennes, France,
- (3) Université Rennes 1, Rennes, France

Introduction: Un traitement com lén orain par anti-angiogéniques peut être envisagé après néphrectomie pour unce, du rein et est associé à un risque important d'apparition d'hypertension art, rielle (HTA) ou de protéinurie. Fin 2008, la Société Française de Né hrolo, ie avec la Société Française d'HTA a publié des recommandations i cita tà l'utilisation de l'automesure tensionnelle chez ces patients. L'objectif de 1 'tude est d'évaluer la faisabilité et l'acceptation de cette surveillance chez le patients, éphrectomisés pour cancer du rein avec ou sans traitement adjuvair.

Méthode: L'étude ST. FF. et une étude pilote, ouverte, observationnelle. Dans cette étude, les patier ls programés pour une néphrectomie pour cancer du rein entre novembr. 2011 et de "mbre 2012 ont été éduqués au moment de la consultation d'anesthésic. à l'a tomesure tensionnelle et à la pratique d'une bandelette urinaire. Il est demand, au patient de réaliser une automesure (selon la règle des 3) et une rech "the de protéinurie une fois par mois pendant les 6 mois suivant la chirurgie réale. Un autotensiomètre homologué et des bandelettes sont remis au patient en débit d'étude. Il leur est demandé de remplir un questionnaire de satisfaction (9 qu'stions) à la fin du suivi. Par analogie au seuil de bonne observance thérapeutique hai tuellement utilisé dans la littérature, on estime que si plus de 80 % des patients cifectuent plus de 80 % de la totalité des relevés théoriquement requis, alors la surveillance est applicable en routine.

Résultats : 56 patients (60 % d'hommes), âgés de 64 \pm 11 ans, ont été inclus. On dénombre 66 % d'hypertendus traités à l'inclusion. On observe que 87,5 % des patients ont réalisé correctement et rendu dans les délais (compris entre 15 et 45 jours après le précédent) 5 relevés sur 6 (automesure tensionnelle et bandelette urinaire). Cette proportion n'est pas supérieure à 80 % de manière significative (p = 0,125) probablement par manque de puissance. Ce pourcentage atteint 95,8 % (p = 0,002) si l'on ne tient compte que des prises de tension artérielle. On remarque également que 60 % des relevés mal remplis ou non rendus correspondent au dernier relevé (6 $^\circ$ relevé). Les patients ayant répondu au questionnaire de satisfaction (63 %) sont globalement satisfaits de la prise en charge, même si 23 % ont trouvé contraignant d'effectuer cette autosurveillance.

Conclusion: La surveillance tensionnelle par automesure apparait dans cette étude faisable et acceptée par les patients néphrectomisés pour cancer du rein si elle n'est pas trop prolongée dans le temps. L'auto-surveillance de la protéinurie par bandelette urinaire est faisable mais plus difficilement.

Keywords: Mesure de La T.A.

P0-110

Mesure de la pression artérielle ambulatoire chez les diabétiques de type 2 Ambulatory blood pressure monitoring in type 2

diabetics

<u>B. BEN DHAOU</u>, H. ZOUBEIDI, Z. AYDI, L. BAILI, W. GARBOUJ,

S. KETARI, F. BOUSSEMA, L. ROKBANI

Service Médecine Interne Hôpital Habib Thameur, Tunis, Tunisia

La variabilité physiologique de la pression artérielle ainsi que les anomalies qui caractérisent le profil tensionnel du diabétique type 2 surtout l'hypertension artérielle d'effort, l'inversion du cycle nycthéméral, la tendance à l'hypertension artérielle nocturne rendent la mesure conventionnelle de la pression artérielle très aléatoire et met en exergue l'intérêt de la MAPA.

Les buts de notre étude étant d'évaluer les intérêts de la mesure de la MAPA (mesure de la pression artérielle en ambulatoire) chez les diabétiques de type 2. Il s'agit d'une étude prospective ayant concerné 26 patients ayant un diabète type 2, avec ou sans antécédents d'hypertension artérielle. La MAPA est réalisée de façon systématique chez tous nos patients. On a également procédé à une évaluation des facteurs de risque cardio-vasculaire et des complications dégénératives chez nos patients.

Il s'agissait de 10 hommes et 16 femmes. L'âge moyen de nos malades était de 58 ans avec des extrêmes allant de 36 à 82 ans. L'ancienneté du diabète est de 78,9 mois. Il s'agit de 14 patients sous insuline, 6 recevant une association insuline-antidiabètiques oraux (ADO), 4 sous ADO et 2 sous régime seul. La MAPA n'a pas objectivé d'HTA dans 7 cas, 19 patients ont une HTA évoluant depuis 4,1 ans. Dans 6 cas l'HTA est découverte à la MAPA. Parmi les 19 patients hypertendus : 12 sont obèses, 3 ont un surpoids et 15 ont des complications dégénératives sous 3 anti-HTA. 16 de nos patients sont non dipper.

Chez les diabétiques les chiffres de la pression artérielle systolique et diastolique sont élevés témoignant d'un risque cardio-vasculaire plus important.

Les conclusions du travail sont fiables et conformes à ceux de la littérature. En effet, la MAPA est particulièrement intéressante chez le diabétique type 2 pour la recherche d'une élévation de la charge tensionnelle et d'une dysautonomie qui sont corrélées à la survenue de complications cardiovasculaires.

Keywords: Mesure de La T.A.

P0-111 Pratique réelle de l'automesure tensionnelle à Pau et automédication antihypertensive Real life home blood pressure measurement and antihypertensive self-medication

C. SICÉ-LABRUNE (1), P. GOSSE (2)

(1) CHU Bordeaux, Bordeaux, France,

(2) Hôpital Saint André CHU Bordeaux, Bordeaux, France

Introduction: L'automesure tensionnelle (AMT) s'est beaucoup développée encouragée par de nombreuses recommandations. Pour être performante, elle doit être réalisée selon certaines règles. Nous avons voulu par cette enquête préciser les pratiques des médecins généralistes (MG) et des patients et les éventuelles conséquences sur l'automédication.

Méthode : Médecins : Questionnaire envoyé aux 82 médecins généralistes (MG) de la ville de Pau, avec relance téléphonique. Patients : 20 questionnaires envoyés aux 32 pharmacies (sur 36 existantes) de Pau ayant accepté de les donner à 20 hypertendus consécutifs venant pour une ordonnance de traitement antihypertenseur.

Résulats: Médecins: 44 (53 %) ont retourné le questionnaire. 86 % utilisaient l'AMT. 59 % donnaient au moins un conseil conforme aux recommandations pour la réalisation de l'AMT et 48 % donnaient au moins un conseil pour l'achat d'un auto-tensiomètre. Les seuils de normalités utilisés étaient très variables et seuls 2 MG (4,5 %) utilisaient le seuil de 135/85. 27 % utilisaient uniquement la moy. Die du relevé complet pour l'interprétation de l'AMT. 7 % des MG prescrivaient un traitement ponctuel en cas d'AMT élevée et 9 % prescrivaient un et auto-titration du traitement. 62 % des MG invoquaient l'AMT comme cause ossible d'automédication avec surtout des réductions de traitement.

Patients: 300 questionnaires ont été recueillis. 44 % des p tien prat quaient l'AMT. 83 % étaient propriétaires de leur appareil, 24 % l'onu sche 6 ans avis médical. Seuls 27 % disaient réalisaient un relevé d'automes ure recommandé par leur MG. 66 % prenaient leur PA en cas de symptôme 1 es euil de normalité connus par les patients étaient très variables, aucun 1 a cu 1 le seuil de 135/85, 25 % connaissaient 140/90. Le pourcentage de pa lent raprortant des oublis de traitement ou une automédication était un peu p us important dans le groupe AMT mais l'automédication ne paraît pas fréqueute.

Tableau 7

	AMT N = 135 (%)	Pas d'AMT N = 165 (%)	P
Oublis Traitement	40 (29,6 %)	34 (20,6 %)	0,03
Automédication	19 (14,1 %)	10 (6,1 %)	0,02

Conclusion: La grande majorité des MG pratique aujourd'hui l'AMT; qu'ils la prescrivent ou que les patients les mettent devant le fait accompli. Cependant peu de MG connaissent bien l'AMT et peu de patients la pratiquent selon les recommandations. C'est un problème majeur si l'on veut recommander largement l'AMT pour le diagnostic et la surveillance de l'HTA. La généralisation d'une AMT « mal faite » peut avoir des conséquences néfastes et difficiles à estimer sur la prise en charge des hypertendus.

Keywords: Mesure de La T.A.

P0-112 Télémédecine en hypertension artérielle :
les patients hypertendus sont-ils prêts ?
Telemedicine in hypertension: are the hypertensive ready?

M. LOPEZ-SUBLET, P. SOSNER, T. KRUMMEL, Y. DIMITROV, C. DOURMAP-COLLAS, O. STEICHEN, P. ROSSIGNOL, N. BARBER-CHAMOUX, L. BOGGETTO-GRAHAM, S. REGNIER-LECOZ, E. VAUTRIN, S. BAGUET, J. MOURAD

Club Des Jeunes Hypertensiologues, Bobigny, France

Objectifs: La réalisation par le patient lui-même d'un certain nombre de mesures biomédicales se développe à travers la télémédecine. Utilisée dans différentes pathologies chroniques dont l'hypertension artérielle (HTA), la télémédecine nécessite la prise en compte de paramètres multiples et variés pour sa mise en place. A ce jour, peu de données existent sur les possibilités que les patients hypertendus puissent télétransmettre de façon simplifiée les données tensionnelles (notamment de l'automesure (AMT)) d'une part, et que le corps médical et paramédical puisse les recevoir d'autre part. L'objectif de cette étude était de recueillir grâce à un auto-questionnaire, les pré-requis du matériel terhvique existant chez les patients hypertendus et les médecins, ainsi que leurs prequions et attentes concernant ce nouveau mode de communication potents l'uve, 'eur prédecin.

Patients et méthodes: 12 médecins hypertens ologues et 120 patients hypertendus (ambulatoires, issus d'une consultation specialise, en HTA) ont été recrutés et ont répondu à un auto-questionnaire. I es 10 preniers patients de chaque consultation acceptant de répondre à un autorquestion airie étaient retenus.

Résultats: 12 médecins âgés de 40 ± o ans, 60 % hommes, exerçant en milieu hospitalier ont inclus 120 pai ent. âgés de 62 ± 13 ans (58,3 % d'hommes). 31,7 % d'entre eux étaient diabe iou es 69,2 % possédaient un appareil d'AMT dont 50 % au bras ; 22 des 38 patients d'abétiques utilisaient régulièrement un lecteur de glycémie.

Le niveau d'écuipen ent des médecins et des patients est résumé dans le tableau suivant :

Tableau 8

	Médecins (n = 12)	Patients (n = 120)
Téléphone portable	11 (91,7 %)	98 (81,7 %)
Smartphone - avec Bluetooth - avec accès internet - avec des applications médicales	6 (50,0 %) 7 (58,3 %) 6 50,0 %) 5 (41,7 %)	36 (30,0 %) 31 (25,8 %) 34 (28,3 %) 5 (4,2 %)
Tablette numérique	2 (16,7 %)	18 (15,0 %)
Ordinateur portable	9 (75,0 %)	47 (39,2 %)
Ordinateur de bureau	12 (100,0 %)	57 (47,5 %)
Internet à domicile	12 (100,0 %)	79 (65,8 %)
Bow avec Wifi	12 (100,0 %)	71 (59,2 %)
Acceptation d'échanger des données médicales à partir des appareils mobiles <i>via</i> Internet	8 (66,7 %)	67 (55,8 %)

Comme bénéfice attendu de la télémédecine, 38 % des patients pensaient que cela pourrait améliorer le contrôle de l'HTA et 28,3 % se disent rassurés. 79 % des patients accepteraient de communiquer les données tensionnelles à un personnel non-médical, dont la majorité (64,6 %) à une infirmière.

Conclusion: L'équipement informatique mobile des patients hypertendus reste un frein possible au déploiement d'un programme de télémédecine dédié. En revanche, une majorité des patients consultant une structure hospitalière spécialisée en HTA est favorable à la communication par Internet des données médicales recueillies, y compris à un tiers paramédical.

Keywords: Autre

PHARMACOLOGIE

P0-113

Effet des grignons d'olive sur la peroxydation lipidique et sur l'activité antioxydante du foie et des érythrocytes, chez le rat rendu hypercholestérolémique

Effect of olive cake on red blood cells and liver lipid peroxidation and antioxidant enzymes activities, in rats fed a cholesterol-enrichied diet

S. BOUDERBALA, M. AL -HITI, N. MEHDAD, M. BOUCHENAK Département De Biologie, Université D'oran, Oran, Algeria

L'effet des grignons d'olive (GO) après extraction d'huile est étudié sur la peroxydation lipidiques et sur l'activité antioxydante du foie et des érythrocytes, chez des rats rendus hypercholestérolémiques. Des rats mâles de souche Wistar (n = 24), pesant 45 \pm 5 g sont soumis pendant 4 jours à un régime standard contenant 20 % de caséine combiné à 5 % d'huile de tournesol. Après cette phase d'adaptation, les rats sont divisés en 4 groupes consommant chacun pendant 28 jours le même régime supplémenté avec 1 % de cholestérol et 0,5 % d'acide cholique et traité ou non avec les grignons d'olive à 2,5 %, 5 % et 7,5 % (HC-GO2,5, HC-GO5 et HC-GO7,5 ou HC, respectivement). Comparé au groupe HC, les teneurs en cholestérol total sont 1,4 -, 1,7 - et 2-fois plus faible chez les groupes HC-GO2,5, HC-GO5 et HC-GO7,5. Au niveau du foie, les teneurs en substances réactives à l'acide thiobarbiturique sont respectivement 4 -, 3 - et 2,6fois plus faibles chez les groupes HC-GO2,5, HC-GO5 et HC-GO7,5. Au niveau des érythrocytes, les activités de la glutathion peroxydase (GSH-Px) et réductase (GSSH-Red) sont respectivement 1,6 - et 1,8-fois et 1,3-fois plus augmentée chez les groupes HC-GO2,5 et HC-GO7,5 et HC-GO5. Au niveau du foie, l'activité de la superoxyde dismutase est 3,2 -, 2,7 - et 2,6-fois plus augmentés chez les groupes HC-GO2.5, HC-GO5 et HC-GO7.5, celle de la catalase est 1.3 – et 1.7 – plus faibles chez les groupes HC-GO2,5 et HC-GO7,5, alors que celles des GSH-Px et de la GSSH-Red restent similaires chez tous les groupes. Les teneurs en oxyde nitrique et 2,7 -, 1,8 - et 2,2-fois plus élevées chez les groupes HC-GO2,5, HC-GO5 et HC-GO7,5. En conclusion, chez le rat rendu hypercholestérolémique, il apparaît que les grignons d'olive atténuent l'hypercholestérolémie causée par le régime enrichi en cholestérol alimentaire. De plus, ils pourraient diminuer la peroxydation des lipides dans le foie associée à une stimulation de la défense antioxydante comparés à celle des érythrocytes.

Mots clès: Rat; Grigons d'olive; Cholestérol alimentaire; Oeroxydation lip dique; Défense antioxydante; Erytrocytes; Tissus.

P0-114 Immunothérapie sublinguale de la sours BA).3/C au lait de vache

Sublingual immunotherapy in BALB/C cow's milk

S. ADDOU, S. BENHATCHI, Y. FLAGUA, S. BEHA ZIA, D. SAIDI, O. KHÉROUA

Laboratoire De La Physiologie De La Nutrition **Et De La** S**ócurité Alime**ntaire, département De Biologie, université d'Oran, Oran, Algeria

Introduction: Le lait bovin contient plus de tonte potéines, toutes potentiellement allergisantes. Ses allergènes ont la dé iom iatio parmi lesquelles les caséines, la Béta lactoglobuline (β-Lg) et l'ifa la vibun ne(ω-La) et la Sérum albumine sont les plus importants bien quo chao le procline ait un potentiel allergisant. L'APLV est l'allergie alimentaire la plus frequente rencontrée dans la petite enfance.

Objectifs: Quand l'allergie alimentaire perdure, quand son évolution n'est pas spontanément favorable, il est tentant d'essayer une immunothérapie à l'aliment en cause. L'objectif de notre travail est d'étudier l'efficacité de l'induction de tolérance au lait de vache par voie sublingualechez des souris Balb/C sensibilisées aux protéines de lait de vache par voie intra péritonéale.

Matériels et Méthodes : Une étude d'antigénicité sera effectuer pour quantifier le taux des immunoglobulines de type IgG dirigées contre les protéines bovines (β -Lg et α -La) sur des sérums de souris sensibilisées avant et après le traitement del'immunothérapie subliguale au lait de vache (ITSL). Dans le présent travail, nous avons évalué l'antigénicité du lait de vache cru à partir d'un modèle animal (souris Balb/c) immunisé à la β -Lg et α -La avant et après l'ITSL.

Résultats : On remarque que l'immunisation à la β -Lg et à α -La stimule la production d'IgG sériques. Après deux mois d'Immunothérapie sublinguale, on constate une diminution de façon simultanée du taux des IgG spécifiques vis à vis de la β -Lg ou de l' α -La.

Nos résultats révèlent qu'il y a une hypersensibilité contre les antigènes administrés, en produisant des anticorps anti- α -La et anti β -Lg.

L'étude de la réactivité montre que l'introduction du lait de vache cru par la voie sublinguale diminue l'antigénicité des protéines vis à vis des IgG anti α-La. Cette réduction d'immunoréactivité est accentuée et alus ignificative vis à vis des IgG anti β-Ls.

Conclusion : L'efficacité de la voie sublinguale es confirmée, L'immunothérapie pourrait représenter un nouvel aspect de transment des allergies alimentaires. Aujourd'hui, les modalités resterne per ines, et nous manquons d'études standardisées. Il n'est pas encore possible d'établir si les effets de l'immunothérapie correspondent à une guérison défin tive ou à une seule augmentation des doses tolérées

Keywords : Autre

P0-115

Interest therapeutic drug monitoring (TDM) de la digoxine chez l'insuffisant cardiaque
Interest therapeutic drug monitoring (TDM)
of digoxin in patient with heart failure

M. SIF. R. DJAFFER, M. MEGUEDEM, A. MESSAOUDENE Lauratoire De Toxicologie, Annaba, Algeria

La Digoxine est un glucoside cardiotonique dont l'utilisation est confinée au tra tement de diverses affections du cœur, dont l'insuffisance cardiaque, elle a pour effet une augmentation de la force de contraction du muscle cardiaque, du débit cardiaque et une diminution de la fréquence cardiaque.

Elle fait partie des médicaments à index thérapeutique étroit (la dose efficace est proche de la dose toxique) et peut provoquer des intoxications graves surtout chez le sujet âgé ou insuffisant rénal. Les risques de surdosage sont importants et d'installation rapide et entraînent un trouble de la conduction et de l'excitabilité, une bradycardie ou une tachycardie paradoxale; nécessitant un suivi thérapeutique pharmacologique.

Le TDM reposant sur le dosage sanguin de la digoxine est indiqué lors d'un surdosage redouté, une efficacité insuffisante aux doses usuelles, une mauvaise observance, une aide au diagnostic du trouble du rythme, une intoxication aigue ou pour une adaptation posologique dans les formes sévères ou de traitement difficile. Il convient de retenir qu'une grande prudence s'impose lors de la prescription de digoxine chez le patient insuffisant cardiaque, afin non seulement d'éviter un surdosage, mais aussi de maintenir une concentration sérique dans une limite de valeurs ayant prouvé son efficacité clinique. Il est souvent préférable de débuter à dose faible puis de doser la digoxinémie d'où l'intérêt du suivi thérapeutique.

Keywords: Médicaments

REIN

P0-116

Cas clinique de pré éclampsie sévère compliquée d'œdème aigu du poumon sur grossesse de 36 semaines

Case report: pre-eclampsia with pulmonary edema in a 36 weeks pregnant woman

$\underline{\text{N.-N. ALI-TATAR CHENTIR}}, \text{ O. BOUSSAADIA, M. CHENTIR}$

Service De Cardiologie A1, CHU Mustapha, Alger, Algeria

Introduction : La pré éclampsie est un désordre systémique qui complique 5 à 8 % des grossesses. Il est caractérisé par l'apparition d'une hypertension artérielle > 140/90mmHg et une protéinurie > 30Omg/24 h à partir de la 20e semaine d'aménorrhée. Les symptômes s'aggravent et une évacuation utérine est souvent indiquée pour préserver le pronostic vital.

Observation: Il s'agit d'une patiente de 30 ans, référée par le service d'obstétrique pour échocardiographie dans le cadre du bilan préopératoire d'une évacuation utérine chez une patiente hospitalisée pour prise en charge d'une prééclampsie sévère compliquée d'œdème aigu du poumon (OAP) sur grossesse de 36 semaines d'aménorrhée.

L'analyse de ses antécédents personnels médicaux révèle la notion de chimiothérapie et de radiothérapie pour une maladie de Hodgkin il y a 5 ans et celle de ses antécédents obstétricaux la notion d'un avortement (G2P0) L'analyse des antécédents familiaux retrouve la notion d'hypertension artérielle et de diabète chez le père décédé de maladie cardiovasculaire Sa pression artérielle (TA) lors de sa consultation en urgence était de 180/95 mmHg avec signes d'OAP et oedèmes des membres inférieurs. Le traitement reçu en urgence a été la trinitrine en intraveineux à raison de deux ampoules et le furosémide à raison de 40 mg toutes les 6 heures. La biologie a montré une anémie hypochrome microcytaire à 7,7 mg/dl d'hémoglobine et une protéinurie. La TA précédent l'examen échocardiographique était de 140/80 mmhg. L'échocardiographie a montré un ventricule gauche hyperkinétique avec un décollement péricardique avec une insuffisance mitrale de grade 3, des pressions de remplissage élevées, une insuffisance tricuspide (IT) sévère avec une vélocité maximale du flux d'IT à 3,91 m/s, une pression artérielle systolique pulmonaire à 80 mmHg (voir image)

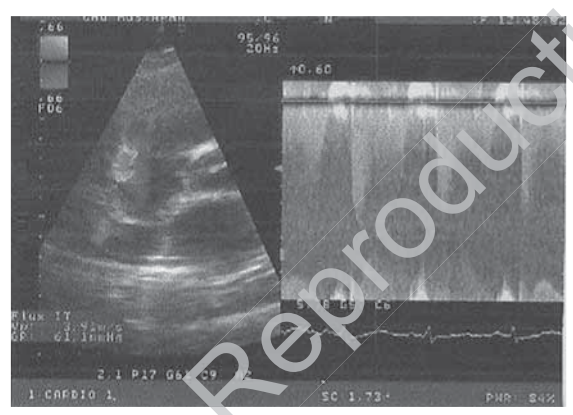


Figure 8

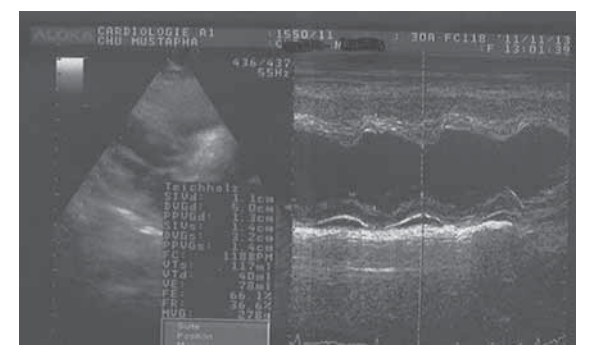


Figure 9

Après stabilisation hémodynamique, elle a accouché par césarienne avec une bonne évolution immédiate. Conclusion : La prééclampsie est une urgence thérapeutique. Notre cas illustre la nécessité d'un suivi multidisciplinaire incluant le médecin généraliste, le cardiologue l'oncologue dans ce cas et l'obstétricien.

Keywords: Rein

P0-117

Choc septique chez l'enfant en insuffisance rénale aiguë aux soins intensifs : facteurs prédictifs de mortalité

Septic shock in children with acute renal failure in intensive care: predictors of mortality

D.-D. BATOUCHE (1), B. KHEMLICHE (2), L. SADAOUI (3), A. NEGADI (4), Z. MENTOURI-CHENNTOUF (5)

- (1) Service De Réanimation Pédiatrique CHU, Oran, Algeria,
- (2) Service De Réanimation Pédiatrique CHU, Oran, Algeria,
- (3) Service De Néphrologie CHU, Oran, Algeria,
- (4) Service De Réanimation Pédiatrique CHU, Oran, Algeria, (5) Service De Réanimation Pédiatrique CHU, Oran, Algeria

Introduction : Le choc septique chez l'enfant n in suffisance rénale aiguë (IRA) reste une pathologie greffée d'un mauyais et en c'ac.

Objectif : Déterminer le taux de mortalité et les lacteurs qui l'influencent chez les enfants admis en insuffisance re, ele a que en choc septique secondaire à une infection communautaire.

Patients et méthodes: Analyse rét. spect. : de toutes les observations des enfants admis (du 01/01/1997 au 31/12 '010), l'aus un service de réanimation pédiatrique, avec le diagnostic de choc cortique et insuffisance rénale aiguë. Ont été exclus de l'étude les nouveau-nés et les choes secondaires à une infection nosocomiale.

Résultats: 50 patien ave un \hat{a}_5 e moyen de 53,27 ± 9,6 mois, un \hat{a}_5 e médian de 09 mois. Le score de **Pris.** durant les 24 premières heures est de 19,38 ± 5,4. L'IRA est définie par un \hat{a}_5 'FLL(R) chez 6 patients, RIFLE(I) chez 11 patients, RIFLE (F) chez 33 pai nts.

La source de l'in fection avait pour origine : Digestive (28 cas), urorénale (8 cas), respiratoire (5 cas), cutanée (2 cas), post opératoire sur des péritonites apr end reulaires (6 cas), septicémie sur un purpura fulminans (1 cas). Les défaillances he nodyn, mique et respiratoire sont les plus fréquemment rencontrées. Elles sont vivi, s par la défaillance rénale, neurologique, et hématologique. La dysfonction hé atique est plus rarement rencontrée.

Ue défaillance multiviscérale était présente au moment du diagnostic de choc chez 45 patients (90 %), dont 40 (80 %) avaient plus de deux organes défaillants. Le délai moyen de prise en charge en réanimation pédiatrique par rapport à la constatation des premiers troubles hémodynamiques est de $13 \pm 2,5$ heures. Le taux du décès a été de 60 % (30 patients).

Les facteurs prédictifs de mortalité ont été identifiés : le jeune âge, une défaillance de plus de deux organes à l'admission (OR = 5,3 ; IC à 95 % [3,1-9,2], le recours à une épuration extra rénale (OR = 2,48 ; IC à 95 % [0,83-7,78], la ventilation mécanique (OR = 18 ; IC à 95 % [9,18-21,2] et le recours à plus de deux substances vasoactives (OR = 2,5 ; IC à 95 % [1,5-7,6].

Conclusion : La prise en charge des enfants septiques en réanimation est rendue difficile par la présence de nombreux facteurs de risque engendrant un pronostic sombre

Keywords: Medicaments

P0-118

Existe-t-il un nihilisme thérapeutique dans l'HTA de l'insuffisant rénal ?

Is there a therapeutic nihilism in renal failure hypertension?

Y. DIMITROV (1), D. BABICI (2), F. CHANTREL (2), J. OTT (1), T. KRUMMEL (3), M. LOPEZ-SUBLET (4), J.-P. BAGUET (5), AU NOM DU CLUB DES JEUNES HYPERTENSIOLOGUES, FRANCE

- (1) Néphrologie Ch, Haguenau, France, (2) Néphrologie Ch, Mulhouse, France,
- (2) Néphrologie Ch, Mulhouse, France,(3) Néphrologie CHU, Strasbourg, France,
- (4) Medecine Interne Ch Avicenne, Bobigny, France,
- (5) Cardiologie CHU, Grenoble, France,

Objectif: De nombreuses études ont montré que la prévalence et la sévérité de l'HTA augmentent chez l'insuffisant rénal (IR). Nous avons postulé que cela pouvait être lié en partie à une réticence des médecins à augmenter le nombre de traitements anti-HTA quand l'IR est avancée, peut-être par crainte d'aggraver celle-ci.

Méthode et résultats: Nous avons extrait rétrospectivement des bases de données d'anciennes études du Club des Jeunes Hypertensiologues les données de patients pour lesquels les éléments suivants étaient disponibles: âge, sexe, poids, créatininémie, PA de consultation (moyenne de 3 mesures) et traitements antihypertenseurs.

 $6\dot{0}\dot{1}$ patients ont été inclus dont les caractéristiques sont résumées dans le tableau 9. Ils ont été répartis en 3 groupes en fonction du niveau d'IR (clairance selon MDRD>60, entre 30 et 60, ou < 30 ml/min). Aucun patient n'était en dialyse. Les résultats et les comparaisons sont présentés dans le tableau 10.

Tableau 9

Variables	Moyenne ± ET
Âge (années)	$67,2 \pm 12,6$
Sexe (N hommes, % hommes)	373 (62,1 %)
Poids (kg)	$80,3 \pm 17,2$
Créatininémie (µmol/l)	159 ± 83
Clairance MDRD (ml/min)	46.9 ± 25.1
Nombre de traitements anti-HTA (N)	$2,89 \pm 1,34$
PAS clinique (mmHg)	151 ± 22
PAD clinique (mmHg)	81 ± 13

Tableau 10

Variables	C1 < 30 N = 166	30 < C1 < 60 N = 278	Cl>60 N = 157	P (ANOVA ou khi²)
PAS clinique (mmHg)	153 ± 20	154 ± 21	144 ± 23	< 0,001
PAD clinique (mmHg)	79 ± 13	82 ± 13	83 ± 13	0,012
Nombre de traitements anti-HTA (N)	$3,29 \pm 1,37$	2,81 ± 1,34	2,61 ± 1,2	< 0,001
Âge (années)	$69,0 \pm 12,5$	$69,5 \pm 11,6$	$61,3 \pm 12,7$	< 0,001
Sexe masculin (%)	59	63,3	63,1	<0,001

Discussion : La PAS est significativement plus élevée chez les IR. Elle st amilaire chez les IR sévères et modérés, au prix d'une augmentation significat ve du nombre de traitement chez l'IR sévère. Cette augmentation ne suffit ce endant pas à contrôler la PA de ces patients selon les recommanda ions actuelles, alors que le nombre moyen de traitement anti-HTA n'est pas très élevé.

Conclusions : L'augmentation de la PAS chez les IR pourrait en partie être secondaire à un nihilisme thérapeutique relatif. La peur de faire « monter » la créatinine?

Keywords: Rein

P0-119 Hypertension artérielle maligne et interféron bêta Malignant hypertension and interferon-beta: a case report

S. RUBIN (1), A. LACRAZ (2), V. GALANTINE (2), P. GOSSE (3)

- (1) Service Nephrologie, Dialyse, Bordeaux, France,
- (2) Service Nephrologie, Dialyse, Bayonne, France
- (3) Service D'hypertension Arterielle Et De Cardiologie, Hôpital Saint Andre, Bordeaux,

Le 23 mai 2012 une patiente de 41 ans était admise pour crise convulsive et hypertension artérielle. Son unique antécédent était une sclérose en plaque traitée par interféron bêta. Sa tension artérielle était de 220/140 mmHg. Au fond d'œil on retrouvait une rétinopathie hypertensive de grade III. Biologiquement il existait une insuffisance rénale aigue (créatinine 217 micromoles/L), un hyperaldosteronisme secondaire, une hémolyse, une élévation des enzymes pancréatiques, hépatiques et cardiaques. L'IRM retrouvait une Leuco encéphalopathie Postérieure régressive (LEPR). Le diagnostic retenu fut celui d'hypertension artérielle maligne secondaire à l'interféron bêta. Elle fut alors admise en réanimation, intubée et la pression artérielle fut initialement contrôle par NICARDIPINE IV sans obtenir une amélioration des signes biologiques de micro angiopathie. L'extubation permis d'introduire des bloqueurs du système rénine angiotensine aldostérone (SRAA) qui ont rapidement normalises les signes de micro angiopathie et la créatinine. Un an plus tard, la fonction rénale de la patiente est normale, les signes de LEPR ont disparu. Elle reste traitée par un double blocage du SRAA.

Discussion : Il s'agit du 4e cas d'HTA maligne secondaire a la prise d'Interféron Bêta. Il avait été pratique une biopsie rénale dans les autres cas permettant de mettre en évidence des signes de micro angiopathie thrombotique (MAT). Des traitements a bases d'échanges plasmatiques et de corticoïdes avaient alors été initie. Seul le patient ayant reçu en plus des bloqueurs du SRAA a obtenu, comme dans notre cas, une récupération rénale. Ce cas illustre la nécessité d'introduire rapidement des bloqueurs du SRAA en cas d'HTA maligne, système au cœur de la physiopathologie de l'HTA maligne.

Keywords: Rein

P0-120 L'hypertension artérielle au cours de la néphropathie lupique Hypertension in lupus nephritis

Y. BEN ARIBA, J. LABIDI, S. CHARGUI, S. ARIDHI, F. AJILI, N. BEN ABDELHAFIDH, N. BOUSSETTA, R. ABID, S. SAYHI, H. GHEDIRA, S. ZRIBA, R. BATTIKH, B. LOUZIR, S. OTHMANI

Hôpital Militaire Principal D'instruction De Tunis, Tunis, Tunisia

Introduction: L'hypertension artérielle (HTA) est une manifestation fréquente au cours de lupus érythémateux systémique (LES), elle est présente chez 20 à 50 % des patients, en cas d'atteinte rénale sévère, de foi le conticothérapie voire de microthromboses intrarénales.

Le but de notre travail était de décrire les caracteristiques cliniques, histologiques et thérapeutiques des patients ayan une l'TA associée à une néphropathie lupique (NL).

Patients et méthodes : Les patients inclus dans cette étude répondaient aux critères corrigés de l'ARA pour le diagnostic du LES. La NL a été retenue sur la base des critères de l'Internation al Society of Nephrology (ISN) et the Renal Pathology Society. Nous avons revu 120 cas de LES hospitalisés dans le service de médecine interne de l'Hôpital Militaire de Tunis durant une période de 13 ans de 1999 à 2012 et on a retenu 41 cas de NL.

Résultats: L'HTA était retrouvée chez 10 patients parmi les 41 cas étudiés soit 25 %. Il s'agissait de 2 hommes et 8 femmes. L'âge moyen de ces patients était de 34 ans. Une HTA menaçante avec encéphalopathie hypertensive était notée chez un seul patient.

L'I TA était associée à une glomérulonéphrite proliférative diffuse (classe IV) dans cas, associée à une extramembraneuse (IV+V) dans un cas. Parmi ces cas. 4 patients présentaient des signes clinico-biologiques de microangiopathie thrombotique dont une est confirmée histologiquement.

Les autres patients (4 cas) ont présenté une HTA secondaire au traitement

Le traitement consistait à un régime sans sel associé au traitement antihypertenseur dans tous les cas. Les inhibiteurs de l'enzyme de conversion étaient utilisés dans tous les cas, diurétiques essentiellement de l'anse dans 2 cas, les β bloquants et les inhibiteurs calciques chez deux autres patients.

Après traitement étiopathogénique, l'évolution était marquée par la persistance d'une HTA dans 4 cas.

Conclusion: L'HTA au cours de la NL constitue un facteur de mauvais pronostic. Elle est multifactorielle, son traitement repose sur les inhibiteurs de l'enzyme de conversion et son évolution est souvent favorable.

Keywords: Rein

P0-121 Le cœur de l'hémodialysé : étude échocardiographique Hemodialysis heart: echocardiographic study

A. EL HRAIECH (1), L. ZAKHAMA (2), S. HAMDI (1), D. MBAREK (2),

- E. BOUSABBAH (2), B. HERBEGUE (2), F. MAATOUK (1)
- (1) Service De Cardiologie B Hôpital Fattouma Bourguiba, Monastir, Tunisia,
- (2) Service De Cardiologie Fsi La Marsa, Tunis, Tunisia

Problématique : L'insuffisance rénale chronique est associée à une véritable cardiomyopathie dite urémique associant des anomalies de la taille, de la géométrie et de la fonction cardiaque. C'est le syndrome cardiorénal type 4 ou le syndrome rénocardiaque chronique selon la classification de Ronco. Le diagnostic clinique de la cardiomyopathie urémique est d'autant plus difficile que les signes de surcharge hydro-sodée peuvent être présents en l'absence de toute atteinte myocardique. L'échocardiographie doppler est l'examen de choix dans la détection, l'évaluation et la surveillance de ce type de cardiopathie.

But du travail : Rechercher les signes échocardiographiques infra-cliniques d'une atteinte myocardique et analyser lles facteurs prédictifs de cette atteinte.

Patients et méthodes : Il s'agit d'une étude descriptive réalisée dans le service de Néphrologie de l'EPS Fattouma Bourguiba à Monastir. Tout patient insuffisant rénal chronique, hémodialysé depuis au moins 3 mois, asymptomatique sur le plan cardiovasculaire et quelle que soit l'étiologie de l'insuffisance rénale, a été inclus dans notre travail. Nous avons exclus tout patient ayant une cardiopathie congénitale ou acquise traitée ou non traitée. Sur les 80 patients consécutifs recrutés, 30 patients avaient des critères d'exclusion, 50 ont été retenus. Une échographique a été réalisé chez tout patient inclus dans l'étude, 24 heures après la

séance d'hémodialyse, lorsque la volémie est la plus voisine de la normale, par un seul opérateur. Nous avons analysé les paramètres de la fonction systolo-diastolique ventriculaire gauche, la fonction ventriculaire droite et les dimensions cavitaires.

Résultats: La population étudiée comportait 27 hommes et 23 femmes. La moyenne d'âge était de 49 ± 16 ans. La durée moyenne de dialyse était de 55 ± 53 mois. La prévalence de l'atteinte cardiaque chez la population d'étude était de 96 %. La dysfonction diastolique était l'atteinte cardiaque la plus constante chez nos patients. Aucune corrélation n'a été retrouvée entre l'atteinte cardiaque chez l'hémodialysé et l'ancienneté de l'hémodialyse. L'hypertrophie ventriculaire gauche était un facteur prédictif de la dysfonction diastolique, de l'élévation des pressions de remplissage et de la dilatation de l'oreillette gauche.

Conclusion: L'atteinte myocardique échocardiographique est quasi constante chez l'hémodialysé chronique à un stade infraclinique. La présence d'une HVG est un tournant évolutif dans l'histoire d'un hémodialysé, elle précipite la dysfonction diastolique VG et pourrait compliquer son pronostic. D'où l'importance de la mise en route précoce des moyens thérapeutiques pour y faire face.

Keywords: Cœur

P0-122

Prévalence et déterminants de l'insuffisance rénale aiguë associée aux plantes médicinales à Kinshasa Prevalence and determinants of kidney injury from traditional plant in Kinshasa

C. ZINGA (1), N. NSEKA (2), E. SUMAILI (3), F. LEPIRA (4), G. MESSIA (5), G. TONA (6)

- (1) Service De Nephrologie/cliniques Universitaires De Kinshasa/universite De Kinshasa/ centre National De Pharmacovigliance, Kinshasa, Zaïre, (2) Service De Nephrologic/cliniques Universitaires De Kinshasa/universite De Kinshasa,
- (2) Service De Nephrologie/cliniques Universitaires De Kinshasa/universite De Kinshasa, Kinshasa, Zaïre,
- (3) Service De Nephrologie/cliniques Universitaires De Kinshasa/universite De Kinshasa, Kinshasa, Zaïre,
- (4) Service De Nephrologie/cliniques Universitaires De Kinshasa/universite De Kinshasa, Kinshasa, Zaïre,
- (5) Pharmacologie Clinique/Centre National De Pharmacovigilance/Universite
- De Kinshasa, Kinshasa, Zaïre,
- (6) Pharmacologie Clinique/Centre National De Pharmacovigilance/Universite
- De Kinshasa, Kinshasa, Zaïre

Le recours aux plantes médicinales concerne près de 80 % des populations africaines. Bien que ces produits soient potentiellement toxiques, de plus en plus, notre population utilise les plantes. La présente étude a voulu déterminer la fréquence et les déterminants d'insuffisance rénale aigue associée aux préparations à base de plan. s. Une étude cohorte rétrospective et cas témoins a été menée de 2004 à 2009. La créatinine sérique a été dosée par la méthode de jaffé. Les déterminants d'ins (filsance rénale aigue liée à la prise des plantes ont été recherchés par régression logi tiqu. s. 1 016 patients étaient hospitalisés durant la période d'étude. L'insuffisan re renale aigue liée aux plantes a représenté 39 %. la prise de plante médi-inale. (OR: 30;C95 %: 1,8-57,8), l'âge avancé (OR: 2,8, IC95 %: 1,4-5,5), t'h), prension artérielle (OR: 2,2, IC95 %: 1,3-3,9) étaient les détern nants indépendants d'insuffisance rénale aigue liée aux plantes. L'insuffisance .i'nal. n'igué associée aux plantes est fréquente en pratique Clinique, la nephrov gilance doit être de mise en cas de recours aux plantes médicinales.

 $Keywords: {\sf Rein}$

P0-123

Rôle des métalloprotes es natricielles dans la progres sion des résions rénales Role of natricial metalloproteinases in renal injury progression

M. ALLAL ELASMI (1), S. BO USSAIRI (1), Y. ZAYANI (1), W. ZIDI (1), S. OUNIFI (1), L. RAIS (2), W. SMAOUI (2), S. BEJI (2), L. BEN FATMA (2), K. ZOUAGHUI (2), F. BEN MOUSSA (2), N. KAABACHI (1)

- (1) Service De Biochimie CHU La Rabta, Tunis, Tunisia,
- (2) Service De Nephrologie CHU La Rabta, Tunis, Tunisia

Introduction: La progression vers le stade terminal de l'insuffisance rénale est accompagnée d'une accumulation de protéines matricielles extracellulaires. La dégradation de ces protéines dépend de l'action de protéases, notamment les métalloprotéases matricielles (MMP). L'objectif de notre étude est de déterminer les taux plasmatiques de MMP-9, MMP-3 et de ses inhibiteurs (TIMP-1 et TIMP-2) et voir le rôle de la matrice extracellulaire au cours de l'évolution de l'insuffisance rénale chronique.

Matériels et méthodes: Il s'agit d'une enquête prospective sur des patients ayant une insuffisance rénale chronique (IRC) recrutés par le service de Néphrologie de l'hôpital la Rabta. L'étude a porté sur 186 personnes ayant une IRC dont 96 hommes et 90 femmes âgées de 21 à 89 ans. Le taux de filtration glomérulaire (TFG) est estimé en utilisant la formule simplifier MDRD (Modification Diet in Renal Disease). L'IRC a été définie par un (TFG) < 60 ml/min/1,73m². Les paramètres biologiques ont été dosés sur un automate de marque Architect 6000. Le MMP-9, MMP-3, le TIMP-1 et le TIMP-2 ont été dosés par ELISA.

Résultats : Le dosage immuno-enzymatique de la MMP-3 et de ses inhibiteurs TIMP-1 et TIMP-2 (p < 0,001) sont significativement plus élevés chez les patients IRC par rapport aux témoins. Le taux plasmatique de MMP-3 est augmenté significativement avec la sévérité de la maladie Claz les patients IR. Le taux de MMP-3 est significativement plus élevé chez le brant es par rapport aux femmes (44,64 \pm 29,33 \times 33,25 \pm 28,01 (ng/ml) \times p : .017).

Le taux de MMP-3 est corrélé pe itive nent et significativement avec l'urée et la créatinine, et négativement avec l' ML RD. Le taux de MMP-9 est corrélé positivement et significativement a vec les narqueurs de l'inflammation tels que la CRP (r = 0,257; p < 0,001) et le GB (r = 0,161; p = 0,039).

Conclusion: L'altération du con plexe MMP/TIMPs peut refléter intimement les mécanismes moléculaire des remaniements pathologiques et peut conduire vers la progression de la maladic (enal. chronique.

Keywords: Rein

P0-124

Une atteinte rare au cours de la sclérodermie localisée chez un homme : une hypertension artérielle avec crise rénale sclérodermique A rare achievement in localized scleroderma in a man: hypertension with scleroderma renal crisis

A SAÏ, S. ROUABHIA, D. MAALEM, S. FAHLOUL, B. BENLAHCEN, A. ABABSA, H. SEDOUKI

CHU Benflis Touhami, Batna, Algeria

La sclérodermie est une affection relativement rare, elle peut être circonscrite se limitant souvent à une atteinte cutanée, ou systémique touchant plusieurs organes. Nous rapportons ici le cas d'un patient âgé de 37 ans connu depuis 1999 pour une sclérodermie localisée au niveau du membre supérieur droit.

Le malade jusque-là était stable sans autres atteintes, il avait présenté brutalement une élévation de la pression artérielle suivie d'une insuffisance rénale rapidement progressive ayant nécessité le recours à une épuration extra-rénale.

Les investigations faites à la recherche d'une autre cause à cette HTA sont revenues négatives. Aucun facteur déclenchant tel que la prise de corticoïdes qui sont connu pour provoquer une crise rénale n'avait été retrouvé.

Il n'y a pas eu de reprise de la fonction rénale, le malade est dialysé depuis cet évènement trois fois par semaine.

Les sclérodermies localisées provoquent exceptionnellement des atteintes systémiques. Elles restent longtemps localisées à la peau. En dehors de contexte, la survenue d'atteintes viscérales doit également faire rechercher d'autres possibles associations telles que le lupus érythémateux disséminé. L'ensemble des bilans fait avaient trouvé des taux d'anticorps anti DNA natif positifs, cependant, il n'y avait pas assez de critères pour retenir le diagnostic de lupus. Un syndrome de chevauchement lupus/Sclérodermie est très probable.

Keywords: Rein

SYSTÈME NERVEUX ET HTA EXPÉRIMENTALE

P0-125

Abnormal circulating levels of metalloproteinase and their inhibitor in hypertensive patients Niveaux circulants anormaux des métalloprotéinases et de leurs inhibiteurs chez les patients hypertendus

Y. ZAYANI, M. ALLAL-ELASMI, W. ZIDI, M. FEKI, N. KAABACHI Service De Biochimie CHU La Rabta, Tunis, Tunisia

The aim of this study was to determine the plasma levels of Matrix metalloproteinases (MMPs): MMP-2, MMP-3, MMP-9, and their inhibitors (TIMPs): TIMP-1, and TIMP-2 in hypertensive patients and healthy subjects. The study has involved 40 hypertensive patients and 41 adult healthy controls. The mean plasma activity of pro-MMP9 in the hypertensive group and the control group were significantly different (153.33±129.33 vs 90.38±97.49 x103 densitometric units/µl; p<0.01). The plasma concentration of MMP-3 was significantly higher in hypertensive subjects then healthy subjects (20.24±8.63 vs 16.41±6.8 ng/ml; p<0.05). The plasma concentration of TIMP-1 in the hypertensive group was lower than that in the control group 88.96±26.9 vs 93.96±27.28 ng/ml. The present study identified abnormalities in plasma markers for extracellular matrix metabolism in hypertensive patients.

Keywords: Autre

P0-126

Effets de l'exposition chronique au plomb au niveau cérébral chez le rat wistar. Étude neurocomportementale et dosages des enzymes cérébrales et exploration de l'effet d'Artemisia absinthium L.

Effect of chronic exposure to lead in the wistar rat brain's, neurobehavioral study, assays of the brain enzymes and exploration of the effects of artemisic absinthium L

K. TAIR

Université D'oran Es Sénia, Oran, Algeria

Le plomb est abondant dans notre écosystème et ses effets délétères son: per y se sur les différents organes même à faible dose et les lésions qu'il ind'uit s' nt très. évères. Nous avons entrepris une étude des troubles neurocomportem, tau, occ sionnés par le plomb et des perturbations que génère cet élément au uvea; cellulaire plus connues sous le nom de « stress oxydant », ainsi qu'une explo ation ae l'effet de la plante Artemisia absinthium L. pour y remédier aux effets ne its au plomb surtout ceux liés à son profil pro-oxydant.

L'exposition des jeunes raís Wistar à l'acétate de plomb (1 g/l) administré dans l'eau de boisson, pendant 8 semaines, a arm é a une chute très significative dans le poids des animaux, une hyperactivité ocomotrice en parallèle avec une augmentation dans le comportement s'éré spé (lèchement, reniflement et toilettage), une anxiété plus élevée, une curiosité réduite ainsi qu'un état dépressif. Ces résultats indiquent que le plomb opère des modifications sur les systèmes et voies de transmi sion canécolaminergiques, cholinergiques et sérotoninergiques, qui son impliques dans le contrôle de ces comportements. Nous avons noté que l'adminis ration de l'extrait de la plante d'Absinthe pendant 4 semaines à des rats précédemment intoxiqués au plomb, a permis un reprise du moins normale de croissance pondérale et une amélioration très modeste dans quelques comportements altérés par le plomb. Ces résultats mettent en valeur l'effet bénéfique de la plante sur la restauration d'un état nutritionnel proche de la normale, et ce par le biais d'une modulation des différents processus de transmissions nerveuses et plus particulièrement la sérotonine.

La mesure de l'activité des transaminases (ALT et AST) au niveau cérébral, enzymes en relation avec le L-glutamate indiquent une diminution très importante dans le taux de cet acide aminé produit, ou libéré chez les lots intoxiqués traduisant une influence sur la transmission glutamatergique. L'activité de la gamma-glutamyl transférase (gamma-GT) était élevée chez le lot intoxiqué ; le plomb peut de ce fait affecter les transporteurs du glutamate. Le taux de LDH au niveau cérébral était lui aussi en hausse.

L'analyse de l'activité de la catalase (CAT) une enzyme antioxydante, indique que l'acétate de plomb augmente significativement le taux de cette dernière soulignant une induction de la production de radicaux libres et à une potentielle fragilisation de la membrane suite à l'intoxication.

Mots clés : Acétate de plomb, cerveau, troubles neurocomportementaux, stress oxydant ALT, AST, LDH, gamma-GT, Absinthium Artemesia L.

P0-127

Les causes de coma chez les malades hospitalisés dans le service de réanimation de l'hôpital Saint-Joseph de Kinshasa

The causes of coma at the sick hospitalized in the intensive care unit of the holy hospital Saint Joseph de Kinshasa

C. ZINGA (1), B. BAMULEJA (2), F. KINTOKI (3), N. NSEKA (4)

- (1) Service De Nephrologie/cliniques Universitaires De Kinshasa/universite De Kinshasa/ Centre National De Pharmacovigilance, Kinshasa, Zaïre,
- (2) Universite Kongo/Faculte De Medecine, Bas Congo, Zaïre,
- (3) Service De Cardiologie/Cliniques Universitaires De Kinshasa/universite De Kinshasa,
- (4) Service De Nephrologie/Cliniques Universitaires De Kinshasa/universite De Kinshasa, Kinshasa. Zaïre

Le coma est considéré une perte ou abolition de la conscience et de vigilance qu'un individu a de lui-même et vis à vis de son entourage. Il constitue un état d'urgence en vue d'un meilleur pronostic.

En Afrique ; peu d'études ont été réalisées sur la connaissance épidémiologique et beaucoup moins dans notre milieu.

La présente étude a voulu déterminer la fréque ce, les étiologies et le taux de mortalité des comas.

Une étude documentaire et descriptive portant sur 1 677 dossiers de 2008 à 2012 a été menée.

Les comas ont représenté 25 % des :as de l'ensemble des admissions.

Les étiologies des comas étai nt corés entées par des causes vasculaires dans 45 %, infectieuses dans 25 %, a étaboliques dans 13 %, traumatiques dans 12 %, tumorales dans 3 %, et to ciqu s da s 2 %.

Le taux de mortalité a cré de (1 %. Les cas de comas sont fréquents dans notre milieu, ses étiologies ont diverses et dominées par les causes vasculaires. Le taux de mortalité est rec élev

Mots clés: Autre

P0-128

Neurotoxicity of ALCL3: modulatory effect of wormwood on the membrane structure and cognitive behaviour Neurotoxicité de l'ALCL3: effet modulatoire de l'absinthe sur la structure membranaire et le comportement cognitif

O. KHAROUBI (1), A. BENYAMINA (2), F. FODIL (1), N. FESRAOUI (1)

(1) Uniersité D'oran, Département De Biologie Faculté De Science De La Narure Et De La Vie, Oran, Algeria, (2) Université Usto, Département De Biotechnologie, Oran, Algeria

(2) Université Usto, Departement De Biotechnologie, Oran, Algeria

Background: Aluminium is the most widely distributed metal in the environment and is extensively used. However, there is no known physiological role for aluminium within the body and hence this metal may induce adverse metabolic effects. Membrane peroxidation of lipid (TBARS) and cholesterol metabolism have been associated in physiopathology of some diseases of brain. The aim of the study was to investigate the effect of aqueous extract of wormwood (Artemisia absinthium) on rat brain correlation between TBARS level, membrane cholesterol and phospholipid and behavioural test after chronic intoxication by aluminium chloride (AlCl3).

Results: After 5 weeks to AlCl3 exposed (300 mg/kg bw i.p) TBARS levels in whole brain was significatively increased, cholesterol and phospholipid was significantly reducted in brain membrane compared to control. A notable significant correlation was noted between TBARS and membrane cholesterol firstly and membrane phospholipid secondly. The behavioral test (locomotors and grooming test) indicates a significant deficits in rat exposed to AlCl3 compared to control. Treatment with wormwood extract indicate a marked improvement performance in cognitive tests compared with group exposed to AlCl3 and improves membrane lipid.

Conclusion: Aluminium-induced peroxidation of lipid in brain could arise from alteration of lipid metabolism, which affects the membrane architectural organization and was assiciate with neurobehavioural changes. Wormwood extract could play an anti-peroxidative role in brain who may be attributed in part to its modulatory effect on peroxidation of lipid and membrane function. Mots clés: Autre

P0-129

Relation entre l'activité sympathique en position debout et la perception de la forme chez le footballeur professionnel Relationship between sympathetic nervous activity and fitness feeling in professional soccer players

J.-O. FORTRAT (1), G. RAVE (2)

(1) UMR, CNRS 6214 Inserm 1083, Biologie Neurovasculaire Et Mitochondriale Intégrée, Angers, France.

(2) Université D'Angers, École Doctorale Biologie Santé, Angers, France

Introduction: L'objectif de cette étude est d'observer la relation entre la perception de la forme physique d'un joueur professionnel de football et l'activité sympathique lors du passage en position debout au cours d'un stand test.

Synthèse des faits: Quatorze joueurs de football professionnel ont participé à une période de matchs rapprochés, quatre en douze jours. Le matin de chaque match, la fréquence cardiaque des joueurs étaient enregistrées sept minutes en position debout après dix minutes passées en position couché. Puis après chacun des matchs, ils leur étaient demandés d'évaluer leur niveau de perception de forme physique à l'aide d'une échelle analogique. Les réponses du système nerveux sympathique ont été étudiées par une analyse spectrale de la fréquence cardiaque. L'analyse statistique (test de Spearman) met en évidence une corrélation (0,553; p-value inférieur à 0,0001) entre le niveau de perception de la forme physique et le logarithme des puissances spectrales en basses fréquences.

Conclusion: Cette étude a permis de montrer qu'il existe un lien entre l'activité du système nerveux autonome lors du passage en position debout et le niveau de perception de la forme des joueurs de football lors d'un match professionnel. Cependant, d'autres paramètres sont à étudier afin de comprendre l'ensemble des mécanismes de la perception de la forme physique

Mots clés : système nerveux autonome, variabilité de la fréquence cardiaque, football, activité sympathique

P0-130 Sildenafil et accident vasculaire cérébral : à propos d'une nouvelle observation Sildenafil and stroke: about a new observation

B. BEN DHAOU, W. GARBOUJ, Z. AYDI, L. BAILI, H. ZOUBEIDI, S. KETARI, F. BOUSSEMA, L. ROKBANI

Service De Médecine Interne. Hôpital Habib Thameur, Tunis, Tunisia

Le Sideanfil (VIAGRA) est une molécule qui a révolutionné le domaine de la prise en charge de l'impuissance sexuelle. Toutefois, il présente un risque important de survenue d'effets indésirables, le plus souvent graves. Les données de la pharmacovigilance ont mis en évidence des événements cardio-vasculaires sérieux, notamment infarctus du myocarde, mort subite d'origine cardiaque, arythmie ventriculaire. Plus rarement, des accidents vasculaires cérébraux peuvent survenir lors de l'utilisation du Viagra chez des patients qui présentent pour la plupart des facteurs de risque cardio-vasculaires. A ce propos nous rapportons une nouvelle observation d'un AVC ischémique survenu chez un patient de +2 ans, diabétique type 2, dyslipémique, peu de temps après un rapport sexuel et après un prise simultanée de 4 comprimés de Viagra. Mr K.S s'est présenté aux urgences le 8/1/2006 pour une hémiplégie droite sans participation facia. Un pisode d'AIT est survenu 15 jours auparavant. L'examen cardiovasculaire aux irgences est normal ainsi que l'ECG, en dehors d'une TA à 180/12 m mHg. Il n'y a pas de souffle carotidien. Le scanner cérébral confirme la nature ischémique de l'AVC. La thrombolyse a été récusée en raison des chiffres tensionnels elevés. Il est mis sous anti-agrégants plaquettaires. Le doppler vasculaire et le bilan de thrombophilie sont sans anomalies notables. L'interrogatoire de la fem ne du patient nous apprend la notion de prise simultanée de Viagra à raison de 2 cp cans les heures ayant précédé l'AIT et 4 cp avant l'AVC. L'enquête en pha. nacovi ilance nous a permis de retenir l'imputabilité de cette molécule dans la survenue de cette complication. Les auteurs insisteront sur le respect obligatoire des contre-indications et des précautions d'emploi de cette molécule.

Mots clés : Cerveau

P0-131 U1

Une encéphalopathie hypertensive convulsivante révélant la sclérose tubéreuse de Bourneville Convulsant hypertensive encephalopathy revealing the tuberous sclerosis Bourneville

<u>D.-D BATOUCHE</u> (1), K. ELHALIMI (1), H. BOUGUETTOF (1), D. BOUMENDIL (1), L. SADAOUI (2), M. NEGADI (1), Z. MENTOURI-CHENNTOUF (1)

(1) Service De Réanimation Pédiatrique CHU, Oran, Algeria,

(2) Service De Néphrologie CHU, Oran, Algeria

Introduction : La sclérose tubéreuse de Bourneville (STB) est une phacomatose répondant à une transmission autosomique dominante caractérisée par le développement de tumeurs bénignes.

Patients et Méthodes:

À travers un cas de STB, les auteurs discutent les formes cliniques cardiaques, cérébrales et rénales

Résultat : Un enfant de 29 mois aux an écédents de crises convulsives traitées dans le cadre d'un syndrome de West, compliquées en septembre 2011 d'une encéphalopathie hypertensive convuls vant, motivant son transfert en réanimation A l'examen clinique : un coma stat e IIa, un placard cutané achromique au niveau de la face interne des cuisses, un lipo me au niveau de la région sacrée, une pression artérielle de 160/120 mm Hg. Un bilan d'exploration de l'HTA retrouvait : une fonction rénale normale un alcostéronémie < 50 pmol/l. Le dosage urinaire des VMA était normal. Au foi d'd'œil : une rétinopathie stade 1. L'échographie abdomino – pelvienne objectivait une néphromégalie gauche avec une discrète dilatation pylocalicielle sans obstacle. Une scintigraphie rénale au DMSA retrouvait un rein muet sur sténose de l'artère rénale droite. L'enfant est mis sous nicardipine en seringue autopulsée. L'enfant a été néphréctomisé à droite. L'évolution était marquée par une stabilité de chiffres tensionnels. Vu l'apparition et persistances de crises comitiales, une IRM cérébrale demandée a objectivé des no lules sous-épendymaires le long des parois externes des ventricules latéraux con luant à une STB. L'étude histologique de la pièce néphréctomisée a révélé de multiples angiomyolipomes au niveau de la corticale rénale. L'enfant est mis sor ant sous captopril et carbamazépine avec des contrôles multidisciplinaires.

Discussion: La STB est une affection autosomique dominante. Son diagnostic est clinique avec au moins deux localisations hamartomateuses au niveau : cerveau, rétine, peau, reins, coeur. Il existe des lésions dysplasiques au niveau du cortex cérébral donnant naissance à des hamartomes saillants (tubers). Parmi les manifestations rénales, l'angiomyolipome est la tumeur la plus fréquemment rencontrée (1) ainsi que les lésions kystiques (2). A l'admission de notre patient, nous avons pensé à une origine rénale de l'hypertension artérielle de l'enfant, mais la persistance de crises comitiales et de l'encéphalopathie hypertensive nous ont incité à réaliser une IRM cérébrale, et celle-ci nous a permis d'encadrer l'étiologie de cette hypertension artérielle dans le cadre d'une phacomatose.

Conclusion : Une approche multidisciplinaire est nécessaire pour améliorer la qualité de vie de ces patients.

Références: (1) Montete P. J Chir (Paris) 1986;123:523–34. (2) Sampson JR. Nephrol Dial Transplant 1996;11:34–7.

Mots clés : Imagerie

THÉRAPEUTIQUE

P0-132

Analyse des caractéristiques des patients susceptibles d'influencer la réponse au traitement de l'HTA par une association fixe d'un IEC et d'un ICA

Analysis of patients' characteristics which may influence HTA response to fixed association of a calcium blocker and a CEI

F. ALLAERT (1), C. AUVRAY (2)

(1) Chaire D'evaluation médicale Esc Et Dim CHU Du Bocage, Dijon, France, (2) Laboratoires Bouchara Recordati, Paris, France

Objectifs : décrire les caractéristiques sociodémographiques, cliniques et thérapeutiques des patients ayant bénéficié d'une association fixe IEC et ICA et analyser leur influence sur la réponse au traitement de l'HTA.

Matériels et méthodes : Enquête observationnelle rétrospective conduite en pratique quotidienne de médecine générale. Chaque médecin généraliste devait inclure les 4 premiers patients revus en consultation traités depuis au moins trois mois par une association fixe antihypertensive IEC et ICA, conformément aux recommandations de l'ESH 2009.

Résultats : 1 976 patients âgés de 61,8 ± 10,3 ans, de sexe masculin pour 61,0 % et avec un IMC 27,7 ± 4,2 ont été inclus dans l'étude. 50,3 % avait un LDL-Chol ≥1,6 g/l, 49,5 %, un tabagisme actuel ou arrêté < 3 ans, 49,0 % un Total Chol ≥1,9 g/l, 46,2 % une obésité médiotronculaire (H ≥102 cm F ≥88 cm), 38,2% des TG ≥1,5 g/l, 27,5 % une glycémie à jeun ≥ 1,1 g/l, 19,2 % un HDL-Chol < 0,4 g/l, une insuffisance rénale 2,9 %.

Après 4 mois de traitement en moyenne, la PAS passait de 159 ± 15 mmHg à 136 ± 12 mmHg soit une diminution de 13 % (p < 0,0001), la PAS de 92 ± 11 mmHg à 80 ± 9 mmHg soit une diminution de 10 % (p < 0.0001) avec un taux de normalisation de 54,0 %. L'observance du traitement était jugée insuffisante (score de Morisky) chez 54,9 % des patients. Une étude en régression logistique intégrant l'ensemble des caractéristiques des patients montre que l'obtention d'une normalisation est significativement plus fréquente chez les patient du sexe féminin OR : 1,3 (p < 0,01) ayant une bonne observance OR 1,4 (p < 0,001) et ne présentant pas d'insuffisance rénale OR : 1,8 (p=0,04).

Conclusion: Hormis en cas d'insuffisance rénale associée, l'efficicité antihypertensive de l'association IEC + ICA n'apparaît pas influencée pa le profil de risque cardiovasculaire du patient mais essentiellement par l'observance du traitement qui reste toujours l'élément clé de la réponse au traitement d'l'hypertension artérielle.

Keywords: Médicaments

P0-133

Beneficial effect of the supplementation of highly purified sardine proteins combined to Catrus latifolia extract on lipid profile and tissue redox status in rats fed a high cholester of diet Effets bénéfiques de la supplémentation des protéines de sardine combinées à un extrait lyophilisé d'éco ce du ci con vert (Citrus latifolia) sur le profil lipidique et le statut redox chez des rats rendus nype choics écolémiques

D. KROUF, H. MIR, D. TALEB-SENOUCI

Université Oran. Laboratoire De Nul ition Clinique Et Métabolique, Faculté Des Sciences De La Nature Et De La Vie, Oran, Algeria

Purpose: To determine the effects of supplementation of sardine protein, lime (Citrus latifolia) extract and the combination of both in hypercholesterolemic rats. Methods. Male Wistar rats (n=40) were divided into four groups fed a cholesterol enriched diet containing 20% casein or 20% sardine protein supplemented (HC-Ci and HC-Sp+Ci) or not (HC and HC-Sp) with Citrus latifolia extract (1%) for 4 weeks. A control group (n=10) was fed a 20% casein diet. Results. In HC-Sp, HC-Ci and HC-Sp+Ci groups compared to HC, liver total cholesterol concentrations were decreased. In plasma total cholesterol, non-HDL cholesterol and triacylglycerols were reduced whereas, HDL-cholesterol was increased. Plasma and tissues lipid peroxidation was lower. Plasma nitric oxide levels were decreased. Superoxide dismutase activity was higher in adipose tissue while glutathione peroxidase and glutathione reductase were increased in liver and heart. Catalase activity was higher in heart. Conclusions. In hypercholesterolemic rats, the supplementation with sardine protein, Citrus latifolia extract and the combination of both improves liver and plasma lipid profile and decrease lipid peroxidation in plasma and tissues by increasing antioxidant enzymes activities. The combination Sp+Ci appears to have more potent effects.

Keywords: Sardine protein; Citrus latifolia; Rats; Hypercholesterolemia; Lipids, Lipid peroxidation; antioxidant enzymes

P0-134

Effects of Zygophyllum gaetulum lyophilized aqueous extract on liver and serum lipid levels and paraoxonase activity in rats fed a high-cholesterol diet

Effets d'un extrait aqueux lyophilisé de Zygophyllum gaetulum sur les teneurs des lipides sériques et hépatiques et l'activité de la paraoxonase chez les rats consommant un regime enrichi en cholesterol

S. BERZOU, D. KROUF, A. GUENZET, <u>D. TALEB-SENOUCI,</u> M. BOUCHENAK

Université Oran. Laboratoire De Nutrition Clinique Et Métabolique, Faculté Des Sciences De La Nature Et De La Vie, Oran, Algeria

Coronary heart diseases (CHD) represent a major cause of morbidity and mortality in developed and developing countries. The aim of this study was to investigate the effects of Zygophyllum gaetulum lyophilized aqueous extract on liver and serum lipid concentrations and paraoxonase (PON1) activity in hypercholesterolemic rats. Male Wistar rats (n=20), weighing 176±5 g we're fed a high-cholesterol diet and randomly divided into two groups. The untreated group (HC) received a 20% casein diet supplemented with choleste of (1%) and the treated group (HC-Zg) received the same diet supplemented with the lyophilized aqueous extract of Zygophyllum gaetulum (1g/100g d.et), for 28d. Liver and serum lipid levels were determined using enzymatic colorir etric methods and paraoxonase activity was measured using phenylacetate as substrate. In HC-Zg group compared with HC, liver, total cholesterol (TC), cholesteryl esters (CE) and triacylglycerols (TG) levels were reduced res ectively by 33%, 40% and 43%. In addition, serum TC concentration was diminished (-32%). The hypocholesterolemic effect induced by Zg extract was essentially due to a decrease in LDL-C (-59%). HDL-C concentrations were increased (+50%) and the atherogenic ratios LDL-HDL1-C/ HDL-C and TC/HDL-C were respectively reduced by 73 and 71%. Furthermore, PON1 activity was significantly higher (P<0.05). In hypercholesterolemic rats, it seems that the treatment with Zygophyllum gaetulum extract improves liver and ser im lipid profile and increases paraoxonase activity. These effects appear to be be eficial in preventing hypercholesterolemia, and thus coronary heart diseases. Key words: Rats, Zygophyllum gaetulum, hypercholesterolemia, lipids, paraoxonase.

P0-135

Effets d'un extrait aqueux lyophilisé de Zygophyllum gaetulum sur le profil lipidique du foie et du plasma et le statut redox chez des rats soumis à un régime enrichi en cholestérol Effects of Zygophyllum gaetulum lyophilized aqueous extract on liver and plasma lipid profile and redox status in rats fed a cholesterol enriched diet

D. TALEB-SENOUCI, S. BERZOU, A. GUENZET, D. KROUF Université D'Oran, Oran, Algeria

L'objectif de cette étude est de déterminer les effets d'un extrait aqueux de Zygophyllum gaetulum (Zg) sur le profil lipidique du foie et du plasma et le statut redox chez des rats soumis à un régime enrichi en cholestérol.

Des rats mâles Wistar (n = 12) pesant 176 ± 5 g sont rendus hypercholestérolémiques avec un régime enrichi en cholestérol (1 %) puis divisés en deux groupes : Un groupe non traité consommant un régime à 20 % de caséine supplémenté avec 1 % de cholestérol et 0,5 % d'acide cholique (HC) et un groupe traité soumis au même régime supplémenté avec un extrait aqueux lyophilisé de Zygophyllum gaetulum (1 g/100 g de régime) (HC-Zg), pendant 28 jours.

Chez le groupe HC-Zg comparé au groupe HC, les teneurs en cholestérol total (CT), esters de cholestérol (EC) et (TG) sont respectivement diminuées de 33 %, 40 % et 43 % au niveau du foie. Les concentrations plasmatiques en CT et en C-LDL sont réduites de 32 % et 59 %, respectivement. Les teneurs en C-VLDL sont similaires chez les deux groupes, alors que celles en C-HDL sont augmentées (+50 %). Les concentrations plasmatiques en substances réactives à l'acide thiobarbiturique (TBARS) sont diminuées (-76 %). Au niveau tissulaire, les teneurs en TBARS sont respectivement 4 -, 3,2 -, 1,8 et 3,4-fois plus faibles au niveau du foie, du cœur, du cerveau et de l'aorte. L'activité de la superoxyde dismutase (SOD) est respectivement 4 – et 1,2-fois plus élevée au niveau du foie et de l'aorte. L'activité de la catalase (CAT) est augmentée dans le foie (+14 %), le cœur (+27 %) et l'aorte (+17 %), alors que celle de la glutathion peroxydase (GSH-Px) est respectivement 2,3 – et 1,6 – fois plus élevée au niveau hépatique et aortique. Une importante activité glutathion réductase (GSSH-Red) est notée au niveau du cœur (+14 %), du cerveau (+47 %) et de l'aorte (+23 %). Au niveau érythrocytaire, l'activité de la SOD est augmentée de 1,7-fois. Les teneurs en glutathion (GSH) sont augmentées de 78 %, 35 % et 65 %, respectivement au niveau du foie, du cœur et de l'aorte.

En conclusion, chez le rat rendu hypercholestérolémique, il apparaît que le traitement avec l'extrait aqueux de Zygophyllum gaetulum induit un effet hypocholestérolémiant. De plus, cet extrait corrige le stress oxydant en réduisant la peroxydation lipidique et en augmentant l'activité de certaines enzymes antioxydantes au niveau érythrocytaire et tissulaire. Ainsi, Zygophyllum gaetulum semble avoir un effet anti-athérogène et protecteur vis-à-vis du risque cardiovasculaire chez le rat soumis à un régime enrichi en cholestérol.

Keywords: Cœur

P0-136

Effets de la supplémentation en huile d'argan sur l'équilibre glycémique, la dyslipidémie et quelques marqueurs du statut oxydant et antioxydant chez le rat obèse

Effects of argan oil supplementation on glycemic control, dyslipidemia and some markers of oxidant and antioxidant status in obese rats

M. LAMRI-SENHADJI, I. HARRAT, I. TAIR, F. DEHIBA, S. LOUALA Laboratoire De Nutrition Clinique Et Métabolique (Incm), Fac Des Sciences, Département De Biologie, Université D'Oran, Oran, Algeria

Les effets d'une supplémentation en huile d'argan sur l'équilibre glycémique, la dyslipidémie et quelques marqueurs du statut redox sont étudiés, chez le rat rendu obèse consommant un régime hypergras.

Au poids corporel (PC) moyen de 350 g, les rats répondeurs sont divisés en 2 groupes homogènes et consomme chacun pendant 28 jours un régime obésogène supplémenté ou non en huile d'argan : le groupe obèse traité reçoit quotidiennement de l'huile d'argan par gavage à raison de 1 mL/100 g de PC, alors que le groupe obèse non traité est gavé avec de l'eau distillée dans les mêmes conditions et sert de contrôle.

A J28, chez le groupe obèse traité comparé au groupe non traité, le PC est réduit de 14 %. Les teneurs sériques en cholestérol total (CT), glucose, HbA1c et en insuline sont diminuées de 48 %, 18v %, 22 % et 13 %, respectivement. En revanche, les concentrations sériques en triglycérides (TG) ne sont pas influencées par la supplémentation en huile d'argan. Les teneurs sériques et hépatiques en substances réactives à l'acide thiobarbiturique sont réduites respectivement de 44 % et 66 %. De plus, les teneurs des isoprostanes sériques et urinaires sont abaissées respectivement de 45 % et 11 %, respectivement. L'estimation du statut antioxydant total du sérum et du foie montre que ce dernier est semblable chez les 2 groupes de rats, alors qu'au niveau du tissu adipeux, le statut antioxydant est élevé (+29 %). Les teneurs sériques en acide urique et en albumine sont diminuées respectivement de 45 % et 11 %. En revanche, le fer sér que est augmenté de 40 %.

L'importante activité antioxydante de l'huile d'argan serait proba lement due à sa richesse en composés bioactifs (tels que gamma toco phérol, co mposés phénoliques, principalement les acides férulique et syringique, et certains stérols). Ainsi, son incorporation dans un programme diététique peut être stratégiquement efficace pour prévenir et/ou attenuer, voir améliorer l'équilibre glycémique, l'hypercholestérolémie et atténuer l'attaque radicalaire chez des sujets obèses, ce qui permettra de prévenir les complications associées à l'obésité

Keywords: Vaisseaux

P0-137

Études phytocl imiques et pharmacologiques de quelques plantes médicinales centrafricaines à propriétés antidiabétiques Phytochemical and pharmacological studies of some medicinal plants from Central Afrika with anti-diabetic properties

J.-N. KOANE (1), J.L. SYSSA-MAGALE (2), J. OUAMBA (3)

- (1) Université De Bangui, Bangui, CENTRAL AFRICAN REP,
- (2) Université De Bangui, Bangui, CENTRAL AFRICAN REP, (3) Université Marien-Ngouabi, Brazzaville, CONGO

Le diabète constitue un véritable problème de santé publique dans le monde. Il se traduit par un taux de sucre anormalement élevé, mesuré dans le sang à plusieurs mois d'intervalles. Il s'agit d'une maladie métabolique chronique qui survient quand le pancréas ne sécrète pas d'insuline : diabète insulinodépendant (le type I) qui touche généralement le sujet jeune avant 30 ans ou quand le pancréas ne produit pas suffisamment d'insuline et que la sécrétion de celle-ci est déficitaire ; forme de diabète retrouvé chez les adultes et les obèses : le diabète non insulino-dépendant (le type II). En effet, face à l'insatisfaction constatée des remèdes modernes, les pistes phytothérapeutiques traditionnelles semblent renforcer un potentiel intéressant, dont le processus de mise en valeur, de la plante au phytomédicament, à travers des procédés scientifiques adéquats, pourrait offrir une alternative crédible, en faveur des communautés.

Keywords: Médicaments

P0-138

Impact des habitudes diététiques sur l'hypertension artérielle et le diabète

Impact of diet habits on hypertension and diabetes

S. MIMOUNI1, F. MAOUCHE (2), K. BENMADANI (2), N. HADJI (2), A. BOUDIBA (1)

(1) Service De Diabétologie; CHU Mustapha, Alger, Algeria,

(2) Faculté Des Sciences Biologiques, Usthb, Alger, Algeria

Objectifs de l'étude : étude analytique du comportement alimentaire des patients et le retentissement sur les chiffres tensionnels.

Évaluer les autres facteurs associés à l'Hypertension artérielle et rapporter leur relation avec le mode alimentaire.

Matériels et Méthodes : Il s'agit d'une enquête descriptive sur les habitudes alimentaires d'une population recrutée au sein des consultations de différents services de Cardiologie, diabétologie et en consultation périphériques (à la maison des diabétiques). 31 patients ont été interrogés. Les paramètres anthropométriques ont été analysés ainsi que le grade de l'Hypertension artérielle, le comportement alimentaire et les complications existantes.

Résultats: Parmi nos patients, la moyenne d'âge est de 58 ans pour les hommes et 53 ans pour les femmes. Selon le BMI on retrou ve 46 % d'obésité chez les hommes et 50 % chez les femmes ; Le PA

Concernant le mode alimentaire, le petit déjeuner est pris dans 96 % des cas, le déjeuner 90 %, le goûter 80 % et le dîner 82,5 % des cas. Ces repas sont pris à domicile dans 75 % des cas et en exterieur dans 25 % des cas. Ils sont servis dans une assiette dans 72 % des cas et sous forme de sandwich dans 28 % des cas. Le grignotage est retrouvé dans 46 % des hommes et 55,5 % des femmes.

L'Hypertension artérielle systolo diastolique existe chez 69 % des hommes et 72 % des femmes ; le diabète de type 2 chez 58 % des hommes et 42 % des femmes ; Une dyslipidémie athérogène chez 35 % des hommes et 70 % des femmes. La sévérité de l'Hypertension artérielle est corrélée à la surcharge pondérale, au périmètre abdominal et à l'importance de la dyslipidémie.

Conclusion: Le comportement alimentaire a un impact certain sur les pathologies métaboliques telles que le diabète, l'Hypertension artérielle et la dyslipidémie. Cette enquête révèle chez nos patients, des anomalies diététiques persistantes, dont les conséquences sont corrélées à la sévérité de l'Hypertension artérielle. Le saut des repas ainsi que le grignotage demeurent fréquents chez nos patients de même que les apports caloriques excessifs. L'éducation thérapeutique est maintenant centrée su le patient, aussi, une attention particulière doit être apportée à cette partie non négligeable du traitement.

Keywords: Mesure de La T.A.

P0-139

Influence des acides gras oméga 3 et de l'acide linoléique conjugué sur l'insulinorésistance, le profil des lipides et le stress oxydatif, chez des rats consommant du fructose

Influence of omega 3 fatty acids and conjugated linoleic acid on insulin resistance, lipid profile and oxidative stress in fructose-fed rats

D. AIT YAHIA (1), Z. MELLOUK (1), A. SENER (2), W. MALAISSE (2)

- (1) Université Es-Sénia, Oran, Algeria,
- (2) Université Es-Sénia, Oran, Algeria, (3) Université Libre De Bruxelles, Bruxelles, Belgium,

(4) Université Libre De Bruxelles, Bruxelles, Belgium

Le but de cette étude est d'explorer la capacité des acides gras omégas 3 et de l'acide linoléique conjugue (ALC) à améliorer l'insulinorésistance, la pression artérielle, les anomalies lipidiques et le stress oxydatif du muscle, chez des rats consommant du fructose. Des rats femelles Wistar sont répartis en 4 groupes et reçoivent pendant 8 semaines des régimes contenant 64 % d'amidon (régime témoin) ou de fructose (régime F), 64 % de fructose supplémenté soit avec 1,6 % d'acides gras polyinsaturés oméga 3 (régime F-oméga3) ou ALC (régime F-ALC). Le test de tolérance au glucose, la pression artérielle, le glucose, l'insuline, la HbA1C, les lipides, ainsi que le statut redox du muscle ont été déterminés.

La consommation chronique du fructose favorise le développement de l'obésité, l'hypertension artérielle, la détérioration de la tolérance au glucose, sans toutefois altérer le glucose et l'insuline plasmatiques, la sensibilité à l'insuline, l'index insulinogénique comparé aux rats témoins. Une augmentation du cholestérol total (CT), triglycérides (TG) et phospholipides du foie et plasma est observé suite à l'ingestion du fructose. En parallèle, le régime fructose induit un stress oxydatif caractérisé par une élévation des TBARS, des hydroperoxydes, des carbonyles et du NO et une atténuation de la SOD, CAT et GSH-Réd du muscle. L'administration des omégas 3 améliore l'insulinorésistance, augmente l'index insulinogénique et diminue le glucose et la HbA1C. Les rats traités aux ALC élève l'insulinorésistance et réduit la HbA1C. Une diminution du CT, TG et PL plasmatiques et hépatiques est observée suite à la consommation des omégas 3 et ALC. Les régimes F-oméga 3 et F-ALC réduisent significativement les TBARS, hydroperoxydes et carbonyles et augmentent l'activité de la SOD, CAT and GSH-Réd comparés au régime F.

En conclusion, la supplémentation en omégas 3 ou ALC exerce des effets favorables sur la correction des troubles liés au syndrome métabolique par amélioration de la pression artérielle, du profil des lipides et du stress oxydatif, suggérant que ces lipides bioactifs peuvent être utilisés en tant que nutraceutiques pour la prévention et/ou le traitement du syndrome métabolique.

Keywords: Autre

P0-140 La population des hypertendus est un réservoir que l'on remplit sans jamais le vider
Hypertensive population is a tank one fills in without never emptying it

F. GUEYFFIER (1), N. ABCHICHE (2), M. TAPI NZALI (2)

(1) Université Lyon 1 - Hcl - Cnrs, Lyon, France,

(2) Ea4526, Evry, France

Introduction: Treize millions de français sont traités par médicaments antihypertenseurs. Cinq classes majeures sont disponibles dont le choix résulte de concessions faites sur les avantages et les inconvénients de chaque traitement par rapport au patient. L'objectif de notre travail est de développer une plateforme de simulation réaliste de stratégies d'utilisation des antihypertenseurs de manière à pouvoir les comparer et à mettre au point une stratégie optimale.

Méthodes: La plateforme de simulation repose sur un système multi-agent (SMA), un agent étant un patient ou un soignant. Les principes de simulation sont scindés en 3 groupes de règles : 1. Les règles de diagnostic qui permettent de prendre la décision de traiter un patient. Le diagnostic repose sur la pression artérielle systolique au-dessus du seuil de 140 mmHg. 2. Les règles de prescription qui permettent de choisir le médicament à appliquer : au hasard dans la stratégie classique, en fonction des déterminants de la réponse dans la stratégie alternative. Le premier déterminant de réponse est l'âge. 3. Les règles d'effet des médicaments. Une variation en fonction de l'âge a été introduite, les diurétiques et antagonistes calciques étant plus efficaces chez les individus âgés, les inhibiteurs de l'enzyme de conversion, sartans et bêtabloquants étant plus efficaces chez les plus efficaces chez les plus jeunes.

Les individus virtuels sont extraits d'une population virtuelle réaliste Française entre 35 et 64 ans. Résultats

La population virtuelle de travail était constituée de 4 998 personnes, d'âge moyen 49 ans, avec 50 % de femmes, une pression artérielle initiale de 129/81 mmHg, parmi lesquelles 1 232 (25 %) étaient hypertendues. Les deux stratégies ont été appliquées. Sur un total de 10 visites, le nombre d'hypertendus réels non diagnostiqués était au plus de 10, soit moins de 1 %. Le nombre de personnes traitées à tort était de 2 ° %. La stratégie alternative a été plus efficace avec un meilleur contrôle final, attent plus rapidement.

Conclusion: La plateforme ISThME permet de simuler des prescri₁ ions l'échelle d'une population, et de tester l'efficacité de stratégies de prise en change. Les développements de la plateforme incluent la mise en ouvre de règles plus complexes, l'intégration de l'observance, la prise en compte d'au res agents influençant le comportement des prescripteurs.

Keywords: Médicaments

P0-141 Mild hypertension, sub-group analyses and recommendations Hypertension légère, analyses en sous-groupes et recommandations

F. GUEYFFIER (1), J. WRIGHT (2)

(1) Université De Lyon 1 – Ho pices Civils De Lyon – Chrs, Lyon, France, (2) University Of British Columbia, Vancouer, Canada

Background: Mild hypertension has been recently precisely defined as blood pressure (BP) level of systolic 140-159 mmHg and/or diastolic 90-99 mmHg. It represents about half of the hypertensive population. Several old trials suggested that antihypertensive drugs were beneficial "in mild hypertension". These trials recruited also participants with higher BP levels. We published in 2012 a Cochrane review focused specifically on mild hypertension participants without a previous cardiovascular event. Our review cast doubts about the rationale of currently large prescription habits.

 $\label{lem:objectives:our interpretation contradicts the usual recommendation for subgroup analyses. We discuss here the need for updating these recommendations.$

Methods: Systematic sub-group review of RCTs.

Results: Data on >8,000 people followed for 5 years suggested no reduction in total cardiovascular events, RR 0.97 [0.72, 1.32], in stroke, RR 0.51 [0.24, 1.08] or in mortality RR 0.85 [0.63, 1.15]. This amount of data was limited compared to that available in more severe hypertension and in secondary or high risk prevention, in which a significant benefit was abundantly demonstrated. There was no significant interaction of treatment effect estimates between mild hypertensive and other hypertension categories.

Two interpretations were possible: 1) the lack of interaction authorizes generalizing the results to mild hypertensive patients: this is the usual recommended way to interpret the results from subgroup analyses; 2) the lack of evidence within the

mild hypertension subgroup prevents prescribing these drugs in these individuals. We adopted this latter interpretation, for two main reasons: 1) The numerical importance of the subgroup, in fact the majority of hypertensive patients; and 2) the lesser benefit to be expected in these lower risk individuals, opening largely the possibility of unfavorable benefit to risk ratio.

Conclusions: The lack of certainty regarding the effect of treatment within a numerically dominant sub-group should be disclosed to the patient.

Kevwords: Medicaments

P0-142 Phytochemical profile, antioxidant and hypoglycemic properties of *Linum Usitatissium L*

extract

Profil phytochimique et propriétés antioxydantes et hypoglycémiantes d'un extrait de *Linum Usitatissium L*

F. ALLACHAHER, S. DALI, I. BOUCETA, D. KROUF

Université Oran. Laboratoire De Nutrition Clinique **Et M**étabolique. Faculté Des Sciences De La Nature Et De La Vie, Oran, Algeria

Low-cost herbal treatment is recommended due to their lesser side effect for treatment of chronic metabolic diseases. The aim of the present study was to investigate the chemical composition, antioxidant properties and hypoglycemic potential of Linum usitatissium (Linn). Thin layer chromatography (TLC) profiling of L. usitatissium extract give an idea about the presence of various phytochemicals. The values of several retention factors (Rf) of phytochemicals provide valuable evidence regarding to their polarities and type of solvents used. L. usitatissium extract showed the presence of various phytocompounds like flavonoids and alkaloids and found to contain a large quantities of phenolics compounds and flavoroids. Total phenolics amount was found to be 30.89±0.09 μg g-1 Gallic A id Equivalents (GÂE) and flavonoids 47.01±0.12 μg g-1 Quercetin Equivalents (CE). In itro antioxidant activity of petroleum ether, ethyl acetate, methanolic and utanolic extracts of flaxseed have been tested using various antioxidant model system via DPPH, hydrogen peroxide and reducing power. Butanolic extract of L. usitatissium found to possess a higher DPPH radical scavenging activity, petroluleum ether and ethyl acetate extracts are found to possess a higher hydrogen peroxide scavenging activity. Methanolic extract of L. usitatissium showed a higher reducing capability and in vitro α-glucosidase in bition provided a strong evidence for confirmation of Linum usitatissium as excellent antidiabetic remedy. The present findings suggest that this herb has potential to develop a new functional dietary agent to treat chronic metabolic diseases, such as diabetes and/or hyperlipidemia.

Key Words: Hypoglycemic potential, Thin Layer Chromatography, Linum usitatissium, phenolics, flavonoids, Antioxidant activity, Hydrogen peroxides.

P0-143

Portulaca oleracea aqueous lyophilized exerts antioxidant activity on lipoproteins particles and red blood cells of streptozotocin-induced diabetic rats L'extrait aqueux lyophilisé de Portulaca oleracea exerce un effet antioxydant sur lipoprotéines plasmatiques et les érythrocytes des rats rendus diabétiques par injection de streptozotocine

A. GUENZET, D. KROUF, S. BERZOU, M. BOUCHENAK

Université Oran. Laboratoire De Nutrition Clinique Et Métabolique, Faculté Des Sciences De La Nature Et De La Vie, Oran, Algeria

Background: Plant extracts are generally assumed to be more acceptable and less hazardous than synthetic compounds and could be alternative antidiabetic treatments. Portulaca oleracea (Po) has been used in a folk medicine in Algeria to treat diabetes.

Objectives: The aim of the present study was to determine the effects of lyophilized aqueous extract of Po on paraoxonase activity (PON1) and lipoproteins lipid peroxidation (LPO) as well as antioxidant enzymes activities in red blood cells (RBCs) and liver, in streptozotocin-induced diabetic rat.

Methodology: Diabetes was induced intraperitonially by a single injection of streptozotocin (STZ) (55mg/kg bw). Twenty diabetic rats, weighing 263±5g, were divided into two groups fed a casein diet supplemented or not with Po extract (1g/kg bw), for 4 weeks.

Results: At d28, in Po treated \(\varphi\) untreated diabetic groups, total cholesterol (TC) was decreased in LDL-HDL1 (-51%) and HDL3 (-21%), inversely; it was increased by 26% in HDL2 particles. LPO assessed by the TBARS assay was decreased in plasma (-65%), LDL-HDL1 (-61%), HDL2 (-59%) and HDL3 (-64%). In addition, in liver and RBCs TBARS concentrations were 1.8-fold lower. Paraoxonase activity was enhanced (+49%) with Po treatment. In RBCs, reduced glutathione (GSH) level was improved (+43%) and GSH-Px, GSSH-Red, SOD and CAT enzymatic activities were increased by 42%, 563%, 31% and +50%, respectively, while in liver, SOD and GSH-Px were increased significantly (P<0.05).

Conclusion: In diabetic rats, it seems that Portulaca oleracea exerts anti-atherogenic effect by reducing cholesterol in lipoproteins and enhancing RBCs antioxidants enzymes and PON1activities.

 $\begin{tabular}{ll} \bf Keywords: Rats-Portulaca oleracea-Streptozotocin-Lipoproteins-Paraoxonase-TBARS-Antioxidative enzymes \\ \end{tabular}$

P0-144

Prise en charge de l'HTA dans un service de médecine interne : qu'en est-il des recommandations ?

Management of arterial hypertension an internal medicine department: what about the recommendations?

H. LAFER, O. MOUSSANNEF, A. BELAID, O. FACI, A. LAHLOU,
N. BOUZIANE, M. KHALDI, A. DERBAH, A. EL KERIA, M. BENAIDJA,
N. BENFENATKI

Service De Médecine Interne Eph Rouiba, Alger, Algeria

Introduction: L'HTA est un véritable fléau mondial en constante progression; associée au diabète elle constitue un cocktail mortel. Son traitement qui repose sur les recommandations établies par les sociétés savantes permet la réduction des risques cardio-vasculaires et de la mortalité. Véritable problème de santé publique, sa prise en charge pèse lourd sur notre système de sécurité sociale.

Objectif: Revoir nos prescriptions devant une HTA à travers une étude de dossiers et évaluer l'atteinte des objectifs tensionnels.

Patients et méthodes: Étude portant sur 200 dossiers de patients hypertendus suivis en consultation de Médecine Interne.

Résultats préliminaires : L'âge moyen de nos patients est de 65 ans avec des extrêmes allant de 18 à 95 ans.

On note une prédominance féminine (58 %). 55 % des patients cumulent d'autres facteurs de risques cardiovasculaires. Le diabète est associé dans 80 % des cas. 89 % des patients présentent des complications même dans la tranche de patients dont l'objectif tensionnel est atteint.

Les complications cardiovasculaires représentent 56 %, ophtalmologiques 17 %, rénales 16 % et enfin neurologiques 9,5 %, 50 % des patients sont sous monothérapie, 50 % sont sous bithérapie et plus. L'objectif tensionnel est atteint dans moins de la moitié des cas : 41 %.

Discussion : Les résultats sont loin d'être conformes aux recommandations d'autant plus qu'il s'agit d'une consultation spécialisée.

Les points positifs : (i) le diagnostic est fait selon les recommandations de l'OMS , (ii) le bilan de retentissement a été évalué pour tous les patients.

Les points négatifs : (i) les mesures hygieno-diététiques ne sont pas suivis par les patients ; (ii) l'objectif tensionnel n'est pas atteint par tous les patients (iii) ! majorité des patients sont sous monothérapie.

Conclusion: La prise en charge thérapeutique d'un hypertendu reste difficile malgré les recommandations des sociétés savantes et un arsenal thérapeutique bien développé.

Keywords : Cœur

P0-145

Qu'en-est-il de la prévention secon aire chez les patients à très haut risque cardio-vasculaire en Algérie ? What about in very high cardiovascular risk patients in Algeria

N.-N. ALI-TATAR CHENT^I., L. OUALDESSELAM, M. CHENTIR CHU Mustapha, Service De Cardio¹ogue A1, Alger, Algeria

Introduction: L'éducation th'rapeutique est bien codifiée tant en prévention primaire qu'en prévention secondaire et est menée souvent dans des unités hospitalières dédiées, celui de prendre en charge les facteurs de risque cardiovasculaires afin de prévenir et réduire la possibilité de récidives. Pouvons-nous l'appliquer dans un service de cardiologie générale?

Méthode: Les patients à très haut risque vasculaire se présentant en hôpital de jour pour consultation exploration ont été inclus dans l'étude. L'évaluation comprenait un examen clinique complet avec prise systématique du tour de taille, la prise tensionnelle après 5 minutes de repos ; un électrocardiogramme ; un examen échocardiographique ; un examen Doppler des troncs supra aortiques et un index de pression systolique chez les patients hypertendus diabétiques.

Après un test de connaissance de leur maladie, ils ont eu des conseils diététiques et des informations sur leurs facteurs de risque.

Résultats: Nous avons inclus de janvier 2009 à décembre 2012, 359 patients dont 219 avec infarctus du myocarde (IDM ST+) et hypertension artérielle (HTA) dont 61 femmes d'âge moyen 61 ans avec des extrêmes de 38 et 93 ans ; 67 syndromes coronariens aigus sans sus décalage du segment ST(SCA ST-) avec HTA d'âge moyen 66 ans avec des extrêmes de 45 et 70 ans dont 27 femmes ; 66 accidents vasculaires ischémiques (AVCI) avec HTA dont 32 femmes d'âge moyen 57 ans avec association HTA-diabète dont 39 % des cas. L'artériopathie oblitérante des

membres inférieurs dans 7 cas avec un âge moyen de 43 ans et des extrêmes allant de 16 à 75 ans dont 4 hommes et 3 femmes.

Conclusion : Si les moyens d'un service généraliste ne sont pas comparables à ceux d'un service dédié à l'éducation thérapeutique, ce travail a tout de même mis en évidence la bonne acceptabilité du test de connaissance et la faisabilité de l'éducation thérapeutique personnalisée des patients.

Mots clés: éducation thérapeutique, pression artérielle, haut risque.

Keywords: Mesure De La T.A.

P0-146

Suivi thérapeutique et adaptation posologique de l'isoniazide par méthode pharmacocinétique Dosage adjustment and therapeutic monitoring of isoniazid by pharmacokinetic method

M. SIFI (1), M. MAAMAR (2), R. DJAFER (1), K. SOBHI (2),

D. SEDDOUKI (2)

(1) Laboratoire De Toxicologie, Annaba, Algeria,

(2) Laboratoire De Toxicologie, Alger, Algeria

L'isoniazide (INH) est le médicament antitubere il un majeur actif sur le complexe tuberculosis mais si l'efficacité de ce médica neue et indéniable, sa mauvaise tolérance constitue parfois un handicop ingieu, et r'eut compromettre le succès thérapeutique; ainsi le suivi thérapeutique s'in pose alors, pour ajuster la posologie en cas d'apparition des signes d'effets indési ables ou pour éviter carrément l'échec thérapeutique.

Les objectifs de notre travail porte et sur l'adaptation posologique de l'isoniazide fondée sur la concentration en INH actif à la troisième heure chez quelques patients tuberculeux.

Nous avons dosé l'isoniazia a niveau plasmatique selon une méthode analytique de type Chromatog a phie Liquide de Haute Performance couplée à un détecteur UV-Visible.

Notre étude a nonte malgré une posologie standard appliquée aux patients, une disparité de taux d'INH dans le sang, nous avons trouvé que cinq patients été des acétyleurs rapules, et les trois restants des acétyleurs lents.

Dans les huit cas étudiés, cinq nécessitent une correction de posologie.

No tre to vail a permis d'identifier les différents types d'acétyleurs (lents et rapides) et d'ajuster la posologie standard si nécessaire pour assurer un traitement efficace de la urberculose.

Keywords: Medicaments

P0-147

Utilisation de la médecine traditionnelle par les patients hypertendus au service de cardiologie de l'hôpital national Ignace Deen, CHU de Guinée Conakry Usage of the traditional medicine by the hypertensive patients in the service of cardiology of the national hospital Ignace Deen (CHU Guinea Conakry)

M.-S. TRAORE (1), M. BALDE (1,2,3), T. DIALLO (2), M. DIALLO (2,3), E. BALDE (2,3), A. CAMARA (1,2,3), A. KEITA (2,3), S. TOURE (4), M. BALDE (4)

(1) Laboratoire Pharmaceutique Amb-Pharma, Dubréka, Guinea Republic,

(2) Centre De Recherche Et De Valorisation Des Plantes Médicinales-Dubréka, Dubréka, Guinea Republic,

(3) Département Pharmacie Université Gamal Abdel Nasser Conakry, Conakry, Guinea Republic.

Republic, (4) Service De Cardiologie Hôpital National Ignace Deen, CHU De Conakry, Conakry, Gulinea Republic

L'hypertension artérielle classée parmi les pathologies prioritaires en Guinée est une affection chronique qui pose un problème majeur de santé publique. La prise en charge de cette affection reste difficile eu égard à la pauvreté des populations et au coût élevé de médicaments modernes. Cette situation laisse entrevoir le recours d'une frange importante des patients hypertendus à la médecine traditionnelle.

Le but de cette présente étude était de déterminer la proportion de patients hypertendus ayant recours à la médecine traditionnelle, identifier les raisons ce recours et recenser les recettes utilisées pour une perspective de validation.

Une enquête transversale de type descriptif a été réalisée dans le service de cardiologie de l'hôpital national d'Ignace Deen (CHU de Guinée-Conakry) sur une période de 6 mois allant du 20 Juin au 9 Novembre 2012.

Sur une cohorte de431 patients hypertendus interrogés 116 avaient déclaré utiliser la médecine traditionnelle soit une prévalence 27v%. Une légère prédominance féminine a été notée soit une fréquence de 54,31 %(63/116). L'âge moyen des patients étaient de 60±14 ans (extrêmes 21 et 87 ans). Plus de la moitié des patients 59,4 %(69/116) était non scolarisée et avait un revenu mensuel compris entre 15 et 40 euros. Les raisons associées à l'usage de la médecine traditionnelle par les patients étaient : une recommandation du fait de l'expérience jugée positive par d'autres patients (70,68 %), le moindre coût (14,65 %), l'efficacité

préjugée des recettes traditionnelles (6,89 %), les raisons culturelles (6,03 %), et les effets indésirables des médicaments classiques (1,75 %).

Les sources d'approvisionnement des recettes étaient : les herboristes (65,51 %), les guérisseurs (18,10 %) et la récolte par les patients (16.37 %).

L'efficacité de cette pratique a été jugée bonne par 31.89% des patients, modérée par 60.34 %, nulle par 6.03 % (7/116) tandis que 1,72 % ont affirmé constater une aggravation de leur état de santé. Au total 41 espèces de plantes appartenant 24 familles botaniques ont été recensées.

e Production

Les plantes les plus citées ont été: Combretum mucronatum (79 citations), Citrus limon (8 citations), Allium sativum (6 citations), Persea americana, Hymenocaridia acida et Gossipium barbadense (5 citations pour chaque espèces). Une évaluation ethnothérapeutique des recettes les plus citées a permis de sélectionner 8 plantes entrainant une baisse modérée de la pression artérielle. Les investigations phytochimiques et pharmacologiques de ces plantes sont en cours.

Keywords: Autre



Elsevier Masson France EM consulte www.em-consulte.com

Annales de cardiologie et d'angéiologie

http://france.elsevier.com/direct/ANCAAN

Annales de cardiologie et d'Angéiologie 62 (2013) 66-68

33^{es} Journées de l'Hypertension Artérielle 7th International Meeting of the French Society of Hypertension

Programme Infirmières

Jeudi 19 décembre 2013 de 10h00 à 12h00

CO- Inf 01 Dénervation rénale : sélection des patients, gestion peri-opératoire et suivi

A. PERRAUD CHU de Lvon, Lvon

Depuis quelques années, une nouvelle technique interventionnelle a émergé dans le domaine de l'hypertension artérielle : la dénervation rénale endovasculaire. Elle s'adresse aux patients présentant une hypertension artérielle résistante essentielle sous un traitement médical optimisé. Le rationnel physiopathologique est de diminuer l'hyperactivité du système nerveux sympathique en interrompant partiellement la communication des rameaux nerveux entre le cerveau et le rein. Ce phénomène est fréquemment associé chez les patients présentant une hypertension artérielle résistante. Les candidats éligibles à la procédure doivent avoir un bilan spécifique pour éliminer une hypertension artérielle secondaire mais également pour s'assurer de la faisabilité du geste de dénervation. Après ce screening, l'intervention nécessite une hospitalisation brève de moins de 72 heures avec une surveillance spécifique et des adaptations thérapeutiques. Le geste se pratique pour l'instant via un abord artériel fémoral et consiste en la réalisation d'au moins 4 points de radiofréquence dans chacune des artères rénales pour léser les nerfs sympathiques cheminant au sein de leur paroi. Les résultats au long cours sont encourageants mais le niveau de preuve scientifique de l'efficacité de cette technique repose seulement sur quelques essais cliniques et un recul actuellement limité à 3 ans. Notamment la réponse interindividuelle est variable et l'ampleur du bénéfice qu'obtiendra chaque patient est pour l'instant difficile à prévoir. Les suites de la procédure nécessitent un suivi régulier en vue de modifications thérapeutiques mais également pour s'assurer de la prennité des résultats et de dépister d'éventuelles complications à long terme. De nomb eux essais cliniques sont actuellement en cours pour renforcer les connaissances sur la technique et permettre de mieux cibler les futures indications de la dénervation rénale.

Renal denervation: patient's work-up, procedural aspects and follow-up

A. PERRAUD CHU de Lyon, Lyon

Since a few years, a novel approach becomes available in hypertension: endovascular renal denervation. This therapy is indicated for patient with essential resistant hypertension after an optimal antihypertensive treatment. In resistant hypertension, the sympathetic tone is frequently overactive. The sympathetic nerves located in the renal artery are potential target to decrease this sympathetic tone. Before renal denervation, all patients must have a hypertension check-up to rule out secondary hypertension but also to confirm that all necessary conditions are present to perform this therapy. Renal denervation is performed actually via femoral arterial approach during a 3 days hospital stay. For the moment, the effects of renal denervation are encouraging and seem to persist to at least 3 years. Essentially, we must be cautious because we do not know the real long-term consequences of this procedure on renal function and patients must be followed carefully. There is a great hope for renal denervation, as this technique is an option for patients with resistant hypertension; and the indications for renal denervation may be extended in the future, depending on the available evidence.

CO-Inf 02 ETP en HTA program ne ville-hôpital

H AURIOI

CHU de Bordeaux, Bordeaux

Résumé: Amélioration de la prise ... harg des patients atteints d'hypertension artérielle (HTA) grâce à un programme multidisciplinaire d'éducation thérapeutique du patient (ET!) é. byc conjointement par l'unité transversale d'éducation du patient ambul toire d'aquitaine et l'unité d'HTA du centre hospitalier universitaire le B. réeaux.

Introduction: La p isse, darge de l'HTA passe par le respect des règles hygiénodiététiques, une bonn, observance du traitement et un bon usage de l'auto-mesure. Ces points clefs oul ignés d'ans les recommandations de la Société Française d'HTA sont difficiles à obtenir chez l'hypertendu car cette maladie chronique et fréquente est souvent s'lenc use et négligée.

Objectif: Avoir un programme à proposer au patient afin qu'il puisse mieux participer à sa prise en charge.

Methode: Ce programme a été élaboré par des professionnels (cardiologue, infu nière, diététicienne, pharmacienne et informaticienne/éducatrice) tous formés à 1 ETP et à l'HTA, et des patients hypertendus volontaires. Construction d'un réferentiel de compétences à partir des besoins identifiés par les patients et par les soignants, validation par les patients des objectifs éducatifs permettant d'atteindre les compétences, élaboration des activités et des outils pédagogiques adaptés.

Résultats: Ce programme « Comment faire baisser ma tension ? » comprend un diagnostic éducatif, deux ateliers distincts de deux heures chacun (HTA et comportements de santé / Traitement et diminution du risque cardiovasculaire) et une évaluation à distance. En cas de besoin, il est possible de proposer d'autres programmes complémentaires principalement sur les facteurs de risque cardiovasculaire.

 $\begin{tabular}{ll} \textbf{Mots clés}: hypertension artérielle ; éducation thérapeutique ; création d'un programme ; ville-hôpital \\ \end{tabular}$

ETP / HTA: a whole program

H. AURIOL

CHU de Bordeaux, Bordeaux

Abstract: Improved nursing of the hypertensive using a therapeutic educational multidisciplinary program (TPE), created by a partnership between the university hospital center of Bordeaux (HIGH Blood Pressure unit, HBPU) and the ambulatory patient education unit of Aquitaine.

Introduction: the self-care rules for hypertensive involves good have therapeutic observance (drugs and nutritional recommendations) and appropriate Blood pressure measurement. These key points advisable by FSH are not always followed by the patients who are not fully aware of the danger of this silent disease.

Method: The program was elaborated by profesionnals (cardiologists, nurses, nutritionists, pharmacists and computer specialists) formed at TPE, at hypertension's disease and by some voluntary hypertensive.

Results: This program "How to lower my BP?" includes an initial evaluation, 2

Results: This program "How to lower my BP?" includes an initial evaluation, 2 workshop (1"; High BP concept and consequences, 2" bowering cardiovascular values) and a final evaluation 3 months later. Other additive programs cans be proposed to the patient depending on his needs. This program was started in June 2013. First reactions of patients will be presented at this congress.

Key words: hypertension/therapeutic education/program creation/city-hospital

CO-Inf 03 Film éducatif sur la pose de Holter tensionnel

B. COINTE

Hôpital Henri Mondor, Créteil

Introduction: La mesure de la pression artérielle (MAPA) est l'examen de référence actuellement pour diagnostiquer une hypertension ou évaluer l'efficacité d'un traitement antihypertenseur. La coopération du patient est indispensable pour sa réalisation afin d'avoir un enregistrement de qualité. Au cours de notre pratique professionnelle en Pharmacologie Clinique nous avons fait certains constats. Nous nous sommes aperçus que certains patients ont du mal à comprendre les consignes données pour la bonne réalisation de la MAPA.

Ceci pour diverses raisons: appréhension, barrière linguistique, troubles cognitifs essentiellement. Ces constatations après plusieurs années de pratique nous ont conduit à réaliser un court-métrage pour renforcer les informations données aux patients et à en évaluer l'impact.

Population ciblée: Tous les patients venus pour la pose d'une MAPA.

Méthode: En novembre 2012 nous avons réalisé dans le service un film de 4 minutes avec l'aide du service de la communication de l'hôpital Henri Mondor, et avec tout le personnel du service impliquées dans cette activité. L'impact de cet outil est en cours d'évaluation. Cette évaluation repose sur un questionnaire et une échelle analogique établis dans le service. Le questionnaire ainsi que l'analyse ont été validé par le service de statistique de l'hôpital.

Ce film a été présenté à un échantillon de 100 patients. Une randomisation en deux groupes de 50 patients (un groupe témoin et un groupe expérimental) a été établie. Objectif : Nos objectifs étaient de fournir aux patients des informations visuelles en complément des informations données par les infirmières. Ceci afin d'avoir une meilleur qualité d'examen.

Presentation of a film on ambulatory blood pressure monitoring set-up

B. COINTE

Hôpital Henri Mondor, Créteil

Introduction: The ambulatory measure of blood pressure (MAPA) is the reference examination for the diagnostic of the high blood pressure. The measure of the blood pressure (MAPA) also allows estimating efficiency of treatment for the tension. The cooperation of the patient is essential for the examination. During our professional practice in Clinical Pharmacology we noticed some problems. We noticed that certain patients have difficulty in understanding the instructions. This for different reasons: stress, linguistic barrier, cognitive disturbances principally. These observations after several years of practice have us to bring to realize a movie. This to strengthen the information given to the patients and to estimat impact.

Targeted population: All the patients come for the installation of a "MAPA"

Method: In November 2012 we realized a movie of 4 minutes. This vit! ugly of the communications office of the hospital and with all the st ff of the department implied in this activity. This impact of this tool is in the cours. of evaluation. This evaluation is made by means of a questionnaire. 2 wo kben h in the department and validated by the department of statistics. The novie has been viewed to 100 patients.

A randomization of two groups of 50 patients was established (a group witness and an experimental group).

Objectif: Our objectives were to supply to the patients of the visual information. This to complement information given by the nurse to have one quality of examination.

CO-Inf 04

Mise en place d'un programme d'ETP dans les centres sociaux de la région pour les patients à risque cardio-vasculaire

A. NOEL

1.00 -

Les recommandations actuelles sur la prévention des maladies cardio-vasculaires reconnaissent l'intérêt majeur du contrôle de tous les facteurs de risque. Sont inclus la réduction de la pression artérielle, les mesures diététiques (perte de poids, contrôle de la dyslipidémie et du diabète, pratique d'une activité physique régulière), arrêt du tabac, gestion du stress,...

Dans le même sens, plusieurs auteurs ont suggéré qu'il était essentiel pour les patients à haut risque cardio-vasculaires d'avoir des conseils sur leur pathologie, leurs médicaments, et comprendre l'intérêt d'adopter une bonne hygiène de vie... Pourtant, en France, peu de programmes d'Education Thérapeutique sont proposés aux patients avec une hypertension artérielle et d'autres facteurs de risque cardio-vasculaires.

Depuis 2009, l'association « HTA Vasc Nord pas de Calais » a développé un programme d'Education thérapeutique qui se déroule dans les centres sociaux de Lille et d'Arras. Ce programme soutenu par d's medecins généralistes est divisé en 3 phases. Premièrement, l'équipe éu tan méa se un diagnostic éducatif individuel pour définir les objectifs du programme en fonction des besoins et attentes de chaque patient. Deuxièn ment, les patients assistent à 3 à 5 ateliers de groupe de 2 heures : 1 à 3 ateliers a vec une infirmière sur l'explication de la maladie, des examens et du suivi ainsi que sur l'apprentissage de la technique d'automesure tensionnelle – c. 2 atein sa vec une diététicienne sur l'alimentation et la gestion du stress. Les patients peuvent aussi avoir des entretiens individuels avec la diététicienne en long ior de leurs besoins. Finalement, un bilan individuel permet d'évaluer le bénnées du programme pour chaque patient et définir de nouveaux objectifs.

Actuellement, ITA Vasc a développé une étude clinique prospective randomisée afin d'apporte une preuve scientifique de l'efficacité de son programme d'Education tain i permettre de le développer et de le financer.

Setting up a dedicated therapeutic education program in community centers purposed to patients with high cardiovascular risk

A. NOEL

Lille

Current guidelines for the prevention of cardiovascular disease recognize the major interest of an optimal control of all cardiovascular risk factors. It includes high blood pressure reduction, dietetic measures (weight loss – control of dyslipidemia and diabetes – regular physical activity), smoking cessation, stress management... In that way some authors suggest that it is essential for patients at high risk to have knowledge about their own pathology, their medication, and to better understand the real benefit of specific lifestyle behaviors.... However in France just a few number of therapeutic education programs are proposed to patients with hypertension and other cardiovascular risk factors.

Since 2009, the association "HTA Vasc Nord pas de Calais" developed a dedicated therapeutic education program which takes place in community centers in Lille and Arras. This program supported by general practitioner is divided into 3 phases. First the education team realizes an individual educational diagnosis to define the objectives of the intervention according to each patient's needs. Secondly patients assist to 3 to 5 group sessions of 2 hours: 1 to 3 sessions with a dedicated nurse focused on medical therapy explanation and blood pressure self-measurement education – and 2 sessions with a dedicated dietician focused on nutrition program and stress management. Patients can also have individual consultation with the dietician according to their needs. Lastly an individual assessment permits to evaluate the benefits of the program for each patient and to define new objectives. Currently HTA Vasc developed a prospective randomized clinical trial to bring out a scientific proof of it therapeutic program efficacy and then permit it development and financing.

Formation Pratique Infirmières 14h00 à 16h00

CO-Inf 05

Le rein, un coupable ou une victime de l'Hypertension Artérielle ?

S. RUBIN

Service Néphrologie, CHU de Bordeaux

Près d'un tiers de la population française adulte est hypertendue. Cette prévalence très élevée est observée dans les pays industrialisés et s'explique en grande partie par une alimentation riche en sel. Chaque année en France 9 300 personnes débutent une première séance de dialyse pour traiter une insuffisance rénale chronique terminale. Pour 23 % d'entre eux, l'hypertension artérielle en est responsable. Le rein est l'organe clef de la régulation du sel dans l'organisme et se retrouve ainsi impliqué dans la pathogénèse de la maladie hypertensive essentielle mais en est aussi une cible privilégiée au même titre que le cœur ou le cerveau.

La connaissance des grands mécanismes de la régulation du sel permet de mieux comprendre l'inérêt du régime hyposodé, sa faisabilité et sa surveillance par l'indisnensable recueil urinaire des 24 h.

La surveillance du retentissement rénal de l'hypertension artérielle par la détection d'une dégradation de la fonction rénale ou de l'apparition d'une protéinurie et/ou hématurie est indispensable au suivi des patients hypertendu.

Le rein est aussi la cible d'un grand nombre de thérapeutiques anti hypertensives, notamment les plus récentes comme la dénervation rénale.

Par ailleurs, certaines HTA sont « secondaires » à des maladies rénales primitives et expliquent l'intérêt du dépistage de ces maladies chez le patient hypertendu.

Rediodincii

Ce dépistage est réalisé en fonction des cas par une simple bandelette urinaire et une créatinine plasmatique conformément aux recommandations internationales ou pour d'autres avec des examens plus approfondis en fonction de signes d'appels qu'il faut savoir reconnaitre.

Le patient hypertendu avec une atteinte rénale qu'elle soit primitive ou secondaire est un patient fragile a très haut risque cardio vasculaire qui nécessite des précautions particulières (limitation des produits de contrastes pour les examen radiologiques, contre indication de certaines classes médicamenteuses, précaution d'emploi de certains antibiotiques, limitation des ponctions veineuses).

Kidney and Hypertension: Guilty or sufferer?

S RURIN

Service Néphrologie, CHU de Bordeaux

Like in all industrialized countries, a third of the French population has hypertension due to a high salt intake. Every year, 9300 patients start dialysis in France to treat chronic kidney failure and for 23 percent of them, high blood pressure is the cause.

Kidneys are at the centre of salt regulation and can explain a part of the pathogenesis.

Kidneys are also one of the target organs of the tension, like the heart or brain. The knowledge of salt regulation is important to understand the importance of the salt diet and the follow-up. A dipstic, and rout, a blood test are adequate most of the time to detect a kidney injury due to high blood pressure.

A lot of therapeutics targeted the kidney including renal denervation.

However some patients have a secondary hypertension because of a primary kidney disease, and physicians most know how to recognize it.

All of these patients a e vulr crable and require additional precaution while hospitalized (antibio cs, contrast products, venous capital preservation...)



Elsevier Masson France EM consulte www.em-consulte.com

Annales de cardiologie et d'angéiologie

http://france.elsevier.com/direct/ANCAAN

Annales de cardiologie et d'Angéiologie 62 (2013) 69-73

Index des auteurs

A		Azizi M.	CO-09, CO-28,	Ben Dhia R.	P0-56, P0-62,
			CO-35, CO-37,		P0-72, P0-99
Ababsa A.	P0-124		CO-42	Benetos A.	CO-07, CO-45,
Abchiche N.	P0-140				P0-68, P0-81
Abdelkrim M.	P03-22	D.		Ben Fatma L.	P0-56, P0-62, P0-72,
Abdennbi K.	CO-15	В		n (1111	P0-99, P0-123
Abdessalem H.	P0-60	Babici D.	DO 41 DO 119	Benfenatki N.	CO-07, P0-51,
Abdesselem H.	P0-63, P0-66	Bachir Cherif A.	P0-41, P0-118 CO-07, P0-49,	Benhâtchi S.	P0-55, P0-81, P0-144 P0-114
Abid R.	P0-120	Bacilli Cherii A.	P0-68, P0-81, P0-84	Benhebri F.	P0-38
Abotsi-Adjossou K.	P0-97	Badadoko P.	P0-74	Benjelloun H.	P0-48
Aboudrar S.	P0-48	Baelen M.	CO-08, CO-09	Eenkhedda S.	CO-07, P0-49,
Ackermann D. Added F.	CO-46	Baghous H.	P0-88	Demineration of	P0-68, P0-81, P0-84
Addou S.	P0-102 P0-114, P03-21	Baguet JP.	CO-04, CO-12,	Benjahcen B.	P0-79, P0-124
Adjailia I.	P0-107		P0-92, P0-118, P01-07	Benmadani K.	P0-138
Adoh M.	P0-47, P0-73	Baguet S.	P0-112	Benmaiza S.	P0-91
Adoubi A.	P0-47, P0-73	Baili L.	P0-46, P 0-54 ,	Ben Mami F.	P0-60, P0-63, P0-66
Afassinou Y.	CO-06, P0-74, P0-97		P0-110, P0-130,	Benmaouche N.	P0-45
Agbekponou S.	CO-06		P04-32	Benmerzouga A.	P0-78
Agnoletti D.	CO-15, P01-08,	Balavoine F.	CO-42	Ben Moussa F.	P0-56, P0-62,
8	P03-25	Balde E.	F0-147		P0-72, P0-99, P0-123
Ahemane Z.	P0-38	Balde M.	P0-147	Ben Nacef I.	P0-96
Ah-Kang F.	CO-18	Balkau B.	CO-13	Bennecib Z.	P03-21
Aidi Z.	P0-46	Balogou A.	CO-06	Benomar S. Ben Othmane R.	P03-20 P0-60
Ait Athmane M.	P0-78	Bamba-Kama gat é D.	P0-43, P0-44, P0-50	Ben Othmen R.	P0-66
Ait Yahia D.	P0-139	Bamuleja B.	P0-127	Benrahall I.	P02-18
Ajili F.	P0-120	Baragou S.	CO-06, P0-74, P0-97	Bensaada I.	CO-49
Alamartine E.	P01-06	Barbe N.	P01-07	Ben Said R.	P0-96
Algobari M.	CO-27	Barber-Chamoux N.	P0-112	Ben Selem L.	P02-18
Al -Hiti M.	P0-113	Barutaut M. Batouche DD.	CO-25 P0-53, P0-58, P0-61,	Bensiradj F.	P0-75
Alig-Uechi S.	P0-103	Batouche DD.	P0-65, P0-76,	Ben Slama C.	P0-96, P02-18
Ali-Guechi S. Ali-Tatar Chentir NN.	P0-77, P04-30		P0-117, P0-131	Benyamina A.	P0-128
Ali-Tatar Chentir NN.	P0-71, P0-116, P0-145	Battikh R.	P0-120	Benyoussef S.	P0-37
Alivon M.	CO-20, P01-01	Baudet M.	CO-31	Benzaghou L.	P0-75
Allachaher F.	P0-142	Baudrie V.	CO-41	Bergaya S.	CO-41
Allaert F.	CO-04, P0-92,	Bauduceau B.	CO-02	Berge C.	CO-14, P04-33
	P0-132, P02-13	Baum C.	P03-24	Bergerot D.	CO-42
Allal-Elasmi M.	P0-123, P0-125	Beaussier H.	CO-35	Bernadet P. Berney M.	CO-18 P01-04
Aloui S.	P0-102	Beauvais F.	CO-26	Berry M.	CO-25
Alwan H.	CO-23	Beghaoui I.	P03-21	Bertherat J.	CO-11
Amador C.	P03-26	Behazia S.	P0-114	Bertocchio J.	P03-26
Amah G.	CO-15	Bejan Angoulvant T.	CO-27	Berzou S.	P0-133, P0-135,
Amar J.	CO-18	Beji S.	P0-56, P0-62, P0-72,		P0-143
Amar L.	CO-11, CO-17	D. L. 1111	P0-99, P0-123	Betbout F.	CO-05
Amoura N.	P0-107	Belaadi H.	P0-103	Bihry N.	P03-19
Aouati F.	P0-101	Belaid A. Belhachemi F.	P0-144	Birem M.	P0-75
Argacha J.	CO-16	Belmati F.	P0-67 P0-85	Blacher J.	CO-01, P01-08,
Arhatte M. Aridhi S.	P0-69	Belounnes K.	P03-21		P03-25
Aridni S. Armanet M.	P0-120 CO-27	Bembaron C.	P01-03	Bobrie G.	CO-17,
Asayama K.	CO-23	Ben Abdallah N.	P0-94, P0-98, P0-100	Bochud M.	CO-35, CO-37
Atallah A.	CO-29, P0-87	Ben Abdelhafidh N.	P0-120	Dochud M.	CO-23, CO-46, CO-47
Atallah V.	CO-29, P0-87	Benaidja M.	P0-144	Boggetto-Graham L.	P0-112
Atif L.	CO-07, P0-84	Benallal S.	P0-95	Bohlender J.	CO-44
Auriol H.	CO-Inf 02	Benamer H.	CO-30	Boissin J.	P0-87
Auvray C.	P0-132, P02-13	Ben Ariba Y.	P0-120	Boissin JL.	CO-29
Aydi Z.	P0-54, P0-110,	Ben Dhaou B.	P0-46, P0-54,	Boka B.	P0-47, P0-73
	P0-130, P04-32		P0-110, P0-130,	Boldizhar P.	P0-59
Ayed H.	P04-30		P04-32	Bollache E.	CO-19, CO-34,
Azibani F.	P03-19, P03-27	Ben Dhia N.	P0-102		P0-106

Bongard V.	CO-18	Chauveau D.	CO-18	Dimitrov Y.	P0-112, P0-118,
Bonnet B.	P04-35	Chedid A.	CO-17		P01-07
Bonnet F.	CO-13	Chelghoum A.	P0-77, P0-103,	Dinic M.	P01-06
Bonnin P.	P04-29		P04-30	Djafer R.	P0-146
Bouafia M.	CO-07, P0-49,	Chemmi H.	P0-77	Djaffer R.	P0-115
	P0-68, P0-81, P0-84	Chentir M.	P0-71, P0-116,	Djebbar R.	P0-78
Boualga A.	P03-20	Cheffel IVI.	P0-145	Djellouli D.	P04-36
Bouaricha A.	P04-36	Chentouf-Mentouri Z.	P0-58	Doenz F.	P01-04
Bouayed M.N.	P0-95	Cherfi N.	P0-82, P0-86	Doucet J.	CO-02
Bouceta I.	P0-142	Chevalier C.	CO-10	Dourmap-Collas C.	P0-109, P0-112,
Bouchard P.	P02-11	Chiali N.	P0-75	Bourmap Conas C.	P01-05
Bouchenak M.	P0-113, P0-133,	Chibane A.	CO-07, P0-49,	Dubail D.	CO-36
Douchellak IVI.	P0-143, P02-15	Chibane A.		Dubau M.	P0-41
Boucherit Y.	P0-83	ol p	P0-68, P0-81, P0-84	Du Cailar G.	P04-35
Bouderbala S.	P0-113	Clauser E.	CO-10, CO-41	Ducher M.	
Boudghene F.		Clement K.	P03-23	Ducolombier C.	CO-12
	P04-34	Clepier J.	P0-89		CO-03
Boudiba A.	P0-82, P0-86,	Cloutier L.	P0-108	Ducros J.	P0-90
n 1: 1: 1:	P0-8848, P0-138	Cluzel P.	CO-19, CO-34,	Duprat F.	P0-69
Boudjeli K.	P0-75		P0-39, P0-106	Duron E.	CO-36
Boudjella M.	P0-75	Coghlan L.	P0-48	Duval M.	CO-15
Boughandjioua S.	P0-77, P0-103,	Cohen-Sola A.	P03-27		
	P0-107, P04-30	Cointe B.	CO-Inf 03		
Bouguetof H.	P0-53	Coliban M.	P0-41	E	
Bouguettof H.	P0-76, P0-131	Compaore A.	P0-57		
Bouhanick B.	CO-02, CO-18	Consoli S.	CO-03	Ehlan K.	P0-74, P0-97
Bouheniche A.	P0-45	Cossey G.	P0-59	Ehret G.	CO-23, CO-46
Boukhris N.	P0-77, P0-103,	•		Eisenberger U.	CO-46
	P04-30	Coulibaly I.	P0-43, P0-44,	Ekou A.	P0-44
Boulestreau R.	P04-31	O IDV	P0-47, P0-50, P0- 73	El Bakkali M.	P0-48
Boulkroun S.	CO-11	Courand PY.	CO-14, CO-30,	Elghozi JL.	CO-37
Boully C.	P02-10		CO-32, CO-38,	Elhalimi K.	P0-53, P0-65,
Boumendil D.	P0-53, P0-76, P0-131		P04-28, P04-33		P0-76, P0-131
Bousabbah E.	P0-121	Coutance G.	P03-19, P03-27	El Hraiech A.	P0-121
Boussaadia O.	P0-116	Cremer A.	P0-105, P02-16,	El Keria A.	P0-144
Boussabah E.	P0-37		P04-31	Elkhatib C.	CO-27
		Cruickshank K.	CO-45		
Boussairi S.	P0-123	Curis E.	CO-37	Elmay M.	P0-102
Boussema F.	P0-46, P0-54,	Custaud M.	P03-24	El Moghrabi S.	CO-22, CO-249
	P0-110, P0-130,	Czernichow S.	CO-03	Errguig L.	P0-48
	P04-32			Esmaeilzadeh F.	CO-16
Boussetta N.	P0-120	. ()		Essam Nloo A.	P0-73
Boussouf N.	P0-91	D		Evaristi M.	CO-25
Boutouyrie P.	CO-20, CO-35,				
	, ,		CO-43	F	
•	P0-80, P01-01	Danboul F.			
Bouziane N.K.		Danboul F.		r	
•	P0-80, P01-01	Daigre J.	P0-87		D0 144
Bouziane N.K.	P0-80, P01-01 P0-51, P0-55, P0-144	Daigre J. Dakka T.	P0-87 P0-48	Faci O.	P0-144
Bouziane N.K. Bouzid K.	P0-80, P01-01 P0-51, P0-55, P0-144 P0-66	Daigre J. Dakka T. Dali S.	P0-87 P0-48 P0-142	Faci O. Fadl Elmula F.	CO-08
Bouziane N.K. Bouzid K. Bovet P.	P0-80, P01-01 P0-51, P0-55, P0-144 P0-66 CO-47	Daigre Dakka T. Dali S. Damorou F.	P0-87 P0-48 P0-142 CO-06	Faci O. Fadl Elmula F. Fahloul S.	CO-08 P0-101, P0-124
Bouziane N.K. Bouzid K. Bovet P. Bozec E.	P0-80, P01-01 P0-51, P0-55, P0-144 P0-66 CO-47 P0-80, P01-01	Daigre J. Dakka T. Dali S.	P0-87 P0-48 P0-142 CO-06 CO-03, P0-93,	Faci O. Fadl Elmula F. Fahloul S. Faoro V.	CO-08 P0-101, P0-124 CO-16
Bouziane N.K. Bouzid K. Bovet P. Bozec E.	P0-80, P01-01 P0-51, P0-55, P0-144 P0-66 CO-47 P0-80, P01-01 CO-14, CO-21,	Laigre . Dakka T. Dali S. Damorou F. Danchin N.	P0-87 P0-48 P0-142 CO-06 CO-03, P0-93, P02-11	Faci O. Fadl Elmula F. Fahloul S. Faoro V. Farhaoui K.	CO-08 P0-101, P0-124
Bouziane N.K. Bouzid K. Bovet P. Bozec E.	P0-80, P01-01 P0-51, P0-55, P0-144 P0-66 CO-47 P0-80, P01-01 CO-14, CO-21, CO-32, CO-38,	Laigre . Dakka T. D di S. Damorou F. Danchin N. Darnaux C.	P0-87 P0-48 P0-142 CO-06 CO-03, P0-93, P02-11	Faci O. Fadl Elmula F. Fahloul S. Faoro V.	CO-08 P0-101, P0-124 CO-16 P0-85 CO-22, CO-24,
Bouziane N.K. Bouzid K. Bovet P. Bozec E. Bricca G.	P0-80, P01-01 P0-51, P0-55, P0-144 P0-66 CO-47 P0-80, P01-01 CO-14, CO-21. CO-32, CO-33, P04-28, P04-33	Laigre . Dakka T. D di S. Damorou F. Danchin N. Darnaux C. Dauphin R.	P0-87 P0-48 P0-142 CO-06 CO-03, P0-93, P02-11 P02-11 P04-28	Faci O. Fadl Elmula F. Fahloul S. Faoro V. Farhaoui K. Farman N.	CO-08 P0-101, P0-124 CO-16 P0-85 CO-22, CO-24, P03-23
Bouziane N.K. Bouzid K. Bovet P. Bozec E. Bricca G.	P0-80, P01-01 P0-51, P0-55, P0-144 P0-66 CO-47 P0-80, P01-01 CO-14, CO-21, CO-32, CO-33, P04-28, P04-3' CO-20, CC 35	Daigre . Dakka T. D di S. Damorou F. Danchin N. Darnaux C. Dauphin R. De Becker B.	P0-87 P0-48 P0-142 CO-06 CO-03, P0-93, P02-11 P02-11 P04-28 CO-16	Faci O. Fadl Elmula F. Fahloul S. Faoro V. Farhaoui K. Farman N.	CO-08 P0-101, P0-124 CO-16 P0-85 CO-22, CO-24, P03-23 CO-24
Bouzid K. Bouzid K. Bovet P. Bozec E. Bricca G. Briet M. Bucura R.	P0-80, P01-01 P0-51, P0-55, P0-144 P0-66 CO-47 P0-80, P01-01 CO-14, CO-21, CO-32, CO-58, P04-28, P04-3 CO-20, CC 35	Daigre . Dakku T. Dali S. Damorou F. Danchin N. Darnaux C. Dauphin R. De Becker B. Debreceni O.	P0-87 P0-48 P0-142 CO-06 CO-03, P0-93, P02-11 P02-11 P04-28 CO-16 P0-59	Faci O. Fadl Elmula F. Fahloul S. Faoro V. Farhaoui K. Farman N.	CO-08 P0-101, P0-124 CO-16 P0-85 CO-22, CO-24, P03-23 CO-24 CO-12, CO-14,
Bouziane N.K. Bouzid K. Bovet P. Bozec E. Bricca G. Briet M. Bucura R. Bura-Riviere A.	P0-80, P01-01 P0-51, P0-55, P0-144 P0-66 CO-47 P0-80, P01-01 CO-14, CO-21, CO-32, CO-38, P04-28, P04-23 CO-20, CC 35 P0-41 CC'-18 CO-08, CO-09,	Daigre . Dakka T. Dali S. Damorou F. Danchin N. Darnaux C. Dauphin R. De Becker B. Debreceni O. De Cesare A.	P0-87 P0-48 P0-142 CO-06 CO-03, P0-93, P02-11 P02-11 P04-28 CO-16 P0-59 CO-34	Faci O. Fadl Elmula F. Fahloul S. Faoro V. Farhaoui K. Farman N.	CO-08 P0-101, P0-124 CO-16 P0-85 CO-22, CO-24, P03-23 CO-24
Bouziane N.K. Bouzid K. Bovet P. Bozec E. Bricca G. Briet M. Bucura R. Bura-Riviere A.	P0-80, P01-01 P0-51, P0-55, P0-144 P0-66 CO-47 P0-80, P01-01 CO-14, CO-21, CO-32, CO-3, P04-28, P04-3 CO-20, CC 35 P0-41 CC-18	Daigre . Dakka T. D di S. Damorou F. Danchin N. Darnaux C. Dauphin R. De Becker B. Debreceni O. De Cesare A. Decramer S.	P0-87 P0-48 P0-142 CO-06 CO-03, P0-93, P02-11 P02-11 P04-28 CO-16 P0-59 CO-34 CO-10	Faci O. Fadl Elmula F. Fahloul S. Faoro V. Farhaoui K. Farman N.	CO-08 P0-101, P0-124 CO-16 P0-85 CO-22, CO-24, P03-23 CO-24 CO-12, CO-14,
Bouziane N.K. Bouzid K. Bovet P. Bozec E. Bricca G. Briet M. Bucura R. Bura-Riviere A.	P0-80, P01-01 P0-51, P0-55, P0-144 P0-66 CO-47 P0-80, P01-01 CO-14, CO-21, CO-32, CO-38, P04-28, P04-33 CO-20 CC 35 P0.41 CC -18 CO-09, CO-09, CO-23, CO-46, CO-47, CO-48,	Daigre . Dakka T. D li S. Damorou F. Danchin N. Darnaux C. Dauphin R. De Becker B. Debreceni O. De Cesare A. Decramer S. Dehiba F.	P0-87 P0-48 P0-142 CO-06 CO-03, P0-93, P02-11 P02-11 P04-28 CO-16 P0-59 CO-34 CO-10 P0-136, P03-20	Faci O. Fadl Elmula F. Fahloul S. Faoro V. Farhaoui K. Farman N.	CO-08 P0-101, P0-124 CO-16 P0-85 CO-22, CO-24, P03-23 CO-24 CO-12, CO-14, CO-32, P04-28,
Bouziane N.K. Bouzid K. Bovet P. Bozec E. Bricca G. Briet M. Bucura R. Bura-Riviere A.	P0-80, P01-01 P0-51, P0-55, P0-144 P0-66 CO-47 P0-80, P01-01 CO-14, CO-21, CO-32, CO-38, P04-28, P04-23 CO-20, CO-35 P0-41 CO-18 CO-00, CO-09, CO-23, CO-46,	Daigre . Dakka T. D di S. Damorou F. Danchin N. Darnaux C. Dauphin R. De Becker B. Debreceni O. De Cesare A. Decramer S.	P0-87 P0-48 P0-142 CO-06 CO-03, P0-93, P02-11 P02-11 P04-28 CO-16 P0-59 CO-34 CO-10	Faci O. Fadl Elmula F. Fahloul S. Faoro V. Farhaoui K. Farman N. Fassot C. Fauvel J.	CO-08 P0-101, P0-124 CO-16 P0-85 CO-22, CO-24, P03-23 CO-24 CO-12, CO-14, CO-32, P04-28, P04-33
Bouziane N.K. Bouzid K. Bovet P. Bozec E. Bricca G. Briet M. Bucura R. Bura-Riviere A.	P0-80, P01-01 P0-51, P0-55, P0-144 P0-66 CO-47 P0-80, P01-01 CO-14, CO-21, CO-32, CO-38, P04-28, P04-33 CO-20 CC 35 P0.41 CC -18 CO-09, CO-09, CO-23, CO-46, CO-47, CO-48,	Daigre . Dakka T. D li S. Damorou F. Danchin N. Darnaux C. Dauphin R. De Becker B. Debreceni O. De Cesare A. Decramer S. Dehiba F.	P0-87 P0-48 P0-142 CO-06 CO-03, P0-93, P02-11 P02-11 P04-28 CO-16 P0-59 CO-34 CO-10 P0-136, P03-20	Faci O. Fadl Elmula F. Fahloul S. Faoro V. Farhaoui K. Farman N. Fassot C. Fauvel J.	CO-08 P0-101, P0-124 CO-16 P0-85 CO-22, CO-24, P03-23 CO-24 CO-12, CO-14, CO-32, P04-28, P04-33 CO-31, P03-19,
Bouziane N.K. Bouzid K. Bovet P. Bozec E. Bricca G. Briet M. Bucura R. Bura-Riviere A. Burnier M.	P0-80, P01-01 P0-51, P0-55, P0-144 P0-66 CO-47 P0-80, P01-01 CO-14, CO-21, CO-32, CO-38, P04-28, P04-33 CO-20 CC 35 P0.41 CC -18 CO-09, CO-09, CO-23, CO-46, CO-47, CO-48,	Daigre . Dakka T. D li S. Damorou F. Danchin N. Darnaux C. Dauphin R. De Becker B. Debreceni O. De Cesare A. Decramer S. Dehiba F.	P0-87 P0-48 P0-142 CO-06 CO-03, P0-93, P02-11 P02-11 P04-28 CO-16 P0-59 CO-34 CO-10 P0-136, P03-20 CO-31, P03-19,	Faci O. Fadl Elmula F. Fahloul S. Faoro V. Farhaoui K. Farman N. Fassot C. Fauvel J. Fazal L. Feihl F.	CO-08 P0-101, P0-124 CO-16 P0-85 CO-22, CO-24, P03-23 CO-24 CO-12, CO-14, CO-32, P04-28, P04-33 CO-31, P03-19, P03-27 CO-48
Bouziane N.K. Bouzid K. Bovet P. Bozec E. Bricca G. Briet M. Bucura R. Bura-Riviere A.	P0-80, P01-01 P0-51, P0-55, P0-144 P0-66 CO-47 P0-80, P01-01 CO-14, CO-21, CO-32, CO-38, P04-28, P04-33 CO-20 CC 35 P0.41 CC -18 CO-09, CO-09, CO-23, CO-46, CO-47, CO-48,	Daigre . Dakka T. Dali S. Damorou F. Danchin N. Darnaux C. Dauphin R. De Becker B. Debreceni O. De Cesare A. Decramer S. Dehiba F. Delcayre C.	P0-87 P0-48 P0-142 CO-06 CO-03, P0-93, P02-11 P02-11 P04-28 CO-16 P0-59 CO-34 CO-10 P0-136, P03-20 CO-31, P03-19, P03-23, P03-27	Faci O. Fadl Elmula F. Fahloul S. Faoro V. Farhaoui K. Farman N. Fassot C. Fauvel J. Fazal L. Feihl F. Feki M.	CO-08 P0-101, P0-124 CO-16 P0-85 CO-22, CO-24, P03-23 CO-24 CO-12, CO-14, CO-32, P04-28, P04-33 CO-31, P03-19, P03-27 CO-48 P0-125
Bouzid K. Bouzid K. Bovet P. Bozec E. Bricca G. Briet M. Bucura R. Bura-Riviere A. Burnier M.	P0-80, P01-01 P0-51, P0-55, P0-144 P0-66 CO-47 P0-80, P01-01 CO-14, CO-21, CO-32, CO-58, P04-28, P04-3 CO-20, CO-35 CO-18 CO-00, CO-09, CO-23, CO-46, CO-47, CO-48, P01-04	Daigre . Dakka T. Dali S. Damorou F. Danchin N. Darnaux C. Dauphin R. De Becker B. Debreceni O. De Cesare A. Decramer S. Dehiba F. Delcayre C.	P0-87 P0-48 P0-142 CO-06 CO-03, P0-93, P02-11 P02-11 P04-28 CO-16 P0-59 CO-34 CO-10 P0-136, P03-20 CO-31, P03-19, P03-23, P03-27 CO-25 P0-69	Faci O. Fadl Elmula F. Fahloul S. Faoro V. Farhaoui K. Farman N. Fassot C. Fauvel J. Fazal L. Feihl F. Feki M. Fendi O.	CO-08 P0-101, P0-124 CO-16 P0-85 CO-22, CO-24, P03-23 CO-24 CO-12, CO-14, CO-32, P04-28, P04-33 CO-31, P03-19, P03-27 CO-48 P0-125 P0-66
Bouziane N.K. Bouzid K. Bovet P. Bozec E. Bricca G. Briet M. Bucura R. Bura-Riviere A. Burnier M.	P0-80, P01-01 P0-51, P0-55, P0-144 P0-66 CO-47 P0-80, P01-01 CO-14, CO-21, CO-32, CO-28, P04-28, P04-3 CO-20, CC 35 P0-41 CC -18 CO-02, CO-09, CO-23, CO-46, CO-47, CO-48, P01-04 CO-26, P02-10	Daigre . Dak.u T. Dili S. Damorou F. Danchin N. Darnaux C. Dauphin R. De Becker B. Debreceni O. De Cesare A. Decramer S. Dehiba F. Delcayre C. Delmas C. Demolombre S. De Mota N.	P0-87 P0-48 P0-142 CO-06 CO-03, P0-93, P02-11 P02-11 P04-28 CO-16 P0-59 CO-34 CO-10 P0-136, P03-20 CO-31, P03-19, P03-23, P03-27 CO-25 P0-69 CO-42	Faci O. Fadl Elmula F. Fahloul S. Faoro V. Farhaoui K. Farman N. Fassot C. Fauvel J. Fazal L. Feihl F. Feki M. Fendi O. Fernandes-Rosa F.	CO-08 P0-101, P0-124 CO-16 P0-85 CO-22, CO-24, P03-23 CO-24 CO-12, CO-14, CO-32, P04-28, P04-33 CO-31, P03-19, P03-27 CO-48 P0-125 P0-66 CO-11
Bouziane N.K. Bouzid K. Bovet P. Bozec E. Bricca G. Briet M. Bucura R. Bura-Riviere A. Burnier M.	P0-80, P01-01 P0-51, P0-55, P0-144 P0-66 CO-47 P0-80, P01-01 CO-14, CO-21, CO-32, CO-33, P04-28, P04-3, CO-20, CO-35 P0-41 CO-18 CO-00, CO-09, CO-23, CO-46, CO-47, CO-48, P01-04 CO-26, P02-10 P0-147	Daigre . Dakku T. Dali S. Damorou F. Danchin N. Darnaux C. Dauphin R. De Becker B. Debreceni O. De Cesare A. Decramer S. Dehiba F. Delcayre C. Delmas C. Demolombre S. De Mota N. Demougeot C.	P0-87 P0-48 P0-142 CO-06 CO-03, P0-93, P02-11 P02-11 P04-28 CO-16 P0-59 CO-34 CO-10 P0-136, P03-20 CO-31, P03-19, P03-23, P03-27 CO-25 P0-69 CO-42 CO-39	Faci O. Fadl Elmula F. Fahloul S. Faoro V. Farhaoui K. Farman N. Fassot C. Fauvel J. Fazal L. Feihl F. Feki M. Fendi O. Fernandes-Rosa F. Ferrannini E.	CO-08 P0-101, P0-124 CO-16 P0-85 CO-22, CO-24, P03-23 CO-24 CO-12, CO-14, CO-32, P04-28, P04-33 CO-31, P03-19, P03-27 CO-48 P0-125 P0-66 CO-11 CO-13
Bouziane N.K. Bouzid K. Bovet P. Bozec E. Bricca G. Briet M. Bucura R. Bura-Riviere A. Burnier M.	P0-80, P01-01 P0-51, P0-55, P0-144 P0-66 CO-47 P0-80, P01-01 CO-14, CO-21, CO-32, CO-38, P04-28, P04-3' CO-20 CC 35 P0-41 CC -18 CO-09, CO-09, CO-23, CO-46, CO-47, CO-48, P01-04 CO-26, P02-10 P0-147 CO-29	Daigre . Dakka T. Dali S. Damorou F. Danchin N. Darnaux C. Dauphin R. De Becker B. Debreceni O. De Cesare A. Decramer S. Dehiba F. Delcayre C. Delmas C. Demolombre S. De Mota N. Demougeot C. Denolle T.	P0-87 P0-48 P0-142 CO-06 CO-03, P0-93, P02-11 P02-11 P04-28 CO-16 P0-59 CO-34 CO-10 P0-136, P03-20 CO-31, P03-19, P03-23, P03-27 CO-25 P0-69 CO-42 CO-39 CO-28	Faci O. Fadl Elmula F. Fahloul S. Faoro V. Farhaoui K. Farman N. Fassot C. Fauvel J. Fazal L. Feihl F. Feki M. Fendi O. Fernandes-Rosa F. Ferrannini E. Fesler P.	CO-08 P0-101, P0-124 CO-16 P0-85 CO-22, CO-24, P03-23 CO-24 CO-12, CO-14, CO-32, P04-28, P04-33 CO-31, P03-19, P03-27 CO-48 P0-125 P0-66 CO-11 CO-13 P04-35
Bouziane N.K. Bouzid K. Bovet P. Bozec E. Bricca G. Briet M. Bucura R. Bura-Riviere A. Burnier M. C C Caillard L. Camara A. Carrere P. Caubere C.	P0-80, P01-01 P0-51, P0-55, P0-144 P0-66 CO-47 P0-80, P01-01 CO-14, CO-21, CO-32, CO-38, P04-28, P04-3 CO-20, CO-35 T0-41 CC-18 O0-00, OO-09, CO-23, CO-46, CO-47, CO-48, P01-04 CO-26, P02-10 P0-147 CO-29 CO-25	Daigre . Dakka T. Dali S. Damorou F. Danchin N. Darnaux C. Dauphin R. De Becker B. Debreceni O. De Cesare A. Decramer S. Dehiba F. Delcayre C. Delmas C. Demolombre S. De Mota N. Demougeot C. Denolle T. Deray G.	P0-87 P0-48 P0-142 CO-06 CO-03, P0-93, P02-11 P02-11 P04-28 CO-16 P0-59 CO-34 CO-10 P0-136, P03-20 CO-31, P03-19, P03-23, P03-27 CO-25 P0-69 CO-42 CO-39 CO-28 CO-26	Faci O. Fadl Elmula F. Fahloul S. Faoro V. Farhaoui K. Farman N. Fassot C. Fauvel J. Fazal L. Feihl F. Feki M. Fendi O. Fernandes-Rosa F. Ferrannini E. Fesler P. Fesraoui N.	CO-08 P0-101, P0-124 CO-16 P0-85 CO-22, CO-24, P03-23 CO-24 CO-12, CO-14, CO-32, P04-28, P04-33 CO-31, P03-19, P03-27 CO-48 P0-125 P0-66 CO-11 CO-13 P04-35 P0-128
Bouziane N.K. Bouzid K. Bovet P. Bozec E. Bricca G. Briet M. Bucura R. Bura-Riviere A. Burnier M. C Caillard L. Camara A. Carrere P. Caubere C. Cauchi S.	P0-80, P01-01 P0-51, P0-55, P0-144 P0-66 CO-47 P0-80, P01-01 CO-14, CO-21, CO-32, CO-58, P04-28, P04-3 CO-20, CO-35 T0-41 CO-18 CO-00, CO-09, CO-36, CO-46, CO-47, CO-48, P01-04 CO-26, P02-10 P0-147 CO-29 CO-25 CO-13	Daigre . Dakka T. Dali S. Damorou F. Danchin N. Darnaux C. Dauphin R. De Becker B. Debreceni O. De Cesare A. Decramer S. Dehiba F. Delcayre C. Delmas C. Demolombre S. De Mota N. Demougeot C. Denolle T. Deray G. Derbah A.	P0-87 P0-48 P0-142 CO-06 CO-03, P0-93, P02-11 P02-11 P04-28 CO-16 P0-59 CO-34 CO-10 P0-136, P03-20 CO-31, P03-27 CO-25 P0-69 CO-42 CO-39 CO-28 CO-26 P0-144	Faci O. Fadl Elmula F. Fahloul S. Faoro V. Farhaoui K. Farman N. Fassot C. Fauvel J. Fazal L. Feihl F. Feki M. Fendi O. Fernandes-Rosa F. Ferrannini E. Fesler P. Fesraoui N. Feugier P.	CO-08 P0-101, P0-124 CO-16 P0-85 CO-22, CO-24, P03-23 CO-24 CO-12, CO-14, CO-32, P04-28, P04-33 CO-31, P03-19, P03-27 CO-48 P0-125 P0-66 CO-11 CO-13 P04-35 P0-128 CO-38
Bouziane N.K. Bouzid K. Bouzid K. Bovet P. Bozec E. Bricca G. Briet M. Bucura R. Bura-Riviere A. Burnier M. C C Caillard L. Camara A. Carrere P. Caubere C. Cauchi S. Cerutti C.	P0-80, P01-01 P0-51, P0-55, P0-144 P0-66 CO-47 P0-80, P01-01 CO-14, CO-21, CO-32, CO-33, P04-28, P04-3; CO-20, CO-35 P0-41 CO-18 CO-00, CO-09, CO-23, CO-46, CO-47, CO-48, P01-04 CO-26, P02-10 P0-147 CO-29 CO-25 CO-13 CO-21	Daigre . Dakka T. Dali S. Damorou F. Danchin N. Darnaux C. Dauphin R. De Becker B. Debreceni O. De Cesare A. Decramer S. Dehiba F. Delcayre C. Delmas C. Demolombre S. De Mota N. Demougeot C. Denolle T. Deray G. Derbah A. Derguine R.	P0-87 P0-48 P0-142 CO-06 CO-03, P0-93, P02-11 P02-11 P04-28 CO-16 P0-59 CO-34 CO-10 P0-136, P03-20 CO-31, P03-19, P03-23, P03-27 CO-25 P0-69 CO-42 CO-39 CO-28 CO-26 P0-1144 P0-45	Faci O. Fadl Elmula F. Fahloul S. Faoro V. Farhaoui K. Farman N. Fassot C. Fauvel J. Fazal L. Feihl F. Feki M. Fendi O. Fernandes-Rosa F. Ferrannini E. Fesler P. Fesraoui N. Feugier P. Fezeu L.	CO-08 P0-101, P0-124 CO-16 P0-85 CO-22, CO-24, P03-23 CO-24 CO-12, CO-14, CO-32, P04-28, P04-33 CO-31, P03-19, P03-27 CO-48 P0-125 P0-66 CO-11 CO-13 P04-35 P0-128 CO-38 CO-38 CO-01
Bouziane N.K. Bouzid K. Bouzid K. Bovet P. Bozec E. Bricca G. Briet M. Bucura R. Bura-Riviere A. Burnier M. C Caillard L. Camara A. Carrere P. Caubere C. Cauchi S. Cerutti C. Chahi M.	P0-80, P01-01 P0-51, P0-55, P0-144 P0-66 CO-47 P0-80, P01-01 CO-14, CO-21, CO-32, CO-33, P04-28, P04-3' CO-20, CC-35 P0-41 CC-18 CO-09, CO-09, CO-23, CO-46, CO-47, CO-48, P01-04 CO-26, P02-10 P0-147 CO-29 CO-25 CO-13 CO-21 P0-45	Daigre . Dakka T. Dali S. Damorou F. Danchin N. Darnaux C. Dauphin R. De Becker B. Debreceni O. De Cesare A. Decramer S. Dehiba F. Delcayre C. Delmas C. Demolombre S. De Mota N. Demougeot C. Denolle T. Deray G. Derbah A. Derguine R. Derguine R.	P0-87 P0-48 P0-142 CO-06 CO-03, P0-93, P02-11 P02-11 P04-28 CO-16 P0-59 CO-34 CO-10 P0-136, P03-20 CO-31, P03-19, P03-23, P03-27 CO-25 P0-69 CO-42 CO-39 CO-28 CO-26 P0-144 P0-45 P0-86	Faci O. Fadl Elmula F. Fahloul S. Faoro V. Farhaoui K. Farman N. Fassot C. Fauvel J. Fazal L. Feihl F. Feki M. Fendi O. Fernandes-Rosa F. Ferrannini E. Fesler P. Fesraoui N. Feugier P. Fezzeu L. Fickl R.	CO-08 P0-101, P0-124 CO-16 P0-85 CO-22, CO-24, P03-23 CO-24 CO-12, CO-14, CO-32, P04-28, P04-33 CO-31, P03-19, P03-27 CO-48 P0-125 P0-66 CO-11 CO-13 P04-35 P0-128 CO-38 CO-01 P0-41
Bouziane N.K. Bouzid K. Bouzid K. Bovet P. Bozec E. Bricca G. Briet M. Bucura R. Bura-Riviere A. Burnier M. C C Caillard L. Camara A. Carrere P. Caubere C. Cauchi S. Cerutti C.	P0-80, P01-01 P0-51, P0-55, P0-144 P0-66 CO-47 P0-80, P01-01 CO-14, CO-21, CO-32, CO-38, P04-28, P04-33 CO-20, CO-35 P0-41 CC-18 CO-00, CO-09, CO-23, CO-46, CO-47, CO-48, P01-04 CO-26, P02-10 P0-147 CO-29 CO-25 CO-13 CO-21 P0-45 CO-02, CO-18,	Daigre . Dakka T. Dali S. Damorou F. Danchin N. Darnaux C. Dauphin R. De Becker B. Debreceni O. De Cesare A. Decramer S. Dehiba F. Delcayre C. Delmas C. Demolombre S. De Mota N. Demougeot C. Denolle T. Deray G. Derbah A. Derguine R. Derguini M. De Seigneux S.	P0-87 P0-48 P0-142 CO-06 CO-03, P0-93, P02-11 P02-11 P04-28 CO-16 P0-59 CO-34 CO-10 P0-136, P03-20 CO-31, P03-19, P03-23, P03-27 CO-25 P0-69 CO-42 CO-39 CO-28 CO-26 P0-144 P0-45 P0-86 P01-09	Faci O. Fadl Elmula F. Fahloul S. Faoro V. Farhaoui K. Farman N. Fassot C. Fauvel J. Fazal L. Feihl F. Feki M. Fendi O. Fernandes-Rosa F. Ferrannini E. Fesler P. Fesraoui N. Feugier P. Fezeu L. Fickl R. Fiquet B.	CO-08 P0-101, P0-124 CO-16 P0-85 CO-22, CO-24, P03-23 CO-24 CO-12, CO-14, CO-32, P04-28, P04-33 CO-31, P03-19, P03-27 CO-48 P0-125 P0-66 CO-11 CO-13 P04-35 P0-128 CO-38 CO-38 CO-01 P0-41 CO-10
Bouziane N.K. Bouzid K. Bovet P. Bozec E. Bricca G. Briet M. Bucura R. Bura-Riviere A. Burnier M. C Caillard L. Camara A. Carrere P. Caubere C. Cauchi S. Cerutti C. Chahi M. Chamontin B.	P0-80, P01-01 P0-51, P0-55, P0-144 P0-66 CO-47 P0-80, P01-01 CO-14, CO-21, CO-32, CO-58, P04-28, P04-3 CO-20, CO-35 T0-41 CO-18 CO-0-00, CO-09, CO-23, CO-46, CO-47, CO-48, P01-04 CO-26, P02-10 P0-147 CO-29 CO-25 CO-13 CO-21 P0-45 CO-02, CO-18, CO-25	Daigre . Dakka T. Dali S. Damorou F. Danchin N. Darnaux C. Dauphin R. De Becker B. Debreceni O. De Cesare A. Decramer S. Dehiba F. Delcayre C. Delmas C. Demolombre S. De Mota N. Demougeot C. Denolle T. Deray G. Derbah A. Derguine R. Derguini M. De Seigneux S. Desfontis J.	P0-87 P0-48 P0-142 CO-06 CO-03, P0-93, P02-11 P02-11 P04-28 CO-16 P0-59 CO-34 CO-10 P0-136, P03-20 CO-31, P03-19, P03-23, P03-27 CO-25 P0-69 CO-42 CO-39 CO-28 CO-26 P0-144 P0-45 P0-86 P01-09 P03-22	Faci O. Fadl Elmula F. Fahloul S. Faoro V. Farhaoui K. Farman N. Fassot C. Fauvel J. Fazal L. Feihl F. Feki M. Fendi O. Fernandes-Rosa F. Ferrannini E. Fester P. Feszau L. Fickl R. Fickl R. Fiquet B. Fissah M.	CO-08 P0-101, P0-124 CO-16 P0-85 CO-22, CO-24, P03-23 CO-24 CO-12, CO-14, CO-32, P04-28, P04-33 CO-31, P03-19, P03-27 CO-48 P0-125 P0-66 CO-11 CO-13 P04-35 P0-128 CO-38 CO-01 P0-41 CO-10 P0-75
Bouziane N.K. Bouzid K. Bouzid K. Bovet P. Bozec E. Bricca G. Briet M. Bucura R. Bura-Riviere A. Burnier M. C C Caillard L. Camara A. Carrere P. Caubere C. Cauchi S. Cerutti C. Chahi M. Chamontin B. Chantrel F.	P0-80, P01-01 P0-51, P0-55, P0-144 P0-66 CO-47 P0-80, P01-01 CO-14, CO-21, CO-32, CO-33, P04-28, P04-3 CO-20, CO-35 P0-41 CO-18 CO-00, CO-09, CO-23, CO-46, CO-47, CO-48, P01-04 CO-26, P02-10 P0-147 CO-29 CO-25 CO-13 CO-21 P0-45 CO-02, CO-18, CO-25 P0-41, P0-118	Daigre . Dakka T. Dali S. Damorou F. Danchin N. Darnaux C. Dauphin R. De Becker B. Debreceni O. De Cesare A. Decramer S. Dehiba F. Delcayre C. Delmas C. Demolombre S. De Mota N. Demougeot C. Denolle T. Deray G. Derbah A. Derguine R. Derguini M. De Seigneux S. Desfontis J. Desmetz C.	P0-87 P0-48 P0-142 CO-06 CO-03, P0-93, P02-11 P02-11 P04-28 CO-16 P0-59 CO-34 CO-10 P0-136, P03-20 CO-31, P03-27 CO-25 P0-69 CO-42 CO-39 CO-28 CO-28 CO-26 P0-144 P0-45 P0-86 P01-09 P03-22 CO-50	Faci O. Fadl Elmula F. Fahloul S. Faoro V. Farhaoui K. Farman N. Fassot C. Fauvel J. Fazal L. Feihl F. Feki M. Fendi O. Fernandes-Rosa F. Ferrannini E. Fesler P. Fesraoui N. Feugier P. Fezeu L. Fickl R. Fiquet B. Fissah M. Flagua Y.	CO-08 P0-101, P0-124 CO-16 P0-85 CO-22, CO-24, P03-23 CO-24 CO-12, CO-14, CO-32, P04-28, P04-33 CO-31, P03-19, P03-27 CO-48 P0-125 P0-66 CO-11 CO-13 P04-35 P0-128 CO-38 CO-01 P0-41 CO-10 P0-75 P0-114
Bouziane N.K. Bouzid K. Bouzid K. Bovet P. Bozec E. Bricca G. Briet M. Bucura R. Bura-Riviere A. Burnier M. C Caillard L. Camara A. Carrere P. Caubere C. Cauchi S. Cerutti C. Chahi M. Chamontin B. Chantrel F. Chaoui N.	P0-80, P01-01 P0-51, P0-55, P0-144 P0-66 CO-47 P0-80, P01-01 CO-14, CO-21, CO-32, CO-33, P04-28, P04-3' CO-20, CC-35 P0-41 CC-18 CO-0-23, CO-46, CO-47, CO-48, P01-04 CO-26, P02-10 P0-147 CO-29 CO-25 CO-13 CO-21 P0-45 CO-02, CO-18, CO-25 P0-41, P0-118 P0-71	Daigre . Daik.u T. Daik.u T. Daik.u T. Daik.u T. Damorou F. Danchin N. Darnaux C. Dauphin R. De Becker B. Debreceni O. De Cesare A. Decramer S. Dehiba F. Delcayre C. Delmas C. Demolombre S. De Mota N. Demougeot C. Denolle T. Deray G. Derbah A. Derguine R. Derguini M. De Seigneux S. Desmoulin F.	P0-87 P0-48 P0-142 CO-06 CO-03, P0-93, P02-11 P02-11 P04-28 CO-16 P0-59 CO-34 CO-10 P0-136, P03-20 CO-31, P03-19, P03-23, P03-27 CO-25 P0-69 CO-42 CO-39 CO-28 CO-26 P0-1144 P0-45 P0-86 P01-09 P03-22 CO-50 CO-25 CO-50 CO-25	Faci O. Fadl Elmula F. Fahloul S. Faoro V. Farhaoui K. Farman N. Fassot C. Fauvel J. Fazal L. Feihl F. Feki M. Fendi O. Fernandes-Rosa F. Ferrannini E. Fesler P. Fesraoui N. Feugier P. Fezze L. Fickl R. Fiquet B. Fissah M. Flagua Y. Fodil F.	CO-08 P0-101, P0-124 CO-16 P0-85 CO-22, CO-24, P03-23 CO-24 CO-12, CO-14, CO-32, P04-28, P04-33 CO-31, P03-19, P03-27 CO-48 P0-125 P0-66 CO-11 CO-13 P04-35 P0-128 CO-38 CO-01 P0-41 CO-10 P0-75 P0-114 P0-128
Bouziane N.K. Bouzid K. Bovet P. Bozec E. Bricca G. Briet M. Bucura R. Bura-Riviere A. Burnier M. C C Caillard L. Camara A. Carrere P. Caubere C. Cauchi S. Cerutti C. Chahi M. Chamontin B. Chantrel F. Chaoui N. Chargui S.	P0-80, P01-01 P0-51, P0-55, P0-144 P0-66 CO-47 P0-80, P01-01 CO-14, CO-21, CO-32, CO-33, P04-28, P04-3 CO-20, CO-35 P0-41 CO-18 CO-00, CO-09, CO-23, CO-46, CO-47, CO-48, P01-04 CO-26, P02-10 P0-147 CO-29 CO-25 CO-13 CO-21 P0-45 CO-02, CO-18, CO-25 P0-41, P0-118	Daigre . Dakka T. Dali S. Damorou F. Danchin N. Darnaux C. Dauphin R. De Becker B. Debreceni O. De Cesare A. Decramer S. Dehiba F. Delcayre C. Delmas C. Demolombre S. De Mota N. Demougeot C. Denolle T. Deray G. Derbah A. Derguine R. Derguini M. De Seigneux S. Desfontis J. Desmetz C. Desmoulin F. Dhote R.	P0-87 P0-48 P0-142 CO-06 CO-03, P0-93, P02-11 P02-11 P04-28 CO-16 P0-59 CO-34 CO-10 P0-136, P03-20 CO-31, P03-19, P03-23, P03-27 CO-25 P0-69 CO-42 CO-39 CO-26 P0-144 P0-45 P0-86 P01-09 P03-22 CO-50 CO-25 CO-25 CO-40	Faci O. Fadl Elmula F. Fahloul S. Faoro V. Farhaoui K. Farman N. Fassot C. Fauvel J. Fazal L. Feihl F. Feki M. Fendi O. Fernandes-Rosa F. Ferrannini E. Fesler P. Fesraoui N. Feugier P. Fezeu L. Fickl R. Fiquet B. Fissah M. Flagua Y.	CO-08 P0-101, P0-124 CO-16 P0-85 CO-22, CO-24, P03-23 CO-24 CO-12, CO-14, CO-32, P04-28, P04-33 CO-31, P03-19, P03-27 CO-48 P0-125 P0-66 CO-11 CO-13 P04-35 P0-128 CO-38 CO-38 CO-01 P0-41 CO-10 P0-75 P0-114 P0-128 CO-02
Bouziane N.K. Bouzid K. Bouzid K. Bovet P. Bozec E. Bricca G. Briet M. Bucura R. Bura-Riviere A. Burnier M. C Caillard L. Camara A. Carrere P. Caubere C. Cauchi S. Cerutti C. Chahi M. Chamontin B. Chantrel F. Chaoui N.	P0-80, P01-01 P0-51, P0-55, P0-144 P0-66 CO-47 P0-80, P01-01 CO-14, CO-21, CO-32, CO-33, P04-28, P04-3' CO-20, CC-35 P0-41 CC-18 CO-0-23, CO-46, CO-47, CO-48, P01-04 CO-26, P02-10 P0-147 CO-29 CO-25 CO-13 CO-21 P0-45 CO-02, CO-18, CO-25 P0-41, P0-118 P0-71	Daigre . Daik.u T. Daik.u T. Daik.u T. Daik.u T. Damorou F. Danchin N. Darnaux C. Dauphin R. De Becker B. Debreceni O. De Cesare A. Decramer S. Dehiba F. Delcayre C. Delmas C. Demolombre S. De Mota N. Demougeot C. Denolle T. Deray G. Derbah A. Derguine R. Derguini M. De Seigneux S. Desmoulin F.	P0-87 P0-48 P0-142 CO-06 CO-03, P0-93, P02-11 P02-11 P04-28 CO-16 P0-59 CO-34 CO-10 P0-136, P03-20 CO-31, P03-19, P03-23, P03-27 CO-25 P0-69 CO-42 CO-39 CO-28 CO-26 P0-1144 P0-45 P0-86 P01-09 P03-22 CO-50 CO-25 CO-50 CO-25	Faci O. Fadl Elmula F. Fahloul S. Faoro V. Farhaoui K. Farman N. Fassot C. Fauvel J. Fazal L. Feihl F. Feki M. Fendi O. Fernandes-Rosa F. Ferrannini E. Fesler P. Fesraoui N. Feugier P. Fezze L. Fickl R. Fiquet B. Fissah M. Flagua Y. Fodil F.	CO-08 P0-101, P0-124 CO-16 P0-85 CO-22, CO-24, P03-23 CO-24 CO-12, CO-14, CO-32, P04-28, P04-33 CO-31, P03-19, P03-27 CO-48 P0-125 P0-66 CO-11 CO-13 P04-35 P0-128 CO-38 CO-01 P0-41 CO-10 P0-75 P0-114 P0-128
Bouziane N.K. Bouzid K. Bovet P. Bozec E. Bricca G. Briet M. Bucura R. Bura-Riviere A. Burnier M. C C Caillard L. Camara A. Carrere P. Caubere C. Cauchi S. Cerutti C. Chahi M. Chamontin B. Chantrel F. Chaoui N. Chargui S.	P0-80, P01-01 P0-51, P0-55, P0-144 P0-66 CO-47 P0-80, P01-01 CO-14, CO-21, CO-32, CO-38, P04-28, P04-33 CO-20, CC-35 P0-41 CC-18 CO-0-47, CO-48, P01-04 CO-26, P02-10 P0-147 CO-29 CO-25 CO-13 CO-21 P0-45 CO-02, CO-18, CO-25 P0-41, P0-118 P0-71 P0-120	Daigre . Dakka T. Dali S. Damorou F. Danchin N. Darnaux C. Dauphin R. De Becker B. Debreceni O. De Cesare A. Decramer S. Dehiba F. Delcayre C. Delmas C. Demolombre S. De Mota N. Demougeot C. Denolle T. Deray G. Derbah A. Derguine R. Derguini M. De Seigneux S. Desfontis J. Desmetz C. Desmoulin F. Dhote R.	P0-87 P0-48 P0-142 CO-06 CO-03, P0-93, P02-11 P02-11 P04-28 CO-16 P0-59 CO-34 CO-10 P0-136, P03-20 CO-31, P03-19, P03-23, P03-27 CO-25 P0-69 CO-42 CO-39 CO-26 P0-144 P0-45 P0-86 P01-09 P03-22 CO-50 CO-25 CO-25 CO-40	Faci O. Fadl Elmula F. Fahloul S. Faoro V. Farhaoui K. Farman N. Fassot C. Fauvel J. Fazal L. Feihl F. Feki M. Fendi O. Fernandes-Rosa F. Ferrannini E. Fesler P. Fesraoui N. Feugier P. Fezzeu L. Fickl R. Fiquet B. Fissah M. Flagua Y. Fodil F. For Gerodiab Study GR	CO-08 P0-101, P0-124 CO-16 P0-85 CO-22, CO-24, P03-23 CO-24 CO-12, CO-14, CO-32, P04-28, P04-33 CO-31, P03-19, P03-27 CO-48 P0-125 P0-66 CO-11 CO-13 P04-35 P0-128 CO-38 CO-38 CO-01 P0-41 CO-10 P0-75 P0-114 P0-128 CO-02

D 1.14	00.37	TT A	00.10	T 1 T 1 T	00.24
Frank M. Frih A.	CO-37 P0-102	Huart A. Huo Yung Kai S.	CO-18 CO-18	Kusche-Vihrog K. Kutalik Z.	CO-24 CO-23
Froguel P.	CO-13	Tiuo Tung Kai 5.	CO-18	Kutank Z.	CO-23
8					
		I		L	
G		Ibrahim H.	P0-60, P0-66	Labat C.	CO-07
Gagey S.	CO-15	Inamo J.	CO-29, P0-87	Labidi I.	P0-120
Gaied H.	P0-42, P0-52		00 25,10 07	Labouree F.	P02-10
Galan P.	CO-01			Lacolley P.	CO-45
Galantine V.	P0-119	J		Lacraz A.	P0-119
Galinier M.	CO-2510	I l. I	CO-09	Lafer H.	P0-51, P0-55, P0-144
Garbouj W.	P0-54, P0-110,	Jacobs L. Jailany A.	CO-36	Lafourcade A. Lagrange J.	P0-109, P01-05 CO-45
Ghali M.	P0-130, P04-32 P0-102	Jailany H.	CO-36	Lagrange J. Laguerre B.	P0-109, P01-05
Ghedira H.	P0-120	Jaisser F.	CO-22, CO-24,	Lahcene M.	P0-75
Ghennam K.	P04-36		P03-23, P03-26	Lahlou A.	P0-144
Ghorab D.	P02-17	Jeanguillaume C.	P03-24	Lajoix A.	CO-50
Giavarini A.	CO-17, CO-33	Jeggle P.	CO-24	Lakhoua Y.	P0-94, P0-98, P0-100
Girerd X.	CO-10, CO-19,	Jenhani N. Jeunemaitre X.	P0-63, P0-66 CO-10, CO-41	Lammouchi L	P0-46 P0-136
	CO-30, CO-34, P0-39, P0-104,	Jin Y.	CO-08, CO-09	Lamri-Senhadji M. Lantelme P.	CO-12, CO-14,
	P0-106	Jodar M.	P0-69	Dankernie I.	CO-30, CO-32,
Giroux J.	CO-20	Jokhaji F.	CO-08, CO-09		CO-38, P04-28,
Giroux-Leprieur B.	CO-40	Jourdan F.	P04-35	10	P04-33
Gjata M.	P01-02	Jover B.	CO-50	Larifla L.	CO-29
Glover M. Goeh-Akue E.	CO-10		~ V	Lartaud I. Latouche C.	CO-43
Goldwasser F.	CO-06, P0-74, P0-97 CO-20	K		Latreche S.	CO-22 CO-10, CO-41
Gorsane I.	P0-42, P0-52			Launay J, P03-23	00-10,00-11
Gosse P.	P0-105, P0-111,	Kaabachi N.	P0-123, P0-125	Laurent S.	CO-20, CO-35,
	P0-119, P02-16,	Kabore J.	P03-25		P0-80, P01-01
0 0	P04-31	Kachenoura N.	CO-19, CO-34, P 0-106	Laville M.	CO-13
Gravez B. Grira W.	P03-23	Kaddous A.	P02-15	Ledigarcher A.	CO-27
Gudo B.	P0-94, P0-98 CO-44	Kahan T.	CO-03, CO-09	Lefebvre TH. Le Floch I.	CO-30 CO-02
Guenzet A.	P0-133, P0-135,	Kammoun I.	P02-18	Lehachi K.	P0-45
	P0-143	Kammoun S.	CO-05	Le Jeune S.	CO-40, P01-03
Guessous I.	CO-23, CO-46	Kamoun I.	P0-96	Lelong H.	CO-01
Gueyffier F.	CO-27, P0-140,	Kandara H. Kangambega P.	P02-18 CO-29, P0-87	Lemay C.	P0-108
Guiti C.	P0-141, P02-12 CO-15	Karma S.	P0-46	Lemogne C. Lemoine S.	CO-03 P01-07
Gury C.	P0-104	Keita A.	P0-147	Lepira F.	P0-122
Guzman C.	CO-50	Kesse-Guyot E.	CO-01	Leroy P.	CO-43
		Ketari S.	P0-110, P0-130	Le Stum S.	P0-109, P01-05
**		Khaldi M. Kharoubi O.	P0-51, P0-55, P0-144	Letaif A.	P0-102
Н		Kheder A.	P0-128 P0-42, P0-52	Lhermusier T.	CO-18
Haddadi K.	P02-17	Khedher R.	P0-56, P0-62,	Limosin F. Llorens-Cortes C.	CO-03 CO-42
Hadji N.	P0-138		P0-72, P0-99	Lopez-Andrés N.	CO-12 CO-22
Hagege A.	CO-17	Khelifi Z.	P0-83	Lopez-Sublet M.	CO-40, P01-07,
Hajem S.	CO-05	Khemliche B.	P0-53, P0-61,		P0-112, P0-118
Hallab M. Hamdi S.	P0-57, P0-80, P01-01	Kheroua O.	P0-117 P03-21	Lorcy N.	P0-109, P01-05
Hammami M.	P0-121 CO-05	Khéroua O.	P0-114	Louala S. Louis Dit Picard H.	P0-136 CO-10
Hammami S.	CO-05	Khettab F.	CO-14, CO-32,	Lounici A.	P0-45
Hamouda M.	P0-102		P04-33	Louzir B.	P0-120
Hamza Cherif FZ.	P0-85	Khettab H.	P0-80, P01-01	Ly C.	P03-25
Hanon O.	CO-03, CO-26,	Khiari K.	P0-94, P0-98, P0-100		
	CO-36, P0-80, P02-10	Kimou F. Kintoki F.	P0-47 P0-127	M	
Haoues R.	P0-79	Kjeldsen S.	CO-08, CO-09	171	
Haouet E.	P02-18	Koane JN.	P0-137	Maalem D.	P0-79, P0-101,
Harrat I.	P0-136	Koceir E.	P0-38		P0-124
Hassine M.	P0-63	Koch E.	CO-19	Maamar M.	P0-146
Henique C.	CO-49	Koffi F.	P0-43, P0-50	Maatouk F.	P0-121
Henrion D. Herbegue B.	CO-24 P0-37, P0-121	Kolog K. Konin C.	P02-14 P0-47, P0-73	Maillard M. Maillard N.	CO-47, P01-04 P01-06
Hercherg S.	CO-01	Koubaa N.	CO-05	Makni N.	P0-96, P02-18
Hilbert C.	CO-02	Koukouma B.	CO-06	Malaisse W.	P0-139
Honore E.	P0-69	Krid M.	P0-56, P0-62,	Mandi D.	P02-14
Horlenko F.	P0-59	w 65	P0-72, P0-99	Manjou B.	P0-42
Horlenko O.	P0-59	Krouf D.	P0-133, P0-135,	Manjour B.	P0-52
Houti L. Htira Y.	P0-85 P0-63, P0-66	Krummel T.	P0-142, P0-143 P0-112, P0-118	Maouche F. Marangon N.	P0-138 P01-09
	10.00, 10.00	ixiummer 1.	1 0-112, 1 0-110		101.02

Marchant I.	CO-27, P02-12	Natali A.	CO-135	Q	
Mariat C.	P01-06	N'cho-Mottoh MP.	P0-50		
Marie C.	CO-39	Negadi A.	P0-117	Quirie A.	CO-39
Mark P.	CO-08, CO-09	Negadi M.	P0-53, P0-61,		
Marre M.	CO-13, P0-57	_	P0-65, P0-76, P0-131		
Martinez C.	P01-09	Nehme A.	CO-21	R	
Martin P.	CO-23, CO-46,	Nelaj E.	P01-02		
	P01-09	N'guetta R.	P0-47, P0-73	Radjab Y.	P0-48
Massart C.	CO-28	N'Guetta R.	P0-44	Ragot H.	CO-31
Masson I.	P01-06	Noel A.	CO-Inf 04	Rais L.	P0-56, P0-62, P0-72,
Mayana N.	P0-45	Noui H.			P0-99, P0-123
Mbarek D.	P0-121		P0-83	Rambhojan C.	P0-89
Mchirgui N.	P0-94, P0-98, P0-100	Nseka N.	P0-122, P0-127	Rave G.	P0-129
Meatchi T.	CO-11			Rayane R.	P02-17
Mebazaa A.	P04-29	0		Redheuil A.	CO-19, CO-34,
Meddeb J.	P0-42, P0-52	U		redicum 11.	P0-106
Meddour M.	P04-29	01 1: 11	00.24	Regnault V.	CO-45
Meftah A.	P0-88	Oberleitner H.	CO-24	Regnier-Lecoz S.	P0-11254
Meguedem M.	P0-115	Oger E.	P0-109, P01-05	Renaud C.	CO-47
Mehdad N.	P0-113	Omari N.	P0-38	Renkin J.	CO-08, CO-09
Mehdi M.	P01-06	Osada J.	P03-20	Retailleau K.	P0-69
Mehdioui H.		Othmani S.	P0-120		CO-47
	P0-83	Ott J.	P0-118, P01-07	Reyna Carmona L.	
Mehri S.	CO-05	Ouabdesselam L.	P0-145	Riga J.	CO-16
Mekki K.	P02-15	Ouamba J.	P0-137	Rkain H.	P0-48
Meliani S.	CO-02	Ouattara P.	P0-43, P0-47, P0-50	Robidel E.	CO-41
Mellouk Z.	P0-139	Ouchène S. S.	P0-55	Rocriguez-Yoldi M.	P03-20
Menne J.	CO-08	Ouerdane K.	P0-8848	Rokbani L.	P0-110, P0-130
Mentouri-Chenntouf Z.	P0-53, P0-61,	Ouerdane S.	P01-08	Roques B.	CO-42
	P0-65, P0-76,	Oueslati I.		Rosa J.	CO-08, CO-09
	P0-117, P0-131		P0-94, P0-98, P0-100	Rosenbaum D.	CO-19, CO-30,
Mentri N.	P04-30	Oumnia N.	P0-75		CO-34, P0-39,
Merault H.	P0-90	Ounifi S.	P0-123		P0-104, P0-106
Merval R.	CO-31, P03-19,	Ourliac A.	CO-02	Rossignol P.	CO-22, P0-112
	P03-27, P04-29	Ouvrard-Pascaud A.	F 03-23	Rotaru C.	CO-48
Messaoudene A.	P0-115			Rouabhia S.	P0-79, P0-101,
Messaoudi A.	P02-15	D •			P0-124
Messaoudi S.	P03-23	P		Rouet P.	CO-25
Messia G.	P0-122	D 10	00 22 00 16	Roula D.	P04-30
Messonnier J.	P0-89	Paccaud F.	CO-23, CO-46	Rousseau H.	CO-18
Meziane A.	P0-40	Pannier B.	CO-03, P0-93,	Roussel R.	CO-13, P0-57
Meziane Tani A.	P0-64, P0-67		P02-11	Roussey Kesler G.	CO-10
Mickael F.	CO-35	Papaicannou Y	P04-31	Rousson V.	CO-46
Millasseau S.	CO-15	Papaioanou G.	P0-105	Rouviere O.	P04-28
Millogo G.	P02-14	Paques M.	CO-198	Rubin S.	CO-Inf 05, P0-119
Milon H.	CO-32	Patel A.	P0-69	Rugale C.	CO-50
Mimouni M.	P0-37	Pathak A.	CO-30	Rusyn V.	P0-59
Mimouni S.	P0-82, P0-86,	Patouret R.	CO-42		
	P0-88, P0-138	Pechere-Bertschi A.	CO-08, CO-09,		
Mimouni Y.	CO-27		CO-23, CO-46,	S	
Mir H.	P0-133		P01-04		
Mohammedi K.	P0-57	Pelloux V.	P03-23	Saadaoui Y.	P0-75
Mohaup M.	CO-23	Peroz J.	CO-15	Saadi L.	P0-75
Mohaupt M.	CO-46	Perraud A.	CO-Inf 01	Sadaoui L.	P0-53, P0-58,
Monge M.	CO-09, CO-37	Perrin-Sarrado C.	CO-43		P0-61, P0-65,
Monnier A.	CO-39	Persu A.	CO-08, CO-09		P0-117, P0-131
Montalescot G.	P0-39			Sadoune M.	P04-29
Montaudon E.	P03-22	Pessinaba S.	P0-74	Safar M.	P01-08, P03-25
Mossiat C.	CO-39	Petrie J.	CO-13	Safa Z.	P03-21
Moumani S.	P0-77, P0-103,	Peyrard S.	CO-35	Saï A.	P0-79, P0-101,
mountain o.	P04-30	Peyronnet R.	P0-69		P0-124
Mounier-Véhier C.	CO-12	Pio M.	CO-06, P0-74, P0-97	Saidi D.	P0-114, P03-21
Mourad J.	P0-112	Piridi V.	P0-59	Salah Mansour A.	P01-08
Mourad JJ.	CO-04, CO-40,	Plichart M.	CO-26, P02-10	Samadoulougou A.	P02-14
Modrad JJ.	P0-92, P01-03	Plouin P.	CO-17, CO-33,	Samson-Couterie B.	CO-11
Moussannef O.	P0-51, P0-144		CO-35	Samuel J.	CO-31, P03-19,
	· · · · · · · · · · · · · · · · · · ·	Plumasseau J.	P0-89	camuci j.	P03-23, P03-27,
Moussaoui F.	P0-64	Polidano E.	CO-31, P03-19,		P04-29
Moussennaf O.	P0-55		P03-27, P04-29	Sapoval M	CO-09, CO-33,
Mrabet L.	P0-85	Ponte B.	CO-46, P01-09	Sapoval M.	
Mulatero P.	CO-10	Preissig-Dirrhold C.	P0-41	Saudan D	CO-37 P01 00
		Prezelin M.	P02-16	Saudan P.	P01-09
N			P01-08	Savard S.	CO-33
N		Protogerou A.	1 01-00	Sayhi S.	P0-120
Nahi U	CO 03	Pruijm, CO-46	CO 48	Schmidt B.	CO-08
Nabi H.	CO-03	Pruijm M.	CO-48 P0 50	Schnitzler A.	CO-43 P0 146
Naeije R.	CO-16	Pushkarenko O.	P0-59	Seddouki D.	P0-146

0 1 1:77	Do 121		00 07 P0 40		00 22 00 16
Sedouki H.	P0-124	Temmar M.	CO-07, P0-49,	Vogt B.	CO-23, CO-46
Segard L.	CO-4216		P0-68, P0-81, P0-84	Vu D.	P01-01
Sellal Z.	P0-38	Tessier A.	CO-39	Vuistiner P.	CO-23
Sener A.	P0-139	Teta D.	CO-47, CO-48	Vuistinier P.	CO-46
Severino F.	CO-08, CO-09	Thameur M.	P0-37		
SFadl Elmula F.	CO-09	Tharaux P.	CO-49	W	
SFrih A.	CO-05	Thibaudin D.	P01-06	**	
Sicé-Labrune C.	P0-111	Thomas F.	CO-03, P0-93	Waeber B.	CO-48
Sifi M.	P0-115, P0-146	Thomas-Jean F.	P02-11	Walton L.	CO-45
Simard F.	P0-108	Thurairajasingam N.	CO-10	Wauters A.	CO-16
Simon J.	CO-03	Tissier F.	CO-11	Wiernik E.	CO-16 CO-03
Simon T.	CO-03	Toguyeni B.	P02-14	Wright J.	P0-141
Sissoko A.	P0-41	Tomey A.	P0-59	Wuerzner G.	
Skhiri H.	P0-102	Tona G.	P0-122	w uerzner G.	CO-08, CO-09,
Slama I.	P0-37	Topouchian J.	P03-25		CO-47, P01-04
Smail N.	P0-82, P0-86	Touhami Y.	P0-53		
Smaoui W.	P0-56, P0-62, P0-72,	Toure S.	P0-147	Y	
	P0-99, P0-123	Toure-Sow M.	P0-47	1	
Smih B.	CO-25	Trabelsi N.	P0-66	Yahia S.	P03-20
Sobhi K.	P0-146	Traoré F.	P0-44	Yameogo N	P02-14
Sochka N.	P0-59	Traore MS.	P0-147	Yameogo R.	P02-14
Soltane K.	P0-102	Travert F.	P0-57	Yannoutsos A.	P02-14 P03-25
Sosner P.	P0-112, P01-07	Tsatsaris A.	CO-26	Yao H.	P0-73
Soufi N.	P0-40	Turkieh A.	CO-25	Yeim S.	P0-105, P04-31
Sow-Toure M.	P0-43, P0-50	Turki Z.	P0-96	Younsi F.	P0-42, P0-52
					r 0-42, r 0-32
Soya I.	P0-43, P0-50				
•	· · · · · · · · · · · · · · · · · · ·	U		7,	
Soya I. Staessen J.	CO-08, CO-09,	U	×C	7,	
•	· · · · · · · · · · · · · · · · · · ·	U Unwin R.	CO-10	Z	
Staessen J.	CO-08, CO-09, CO-23, CO-46		CO-10	Z	P02-14
Staessen J. Steichen O. Sumaili E.	CO-08, CO-09, CO-23, CO-46 CO-33, P0-112 P0-122		CO-10	Z Zabsonre P.	P02-14 P0-37, P0-121
Staessen J. Steichen O.	CO-08, CO-09, CO-23, CO-46 CO-33, P0-112	Unwin R.	CO-10	Z Zabsonre P. Zakhama L.	P0-37, P0-121
Staessen J. Steichen O. Sumaili E.	CO-08, CO-09, CO-23, CO-46 CO-33, P0-112 P0-122	Unwin R.		Z Zabsonre P.	P0-37, P0-121 P0-56, P0-62,
Staessen J. Steichen O. Sumaili E.	CO-08, CO-09, CO-23, CO-46 CO-33, P0-112 P0-122	Unwin R.	CO-10 CO-10 CO-12	Z Zabsonre P. Zakhama L. Zannad B.	P0-37, P0-121 P0-56, P0-62, P0-72, P0-99
Staessen J. Steichen O. Sumaili E. Syssa-Magale J.L.	CO-08, CO-09, CO-23, CO-46 CO-33, P0-112 P0-122	Unwin R. V Vachiery J. Vaisse B.	CO-10 CO-12	Z Zabsonre P. Zakhama L. Zannad B. Zannad F.	P0-37, P0-121 P0-56, P0-62, P0-72, P0-99 CO-22
Staessen J. Steichen O. Sumaili E. Syssa-Magale J.L.	CO-08, CO-09, CO-23, CO-46 CO-33, P0-112 P0-122	Unwin R. V Vachiery J. Vaisse B. Van De Borne P.	CO-16	Z Zabsonre P. Zakhama L. Zannad B. Zannad F. Zayani Y.	P0-37, P0-121 P0-56, P0-62, P0-72, P0-99 CO-22 P0-123, P0-125
Staessen J. Steichen O. Sumaili E. Syssa-Magale J.L.	CO-08, CO-09, CO-23, CO-46 CO-33, P0-112 P0-122 P0-137	Unwin R. V Vachiery J. Vaisse B. Van De Borne P. Vargas Poussou R.	C 3-10 C 3-12 C 3-16 C 3-10	Z Zabsonre P. Zakhama L. Zannad B. Zannad F. Zayani Y. Zeghib N.	P0-37, P0-121 P0-56, P0-62, P0-72, P0-99 CO-22 P0-123, P0-125 P04-36
Staessen J. Steichen O. Sumaili E. Syssa-Magale J.L. T Tack I.	CO-08, CO-09, CO-23, CO-46 CO-33, P0-112 P0-122 P0-137	Unwin R. V Vachiery J. Vaisse B. Van De Borne P. Vargas Poussou R. Vautrin E.	C 3-16 C 3-12 C 3-16 C 3-10 40-112	Z Zabsonre P. Zakhama L. Zannad B. Zannad F. Zayani Y. Zeghib N. Zennaro M.	P0-37, P0-121 P0-56, P0-62, P0-72, P0-99 CO-22 P0-123, P0-125 P04-36 CO-11
Staessen J. Steichen O. Sumaili E. Syssa-Magale J.L. T Tack I. Tair I.	CO-08, CO-09, CO-23, CO-46 CO-33, P0-112 P0-122 P0-137	Unwin R. V Vachiery J. Vaisse B. Van De Borne P. Vargas Poussou R. Vautrin E. Verhoest G.	C J-16 C J-12 CO-16 C J-10 P0-112 P0-109, P01-05	Z Zabsonre P. Zakhama L. Zannad B. Zannad F. Zayani Y. Zeghib N. Zennaro M. Zennaro MC.	P0-37, P0-121 P0-56, P0-62, P0-72, P0-99 CO-22 P0-123, P0-125 P04-36 CO-11 CO-28
Staessen J. Steichen O. Sumaili E. Syssa-Magale J.L. T Tack I. Tair I. Tair K.	CO-08, CO-09, CO-23, CO-46 CO-33, P0-112 P0-122 P0-137	Unwin R. V Vachiery J. Vaisse B. Van De Borne P. Vargas Poussou R. Vautrin E. Verhoest G. Verny C.	C ∪-1. C ∩-12 C)- 6 C ∩-10 P0-112 P0-109, P01-05 CO-02	Z Zabsonre P. Zakhama L. Zannad B. Zannad F. Zayani Y. Zeghib N. Zennaro M. Zennaro MC. Zeriouh I.	P0-37, P0-121 P0-56, P0-62, P0-72, P0-99 CO-22 P0-123, P0-125 P04-36 CO-11 CO-28 P03-21
Staessen J. Steichen O. Sumaili E. Syssa-Magale J.L. T Tack I. Tair I. Tair K. Takla Z.	CO-08, CO-09, CO-23, CO-46 CO-33, P0-112 P0-122 P0-137	Unwin R. V Vachiery J. Vaisse B. Van De Borne P. Vargas Poussou R. Vautrin E. Verhoest G. Verny C. Victor B.	C O-10 C O-12 CO-16 C O-10 PO-112 PO-109, P01-05 CO-02 P0-109, P01-05	Z Zabsonre P. Zakhama L. Zannad B. Zannad F. Zayani Y. Zeghib N. Zennaro M. Zennaro MC. Zeriouh I. Zhang Y.	P0-37, P0-121 P0-56, P0-62, P0-72, P0-99 CO-22 P0-123, P0-125 P04-36 CO-11 CO-28 P03-21 P01-08
Staessen J. Steichen O. Sumaili E. Syssa-Magale J.L. T Tack I. Tair I. Tair K. Takla Z. Taleb A.	CO-08, CO-09, CO-23, CO-46 CO-33, P0-112 P0-122 P0-137 CO-10 P0-136 P0-126 P0-41 P0-49, P0-68	Unwin R. V Vachiery J. Vaisse B. Van De Borne P. Vargas Poussou R. Vautrin E. Verhoest G. Verny C.	C 3-10 C 3-12 C 3-16 C 3-10 P0-112 P0-109, P01-05 CO-02 P0-109, P01-05 CO-26, CO-36,	Z Zabsonre P. Zakhama L. Zannad B. Zannad F. Zayani Y. Zeghib N. Zennaro M. Zennaro MC. Zeriouh I. Zhang Y. Zibara K.	P0-37, P0-121 P0-56, P0-62, P0-72, P0-99 CO-22 P0-123, P0-125 P04-36 CO-11 CO-28 P03-21 P01-08 CO-21
Staessen J. Steichen O. Sumaili E. Syssa-Magale J.L. T Tack I. Tair I. Tair K. Takla Z. Taleb A. Taleb-Senouci D. Tanoh M.	CO-08, CO-09, CO-23, CO-46 CO-33, P0-112 P0-122 P0-137 CO-10 P0-136 P0-126 P0-41 P0-49, P0-68 P0-133, P0-135 P0-43, P0-50	Unwin R. V Vachiery J. Vaisse B. Van De Borne P. Vargas Poussou R. Vautrin E. Verhoest G. Verny C. Victor B. Vidal JS.	C 3-16 C 3-16 C 3-10 P0-112 P0-109, P01-05 CO-02 P0-109, P01-05 CO-26, CO-36, P02-10	Z Zabsonre P. Zakhama L. Zannad B. Zannad F. Zayani Y. Zeghib N. Zennaro M. Zennaro MC. Zeriouh I. Zhang Y. Zibara K. Zidi M.	P0-37, P0-121 P0-56, P0-62, P0-72, P0-99 CO-22 P0-123, P0-125 P04-36 CO-11 CO-28 P03-21 P01-08 CO-21 P04-36
Staessen J. Steichen O. Sumaili E. Syssa-Magale J.L. T Tack I. Tair I. Tair K. Takla Z. Taleb A. Taleb-Senouci D. Tanoh M. Tapi Nzali M.	CO-08, CO-09, CO-23, CO-46 CO-33, P0-112 P0-122 P0-137 CO-10 P0-136 P0-126 P0-41 P0-49, P0-68 P0-133, P0-135 P0-43, P0-50 P0-140	Unwin R. V Vachiery J. Vaisse B. Van De Borne P. Vargas Poussou R. Vautrin E. Verhoest G. Verny C. Victor B. Vidal JS. V.gne. u C.	C D-10 C D-12 CO-16 C D-10 P0-112 P0-109, P01-05 CO-02 P0-109, P01-05 CO-26, CO-36, P02-10 P0-109, P01-05	Z Zabsonre P. Zakhama L. Zannad B. Zannad F. Zayani Y. Zeghib N. Zennaro M. Zennaro MC. Zeriouh I. Zhang Y. Zibara K. Zidi M. Zidi W.	P0-37, P0-121 P0-56, P0-62, P0-72, P0-99 CO-22 P0-123, P0-125 P04-36 CO-11 CO-28 P03-21 P01-08 CO-21 P04-36 P0-123, P0-125
Staessen J. Steichen O. Sumaili E. Syssa-Magale J.L. T Tack I. Tair I. Tair K. Takla Z. Taleb A. Taleb-Senouci D. Tanoh M.	CO-08, CO-09, CO-23, CO-46 CO-33, P0-112 P0-122 P0-137 CO-10 P0-136 P0-126 P0-41 P0-49, P0-68 P0-133, P0-135 P0-43, P0-50	Unwin R. V Vachiery J. Vaisse B. Van De Borne P. Vargas Poussou R. Vautrin E. Verhoest G. Verny C. Victor B. Vidal L-S. Vigneau C. Vignon v.	C O-10 C O-12 CO-6 C O-10 P0-112 P0-109, P01-05 CO-02 P0-109, P01-05 CO-26, CO-36, P02-10 P0-109, P01-05 P0-80, P01-01	Z Zabsonre P. Zakhama L. Zannad B. Zannad F. Zayani Y. Zeghib N. Zennaro M. Zennaro MC. Zeriouh I. Zhang Y. Zibara K. Zidi M. Zidi W. Zinga C.	P0-37, P0-121 P0-56, P0-62, P0-72, P0-99 CO-22 P0-123, P0-125 P04-36 CO-11 CO-28 P03-21 P01-08 CO-21 P04-36 P0-123, P0-125 P0-123, P0-125
Staessen J. Steichen O. Sumaili E. Syssa-Magale J.L. T Tack I. Tair I. Tair K. Takla Z. Taleb A. Taleb-Senouci D. Tanoh M. Tapi Nzali M.	CO-08, CO-09, CO-23, CO-46 CO-33, P0-112 P0-122 P0-137 CO-10 P0-136 P0-126 P0-41 P0-49, P0-68 P0-133, P0-135 P0-43, P0-50 P0-140 CO-22, CO-24,	Unwin R. V Vachiery J. Vaisse B. Van De Borne P. Vargas Poussou R. Vautrin E. Verhoest G. Verny C. Victor B. Vidal JS. V.gne. u C.	C O-10 C O-12 CO-16 C O-10 P0-112 P0-109, P01-05 CO-02 P0-109, P01-05 CO-26, CO-36, P02-10 P0-109, P01-05 P0-80, P01-01 CO-19, CO-34,	Z Zabsonre P. Zakhama L. Zannad B. Zannad F. Zayani Y. Zeghib N. Zennaro M. Zennaro MC. Zeriouh I. Zhang Y. Zibara K. Zidi M. Zidi W.	P0-37, P0-121 P0-56, P0-62, P0-72, P0-99 CO-22 P0-123, P0-125 P04-36 CO-11 CO-28 P03-21 P01-08 CO-21 P04-36 P0-123, P0-125 P0-122, P0-127 P0-56, P0-62,
Staessen J. Steichen O. Sumaili E. Syssa-Magale J.L. T Tack I. Tair I. Tair K. Takla Z. Taleb A. Taleb-Senouci D. Tanoh M. Tapi Nzali M. Tarjus A. Tartiere JM.	CO-08, CO-09, CO-23, CO-46 CO-33, P0-112 P0-122 P0-137 CO-10 P0-136 P0-126 P0-41 P0-49, P0-68 P0-133, P0-135 P0-43, P0-50 P0-140 CO-22, CO-24, P03-23 CO-26	Unwin R. V Vachiery J. Vaisse B. Van De Borne P. Vargas Poussou R. Vautrin E. Verhoest G. Verny C. Victor B. Vidal JS. Vigneau C. Vignon V. Villeneuve F.	C 3-10 C 3-10 C 3-12 C 3-16 C 3-10 P0-112 P0-109, P01-05 CO-02 P0-109, P01-05 CO-26, CO-36, P02-10 P0-109, P01-05 P0-80, P01-01 CO-19, CO-34, P0-104	Zabsonre P. Zakhama L. Zannad B. Zannad F. Zayani Y. Zeghib N. Zennaro M. Zennaro MC. Zeriouh I. Zhang Y. Zibara K. Zidi M. Zidi W. Zinga C. Zouaghi K.	P0-37, P0-121 P0-56, P0-62, P0-72, P0-99 CO-22 P0-123, P0-125 P04-36 CO-11 CO-28 P03-21 P01-08 CO-21 P04-36 P0-123, P0-125 P0-122, P0-127 P0-56, P0-62, P0-72, P0-99
Staessen J. Steichen O. Sumaili E. Syssa-Magale J.L. T Tack I. Tair I. Tair K. Takla Z. Taleb A. Taleb-Senouci D. Tanoh M. Tapi Nzali M. Tarjus A. Tartiere JM. Tase M.	CO-08, CO-09, CO-23, CO-46 CO-33, P0-112 P0-122 P0-137 CO-10 P0-136 P0-126 P0-41 P0-49, P0-68 P0-133, P0-135 P0-43, P0-50 P0-140 CO-22, CO-24, P03-23 CO-26 P01-02	Unwin R. V Vachiery J. Vaisse B. Van De Borne P. Vargas Poussou R. Vautrin E. Verhoest G. Verny C. Victor B. Vidal JS. V gneau C. Vignon V. Villenæuve F.	C 3-16 C 3-16 C 3-10 P0-112 P0-109, P01-05 CO-02 P0-109, P01-05 CO-26, CO-36, P02-10 P0-109, P01-05 P0-80, P01-01 CO-19, CO-34, P0-104 P0-106	Z Zabsonre P. Zakhama L. Zannad B. Zannad F. Zayani Y. Zeghib N. Zennaro M. Zennaro MC. Zeriouh I. Zhang Y. Zibara K. Zidi M. Zidi W. Zinga C. Zouaghi K. Zouaghui K.	P0-37, P0-121 P0-56, P0-62, P0-72, P0-99 CO-22 P0-123, P0-125 P04-36 CO-11 CO-28 P03-21 P01-08 CO-21 P04-36 P0-123, P0-125 P0-122, P0-127 P0-56, P0-62, P0-72, P0-99 P0-123
Staessen J. Steichen O. Sumaili E. Syssa-Magale J.L. T Tack I. Tair I. Tair K. Takla Z. Taleb A. Taleb-Senouci D. Tanoh M. Tapi Nzali M. Tarjus A. Tartiere JM. Tase M. Taylor A.	CO-08, CO-09, CO-23, CO-46 CO-33, P0-112 P0-122 P0-137 CO-10 P0-136 P0-126 P0-141 P0-49, P0-68 P0-133, P0-135 P0-43, P0-50 P0-140 CO-22, CO-24, P03-23 CO-26 P01-02 CO-08, CO-09	Unwin R. V Vachiery J. Vaisse B. Van De Borne P. Vargas Poussou R. Vautrin E. Verhoest G. Verny C. Victor B. Vidal JS. V.gne. u C. Vignon W. Vilkeneuve F. Villeuneuve F. Vincenzi M.	C O-16 C O-12 CO-16 C O-10 P0-112 P0-109, P01-05 CO-02 P0-109, P01-05 CO-26, CO-36, P02-10 P0-109, P01-05 P0-80, P01-01 CO-19, CO-34, P0-104 P0-106 CO-16	Zabsonre P. Zakhama L. Zannad B. Zannad F. Zayani Y. Zeghib N. Zennaro M. Zennaro MC. Zeriouh I. Zhang Y. Zibara K. Zidi M. Zidi W. Zinga C. Zouaghi K.	P0-37, P0-121 P0-56, P0-62, P0-72, P0-99 CO-22 P0-123, P0-125 P04-36 CO-11 CO-28 P03-21 P01-08 CO-21 P04-36 P0-123, P0-125 P0-122, P0-127 P0-56, P0-62, P0-72, P0-99 P0-123 P0-54, P0-110,
Staessen J. Steichen O. Sumaili E. Syssa-Magale J.L. T Tack I. Tair I. Tair K. Takla Z. Taleb A. Taleb-Senouci D. Tanoh M. Tapi Nzali M. Tarjus A. Tartiere JM. Tase M. Taylor A. Tbahriti H.	CO-08, CO-09, CO-23, CO-46 CO-33, P0-112 P0-122 P0-137 CO-10 P0-136 P0-136 P0-126 P0-41 P0-49, P0-68 P0-133, P0-135 P0-43, P0-135 P0-43, P0-50 P0-140 CO-22, CO-24, P03-23 CO-26 P01-02 CO-08, CO-09 P02-15	Unwin R. V Vachiery J. Vaisse B. Van De Borne P. Vargas Poussou R. Vautrin E. Verhoest G. Verny C. Victor B. Vidal JS. V gne, u C. Vignon V. Villeneuve F. Villeuneuve F. Vincenzi M. Vircoulon M.	C O-10 C O-12 CO-16 C O-10 PO-112 PO-109, P01-05 CO-02 PO-109, P01-05 CO-26, CO-36, P02-10 PO-109, P01-05 PO-80, P01-01 CO-19, CO-34, PO-104 PO-106 CO-16 P04-31	Z Zabsonre P. Zakhama L. Zannad B. Zannad F. Zayani Y. Zeghib N. Zennaro M. Zennaro MC. Zeriouh I. Zhang Y. Zibara K. Zidi M. Zidi W. Zinga C. Zouaghi K. Zouaghui K. Zouaghui K.	P0-37, P0-121 P0-56, P0-62, P0-72, P0-99 CO-22 P0-123, P0-125 P04-36 CO-11 CO-28 P03-21 P01-08 CO-21 P04-36 P0-123, P0-125 P0-122, P0-127 P0-56, P0-62, P0-72, P0-99 P0-123, P0-130, P04-32
Staessen J. Steichen O. Sumaili E. Syssa-Magale J.L. T Tack I. Tair I. Tair K. Takla Z. Taleb A. Taleb-Senouci D. Tanoh M. Tapi Nzali M. Tarjus A. Tartiere JM. Tase M. Taylor A.	CO-08, CO-09, CO-23, CO-46 CO-33, P0-112 P0-122 P0-137 CO-10 P0-136 P0-126 P0-141 P0-49, P0-68 P0-133, P0-135 P0-43, P0-50 P0-140 CO-22, CO-24, P03-23 CO-26 P01-02 CO-08, CO-09	Unwin R. V Vachiery J. Vaisse B. Van De Borne P. Vargas Poussou R. Vautrin E. Verhoest G. Verny C. Victor B. Vidal JS. V.gne. u C. Vignon W. Vilkeneuve F. Villeuneuve F. Vincenzi M.	C O-16 C O-12 CO-16 C O-10 P0-112 P0-109, P01-05 CO-02 P0-109, P01-05 CO-26, CO-36, P02-10 P0-109, P01-05 P0-80, P01-01 CO-19, CO-34, P0-104 P0-106 CO-16	Z Zabsonre P. Zakhama L. Zannad B. Zannad F. Zayani Y. Zeghib N. Zennaro M. Zennaro MC. Zeriouh I. Zhang Y. Zibara K. Zidi M. Zidi W. Zinga C. Zouaghi K. Zouaghui K.	P0-37, P0-121 P0-56, P0-62, P0-72, P0-99 CO-22 P0-123, P0-125 P04-36 CO-11 CO-28 P03-21 P01-08 CO-21 P04-36 P0-123, P0-125 P0-122, P0-127 P0-56, P0-62, P0-72, P0-99 P0-123 P0-54, P0-110,

Reproduction

Reproductioninterdite